

**KARADENİZ TEKNİK ÜNİVERSİTESİ
FEN BİLİMLERİ ENSTİTÜSÜ**

İNŞAAT MÜHENDİSLİĞİ ANABİLİM DALI

**ÖNGERİLMELİ PREFABRİK KİRİŞLİ BETONARME KÖPRÜLERİN TASARIMINDA
ENKESİT VE AÇIKLIK ETKİSİNİN İNCELENMESİ**

YÜKSEK LİSANS TEZİ

İnş. Müh. Bilal KUNT

**HAZİRAN 2019
TRABZON**



**KARADENİZ TEKNİK ÜNİVERSİTESİ
FEN BİLİMLERİ ENSTİTÜSÜ**

İNŞAAT MÜHENDİSLİĞİ ANABİLİM DALI

**ÖNGERİLMELİ PREFABRİK KİRİŞLİ BETONARME KÖPRÜLERİN TASARIMINDA
ENKESİT VE AÇIKLIK ETKİSİNİN İNCELENMESİ**

İnş. Müh. Bilal KUNT

**Karadeniz Teknik Üniversitesi Fen Bilimleri Enstitüsünce
"İNŞAAT YÜKSEK MÜHENDİSİ"
Unvanı Verilmesi İçin Kabul Edilen Tezdir.**

**Tezin Enstitüye Verildiği Tarih : 20 / 05 /2019
Tezin Savunma Tarihi : 18 / 06 /2019**

Tez Danışmanı : Doç. Dr. Temel TÜRKER

Trabzon 2019

**KARADENİZ TEKNİK ÜNİVERSİTESİ
FEN BİLİMLERİ ENSTİTÜSÜ**

**İnşaat Mühendisliği Anabilim Dalında
Bilal KUNT Tarafından Hazırlanan**

**ÖNGERİLMELİ PREFABRİK KİRİŞLİ BETONARME KÖPRÜLERİN TASARIMINDA
ENKESİT VE AÇIKLIK ETKİSİNİN İNCELENMESİ**

**başlıklı bu çalışma, Enstitü Yönetim Kurulunun 28 / 05 / 2019 gün ve 1806 sayılı
kararıyla oluşturulan juri tarafından yapılan sınavda
YÜKSEK LİSANS TEZİ
olarak kabul edilmiştir.**

Jüri Üyeleri

Başkan : Prof. Dr. Ümit UZMAN

Üye : Doç. Dr. Temel TÜRKER

Üye : Doç. Dr. Hasan Tahsin ÖZTÜRK

Prof. Dr. Asım KADIOĞLU

Enstitü Müdürü

ÖNSÖZ

Bu tez çalışması Karadeniz Teknik Üniversitesi, Fen Bilimleri Enstitüsü, İnşaat Mühendisliği Anabilim Dalı'nda Yüksek Lisans Tezi olarak hazırlanmıştır.

“Öngerilmeli Prefabrik Kırıslı Betonarme Köprülerin Tasarımında Enkesit ve Açıklık Etkisinin İncelenmesi” isimli tez çalışmasını bana öneren, yoğun çalışma tempusu içerisinde çalışmamın her aşamasında benim yanımada olan, bilgi ve tecrübelerinden daima yararlandığım çok değerli Hocam Sayın Doç. Dr. Temel TÜRKER'e en içten teşekkürlerimi sunarım.

Akademik ve özel hayatımda karşılaştığımız sıkıntılara birlikte göğüs gerdigimiz, yaşadığımız acı ve mutlulukları birbirimizle rahatça paylaşabildiğimiz, gerek iyi gerekse zor zamanlarımda yanımada olan dostlarım Arş. Gör. Yusuf YANIK'a ve İnş. Yük. Müh. Mohammad Tordi KARIMI'ye teşekkürlerimi sunarım.

Bu günlere ulaşmamda benim için hiçbir fedakârlıktan kaçınmadan tüm imkânları sağlayan, hayatım boyunca maddi ve manevi olarak desteklerini her zaman hissettiğim, ne yapsam haklarını hiçbir zaman ödeyemeyeceğim babam Abidin KUNT'a, annem Hatice KUNT'a, kardeşlerim Betül KUNT ve Hasan KUNT'a, saygıdeğer dedem Abdurrahman CANOĞLU'na ve ayrıca ailemin tüm fertlerine teşekkürlerimi sunar, bu çalışmanın yeni çalışmalarala ışık tutmasını ve ülkemize faydalı olmasını temenni ederim.

Bilal KUNT
Trabzon 2019

TEZ ETİK BEYANNAMESİ

Yüksek Lisans Tezi olarak sunduğum “ ÖNGERİLMELİ PREFABRİK KİRİŞLİ BETONARME KÖPRÜLERİN TASARIMINDA ENKESİT VE AÇIKLIK ETKİSİNİN İNCELENMESİ ” başlıklı bu çalışmayı baştan sona kadar danışmanım Doç. Dr. Temel TÜRKER'in sorumluluğunda tamamladığımı, verileri/ornekleri kendim topladığımı, deneyleri/analizleri ilgili laboratuvarlarda yaptığımı/yaptırdığımı, başka kaynaklardan aldığım bilgileri metinde ve kaynakçada eksiksiz olarak gösterdiğim, çalışma sürecinde bilimsel araştırma ve etik kurallara uygun olarak davrandığımı ve aksinin ortaya çıkması durumunda her türlü yasal sonucu kabul ettiğimi beyan ederim. 18/06/2019



Bilal KUNT

İÇİNDEKİLER

	<u>Sayfa No</u>
ÖNSÖZ	III
TEZ ETİK BEYANNAMESİ.....	IV
İÇİNDEKİLER.....	V
ÖZET	IX
SUMMARY	X
ŞEKİLLER DİZİNİ	XI
TABLOLAR DİZİNİ.....	XIII
SEMBOLLER DİZİNİ	XVIII
1. GENEL BİLGİLER	1
1.1. Giriş	1
1.2. Daha Önce Yapılmış Çalışmalar	2
1.3. Çalışmanın Amacı ve Kapsamı	8
1.4. Öngerilmeli Betonarme Kiriş	10
1.4.1. Öngerilmeli Beton	10
1.4.2. Öngerilme Yöntemleri	12
1.4.2.1. Öngerme Yöntemi	12
1.4.2.1.1. Öngerme Yönteminin Avantajları	13
1.4.2.1.2. Öngerme Yönteminin Sakıncaları	13
1.4.2.2. Ardgerme Yöntemi	14
1.4.3. Malzemeler	14
1.4.3.1. Beton	15
1.4.3.1.1. Betonarme Donatısı	15
1.4.3.2. Öngerme Kablosu	15
1.4.4. Öngerilmeli Sistemin Avantajları	16
1.5. Köprü Üstyapısı	17
1.6. Öngerilmeli Beton Kirişlere Etkiyen Yükler	18
1.6.1. Zati Yükler.....	18

1.6.2.	Hareketli Yükler	19
1.6.2.1.	Dinamik Etki Katsayısı.....	22
1.6.2.2.	Hareketli Yüklerin Kırıslere Dağılımı	22
1.7.	Kırış Enkesit Özelliklerinin Belirlenmesi.....	23
1.7.1.	Aktarma Dönemi	24
1.7.2.	Tabliye Betonunun Prizini Tamamlamadan Önceki Dönemi.....	24
1.7.3.	Servis Dönemi	24
1.7.4.	Prefabrik ve Kompozit Kırış Enkesiti.....	25
1.7.4.1.	Prefabrik Kırış Enkesiti	25
1.7.4.2.	Kompozit Kırış Enkesiti	25
1.8.	Öngerilmeli Kırışte Meydana Gelecek İç Kuvvetlerin Hesabı.....	26
1.9.	Öngerilme Kayıplarının Hesabı	26
1.9.1.	Rötre (Büzülme) Kaybı.....	27
1.9.2.	Beton Sünme Kaybı	28
1.9.3.	Elastik Kısalma Kaybı	29
1.9.4.	Öngerme Kablosu Gevşeme Kaybı	29
1.10.	Öngerilmeli Kırışlı Köprülerde Eğilme Gerilmelerinin Hesabı	30
1.10.1.	Birinci Tahkik	30
1.10.2.	İkinci Tahkik.....	31
1.10.3.	Üçüncü Tahkik.....	32
1.10.4.	Dördüncü Tahkik	32
1.11.	Eğilme Durumu Taşıma Gücü Tahkikleri	33
1.11.1.	Dikdörtgen Kesitler veya Basınç Bölgesi Tabla İçinde Yer Alan ($a \leq t$) Tablalı Kesitler İçin Taşıma Gücü Momentinin Hesabı	33
1.11.2.	Basınç Bölgesi Tabla İçinde Kalmayan ($a > t$) Tablalı Kesitler İçin Taşıma Gücü Momenti Hesabı.....	35
1.12.	Öngerme Donatısı Sınır Şartları	36
1.12.1.	Minimum Öngerilme Donatısı.....	36
1.12.2.	Maksimum Öngerilme Donatısı	38
1.13.	Kesme Taşıma Gücü Hesabı.....	38
1.13.1.	Beton Kesme Taşıma Gücü	38
1.13.2.	Kesme Donatısı Taşıma Gücü	40
1.13.3.	Kırış-Döşeme Bağlantısı Kesme Tahkiki	41
1.14.	Sehim Tahkiki.....	41
1.14.1.	Birinci Tahkik	42

1.14.2.	İkinci Tahkik.....	43
1.14.3.	Üçüncü Tahkik.....	44
1.14.4.	Dördüncü Tahkik	44
1.14.4.1.	Şerit Yüklemesi	44
1.14.4.2.	Kamyon Yüklemesi	45
1.15.	Öngerme Kablo Adetinin Belirlenmesi	46
1.16.	Öngerme Kablolarının Kılıflanması	47
1.16.1.	Kılıf Boyunun Hesabı	47
1.16.2.	Kılıflanacak Öngerme Kablo Adeti Hesabı	48
2.	YAPILAN ÇALIŞMALAR.....	49
2.1.	Köprü Bilgileri.....	49
2.2.	Örnek Bir Üstyapı Enkesiti İçin Hesap	50
2.2.1.	Üstyapı Enkesiti ve Kiriş Kesitinin Belirlenmesi	50
2.2.2.	Hesaplarda Kullanılacak Malzeme Özellikleri	52
2.2.3.	Öngerme Kablolarının Yerleştirilmesi	53
2.2.4.	Öngerilmeli Kiriş Geometrik Özellikleri.....	54
2.2.5.	Öngerilmeli Kirişle Etkiyen Yükler ve Meydana Gelen İç Kuvvetler	56
2.2.5.1.	Zati Yükler ve Oluşan İç Kuvvetler.....	56
2.2.5.2.	Hareketli Yükler ve Oluşturduğu İç Kuvvetler	58
2.2.6.	Öngerilmeli Kirişte Meydana Gelen Öngerilme Kayıpları.....	58
2.2.7.	Gerilme Tahkikleri.....	60
2.2.8.	Boyuna Yönde Betonarme Donatısının Hesabı	67
2.2.8.1.	Kiriş Alt Başlığında Kullanılacak Betonarme Donatısı.....	67
2.2.8.2.	Kiriş Üst Başlığında Kullanılacak Betonarme Donatısı	68
2.2.9.	Taşıma Kapasitesi Kontrolleri	68
2.2.9.1.	Eğilme Taşıma Kapasitesi	68
2.2.9.1.1.	Tablalı Kompozit Kesit Taşıma Kapasitesi	68
2.2.9.1.2.	Prefabrik Kesit Taşıma Kapasitesi.....	69
2.2.9.2.	Kesme Taşıma Kapasitesi.....	69
2.2.9.2.1.	Beton Kesme Taşıma Gücü	69
2.2.9.2.2.	Kesme Donatısı Taşıma Gücü	70
2.2.9.2.3.	Kiriş-Döşeme Bağlantısı Kesme Tahkiki	70
2.2.10.	Minimum Öngerme Donatısı Denetimi	71
2.2.10.1.	Tablalı Kompozit Kesit.....	71

2.2.10.2.	Prefabrik Kesit	71
2.2.11.	Sehim Tahkikleri	71
2.3.	Öngerilmeli Kirişlerin Hesap Özeti	72
2.3.1.	Seçilen Öngerilmeli Kiriş Tipleri	72
2.3.2.	Üstyapı Enkesit Tiplerinin Belirlenmesi	73
2.3.3.	Öngerilmeli Kirişlere Etkiyen Yükler ve Kesit Tesirleri	87
2.3.4.	Öngerilmeli Kirişlerin Öngerme Özeti	98
2.3.5.	Öngerilmeli Kirişlerin Taşıma Kapasitesi ve Minimum Donatı Kontrolleri	105
2.3.6.	Öngerilmeli Kirişlerin Gerilme Tahkikleri	111
2.3.7.	Öngerilmeli Kirişlerde Meydana Gelen Sehim Değerleri	117
2.3.8.	Öngerme Kablosu, Beton Ve Betonarme Donatısı Metrajları	123
3.	BULGULAR VE İRDELEMELER	130
3.1.	Öngerilmeli Kirişli Köprüler Analiz Sonuçları	130
4.	SONUÇLAR VE ÖNERİLER	136
5.	KAYNAKLAR	141
6.	EKLER	144

ÖZGEÇMİŞ

Yüksek Lisans Tezi

ÖZET

ÖNGERİLMELİ PREFABRİK KİRİŞLİ BETONARME KÖPRÜLERİN TASARIMINDA ENKESİT VE AÇIKLIK ETKİSİNİN İNCELENMESİ

Bilal KUNT

Karadeniz Teknik Üniversitesi
Fen Bilimleri Enstitüsü
İnşaat Mühendisliği Anabilim Dalı
Danışman: Doç. Dr. Temel TÜRKER
2019, 143 Sayfa, 35 Sayfa Ek

Bu yüksek lisans tez çalışmasında, öngerilmeli prefabrik kirişli betonarme köprülerin üstyapısı üzerine çalışmalar yapılmıştır. Yapılan çalışmalarda, farklı açıklıklara ve genişliklere sahip olan ve öngerilmeli prefabrik kirişlerin belirli aralıklarla yerleştirilmesi ile oluşturulan köprü üstyapılarının maruz kaldığı dış etkiler altındaki analizlerinin doğru bir şekilde yapılması hedeflenmiştir. Yapılan çalışmalar sonucunda; kesit özellikleri, kesit tesirleri, öngerme kablo sayıları ve en uygun yerleşim planları, kılıflanacak öngerme kablo sayısı ve kılıf boyu, kirişlerdeki çekme gerilmelerini karşılamak üzere yerleştirilecek betonarme donatısı sayısı ve sehim parametreleri gibi öngerilmeli prefabrik kirişli beton köprülerin inşası için gerekli olan bilgilerin elde edilmesi ve seçilen köprü kirişlerinin en etkin oldukları açıklıkların belirlenmesi amaçlanmıştır. Ayrıca seçilen üstyapı enkesitleri ve öngerilmeli kirişler için abaklar hazırlanmıştır. Bu abaklar sayesinde gelecekte yapılabilecek aynı özellikteki köprülerin üstyapıları hakkında, imalattan önce gerekli malzeme metrajı ve buna bağlı olarak da üstyapı maliyetinin belirlenebilmesi de amaçlanmıştır. Bu tez çalışması dört bölümden meydana gelmektedir. Birinci bölümde, konu ile ilgili genel bilgilere, literatürde yer alan çalışmalara, öngerilmeli prefabrik kirişli beton köprülerin hesap ve tasarımları için gerekli olan bilgi ve bağıntılara yer verilmiştir. İkinci bölümde, tez kapsamında öngörülen çalışmalar gerçekleştirilmiş ve bu çalışmalar sonucu elde edilen veriler tablolar halinde sunulmuştur. Üçüncü bölümde, belirlenen üstyapı enkesitleri için seçilen öngerilmeli kiriş tiplerinin en etkin oldukları açıklıkları hakkında bilgilere yer verilmiştir. Dördüncü bölümde ise, elde edilen sonuçlara ve gelecek çalışmalara yol gösterebilecek bazı önerilere yer verilmiştir. Bu bölüm kaynaklar, ekler ve özgeçmiş takip etmektedir.

Anahtar Kelimeler: AASHTO, Karayolu Köprüsü, Köprü Üstyapısı, Öngerilmeli Prefabrik Kiriş, Öngerme Kablosu

Master Thesis

SUMMARY

ASSESSMENT OF THE EFFECTS OF THE BRIDGE SPAN AND WIDTH VARIATION ON PRESTRESSED PRECAST GIRDER BRIDGE DESIGN

Bilal KUNT

Karadeniz Technical University
The Graduate School of Natural and Applied Sciences
Civil Engineering Graduate Program
Supervisor: Assoc. Prof. Temel TURKER
2019, 143 Pages, 35 Pages Appendix

In this master thesis, studies are carried out on the superstructure of prestressed precast girder bridges. In the studies, it is aimed to make accurate analysis under the external impacts of the bridge superstructures which are formed by placing prestressed precast girder bridges with different openings and widths at regular intervals. As a result of the performed studies; it is aimed to obtain the necessary information for the construction of prestressed precast girder bridges such as section properties, internal forces, number of prestressing cables and optimal layout plans, number of prestressing cables to be debonded and debonding length, number of reinforced concrete reinforcement to be placed to meet the tensile stresses in the beams and deflection parameters and it is aimed to determine the openings in which the selected bridge beams are most effective. Moreover, for the selected superstructure cross sections and prestressed beams, charts were prepared. Thanks to these charts, it is also aimed to determine the required material quantity and the cost of the superstructure before the manufacture of the superstructures of the bridges with the same characteristics that can be made in the future. This thesis consists of four chapters. In the first chapter, it is given general information about the subject, literature studies, information and relations necessary for the calculation and design of the prestressed precast girder bridges. In the second chapter, the studies are carried out within the scope of the thesis and the data obtained as a result of these studies are presented in tables. In the third chapter, information is given about the openings of the most effective prestressed beam types selected for the determined superstructure cross sections. In the fourth chapter, the obtained results some suggestions that can guide future studies are given. This section is followed by resources, appendices and CV.

Keywords: AASHTO, Highway Bridge, Bridge's Superstructure, Prestressed Precast Girder, Prestressing Cable

ŞEKİLLER DİZİNİ

	<u>Sayfa No</u>
Şekil 1.1. Merkezinden gerilen bir öngerilmeli basit kırış.....	11
Şekil 1.2. Öngerilmeli basit kırış gerilme dağılımları.....	12
Şekil 1.3. Öngerilmeli prefabrik kırıslı beton köprü üstyapısı.....	18
Şekil 1.4. $H_{30}S_{24}$ tasarım kamyonunun aksları arasındaki mesafe	20
Şekil 1.5. $H_{30}S_{24}$ tasarım kamyonunun akslarına etki eden yükler.....	20
Şekil 1.6. $H_{30}S_{24}$ tasarım kamyon yüklemesinin eğilme momenti için en elverişsiz yerleşimi.....	21
Şekil 1.7. $H_{30}S_{24}$ tasarım kamyon yüklemesinin kesme kuvveti için en elverişsiz yerleşimi.....	21
Şekil 1.8. $H_{30}S_{24}$ şerit yüklemesinin eğilme momenti için en elverişsiz yerleşimi.....	21
Şekil 1.9. $H_{30}S_{24}$ şerit yüklemesinin kesme kuvveti için en elverişsiz yerleşimi.....	21
Şekil 1.10. Prefabrik kırış enkesiti	25
Şekil 1.11. Kompozit kırış enkesiti	26
Şekil 1.12. Kırış öngerme kuvvetinin etkisindeyken meydana gelen sehim.....	42
Şekil 1.13. Kırış kendi ağırlığının etkisindeyken meydana gelen sehim	43
Şekil 1.14. $H_{30}S_{24}$ şerit yüklemesinin maksimum sehim yerleşimi	45
Şekil 1.15. $H_{30}S_{24}$ kamyon yüklemesi için maksimum sehim yerleşimi.....	45
Şekil 2.1. 180'lik kırış için köprü enkesiti (Tip-G).....	50
Şekil 2.2. 180'lik kırış enkesiti	51
Şekil 2.3. 180'lik kırış enkesiti halat yerleşimi.....	53
Şekil 2.4. Öngerilmeli kırıslarde 1.Tahkik için gerilme grafiği	65
Şekil 2.5. Öngerilmeli kırıslarde 2.Tahkik için gerilme grafiği	65
Şekil 2.6. Öngerilmeli kırıslarde 3.Tahkik için gerilme grafiği	66
Şekil 2.7. Öngerilmeli kırıslarde 4.Tahkik için gerilme grafiği	66
Şekil 2.8. Prefabrik kırış enkesiti	73
Şekil 2.9. Tip1 kırışı için A enkesiti	74
Şekil 2.10. Tip1 kırışı için B enkesiti.....	74
Şekil 2.11. Tip1 kırışı için C enkesiti.....	74
Şekil 2.12. Tip1 kırışı için D enkesiti	75
Şekil 2.13. Tip1 kırışı için E enkesiti.....	75

Şekil 2.14.	Tip1 kırışı için F enkesiti	75
Şekil 2.15.	Tip1 kırışı için G enkesiti	76
Şekil 2.16.	Tip2 kırışı için A enkesiti	76
Şekil 2.17.	Tip2 kırışı için B enkesiti.....	77
Şekil 2.18.	Tip2 kırışı için C enkesiti.....	77
Şekil 2.19.	Tip2 kırışı için D enkesiti	77
Şekil 2.20.	Tip2 kırışı için E enkesiti.....	78
Şekil 2.21.	Tip2 kırışı için F enkesiti	78
Şekil 2.22.	Tip2 kırışı için G enkesiti	78
Şekil 2.23.	Tip3 kırışı için A enkesiti	79
Şekil 2.24.	Tip3 kırışı için B enkesiti.....	79
Şekil 2.25.	Tip3 kırışı için C enkesiti.....	80
Şekil 2.26.	Tip3 kırışı için D enkesiti	80
Şekil 2.27.	Tip3 kırışı için E enkesiti.....	80
Şekil 2.28.	Tip3 kırışı için F enkesiti	81
Şekil 2.29.	Tip3 kırışı için G enkesiti	81
Şekil 2.30.	Tip4 kırışı için A enkesiti	82
Şekil 2.31.	Tip4 kırışı için B enkesiti.....	82
Şekil 2.32.	Tip4 kırışı için C enkesiti.....	82
Şekil 2.33.	Tip4 kırışı için D enkesiti	83
Şekil 2.34.	Tip4 kırışı için E enkesiti.....	83
Şekil 2.35.	Tip4 kırışı için F enkesiti	83
Şekil 2.36.	Tip4 kırışı için G enkesiti	84
Şekil 2.37.	Tip5 kırışı için A enkesiti	84
Şekil 2.38.	Tip5 kırışı için B enkesiti.....	85
Şekil 2.39.	Tip5 kırışı için C enkesiti.....	85
Şekil 2.40.	Tip5 kırışı için D enkesiti	85
Şekil 2.41.	Tip5 kırışı için E enkesiti	86
Şekil 2.42.	Tip5 kırışı için F enkesiti	86
Şekil 2.43.	Tip5 kırışı için G enkesiti	86

TABLOLAR DİZİNİ

	<u>Sayfa No</u>
Tablo 1.1. Tip 270K düşük gevşemeli öngerme kablosu mekanik özellikleri (KGM, 2013).....	16
Tablo 2.1. Köprü üstyapısına ait yerleşim parametreleri	50
Tablo 2.2. 180'lik öngerilmeli kiriş enkesit özellikleri.....	51
Tablo 2.3. Beton özellikleri.....	52
Tablo 2.4. Öngerilme kablo özellikleri	52
Tablo 2.5. Betonarme donatısı özellikleri	52
Tablo 2.6. Diğer parametreler	52
Tablo 2.7. Kiriş değişik kesitlerindeki kılıflanmamış (aktif) kablo sayıları ve halat ağırlık merkezleri	54
Tablo 2.8. Kiriş değişik kesitlerdeki öngerme kuvvet değerleri	54
Tablo 2.9. $x=L_1/2$ kesiti için enkesit geometrik özellikleri	55
Tablo 2.10. $x=L_1/4$ kesiti için enkesit geometrik özellikleri	55
Tablo 2.11. $x=2.5m$ kesiti için enkesit geometrik özellikleri	55
Tablo 2.12. $x=1.5m$ kesiti için enkesit geometrik özellikleri	56
Tablo 2.13. $x=0m$ kesiti için enkesit geometrik özellikleri	56
Tablo 2.14. Öngerilmeli kirişlerin her birine etkiyen zati yük değerleri.....	57
Tablo 2.15. Değişik kesitlerde zati yük ile oluşan moment değerleri	57
Tablo 2.16. Değişik kesitlerde zati yük ile oluşan kesme kuvveti değerleri	57
Tablo 2.17. Değişik kesitlerde hareketli yük ile oluşan moment değerleri.....	58
Tablo 2.18. Değişik kesitlerde hareketli yük ile oluşan kesme kuvveti değerleri.....	58
Tablo 2.19. Değişik kesitlerde oluşan e , f_{cds} ve f_{cir} değerleri	59
Tablo 2.20. Değişik kesitlerde meydana gelen öngerilme kayıp değerleri	59
Tablo 2.21. Değişik kesitlerde meydana gelen öngerilme kayıp oranları	59
Tablo 2.22. Öngerilmeli kiriş $x=0m$ kesitindeki gerilme tahkiki	60
Tablo 2.23. Öngerilmeli kiriş $x=1.5m$ kesitindeki gerilme tahkiki	61
Tablo 2.24. Öngerilmeli kiriş $x=2.5m$ kesitindeki gerilme tahkiki	62
Tablo 2.25. Öngerilmeli kiriş $x=L_1/4m$ kesiti gerilme tahkiki	63
Tablo 2.26. Öngerilmeli kiriş $x=L_1/2m$ kesiti gerilme tahkiki	64
Tablo 2.27. Öngerilmeli kirişlerin kesit ölçüleri	73

Tablo 2.28. Tip1 kırışı için köprü üstyapılarına ait değişken parametreler	76
Tablo 2.29. Tip2 kırışı için köprü üstyapılarına ait değişken parametreler	79
Tablo 2.30. Tip3 kırışı için köprü üstyapılarına ait değişken parametreler	81
Tablo 2.31. Tip4 kırışı için köprü üstyapılarına ait değişken parametreler	84
Tablo 2.32. Tip5 kırışı için köprü üstyapılarına ait değişken parametreler	87
Tablo 2.33. Tip1 kırışı, $L_{kiriş}=19m$ için her bir enkesitteki yük ve kesit tesirleri değerleri	87
Tablo 2.34. Tip1 kırışı, $L_{kiriş}=20m$ için her bir enkesitteki yük ve kesit tesirleri değerleri	87
Tablo 2.35. Tip1 kırışı, $L_{kiriş}=21m$ için her bir enkesitteki yük ve kesit tesirleri değerleri	88
Tablo 2.36. Tip1 kırışı, $L_{kiriş}=22m$ için her bir enkesitteki yük ve kesit tesirleri değerleri	88
Tablo 2.37. Tip1 kırışı, $L_{kiriş}=23m$ için her bir enkesitteki yük ve kesit tesirleri değerleri	88
Tablo 2.38. Tip1 kırışı, $L_{kiriş}=24m$ için her bir enkesitteki yük ve kesit tesirleri değerleri	89
Tablo 2.39. Tip1 kırışı, $L_{kiriş}=25m$ için her bir enkesitteki yük ve kesit tesirleri değerleri	89
Tablo 2.40. Tip2 kırışı, $L_{kiriş}=24m$ için her bir enkesitteki yük ve kesit tesirleri değerleri	89
Tablo 2.41. Tip2 kırışı, $L_{kiriş}=25m$ için her bir enkesitteki yük ve kesit tesirleri değerleri	90
Tablo 2.42. Tip2 kırışı, $L_{kiriş}=26m$ için her bir enkesitteki yük ve kesit tesirleri değerleri	90
Tablo 2.43. Tip2 kırışı, $L_{kiriş}=27m$ için her bir enkesitteki yük ve kesit tesirleri değerleri	90
Tablo 2.44. Tip3 kırışı, $L_{kiriş}=27m$ için her bir enkesitteki yük ve kesit tesirleri değerleri	91
Tablo 2.45. Tip3 kırışı, $L_{kiriş}=28m$ için her bir enkesitteki yük ve kesit tesirleri değerleri	91
Tablo 2.46. Tip3 kırışı, $L_{kiriş}=29m$ için her bir enkesitteki yük ve kesit tesirleri değerleri	91
Tablo 2.47. Tip3 kırışı, $L_{kiriş}=30m$ için her bir enkesitteki yük ve kesit tesirleri değerleri	92
Tablo 2.48. Tip3 kırışı, $L_{kiriş}=31m$ için her bir enkesitteki yük ve kesit tesirleri değerleri	92
Tablo 2.49. Tip3 kırışı, $L_{kiriş}=32m$ için her bir enkesitteki yük ve kesit tesirleri değerleri	92

Tablo 2.50.	Tip3 kirişi, $L_{kiriş}=33m$ için her bir enkesitteki yük ve kesit tesirleri değerleri	93
Tablo 2.51.	Tip4 kirişi, $L_{kiriş}=32m$ için her bir enkesitteki yük ve kesit tesirleri değerleri	93
Tablo 2.52.	Tip4 kirişi, $L_{kiriş}=33m$ için her bir enkesitteki yük ve kesit tesirleri değerleri	93
Tablo 2.53.	Tip4 kirişi, $L_{kiriş}=34m$ için her bir enkesitteki yük ve kesit tesirleri değerleri	94
Tablo 2.54.	Tip4 kirişi, $L_{kiriş}=35m$ için her bir enkesitteki yük ve kesit tesirleri değerleri	94
Tablo 2.55.	Tip4 kirişi, $L_{kiriş}=36m$ için her bir enkesitteki yük ve kesit tesirleri değerleri	94
Tablo 2.56.	Tip4 kirişi, $L_{kiriş}=37m$ için her bir enkesitteki yük ve kesit tesirleri değerleri	95
Tablo 2.57.	Tip5 kirişi, $L_{kiriş}=36m$ için her bir enkesitteki yük ve kesit tesirleri değerleri	95
Tablo 2.58.	Tip5 kirişi, $L_{kiriş}=37m$ için her bir enkesitteki yük ve kesit tesirleri değerleri	95
Tablo 2.59.	Tip5 kirişi, $L_{kiriş}=38m$ için her bir enkesitteki yük ve kesit tesirleri değerleri	96
Tablo 2.60.	Tip5 kirişi, $L_{kiriş}=39m$ için her bir enkesitteki yük ve kesit tesirleri değerleri	96
Tablo 2.61.	Tip5 kirişi, $L_{kiriş}=40m$ için her bir enkesitteki yük ve kesit tesirleri değerleri	96
Tablo 2.62.	Tip5 kirişi, $L_{kiriş}=41m$ için her bir enkesitteki yük ve kesit tesirleri değerleri	97
Tablo 2.63.	Tip1 kirişi A-B-C-D-E-F enkesitleri öngerme özeti	98
Tablo 2.64.	Tip1 kirişi F-G enkesitleri öngerme özeti	99
Tablo 2.65.	Tip2 kirişi A-B-C-D enkesitleri öngerme özeti	99
Tablo 2.66.	Tip2 kirişi E-F-G enkesitleri öngerme özeti	100
Tablo 2.67.	Tip3 kirişi A-B-C enkesitleri öngerme özeti	100
Tablo 2.68.	Tip3 kirişi D-E-F-G enkesitleri öngerme özeti	101
Tablo 2.69.	Tip4 kirişi A-B-C-D-E-F enkesitleri öngerme özeti	102
Tablo 2.70.	Tip4 kirişi G enkesitleri öngerme özeti	103
Tablo 2.71.	Tip5 kirişi A-B-C-D enkesitleri öngerme özeti	103
Tablo 2.72.	Tip5 kirişi E-F-G enkesitleri öngerme özeti	104
Tablo 2.73.	Tip1 kirişi A-B-C-D-E-F enkesitleri taşıma kapasitesi ve minimum donatı kontrolleri.....	105

Tablo 2.74.	Tip1 kırışi F-G enkesitleri taşıma kapasitesi ve minimum donatı kontrolleri.....	106
Tablo 2.75.	Tip2 kırışi A-B-C-D-E enkesitleri taşıma kapasitesi ve minimum donatı kontrolleri.....	106
Tablo 2.76.	Tip2 kırışi F-G enkesitleri taşıma kapasitesi ve minimum donatı kontrolleri.....	107
Tablo 2.77.	Tip3 kırışi A-B-C-D enkesitleri taşıma kapasitesi ve minimum donatı kontrolleri.....	107
Tablo 2.78.	Tip3 kırışi E-F-G enkesitleri taşıma kapasitesi ve minimum donatı kontrolleri.....	108
Tablo 2.79.	Tip4 kırışi A-B enkesitleri taşıma kapasitesi ve minimum donatı kontrolleri.....	108
Tablo 2.80.	Tip4 kırışi C-D-E-F-G enkesitleri taşıma kapasitesi ve minimum donatı kontrolleri.....	109
Tablo 2.81.	Tip5 kırışi A-B-C-D-E-F-G enkesitleri taşıma kapasitesi ve minimum donatı kontrolleri.....	110
Tablo 2.82.	Tip1 kırışi A-B-C-D-E enkesitleri gerilme değerleri.....	111
Tablo 2.83.	Tip1 kırışi F-G enkesitleri gerilme değerleri	112
Tablo 2.84.	Tip2 kırışi A-B-C-D-E enkesitleri gerilme değerleri.....	112
Tablo 2.85.	Tip2 kırışi F-G enkesitleri gerilme değerleri	113
Tablo 2.86.	Tip3 kırışi A-B-C-D enkesitleri gerilme değerleri.....	113
Tablo 2.87.	Tip3 kırışi E-F-G enkesitleri gerilme değerleri	114
Tablo 2.88.	Tip4 kırışi A-B enkesitleri gerilme değerleri.....	114
Tablo 2.89.	Tip4 kırışi C-D-E-F-G enkesitleri gerilme değerleri	115
Tablo 2.90.	Tip5 kırışi A-B-C-D-E-F-G enkesitleri gerilme değerleri	116
Tablo 2.91.	Tip1 kırışi A-B-C-D-E enkesitlerinde meydana gelen sehim değerleri.....	117
Tablo 2.92.	Tip1 kırışi F-G enkesitlerinde meydana gelen sehim değerleri	118
Tablo 2.93.	Tip2 kırışi A-B-C-D-E enkesitlerinde meydana gelen sehim değerleri.....	118
Tablo 2.94.	Tip2 kırışi F-G enkesitlerinde meydana gelen sehim değerleri	119
Tablo 2.95.	Tip3 kırışi A-B-C-D enkesitlerinde meydana gelen sehim değerleri	119
Tablo 2.96.	Tip3 kırışi E-F-G enkesitlerinde meydana gelen sehim değerleri	120
Tablo 2.97.	Tip4 kırışi A-B enkesitlerinde meydana gelen sehim değerleri.....	120
Tablo 2.98.	Tip4 kırışi C-D-E-F-G enkesitlerinde meydana gelen sehim değerleri	121
Tablo 2.99.	Tip5 kırışi A-B-C-D-E-F-G enkesitlerinde meydana gelen sehim değerleri	122
Tablo 2.100.	Tip1 kırışi A-B-C-D-E enkesitleri metraj tablosu	123
Tablo 2.101.	Tip1 kırışi F-G enkesitleri metraj tablosu	124

Tablo 2.102. Tip2 kırışı A-B-C-D enkesitleri metraj tablosu	124
Tablo 2.103. Tip2 kırışı E-F-G enkesitleri metraj tablosu	125
Tablo 2.104. Tip3 kırışı A-B-C enkesitleri metraj tablosu	125
Tablo 2.105. Tip3 kırışı D-E-F-G enkesitleri metraj tablosu	126
Tablo 2.106. Tip4 kırışı A-B-C-D-E enkesitleri metraj tablosu	127
Tablo 2.107. Tip4 kırışı F-G enkesitleri metraj tablosu	128
Tablo 2.108. Tip5 kırışı A-B-C enkesitleri metraj tablosu	128
Tablo 2.109. Tip5 kırışı D-E-F-G enkesitleri metraj tablosu	129



SEMBOLLER DİZİNİ

a	Basınç bloğu yüksekliği
a_1	Öngerilmeli kiriş üst flanş yüksekliği
a_2	Öngerilmeli kiriş üst flanş pah yüksekliği
a_3	Öngerilmeli kiriş üst flanş ile gövdenin birleştiği bölgenin yüksekliği
a_4	Öngerilmeli kiriş gövde yüksekliği
a_5	Öngerilmeli kiriş alt flanş pah yüksekliği
a_6	Öngerilmeli kiriş alt flanş yüksekliği
A.D.	Öngerilmeli kirişte oluşacak çekme gerilmelerini karşılamak için kiriş alt başlığında boyuna yönde yerleştirilecek betonarme donatısı
A_i	Prefabrik kiriş enkesit alanı
A_{ps}	Toplam öngerme kablosu alanı
A_s	Betonarme eğilme donatısı alanı
A_{sf}	Tablalı kesit başlığının gövde bölümü dışında kalan bölgelerinin basınç dayanımına karşılık olması gereken öngerme kablosu miktarının alanı
A_{sr}	Tablalı kesitin gövde kısmının basınç dayanımına karşılık kullanılması gereken öngerme kablosu miktarının alanı
A_v	Belirli s aralığı ile dizilmiş olan kesme donatısı alanı
b	Dikdörtgen kesit genişliği veya tablalı kesitlerdeki etkili tabla genişliği
b_1	Öngerilmeli kiriş üst flanş genişliği
b_1	Öngerilmeli kirişin üst flanş genişliğini
b_2	Öngerilmeli kiriş gövde genişliği
b_3	Öngerilmeli kiriş alt flanş genişliği
b_w	Tablalı kesitin gövde genişliği
B.D.A.	Betonarme donatısı toplam ağırlığı
B.D.U.	Betonarme donatısı toplam uzunluğu
B.A.	Öngermeli kirişlerdeki toplam beton ağırlığı
B.M.	Öngermeli kirişlerdeki toplam beton miktarı
c	Kiriş boyuna yöndeki konsol boyu
c_2	Enine yönde konsol aks boyu
C	Hareketli yüklerin öngerilmeli kirişlere dağıtılmrasında kullanılan rıjilik parametresi

CR_c	Betondaki sünme nedeniyle meydana gelecek öngerilme kaybı
CR_s	Öngerme kablosunun gevşemesiyle meydana gelecek öngerilme kaybı
d	Basınç gerilmesinin en büyük olduğu noktadan öngerilme kuvvetinin ağırlık merkezine olan mesafe, Faydalı yükseklik
d'	Öngerme kablolarının ağırlık merkezi ile prefabrik kiriş alt kenarı(lifi) arasındaki mesafe
D	Köprünün şekline bağlı olarak hareketli yüklerin öngerilmeli kirişlere dağılımının belirlenmesinde kullanılan bir parametre
e_{ci}	Öngerme kablolarının kompozit kirişe eksantrisitesi,
e_i	Öngerme kablolarının prefabrik kirişe eksantrisitesi, P kuvvetinin eksantrikliği
E_c	Aktarma (transfer) anındaki betonun elastisite modülü
E_s	Öngerilme kablosunun elastisite modülü
ES	Betonun elastik kısalması nedeniyle meydana gelecek öngerilme kaybı
F	Nihai sehim değeri
f'_c	Betonun karakteristik basınç dayanımı
f_d	Zati yükler etkisiyle öngerilmeli kiriş kesitinin alt lifinde meydana gelen çekme gerilmesi
f_{cds}	Öngerilme kuvvetinin uygulandığı andaki zati yükler hariç diğer tüm zati yüklerden dolayı öngerilme kablolarının ağırlık merkezi seviyesinde meydana gelen beton gerilmesi
f_{cir}	Öngerme kuvvetinin aktarımından hemen sonra öngerilmeli kirişin zati ağırlığı ve öngerme kuvveti nedeniyle öngerme kablosu ağırlık merkezinde oluşan çelik gerilmesi
F_i	Öngerilmeli kirişe verilecek ilk öngerme kuvveti
f_{pc}	Kompozit brüt kesit ağırlık merkezinde tüm kayıplar meydana geldikten sonra dış yüklerin etkimesi sonucu oluşacak minimum beton basınç gerilmesi
f_{pe}	Kesitteki tüm öngerilme kayıpları çıkarıldıkta sonra kesitin alt lifinde sadece öngerme kuvveti sebebi ile meydana gelen basınç gerilmesi
f_{pi}	Öngerme kablosunda çekme anındaki gerilme değeri
f_r	Kesit çatlama gerilmesi
f'_s	Öngerme çeliği karakteristik kopma dayanımı
f_{su}^*	Öngerme çeliği azaltılmış hesap dayanımı
f_{sy}	Kesme donatısı karakteristik akma dayanımı
f_1	1. denetim için sehim miktarı
f_2	2. denetim için sehim miktarı

f_3	3. denetim için sehim miktarı
f_4	4. denetim için sehim miktarı
$f_{4,1}$	4. denetim şerit yüklemesi için sehim miktarı
$f_{4,2}$	4. denetim kamyon yüklemesi için sehim miktarı
g_1	Öngerilmeli kiriş zati ağırlığı nedeniyle meydana gelecek yük değeri
g_2	Öngerilmeli kiriş ve döşeme zati ağırlığı nedeniyle meydana gelecek yük değeri
g_3	Öngerilmeli kiriş ve tabliye ağırlığı dışındaki diğer bütün zati yükler nedeniyle meydana gelecek yük değeri
h	Kompozit kesitin yüksekliği
I	İlgili yükleme aşamasında çalışan kesitin atalet momenti
I_{ci}	İdeal kompozit kiriş kesit atalet momenti
I_i	Prefabrik kiriş kesitinin atalet momenti
K	Hareketli yüklerin öngerilmeli kırışlere dağıtılmrasında kullanılan köprü ve öngerilmeli kiriş tipine bağlı bir katsayı değeri
$K.A.$	Öngerme kablosu toplam ağırlığı
$K.U.$	Öngerme kablosu toplam uzunluğu
L_1	Öngerilmeli kiriş mesnet açıklığı
L_2	Öngerilmeli kiriş uzunluğu
M_{cr}^*	Kesit çatlama momenti
M_{cr}	Kesitte eğilme çatlağına sebep olan zati yüklerin haricindeki dış yüklerden kaynaklanan çatlama momenti
M_d	Maksimum momentlerin kombinasyonundan oluşan faktörlü moment değeri
M_{dnc}	Kirişin öz ağırlığı ve tabliye ağırlığından dolayı oluşan eğilme momenti sonucu meydana gelen eğilme momenti
M_{g1}	Öngerilmeli kirişin zati ağırlığından dolayı meydana gelen eğilme momenti
M_{g2}	Öngerilmeli kirişin ve tabliyenin ağırlığından dolayı meydana gelen eğilme momentini
M_{g3}	Öngerilmeli kiriş ve tabliye ağırlığı dışındaki tüm zati yüklerin etkimesi sonucu meydana gelen eğilme momenti
M_h	Hareketli yüklerden dolayı meydana gelen maksimum moment
M_n	Taşıma gücü direnme momenti(eğilme taşıma kapasitesi)
M_{max}	Zati yükler hariç yük katsayılarıyla çarpılmış dış yüklerin olduğu kombinasyonun etkisi sonucu oluşan maksimum hesap momenti
N	Öngerme kablo adeti

N_1	Kılıflanmış öngerme kablo adeti
N_2	Köprü üstyapı enkesitinde yer alan öngerilmeli kiriş sayısı
N_L	Trafik şerit sayısı
P	Kesitteki toplam öngerme kuvveti, şerit yüklemesindeki tekil yük
P_1	Betonun elastik kısalmasından kaynaklanan öngerilme kayıplarından sonra öngerme kablolarında bulunan öngerme kuvveti
P_2	Tüm öngerilme kayıplarından sonra öngerme kablolarında bulunan öngerme kuvveti
RH	Çevre şartlarına bağlı olarak yıllık ortalama bağıl nem oranı
s	Enine donatı aralığı
S	Öngerilmeli kirişlerin arasındaki mesafe(aks aralığı)
SH	Betondaki büzülme(rötre)den dolayı meydana gelecek öngerilme kaykı
t	Tablalı kesitlerdeki başlık yani tabla kalınlığı
T	Çekme gerilmesi kuvveti
Ü.D.	Öngerilmeli kirişte olacak çekme gerilmelerini karşılamak için kiriş üst başlığında boyuna yönde yerleştirilecek betonarme donatısı
V_c	Betonun çatlamamış basınç bölgesinin taşıdığı kesme kuvveti
V_{ci}	Moment ve kesme kuvveti etkilerinin birleşimi sonucunda diyagonal çatlakların oluşması durumunda betonun kesme kuvveti taşıma kapasitesi
V_{cw}	Öngerilmeli kiriş gövdesinde maksimum seviyeye çıkan asal çekme gerilmeleri etkisiyle diyagonal(eğik) çatlakların meydana geldiği andaki betonun kesme taşıma gücü
V_d	Zati yüklerin etkisiyle meydana gelen ve yük katsayıları ile çarpılmamış kesme kuvveti
V_i	Zati yükler hariç yük katsayılarıyla çarpılmış dış yüklerin olduğu kombinasyonun etkisi sonucu oluşan maksimum tasarım kesme kuvveti
V_{nh}	Nominal yatay kesme kuvveti
V_p	Öngerme kuvvetinin düşey bileşeni
V_s	Enine donatının çekme gerilmeleri ile karşılaşacağı kesme kuvveti
V_u	Dikkate alınan öngerilmeli beton kiriş kesitinde oluşan hesap kesme kuvveti
y_{alt}	Prefabrik kirişin ağırlık merkezinden kirişin en alt lifine olan mesafe
$y_{üst}$	Prefabrik kirişin ağırlık merkezinden kirişin en üst lifine olan mesafe
Y_t	Kompozit brüt kesit ağırlık merkezinin kesitin alt lifine olan uzaklığı
q	Şerit yüklemesindeki yayılı yük
W	Köprünün toplam üstyapı genişliği

W_a	Toplam taşit yolu genişliği
W_{alt_p}	İdeal prefabrik kesit için kiriş alt kenarına göre mukavemet momenti
$W_{üst_p}$	İdeal prefabrik kesit için kiriş üst kenarına göre mukavemet momenti
W_{alt_k}	İdeal kompozit kesit için kiriş alt kenarına göre mukavemet momenti
$W_{üst_k}$	İdeal kompozit kesit için kiriş üst kenarına göre mukavemet momenti
$W_{üst_kt}$	İdeal kompozit kesit için döşeme üst kenarına göre mukavemet momenti
η_1	Minimum düzeydeki öngerilme kayıp oranı
η_2	Tüm öngerilme kayıplarını içeren maksimum düzeydeki öngerilme kayıp oranı
$\sigma_{alt_p,1}$	1. tahkikte prefabrik kesit alt lifinde meydana gelecek gerilme
$\sigma_{üst_p,1}$	1. tahkikte prefabrik kesit üst lifinde meydana gelecek gerilme
$\sigma_{alt_p,2}$	2. tahkikte prefabrik kesit alt lifinde meydana gelecek gerilme
$\sigma_{üst_p,2}$	2. tahkikte prefabrik kesit üst lifinde meydana gelecek gerilme
$\sigma_{alt_p,3}$	3. tahkikte prefabrik kesit alt lifinde meydana gelecek gerilme
$\sigma_{üst_p,3}$	3. tahkikte prefabrik kesit üst lifinde meydana gelecek gerilme
$\sigma_{üst_k,3}$	3. tahkikte kompozit kesit üst lifinde meydana gelecek gerilme
$\sigma_{alt_p,4}$	4. tahkikte prefabrik kesit alt lifinde meydana gelecek gerilme
$\sigma_{üst_p,4}$	4. tahkikte prefabrik kesit üst lifinde meydana gelecek gerilme
$\sigma_{üst_k,4}$	4. tahkikte kompozit kesit üst lifinde meydana gelecek gerilme
Δf_s	Toplam öngerilme kaybı
φ	Dinamik etki katsayısı
ρ_p	Öngerme donatısı oranı
γ^*	Öngerme çeliğinin türüne bağlı katsayı
β_1	Beton kalitesine bağlı bir katsayı
ϕ	Yük faktörü (direnim katsayısı)

1. GENEL BİLGİLER

1.1. Giriş

Asırlardır insanoğlu birçok zorluklarla karşılaşmış ve bu zorluklara karşı çözüm yolları üretmeye çalışmıştır. Bu zorluklardan birini de ulaşım ihtiyacı oluşturmuştur. İnsanoğlu bu ihtiyacını gidermek için karşısına çıkan farklı arazi yapıları, vadi, nehir gibi geçilmesi zor engelleri aşabilmek için iki yakayı birbirine bağlamaya yarayan köprüleri keşfetmişler ve ulaşım ihtiyaçlarını gidermeye çalışmışlardır.

Zamanla nüfusun kentlerde birikmesi ve kent sayısının artması gibi etkilerle ulaşım ihtiyacının daha da artmasıyla bu ihtiyacı gidermek için günümüze kadar pek çok çeşit köprü tasarlanıp, insanoğlunun hizmetine sunulmuştur. Bu köprüler savaşlar, kazalar, taşkınlar, depremler vb. etkilerle birçok etkiye maruz kalmış ve bu köprülerden bazıları bu etkilere karşı koyamayıp yıkılmış, bazıları ise kısmen onarım yapılarak da olsa günümüze kadar ulaşmayı başarmışlardır. Daha önce yapılan hataların tekrar edilmemesi ve çıkan sorunlara farklı çözümler üretilmesi gibi açılardan, inşa edilen her köprü kendinden sonra yapılacak köprüler için birer basamak görevi üstlenmiştir. Günümüze kadar süre gelen köprüler konusundaki bilgi birikimleri ve teknolojinin de gelişmesi ile farklı türlerde köprülerin ortaya çıkması sağlanmıştır.

Çimento bir bağlayıcı olmak üzere su, kum ve agregat ile birleşiminden elde edilen beton; maliyetinin ucuz, işçiliğinin ve şekil verilebilmesinin daha kolay olması, basınca dayanımının yüksek olması ve daha birçok özellikleri akabinde inşa edilecek yapılarda tercih edilen önemli bir yapı malzemesi konumuna gelmiştir. Ancak zamanla yapılan çalışmalar ve gözlemler sonucu betonda önemli bir kusur olduğu tespit edilmiştir. Betonun basınç altındaki dayanımı yüksek olmasına karşın, çekme altındaki dayanımının düşük olduğu tespiti ile bu kusuru giderebilmek için çekme dayanımı yüksek olan demir, betonun içine bir düzen dahilinde yerleştirilmiştir ve olumlu sonuçlar alınmıştır. Bu olumlu sonuçlardan sonra Joseph Monier, bu betonarme malzemeyi kullanarak ilk betonarme köprüyü tasarlamıştır. Böylece betonarme malzeme, birçokının ana malzemesi olarak kullanılmaya başlanmıştır. Daha sonraları betonarme elemanlarda açıklık arttıkça kendi ağırlıkları sebebiyle artık ekonomik olmaması, kalıp maliyetlerinin fazla olması, inşa sürelerinin uzun

olması, yapı için daha da önemlisi düşük gerilmeler altında elemanlarda çatlakların oluşması gibi olumsuzluklar ortaya çıkmıştır.

Betonarme sistemlerde çatlaklar kabul edilebilir düzeylerde olmasına rağmen, bu çatlaklar nedeniyle donatının korozyona uğraması ve yapının kullanım ömrünün azalması gibi betonarmenin zayıf yönlerinin ortadan kaldırılması veya minimum seviyelere çekilebilmesi için çalışmalar yapılmıştır. Bu çalışmalar sonucunda da öngerilmeli beton teknolojisi ortaya çıkmıştır.

Öngerilmeli beton düşüncesi ilk defa 1888 yılında California eyaletinin San Francisco kentinde P.H. Jackson tarafından ortaya konulmuştur. O yıllarda yüksek dayanımlı çeliğin olmaması öngerilmeli betonun kullanım alanlarının genişlemesini engellemiştir. Öngerilme tekniğini bugünkü anlamda köprülerde kullanan ilk kişi E. Freyssinet'tir. Hatta 1920'li yıllarda iki adet kemer köprüyü bu tekniği kullanarak inşa etmiştir. 1929 yılından günümüze kadar birçok önemli mühendislik yapıları bu teknik ile projelendirilmiş ve inşa edilmiştir (Atmaca, 2018).

1.2. Daha Önce Yapılmış Çalışmalar

Geçtiğimiz yüzyılın ortalarından günümüze kadar geçen süre zarfında önemli bir konuma sahip olan öngerilmeli beton köprüler, yüksek dayanıma sahip beton ve çelik malzemelerin birlikte kullanılmasıyla oluşturulan ve büyük açıklıkların geçilmesinde avantaj sağlayan alternatif bir yöntemdir. Bu köprüler; uzun ömürlü ve estetik olmaları, fazla bakıma gereksinim duymamaları, prefabrik elemanlar kullanıldığında hızlı ve kolay bir imalat süreci sağlamaları ve ayrıca düşük maliyetli olmaları gibi etmenler göz önüne alındığında zamanla daha çok tercih edilmeye başlanmıştır.

Öngerilmeli beton köprülerin kullanımının artmasıyla birlikte literatürdeki öngerilmeli beton ile ilgili olarak yayımlanan çalışmalarla önemli bir artış gerçekleşmiştir. Bu başlık altında, konu ile ilgili son yıllarda yapılan bu çalışmalara değinilmiştir.

Aparicio vd. (1996), yaptıkları çalışma kapsamında öngerilmeli beton köprülerin bilgisayar programı yardımı ile tasarımının gerçekleştirilmesini amaçlamışlardır. Geliştirdikleri bilgisayar programı ile köprüye ait elemanların hesaplarını incelemişlerdir. Hesaplarda kullandıkları malzeme özelliklerini, hareketli yük modelini ve güvenlik faktörlerini İspanyol yönetmeliğinden temin etmişlerdir. Geliştirdikleri bu program ile

köprünün öngerme kablosu, betonarme donatısı ve kullanılan diğer malzemeler için miktar ve maliyet hesabı yapmışlardır.

Tan ve Ng (1997), T kesite sahip altı adet betonarme kirişin dış taraftan öngerilmeli kablolar ile güçlendirilmesi üzerine çalışmalar yapmışlardır. Bu kirişlerin güçlendirilmesinde kullanılan öngerme kablolarının farklı şekillerde dizilimlerinin, kirişin davranışı üzerindeki etkisini tetkik etmişlerdir. Yaptıkları çalışma sonucunda, öngerme kablolarının eksantrisitesinin artması sonucunda servis yükleri altında oluşan deformasyonların azaldığını gözlemlemişlerdir.

Zokaie (2000), yaptığı çalışmada hareketli yüklerin kirişlere dağılımı için AASHTO'da verilen S/D yük katsayısı denkleminin, köprü net açıklığının 18m ve kirişler arası mesafenin ise 1.8m civarlarında olduğu yapılar için kabul edilebilir düzeyde olduğunu belirtmiştir. Köprüye ait bu parametrelerin farklı olduğu değerlerde ise enine hareketli yük dağılım katsayısının doğru sonuçlar ortaya çıkaramayabileceğini savunmuştur.

Araz (2000), yapmış olduğu yüksek lisans tezi kapsamında öngerilmeli sürekli kirişlerin tasarımda belirlenecek olan öngerilme kuvveti ve eksantirisitenin uzun işlemler sonucu bulunacağını belirtmiştir. Bu nedenle kiriş tasarımda gerekli olan bu değerleri belirlemek için bir bilgisayar programının zaman ve doğruluk açısından gerekliliğini ileri sürmüştür. Tezi kapsamında öngerilmeli sürekli kiriş tasarımını yük-dengeleme yöntemi ile yapan bir bilgisayar programı geliştirmiş, kiriş tasarımda gerekli olan öngerilme kuvveti ve eksantrisite değerlerini literatürdeki örnekler ile karşılaştırarak bulduğu bu değerlerin doğruluğunu kanıtlamıştır.

Onyemelukwe vd. (2003), çalışmalarında mevcut bir öncükim öngerilmeli beton köprü kirişi üzerinde öngerilme kayıp değerlerini hesaplamışlardır. Bu değerleri farklı yönetmeliklerde tavsiye edilen hesap yöntemleri ile hesaplanan öngerilme kayıp değerleri ile karşılaştırmışlardır. Zamana bağlı olarak değişen öngerilme kayıplarının değişimini ve yayılımını belirlemek için eksenel şekildeştirme verilerini kullanmışlar ve sonuç olarak öngerilme kayıplarının PCI ve AASHTO yönetmeliklerinde belirtildiği gibi kesit boyunca düzenli bir şekilde olmadığını gözlemlemişlerdir.

Tuan vd. (2004), yaptıkları çalışmada öngerilmeli kirişlerin mesnet bölgelerinde ortaya çıkan çatlak oluşumunu inceleyip, öngerilmeli kirişler üzerinde analitik ve deneysel olarak çalışmalar gerçekleştirmiştir. Bu çalışmalar neticesinde, öngerilmeli kirişlerin mesnet bölgesinde çatlak oluşumunun azaltılması konusunda öneriler ortaya sunmuşlardır.

Du ve Au (2005), yaptıkları çalışma kapsamında öngerilmeli beton kırıslı köprülerin tasarımları için Hong Kong, Çin ve AASHTO LRFD yönetmeliklerini karşılaştırmışlardır. Çalışmalarında 25~40m arasında değişiklik gösteren açıklıklarda, T kesitli ardçekim beton kırıslere sahip olan köprü üst yapılarının bu üç yönetmelik kapsamında ayrı ayrı analizleri yapılmıştır. Çalışmaları sonucunda, bu yönetmelikler ile yapılan tasarımlar ile buldukları sonuçların yorumlanması gerçekleştirmiştir.

Aydın (2006), yapmış olduğu doktora tezi kapsamında prefabrik öncekim öngerilmeli beton bitişik I kırıslardan meydana gelen, kısa ve orta açıklığa sahip köprü üstyapılarının, genetik algoritma ile maliyet yönünden optimizasyonunu gerçekleştirmiştir. Çalışmasında önceden belirlenen kırış kesitleri yerine köprünün karakteristiğine bağlı olarak optimize edilen ve optimum sayidaki öngerilmeli beton kırısların köprü enkesitinde yer alması halindeki malzeme maliyetindeki değişimleri gözlemlemiştir. Yaptığı çalışmada dikkate aldığı; eğilme emniyet gerilmeleri ve taşıma gücü, kayma emniyet gerilmeleri ve kesme taşıma gücü, sehim, süneklik sınırlarını ve geometri sınırlayıcılarını AASHTO Standart Specifications for Highway Bridges yönetmeliği şartlarına uygun bir şekilde dikkate almıştır. Çalışma sonucunda, prefabrik öncekim öngerilmeli beton bitişik I kırıslı köprü üstyapılarının şekil ve topolojik yönden optimum tasarımında genetik algoritmadan etkili bir şekilde faydalansabileceği ortaya çıkarılmıştır.

Öztürk ve Öztürk (2007), yaptıkları çalışma kapsamında üç adet tipik omega ve I kesitli köprü kırıslarının en efektif olarak kullanılacağı açıklıkların belirlenmesini araştırmışlardır. Kırısların gerilme durumlarını ve taşıma kapasitelerini incelemiştir ve ayrıca farklı sünme ve farklı rötredeñ dolayı oluşan gerilmeleri de dikkate almışlardır. Sonuç olarak, kırıslerdeki öngerme kablosu adetlerine göre toplam gerilme kayipları ve moment kapasiteleri değişimi diyagramlar şeklinde sunulmuştur.

Uluğ (2008), yüksek lisans tezinde karayolu köprü ve viyadüklerinin tasarımları için ülkemizde güncel bir yönetmelik olmaması ve bu durumun da tasarımcıların yabancı yönetmelik kriterlerini ülkemiz şartlarına göre uyarlamaya sevk ettiğini açıklamıştır. Yaptığı çalışma kapsamında, daha önce AASHTO-1996 yönetmeliğine göre tasarlanmış bir mevcut köprüyü, AASHTO-LRFD-1998 yönetmelik kriterlerine göre yeniden tasarlamıştır ve bu tasarım detaylı bir şekilde anlatılmıştır. Çalışma sonucunda öngerilmeli kırıslarde kullanılan öngerme kablo sayısının arttığını belirtmiştir. Bu durumu AASHTO-LRFD yönetmeliğine göre tasarımda kamyon ve şerit yüklerinin beraber değerlendirilip, AASHTO-1996

yönetmeliğinde ise bu yüklerin ayrı ayrı yüklenerek en olumsuz sonuç veren duruma göre çözüm yapılmasından kaynaklandığını açıklamıştır.

Sarsık (2008), yüksek lisans tezi kapsamında köprü üst yapısında kullanılan 9 tip öngerilmeli prefabrik I kesitli köprü kırışlarının farklı açıklıklara göre hesaplarını yapmıştır ve bu kırışların hangi açıklıklarda efektif bir şekilde kullanılması gerektiğini belirtmiştir. Araştırmasında 22.50m genişliğinde ve 4 şeritten oluşan bir köprü üst yapısını dikkate almıştır. Kırışerdeki öngerme kablosu gereksiniminin daha çok eğilme etkilerinden kaynaklandığını belirlemiştir ve bu konu üzerine detaylı şekilde çalışmıştır. Kırışerdeki öngerme kablolarındaki zamana bağlı oluşan öngerilme kayiplarını hesaplayarak, kayiplardan sonra dört farklı yükleme döneminde kesitlerde meydana gelen gerilmeleri emniyet gerilmeleri ile kontrol etmiştir. Farklı açıklıklar için öngerilmeli kırıslere yerleştirilen öngerme kablo miktarının artması ile öngerme kayiplarının değişimini incelemiştir.

Rana vd. (2010), orta açıklığa sahip köprü sistemlerinde ardgermeli kırışların sıkça kullanılması sonucu, bu ardgermeli köprü türü için maliyet optimizasyonu üzerine çalışmalar yapmışlardır. Yaptıkları çalışmalarında AASHTO-2002 yönetmeliğindeki sınır koşullarını dikkate almışlardır. Teesta Köprüsü (Bangladeş) üzerine çalışma yapmışlar ve optimizasyon kriterleri olarak köprü açıklığı, tabliye kalınlığı, kesit boyutları, öngerme kablosu adeti ve öngerme kablolarının kırışteki yerleşim durumlarını dikkate almışlardır. Sonuç olarak, mevcut köprü için daha uygun bir maliyete sahip yeni bir tasarım ortaya sunmuşlardır.

Rizkalla vd. (2010), yaptıkları çalışmada öngerilmeli kırışerde oluşan sehim ve ortaya çıkan öngerilme kayiplarının doğru bir şekilde tayin edilmesinin önemini belirtmişlerdir. Değişken beton özellikleri ve üretimdeki değişkenlerin kırışerde oluşan sehimin belirlenmesinin, öngerilme kayiplarının zamana bağlı olmasından dolayı zorlaştırdığını savunmuşlardır. Kırışerde oluşacak sehim değerinin belirlenmesi için bu değişkenlerin dikkate alındığı bir yöntem ileri sürümüşlerdir.

Caro vd. (2013), öngerilmeli beton kırışerde oluşan öngerilme kayiplarının deneysel olarak incelenip değerlendirilmesi üzerine çalışmalar yapmışlardır. Öngerilmeli kırışerde oluşan elastik kısalma, zamana bağlı gerçekleşen sünme ve rötre kayiplarını bir yıl boyunca kayıt altına almışlardır ve bu kayıtlar ile elde edilen sonuçları karşılaştırmak için yönetmeliklerde bulunan yöntemleri kullanmışlardır.

Movarcik (2013), yaptığı çalışmada Slovakya'da yer alan karayolu köprülerinin büyük bir kısmının öngerilmeli beton teknolojisi ile üretildiğini belirtmiştir. Yine bu teknoloji ile

yaklaşık olarak toplam uzunluğu 200km'ye kadar yeni köprülerin inşa edileceğinin ülkesinin planlamasında yer aldığı açıklanmıştır. Bu doğrultu kapsamında, 24m ile 42m arası açıklıkları geçebilmek için I tipi yeni prefabrik öngerilmeli beton kırısların Eurocode'a göre tasarımını yapmıştır. Üç elemandan oluşan kırıslere öngerme ve ardgerme uygulamıştır.

Colajanni vd. (2014), eğilme momenti ve kesme kuvvetine maruz bırakılan öngerilmeli beton kırısların betonarme donatısının en uygun şekilde yerleştirilmesi için bir çalışma yapmışlardır. Bu amaçla eksenel kuvvet-eğilme momenti-kesme kuvveti etkileşimi altında betonarme kırış ve öngerilmeli beton kırıslar için birleşik bir model geliştirmiştir. Bu analitik model, literatürde toplanan hem deneysel sonuçlara hem de lineer olmayan sayısal analizlere karşı doğrulanmıştır. Daha önce yapılmış öngerilmeli kırıslar sahip bir köprü üzerinde çalışma yapmışlar ve bu köprünün mevcut betonarme donatısı diziliminin yerine maliyet açısından daha uygun bir dizim şekli belirlemiştir.

Yapar vd. (2015), yaptıkları çalışma öngerilmeli kırısların lineer olmayan sonlu eleman modeli üzerindedir. Bu tip kırısların lineer olmayan analizlerde dikkat edilmesi gereken konulara önem vermişlerdir. Öngerilmeli kırısların yükleme sonucu oluşan çatlaklar hakkında açıklamalar yapmışlardır.

Toyota vd. (2017), son zamanlarda Japonya'daki öngerilmeli beton köprülerin öngerilmeli kırısların çatlaklarının olduğunu gözlemlenmişler ve bu durumun en kötü senaryo göz önüne alındığında köprünün yıkılmasına neden olabileceğini belirtmişlerdir. Gerçekleştirdikleri çalışmada, öngerilmeli beton kırıslarının titreşim özelliklerinin nasıl değiştiğini açıklamak ve köprü sağlığını kontrol etmek için bir öngerilmeli beton kırış üzerinde titreşim testleri gerçekleştirmiştir. Böylece, öngerilmeli kırısteği öngerilme kuvvetinin azaltılması ile kırışın doğal frekansının düşüğünü ancak titreşim sönümleme performansının arttığını gözlemlemişlerdir.

Atmaca (2018), yapmış olduğu doktora tezi kapsamında öngerilmeli prefabrik kırıslı beton köprülerin üstyapısı üzerine analitik ve deneysel çalışmalarla bulunmuştur ve elde ettiği bilgiler kapsamında köprü üstyapısının hesabını ve tasarımını yapan bir bilgisayar programı geliştirmiştir. Bu program ile farklı malzeme özelliklerine, açıklıklara ve genişliklere sahip olan köprü üstyapılarının dış etkilere maruz durumda analizlerinin hızlı ve doğru bir şekilde yapılması amaçlanmıştır. Analiz sonucunda elde edilen; kesit tesirleri, kesit özellikleri, öngerme kablo adedi ve yerleşimleri, kılıflanması gereken kablo adedi, sehim parametreleri ve ayrıca kırış ve tabliyenin imalatında gereken betonarme donatı

miktarı ve yerleşim planı gibi köprü üstyapısının imalatında gerekli olan parametrelerin raporlanması ve uygulama projelerinin hazırlanmasını gerçekleştirmiştir.

Fuente vd. (2019), yaptıkları çalışmada beton teknolojisindeki, betonarme sistemlerdeki ve imalattaki gelişmelerin daha uzun betonarme precast kırışların kullanılmasına olanak sağladığını ve köprü tabliyeleri için bu çözümün rekabeti artttıracagını belirtmişlerdir. Açıklik uzunluğu, taşıma ve yerine yerleştirme maliyetleri arasında optimum bir sonuç elde etmek için öngerilmeli kırışların ağırlığının sınırlı tutulması ve tasarımda öngerilmeli kırışın flanşlarının genişliğinin en aza indirilmesi gerektiğini savunmuşlardır. Gerçekleştirdikleri çalışmada, kırış kaldırma işlemleri sırasındaki 46m uzunlığında bir öngerilmeli beton kırışın yanal dengesizliği ile ilgili bir çalışmayı tanımlamışlar ve gözlemlenen problemin sınırlarını anlamak için parametrik bir çalışmayı gerçekleştirmiştirlerdir.

Harries vd. (2019) gerçekleştirdikleri çalışmada, son yirmi yılda yapılan pek çok araştırmada öngerilmeli beton köprü kırışlarının mevcut açıklıklarını artırma hedeflerinin var olduğu ve bu uzun açıklıkları elde etmek için daha yüksek seviyede öngerme kuvvetinin gerektiğini belirtmişlerdir. Daha büyük öngerilme kuvveti ve daha ince alt başlık pahalarının, kırış uç kısmında hem hizmet verilebilirliği hem de kırışın nihai davranışını etkileyen birçok etkisi olduğunu ve ayrıca daha büyük bir öngerme kuvveti etkitildiğinde potansiyel olarak daha şiddetli davranışlar gözlemlemişlerdir. Geliştirilmiş kırış uç bölgesi detaylandırması yoluyla bu etkileri daha iyi anlamak ve azaltmak için kafes-kırış modelleme yaklaşımını önermişlerdir. Bu durumun faydalarını da (1) öngerme teli çözülmesinin etkilerinin araştırılması, (2) artan kırış açıklığından kaynaklanan daha büyük ön germe kuvvetlerinin potansiyel etkilerinin araştırılması (özellikle 17.8mm (0.7inc) daha büyük çaplı teller kullanılarak) olmak üzere iki durumda göstermişlerdir.

Steensels vd. (2019) yaptıkları çalışma kapsamında, öngerilmeli beton kırışların ankray bölgelerinde donatı detaylandırılması için mevcut tasarım modellerinin değerlendirilmişlerdir. Literatürde bulunan farklı tasarım modellerini uç bloğa sahip öngermeli tek bir eleman için değerlendirilmişlerdir ve ortaya çıkan donatı düzenlerini iki aşamalı bir sayısal yaklaşım kullanılarak modellenmişlerdir. Bu yaklaşımda, öngerme kuvvetinin öngerme kablolardan onu çevreleyen betona aktarılması ve ankray bölgesindeki gerilme alanının birbirini takip ettiğini belirtmişlerdir. Lineer olmayan malzeme davranışını, çatlama gerçekleştikten sonra olası gerilmenin yeniden dağılımını doğru modellemek için uygulamışlardır. Kırışların uç bölgelerindeki farklı donatı dizilimlerini, sayısal modelin

donatısı boyunca toplam düşey gerilmelerin izlenmesiyle değerlendirilmişlerdir. Farklı son bölge donatı düzenlerinin etkisini daha fazla araştırmak ve donatı çubuklarının değişken geometrik yerleştirilme etkinliğini değerlendirmek için parametrik bir çalışma yapmışlardır.

1.3. Çalışmanın Amacı ve Kapsamı

Son zamanlarda öngerilmeli kırışlarla yapılan köprülerin hem dünya genelinde hem de ülkemizde önemli bir konuma sahip olduğu görülmektedir. Bu köprülerin dünyadaki ve ülkemizdeki inşa sayıları göz önüne alındığında yapılan tüm köprülerin önemli bir kısmını oluşturmaktadır.

Artan nüfus beraberinde birçok ihtiyaç doğurmaktadır. Bunlardan bir tanesi de ulaşım gereksinimidir. Medeniyetlerin artan ulaşım ihtiyacı göz önüne alındığında kısa sürede yapılması, ekonomik faydası, uzun ömürlü olması, yangına dayanımının iyi olması vb. üstünlüklerinden ötürü öngerilmeli kıraklı betonarme köprüler günümüzün köprü ihtiyacının karşılanmasıında ön sıralarda yer almaktadır. Gelecekte de bu köprülerin inşasının, diğer köprülere göre imalatının daha pratik olduğu göz önüne alındığında artarak devam edeceği öngörülmektedir.

Bu yüksek lisans tezi çalışmasında, öngerilmeli prefabrik kıraklı betonarme köprülerde öngerilmeli kırışlar üzerine çalışmalar yapılmıştır. Bu kapsamda ülkemizde daha önceki zamanlarda ve günümüzde de inşa edilen öngerilmeli prefabrik köprülerde sıkılıkla kullanılan yükseklikleri 75, 90, 120, 150 ve 180cm olan beş adet öngerilmeli kırış kesiti örnek olarak seçilmiştir ve yapılan hesaplarda büyük ölçüde AASHTO'da yer alan koşullar dikkate alınmıştır.

Yapılan hesaplarda malzeme özellikleri sabit tutulmakla birlikte, farklı açıklığa ve genişliğe sahip olan öngerilmeli prefabrik kırışların belirli aralıklarla yerleştirilmesi ile oluşturulan köprü üstyapılarının maruz kaldığı dış etkiler altındaki hesaplarının yapılması ve hesaplar sonucu elde edilecek; prefabrik ve kompozit kesitlerin özellikleri, kırış kesitine yerleştirilecek öngerme kablo sayısı ve en uygun yerleşim planı, kılıflanacak öngerme kablo sayısı, kesit tesirleri, öngerilmeli kırışta olacak çekme gerilmelerini karşılamak için kırış alt ve üst başlığında boyuna yönde yerleştirilecek betonarme donatısı sayısı ve sehim parametreleri gibi verilerin elde edilmesi hedeflenmiştir. Elde edilen veriler işliğinde köprü üstyapısının en önemli elemanı olan öngerilmeli prefabrik kırışların en ideal olduğu açıklıklar, bu açıklıklarda kullanılacak en ideal kırış tipinin belirlenmesi ve ayrıca bu veriler

işığında köprü üstyapısında kullanılacak öngerilmeli kırışların maliyetlerinin belirlenebilmesi için malzeme metraj tablosunun ortaya çıkartılması amaçlanmıştır. Bu amaç doğrultusunda oluşturulan tez dört bölümden oluşmaktadır.

Genel Bilgiler bölümünde, konu ile ilgili genel bilgilere, literatürde yapılan çalışmalar hakkındaki bilgilere ve yapılan çalışmanın amacı ve kapsamı hakkındaki görüşlere yer verilmektedir. Daha sonra öngerilmeli betonarme kiriş kapsamında yer alan öngerilmeli beton, öngerme yöntemleri ve imalatta kullanılan malzemeler hakkında genel bilgiler verilmektedir. Öngerilmeli prefabrik kırışlere sahip olan köprü üstyapısının hesabında ve tasarımda gerekli olan yükler, bu yüklerin etkimesi sonucu oluşan kesit tesirleri, kiriş kesit özellikleri, kesite yerleştirilecek öngerme kablo sayısının belirlenmesi, öngerilme kayıpları, kirişte farklı dönemlerde oluşan sehim parametreleri, öngerme kablosu kılıflama işlemleri gibi öngerilmeli kiriş hesabı hakkında bilgiler ve formüller yer almaktadır.

Yapılan Çalışmalar bölümünde, tez kapsamında gerçekleştirilen çalışmalar ve bu çalışmalar sonucu elde edilen veriler yer almaktadır. Bu bölümde ilk kısımda hesapları gösterilecek olan örnek bir köprü üstyapı enkesiti için, üstyapı yerleşim ve malzeme parametreleri belirlenmiştir. Daha sonra öngerilmeli kırışlerde bulunan öngerme kablolarının alt başlığı en uygun şekilde yerleştirilmesi, öngerilmeli kirişin kesit özelliklerinin belirlenmesi, öngerilmeli beton köprülerin maruz kaldığı sabit ve hareketli yüklerin kırışlerde meydana getirdiği kesit tesirlerinin belirlenmesi, kirişte meydana gelen öngerilme kayıplarının belirlenmesi, meydana gelen gerilmelerin tahlük edilmesi, kirişte kılıflamadan sonra meydana gelecek çekme gerilmelerinin karşılanması için kirişe yerleştirilecek boyuna donatının belirlenmesi, eğilme ve kesme taşıma kapasitesi ve minimum donatı oranı kontrolü ve kirişte meydana gelecek sehimler için tahlıklere yer verilmiştir. Daha sonra ise, köprü üstyapısında kullanılan öngerilmeli kiriş boylarının 19m'den başlayarak birer metre artacak şekilde 41m'ye kadar değiştiği, köprü üstyapı enkesitlerinin ise 9.50m ile 30.50m arasında yedi tip olduğu ve beş farklı öngerilmeli kiriş tipinin en uygun açılığın belirlenmesi için kullanıldığı tek açılık olarak düşünülen köprü üst yapıları için yapılan hesaplar, elde edilen sonuçlar ve metrajlar tablolar halinde verilmiştir.

Üçüncü bölüm başlığı olan Bulgular ve İrdelemeler bölümünde, belirlenen üstyapı enkesitleri için seçilen öngerilmeli kiriş tiplerinin en etkin olduğu açılıkları hakkında bilgilere yer verilmiştir.

Dördüncü Bölüm olan Sonuçlar ve Öneriler bölümünde ise, elde edilen sonuçlara ve gelecek çalışmalara yol gösterebilecek bazı önerilere yer verilmiştir. Bu bölüm kaynaklar, ekler ve özgeçmiş takip etmektedir.

1.4. Öngerilmeli Betonarme Kırış

1.4.1. Öngerilmeli Beton

Üstün özelliklere sahip olan beton, mühendislik projelerinde ana yapı malzemesi olarak geniş bir kullanım alanına sahiptir. Ancak, betonun basınç dayanımı yüksek olmasına rağmen çekme dayanımının düşüklüğü beton için bir dezavantajdır. Halbuki, birçok yapı elemanında büyük eğilme momentleri ve bu durumun da bir sonucu olarak çekme gerilmeleri meydana gelmektedir. Betonun bu zayıf yönünü giderebilmek için betonarme teknigi geliştirilmiştir. Her ne kadar bu teknik ile betonun çekme bölgесine donatılar yerleştirilip, betonun zayıf yönü giderilmeye çalışılmışsa da çekme bölgesinde betonun çatlaması engellenmemiştir. Betonarme teknığının; çatlama, ağırlığının fazla olması, açıklık arttıkça maliyetin fazla olması, büyük şekil değiştirme yapması, donatıların korozyona uğrama ihtimalinin fazla olması vb. sakıncaları göz önüne alındığında, bu etkenleri ortadan kaldırmak için çalışmalar yapılmıştır ve öngerilmeli beton teknigi bulunmuştur (Atmaca, 2018). Bu teknik ile betonun çekme bölgесine öngerme kabloları yardımı ile öngerilme kuvveti uygulanmakta ve çekme gerilmelerinin olmadığı gözlemlenmektedir.

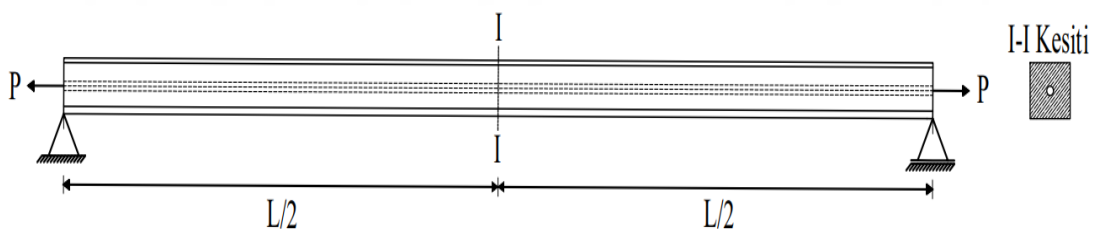
Modern mühendislikte önemli gelişmelerden biri olan ve aynı zamanda bir teknolojinin adının da ortayamasına zemin hazırlayan öngerilmeli beton, betonarmenin bazı yetersizliklerinin ve eksik yönlerinin düzeltilebilmesi için ortaya çıkan bir teknoloji konumundadır. Öngerilmeli beton teknolojisi, kendini kısa sürede piyasaya kabul ettirmiştir ve geleceğin yapı malzemesi olarak hızlıca ön sıralarda yer almıştır. Bu yapı malzemesi yöntemi diğer turlere göre ekonomiklik, hızlılık, عمر uzunluğu, yangına karşı dayanıklılık, enerjiden tasarruf etme ve mimari açıdan esneklik sağlamaktadır (Kozak, 2011).

Öngerilmeli beton, yüksek dayanıma sahip beton ile yüksek dayanıma sahip çeligin aktif bir şekilde çalışmasıyla meydana gelmektedir. Çelik sünek bir malzemedir ve çeligin yüksek oranda gerilmesiyle yapı elemanında enerji depolanmaktadır. Bu enerji, yapı elemanın alt tarafında bir sıkışma oluşturur ve bu sıkışma sonucunda hafif ters bir sehim

meydana getirmektedir. Böylece betonun zayıf yönü olan çekme kapasitesindeki eksiklik öngerilme işlemiyle ortadan kaldırılarak yüksek dayanıma sahip olan bu iki malzemenin ideal şekildeki birleşimi sağlanmış olmaktadır. Bu şekilde de kırışın kendi ağırlığını taşıma zorunluluğunu ortadan kaldıracak yukarı yönlü bir kuvvet meydana getirmekte ve kırışın uzunluğu boyunca meydana gelen bu kuvvet, kırışa etki eden yüklerle karşı koymaktadır (Kozak, 2011).

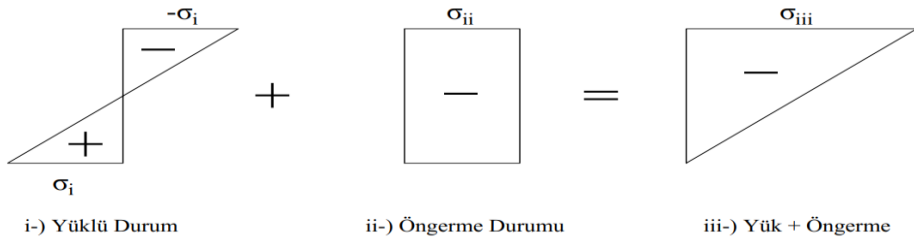
Bu bilgiler ışığında öngerilmeli beton, dış yüklerin etkimesinden önce oluşturulan, taşıyıcı sistemlerde dış yüklerin etkimesi sonucu oluşan gerilmeleri amaca uygun şekilde değiştiren, yapay ve sürekli bir gerilmenin verildiği beton olarak tanımlanabilmektedir (Özden vd., 1994). Bir başka değişle ise, yüksek dayanıma sahip beton ile yüksek dayanımlı elastik sınırlı çelik donatılarının birlikte kullanılmasıyla oluşturulan ve çeliğe yapay olarak verilen gerilmelerin kenetlenme yoluyla betona iletilmesi ile kesitte meydana gelecek çekme gerilmelerinin ortadan kaldırılması işlemi olarak da tanımlanabilmektedir (Topçu, 2006).

Öngerilmeli taşıyıcı yapıya sahip bir elemanın davranışını en basit şekilde tanımlamak için dikkate alınan ve ortasında çelik tellerin geçebilmesi için boşluklar bırakılan basit bir kırış Şekil 1.1'de gösterilmektedir.



Şekil 1.1. Merkezinden gerilen bir öngerilmeli basit kırış

Kırış üzerinde yük bulunmaması durumunda yani kırışın kendi ağırlığı altında I-I kesitinde meydana gelecek gerilme dağılımı Şekil 1.2(i)'deki gibi olacaktır. Bu durumda kırışın üst liflerinde basınç ($-\sigma_i$), alt liflerinde ise çekme ($+\sigma_i$) gerilmeleri meydana gelecektir. Bir P kuvveti ile gerilmiş ve düzgün bir gerilme dağılımı elde edilmiş olan öngerme kablolarında meydana gelecek gerilme dağılımı Şekil 1.2(ii)'deki gibi olacaktır. Bu olacak iki sistem birleştirilip toplandığında Şekil 1.2(iii)'deki gerilme dağılımı meydana gelecektir. Şekil 1.2(iii)'de görüldüğü üzere kırış kesiti sadece basınç gerilmesi altındadır ve böylece kesitte oluşacak çekme gerilmeleri ortadan kaldırılarak kesitte meydana gelecek çatlakların önüne geçilebilmektedir (Topçu, 2006).



Şekil 1.2. Öngerilmeli basit kiriş gerilme dağılımları

Günümüze kadar birçok öngerme sistemi ve tekniği geliştirilmiştir. Bunlar içerisinde öngerilmeli beton teknigi yaygın olarak kabul görmüştür ve halen daha uygulanmaktadır. Bu teknik; döşeme, kolon, kiriş gibi bina elemanlarında, kazıklar, tüneller, stadyumlar, nükleer enerji santralleri, televizyon kuleleri ve daha birçok yapıda, özellikle de köprülerde kullanılmaktadır. Birçok öngerilme yöntemi kullanılmakla beraber kimyasal öngerilmenin dışındakiler, öngerme ve ardgerme yöntemleri olmak üzere iki başlık altında yer almaktadır (Naaman, 1982).

1.4.2. Öngerilme Yöntemleri

1.4.2.1. Öngerme Yöntemi

Öngerme yöntemi prensibi kısaca tarif edilecek olunursa, isminden de anlaşılacağı üzere öngerme kablolarının beton dökülmeden önce çekilmesi işlemidir.

Bu yöntemde ilk olarak öngerilmeli elemanın yapılacak kalıp iyice temizlenmekte ve yağlanmaktadır. Ardından normal donatı ve öngerme kablolarının projeye uygun şekilde yerleştirilmesi yapılmaktadır (Ünal ve Kürklü, 2007). Sonra öngerme kablolarının bir ucu sabit diğer ucu pistonlar ile kontrol edilen kalıp içinde gerdirilme işlemi yapılmaktadır. Beton gerdirilen kabloların bulunduğu kalıbin içine dökülmekte ve bakımı yapılmaktadır. Betonun yeterli dayanıma ulaşması ile kablolar yavaşça serbest bırakılmaktadır. Beton ile donatılar arasındaki aderans ile kabloların gerilmenin betona aktarılması ile çekme gerilmesinin oluşmadığı ve basınç gerilmesi ile yüklenmiş eleman üretimi gerçekleşmiş olmaktadır (Atmaca, 2018).

Öngerme yönteminde, beton ile donatı arasındaki aderansın mümkün olduğunda fazla olmasını sağlamak için öngerilme donatı çapının küçük seçilmesi gerekmektedir. Ayrıca bu

yöntem fabrikasyon için büyük bir potansiyel gösterdiği için daha fazla tercih sebebi olmaktadır (Naaman, 1982).

1.4.2.1.1. Öngerme Yönteminin Avantajları

Öngerme yönteminin avantajları aşağıdaki gibi sıralanmıştır:

- Fabrikasyona dayalı bir imalat şekli olduğundan dolayı toptan imalatın bütün üstünlüklerini taşımaktadır.
- İmalatta çalışan personeller sürekli olarak aynı işleri yaptığından dolayı deneyimlidir ve dolayısıyla işçilik hem çok kaliteli hem de çok verimli olmaktadır.
- Buhar kürü ve sıcakta muhafaza kolay olduğundan imalat hızının artırılması ve kalıpların ekonomik kullanılması mümkün olmaktadır.
- Kalıp uçlarında ankraj için bir ekipmanın kullanılması gereği olmadığından maliyetten kazanç söz konusu olmaktadır.
- Prefabrike inşaat için son derece uygundur.

1.4.2.1.2. Öngerme Yönteminin Sakıncaları

Öngerme yönteminin sakıncaları aşağıdaki gibi sıralanmıştır:

- İmal edilen ürünlerin fabrikadan şantiyeye kadar yükleme, transfer ve montaj problemleri meydana gelmektedir. Dolayısıyla maliyette artış söz konusu olmaktadır.
- Bazı durumlarda ağırlığı azaltmak için kesitler küçük boyutlarda tutulmaktadır. Dolayısıyla geçilebilecek açıklık azalmaktadır.
- Bu yöntem önemli ölçüde bir ön yatırım gerektirmektedir (yataklar, çelik kalıplar, yükleme-indirme-montaj vinçleri, buhar kürü düzenekleri gibi).
- İmalat kataloglarla sınırlı olduğu için mimari açıdan kısıtlamalar mevcut olmaktadır.

1.4.2.2. Ardgerme Yöntemi

Ardgerme yöntemi prensibi kısaca tarif edilecek olunursa, isminden de anlaşılacağı üzere öngerme kablolarının beton döküldükten ve dayanımını kazandıktan sonra çekilmesi işlemidir.

Bu yöntemde ilk olarak öngerilmeli elemanın yapılmak istediği kalıp iyice temizlenmekte ve yağlanmaktadır. Ardından normal donatı ve öngerme kablo kılıfları olarak adlandırılan ince cidarlı boruların projeye uygun şekilde yerleştirilmesi yapılmaktadır (Ünal ve Kürklü, 2007). Kablolar, kılıfların içine beton dökülmeden hemen önce serbest bir şekilde (çekilmeden) veya beton dayanımını kazandıktan sonra yerleştirilebilmektedirler. Kablolar gerildikten ve elemanın uç kısmına ankrajlandıktan sonra, kılıflar ile öngerme kabloları arasındaki boşluk sonradan sertleşen özel bir harç malzemesi ile kapatılmaktadır. Bu harç yardımıyla, öngerme kabloları ile kabloları saran betonun aderansı sağlanmaktadır. Böylece, öngerilmeli elemanın çatlamaya karşı direnci artırılmaktadır ve donatılardaki korozyon riski minimum seviyelere çekilmektedir.

Kılıflar ile donatılar arasındaki boşlukların harç yerine yağı ile doldurulması halinde, kablo boyunca aderans kaldırılmış olacaktır ve kablolardaki gerilme betona sadece uç kısımlarda yer alan ankrajlardan aktarılacaktır. Aderanssız öngerilme donatıları genellikle yağı ya da bitümlü malzemelerle kaplanmaktadır ve su geçirmeyen malzemelerle sarılarak ya da esnek plastik boruların içine sokularak beton dökülmeden önce kalıp içine yerleştirilmektedir. Ayrıca bu yöntem özellikle boyutu itibariyle taşınması mümkün olmayan elemanların yerinde üretiminde tercih sebebi olmaktadır (Naaman, 1982).

1.4.3. Malzemeler

Öngerilmeli kirişler imal edilirken kullanılacak malzemelerin en önemlilerini beton, betonarme donatısı ve öngerme kablosu oluşturmaktadır. Öngerilmeli kiriş imalatında istenilen performansı elde edilebilmek için yüksek dayanıma sahip beton ve öngerme kablosu gibi yüksek kaliteli malzemeler bir arada kullanılmaktadır.

1.4.3.1. Beton

Beton bilindiği gibi agregat, su, çimento ve gerekli durumlarda kimyasal ve mineral katkı maddelerinin belirli oranlarda kullanılması ile üretilen kompozit bir yapı malzemesi olarak tanımlanmaktadır.

Öngerilmeli beton imalatında katkı maddelerinin kullanılması tavsiye edilmemekle birlikte kalsiyum klorür içeren katkı maddelerinin ise kullanımına izin verilmemektedir (TS 3233, 1979).

Öngerilmeli kiriş imalatında kullanılacak olan agreganın özellikleri TS 706 EN 12620, çimentonun özellikleri TS EN 197-1 ve suyun özellikleri ise TS EN 1008 standartlarına uygun bir şekilde olmalıdır.

Öngerilmeli kiriş imalatında kullanılan beton yüksek dayanıklı olmalıdır ve bu yüksek dayanımı erkenden sağlamalıdır. Genellikle kirişlerin üretiminde, minimum karakteristik silindir basınç dayanımı 40MPa olan beton sınıfı kullanılmaktadır (KGM, 2013). Ayrıca minimum karakteristik silindir basınç dayanımı AASHTO için 28MPa ve TS 3233 için ise 25MPa olarak belirlenmiştir.

1.4.3.1. Betonarme Donatısı

Betonarme donatısı, öngerilmeli kiriş imalatında çoğu zaman kesme ve eğilme gerilmelerini karşılamak amacıyla boyuna donatı ve beton kesitini sarmalayan etriye donatısı olarak kullanılmaktadır. Öngerilmeli kirişlerde betonarme donatısı olarak, projesinde belirtilen çap ve uzunluklarda, beton ile daha kuvvetli bağ oluşturabilen yüzey çıkışlarına sahip nervürlü betonarme donatısı tercih edilmektedir (Atmaca, 2018).

1.4.3.2. Öngerme Kablosu

Öngerilmeli beton imalatında kullanılan öngerme kablosunun yüksek dayanımı sahip çelikten yapılması gerekmektedir. Öngerme kabloları yüksek dayanımının beraberinde yüksek gerilmelerde elastik sınırlar içinde kalabilme, dayanım sınırına kadar yeterli süneklik gösterebilme, beton ile iyi aderans yapabilme, düşük gevşeme kapasitesine sahip olabilme, yorulmaya ve korozya karşı dayanıklılık gibi özelliklere de sahip olmalıdır (Aydın, 2006).

Öngerilmeli köprü kırışı imalatında, öngerme kablosu olarak ASTM ve AASHTO standartlarında tanımlanan Tip 270K düşük gevşemeli kabloların kullanılması gerektiği belirtilmektedir. Bu düşük gevşemeli sınıf, kopma dayanımının %70'ine yüklenliğinde gevşeme kaybı %2.5'ten fazla olmayan veya %80'ine yüklendiğinde gevşeme kaybı %3.5'ten fazla olmayan halatları kapsamaktadır (KGM, 2013).

Bu standartlarda belirtilen mekanik özellikler ve öngerilmeli kırış imalatında kullanılacak halatların özellikleri Tablo 1.1'deki gibi olmaktadır.

Tablo 1.1. Tip 270K düşük gevşemeli öngerme kablosu mekanik özellikler (KGM, 2013)

Nominal Halat Çapı		Kesit Alanı (mm ²)	Birim Ağırlık (kg/m)	Akma Dayanımı (kgf)	Halat Kopma Dayanımı (kgf)
(in)	(mm)				
0.5	12.70	98.71	0.775	16.530	18.370
0.6	15.24	140.00	1.102	23.460	26.070

1.4.4. Öngerilmeli Sistemin Avantajları

Dünya genelinde karayollarının önem kazanması sonucunda, sağladıkları bazı avantajlar bakımından öngerilmeli köprü kırışlarının kullanımı yaygınlaşmıştır. Daha sonraları önem kazanan bu kırışlar için belirli kalıplar dahilinde tiplerin oluşturulması işlemi yapılmıştır (Öztürk ve Öztürk, 2007).

Ülkemizde de yaygın bir kullanım alanına sahip olan öngerilmeli beton sistemlerinin avantajları aşağıdaki gibi sıralanabilmektedir.

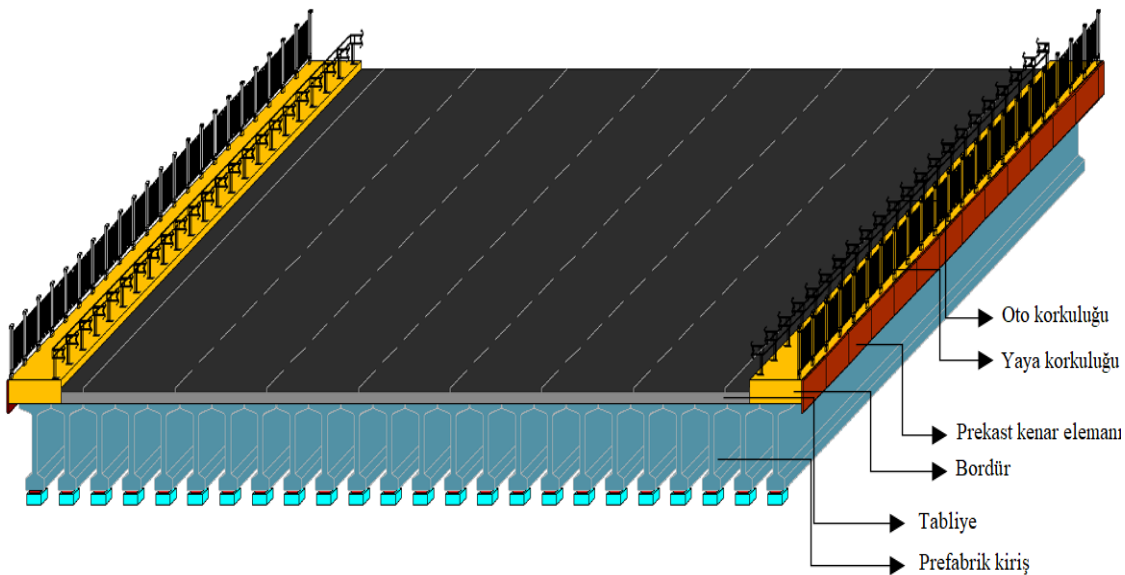
- Yüksek kaliteli beton ve çeliğin birlikte kullanılmasıyla ağırlığın minimum seviyeye çekiliip büyük açıklıkların daha ekonomik olarak geçilebilmesinin sağlanması (Kozak, 2011)
- Öngerilmeli elemanlarda en kesitlerin küçültülmesi ile beton ve çelik harcamalarından tasarruf elde edilmesi ve bunun sonucunda ise yapının hafiflemesi, ayrıca temellerin küçültülmesi (Ayaydın, 1989)
- Akma dayanımı daha yüksek çelik kullanıldığı için öngerilmeli beton elemanlarında daha az donatının kullanılması (Kozak, 2011)

- Öngerme donatılarının titreşim boyunun küçük olması ve bu sayede bu donatılarla oluşturulan öngerilmeli yapıların yorulma mukavemetlerinin daha büyük olması (Öztürk ve Öztürk, 2007)
- Kesitin bütün yüksekliğinin çalışmasının sağlanması ile daha narin ve daha cazip elamanların yapılabilmesi (Kozak, 2011)
- Elemanların daha önceden imal edilmesi nedeniyle yapıda kalıptan tasarruf edilebilmesi (Kozak, 2011)
- İç kuvvetlerin istenilen durumda olmasını sağlayarak sehimleri istenilen mertebede tutabilmeyi ve çatlama durumuna hakim olunabilmesi (Yanık, 2007)
- Kırışların aşırı yüklenmesi sonucu oluşacak çatlakların; çelikteki birim deformasyonlarının %0.01 değerini aşmaması halinde, bu yüklemenin ortadan kaldırılması halinde yeniden kapanması (Öztürk ve Öztürk, 2007)
- Üstyapıda oluşacak çatlakların önlenmesi veya sınırlandırılması ile yapının ekonomik ömrünün maksimum seviyeye kadar uzatılması (Öztürk ve Öztürk, 2007)
- Çatlakların tamamen ortadan kaldırılması ile yapıların daha emniyetli bir hale gelmesinin sağlanabilmesi (Oflazoğlu, 2007)
- Kullanım yükleri altında yapıda oluşacak deformasyonların ve şekil değiştirmelerin diğer sistemlere göre daha küçük seviyede seyretmesi (Öztürk ve Öztürk, 2007)
- Yapım hızı, uzun ömürlülük ve enerji kaybının önlenmesinin sağlanması (Oğuz, 1989)
- Öngerilmeli elemanların eğilme momenti ve kesme kuvveti taşıma kapasiteleri daha fazla olması

1.5. Köprü Üstyapısı

Öngerilmeli kırıslı bir köprü; tabliye, öngerilmeli kırışlar, başlık kırışları, kenar ve orta ayaklar, temeller, kazıklar gibi yapı elemanlarından meydana gelmektedir. Uygulanan birçok çalışmada da görüldüğü gibi köprü üst yapısını tabliye ve öngerilmeli kırışlar oluşturmaktadır. Öngerilmeli prefabrik kırıslı beton köprü üstyapısı Şekil 1.3'teki gibidir.

Bu yüksek lisans tezi kapsamında köprü üst yapısını meydana getiren tabliye ve öngerilmeli kirişler baz alınacaktır ve böylece köprünün iki ayağı arasında yer alan köprü üst yapısı için tasarımlar yapılacaktır.



Şekil 1.3. Öngerilmeli prefabrik kirişli beton köprü üstyapısı

1.6. Öngerilmeli Beton Kirişlere Etkiyen Yükler

Bu başlık altında köprü üstyapısını oluşturan elemanların tasarımında kullanılacak yükler açıklanacaktır. Köprü üstyapısını oluşturan öngerilmeli kirişler ve tabliyenin tasarımında zati yük ve hareketli yük olmak üzere iki yük tipi dikkate alınacaktır. Bu yüklerin ne olduğu, ne şekilde dikkate alınacağı ve öngerilmeli kirişlere dağılımının nasıl olacağı hesaplarda kullanılan yönetmeliklere uygun olacak şekilde bu kısımda açıklanacaktır.

1.6.1. Zati Yükler

Sabit veya zati yükler, üstyapıyı meydana getiren köprü elemanlarının kendi ağırlığından dolayı oluşan yükleri temsil etmektedir.

Bu yüklerin hesabının yapılabilmesi için köprü üzerindeki yapı elemanlarının boyutlarının ve birim hacim ağırlıklarının bilinmesi yeterlidir ve ilave bir bilgiye ihtiyaç duyulmamaktadır.

Bu tez kapsamında köprü üstyapısının tasarımında kullanılacak zati yükler aşağıdaki gibidir:

- Öngerilmeli kiriş ağırlığı
- Tabliye ağırlığı
- Diğer yükler
 - Asfalt kaplama ağırlığı
 - Bordür ağırlığı
 - Korkuluk ağırlığı
 - Prekast cephe elamanı ağırlığı
 - Üstyapı üzerindeki dolgu ağırlığı
 - Yaya yükü

Yaya yükleri, hareketli yük sınıfına dahil olmalarına rağmen kiriş hesaplarında hesap kolaylığı sağlama bakımından zati yükler kısmında dikkate alınmıştır.

Ayrıca yukarıda belirtilen yüklerin kesitte bulunan mevcut prefabrik ön gerilmeli kirişlerin her birine eşit bir şekilde dağılacağı kabul edilecektir. Her bir kiriş'e gelen yük, bu zati yüklerden oluşan toplam ağırlığın en kesitteki toplam kiriş sayısına bölünmesiyle elde edilecektir.

Öngerilmeli kirişin değişik kesitlerinde meydana gelecek momentler ve kiriş mesnetlerinde oluşacak maksimum kesme kuvvetleri; yukarıda verilen yükler dikkate alınarak hesaplanacaktır (Aydın, 2006).

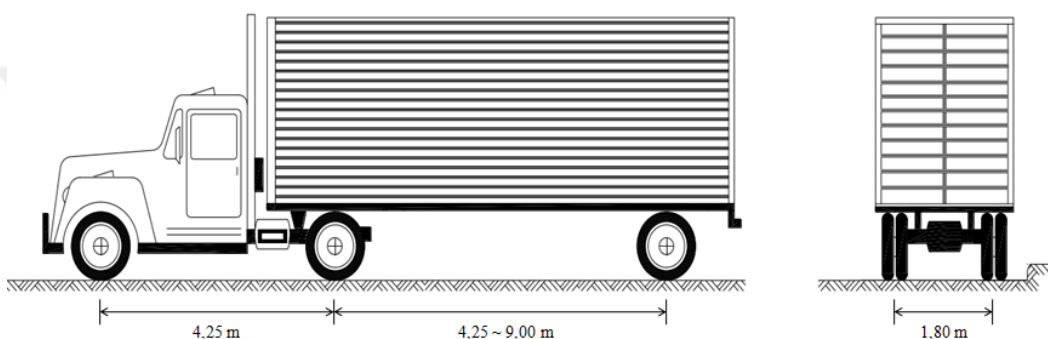
1.6.2. Hareketli Yükler

Hareketli yük; üst yapı elemanına zaman zaman etkiyen ve üstyapı üzerinde yer değiştirebilen statik yükleri temsil etmektedir. Üstyapının üzerinden geçen hareketli yükler, AASHTO'ya göre standart kamyon yükü veya standart kamyon katarına eşdeğer olan şerit yüklerinden meydana gelmektedir.

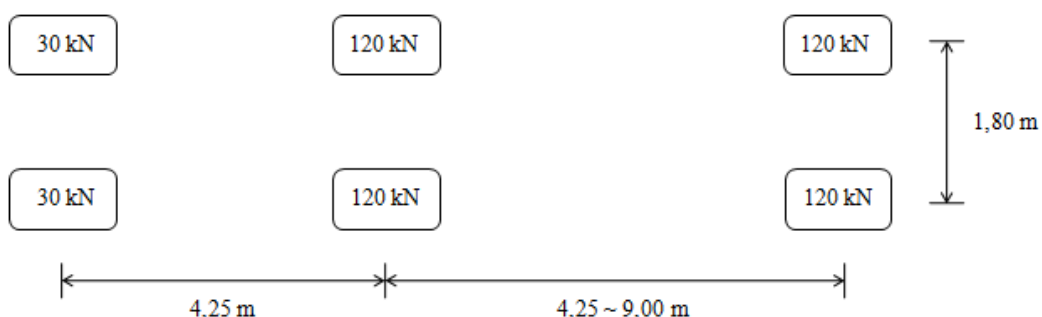
Türkiye'de bir köprünün tasarımı yapılırken dikkate alınacak yükler "KGM, Karayolu Teknik Şartnamesi"ne göre belirlenmektedir. Ülkemizde herhangi bir köprünün tasarımında kullanılacak hareketli araç yükünü $H_{30}S_{24}$ tasarım kamyonu temsil etmektedir. Ayrıca ülkemizin şartlarına göre tanımlanan bu $H_{30}S_{24}$ tasarım kamyonunun ağırlığı, AASHTO'da verilen kamyon yüklerinden yaklaşık 1.5 kat daha fazladır.

Tasarım kamyonun belirtilmesinde kullanılan H simgesi iki dingili olan bir kamyonu, S simgesi kamyonla bağlı olan bir yarım treyleri ifade etmektedir. H simgesinden sonra gelen sayı kamyonun iki dingilinden yapıya aktarılan ağırlığı, S simgesinden sonra gelen sayı ise kamyonla bağlı yarım treylerin tek dingilinden aktarılan ağırlığı ifade etmektedir (Atmaca, 2018).

Ülkemizde köprü üstyapısı hesaplarında kullanılan hareketli araç yükünü temsil eden $H_{30}S_{24}$ tasarım kamyonunun aksları arasındaki mesafe Şekil 1.4'te ve bu akslara etki eden yükler Şekil 1.5'te gösterilmektedir.



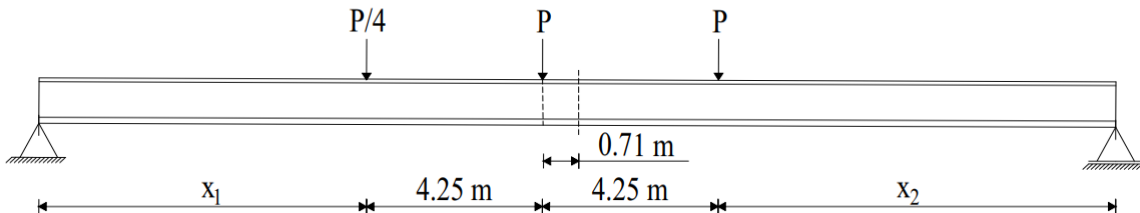
Şekil 1.4. $H_{30}S_{24}$ tasarım kamyonunun aksları arasındaki mesafe



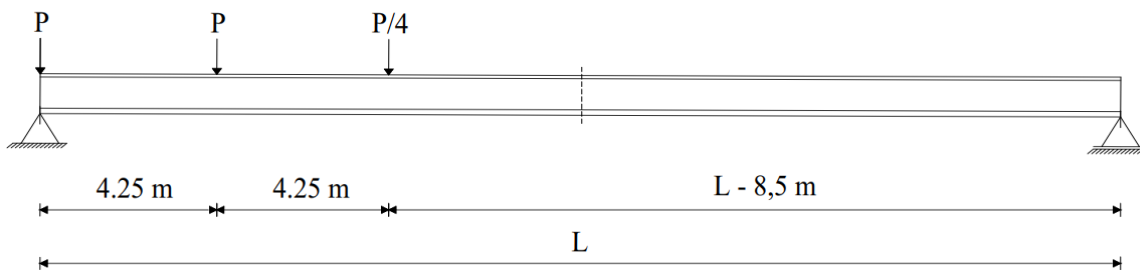
Şekil 1.5. $H_{30}S_{24}$ tasarım kamyonunun akslarına etki eden yükler

$H_{30}S_{24}$ tasarım kamyon yükünün ve şerit yüklerinin 3m'lik bir genişliği kapladığı kabulü yapılmaktadır.

$H_{30}S_{24}$ tasarım kamyon yüklemesinin basit mesnetli bir kiriş üzerindeki maksimum eğilme momenti değerini bulacak şekilde yerleştirilmiş hali Şekil 1.6'da ve maksimum kesme kuvveti değerlerini bulacak şekilde yerleştirilmiş hali ise Şekil 1.7'de ayrı ayrı gösterilmektedir.

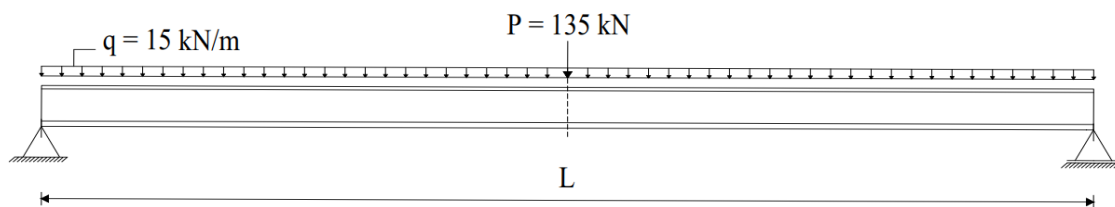


Şekil 1.6. $H_{30}S_{24}$ tasarım kamyon yüklemesinin eğilme momenti için en elverişsiz yerleşimi

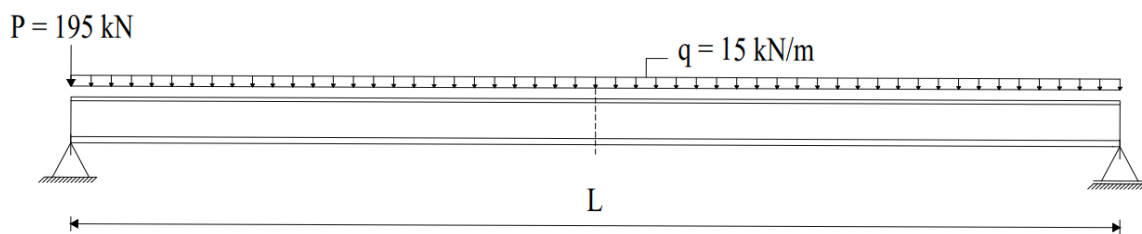


Şekil 1.7. $H_{30}S_{24}$ tasarım kamyon yüklemesinin kesme kuvveti için en elverişsiz yerleşimi

$H_{30}S_{24}$ şerit yüklemesinin basit mesnetli bir kiriş üzerindeki maksimum eğilme momenti değerini bulacak şekildeki yerleştirilmiş hali Şekil 1.8'de ve maksimum kesme kuvveti değerlerini bulacak şekildeki yerleştirilmiş hali ise Şekil 1.9'da ayrı ayrı gösterilmektedir.



Şekil 1.8. $H_{30}S_{24}$ şerit yüklemesinin eğilme momenti için en elverişsiz yerleşimi



Şekil 1.9. $H_{30}S_{24}$ şerit yüklemesinin kesme kuvveti için en elverişsiz yerleşimi

Öngerilmeli kırışlerde H₃₀S₂₄ tasarım kamyon yüklemesi ve şerit yüklemeleri sonucunda oluşacak maksimum eğilme momenti değerleri ve kesme kuvveti değerleri, bu iki yükleme için ayrı ayrı hesaplanacaktır ve bu hesaplanan değerlerden büyük olanları hareketli yüklerin etkimesi sonucu oluşacak moment ve kesme kuvveti olarak kabul edilecektir (Aydın, 2006).

1.6.2.1. Dinamik Etki Katsayısı

Köprü üstyapısı üzerinden geçen araçların köprüde meydana getireceği dinamik etkileri hesaba katmak gerekmektedir. Bunun için, H₃₀S₂₄ tasarım kamyonu yüklemeleri ve şerit yüklemeleri sonucunda elde edilecek kesit tesirleri dinamik etki katsayısı ile çarpılıp hesaba katılmaktadır. Bu dinamik etki katsayısı Denklem (1.1) yardımıyla elde edilmektedir.

$$\varphi = 1 + \frac{15}{L_1 + 37} \quad (1.1)$$

Bu bağıntıda L₁ kiriş mesnet açıklığını ifade etmektedir. Bu bağıntı ile hesaplanan katsayısı değeri 1.30 değerinden daha küçük olmalıdır. Ayrıca, hesaplarda yaya yükleri için dinamik etki katsayı ile bir artırma olmamaktadır.

1.6.2.2. Hareketli Yüklerin Kırışlere Dağılımı

Öngerilmeli kırışlere sahip köprülerde kırışları boyutlandırmak için maksimum eğilme momenti ve maksimum kesme kuvveti değerlerinin belirlenmesi gerekmektedir. Bundan dolayı köprü tabliesinden öngerilmeli kırışlere aktarılacak yüklerin hesaplanması gerekmektedir.

Bir köprüye etkiyen zati yüklerin öngerilmeli kırışlere dağıtıması olayı kolay bir şekilde yapılmaktadır. Ancak hareketli yüklerin öngerilmeli kırışlere dağıtılmrasında sonlu eleman yöntemi ve benzer şekilde yapılacak karmaşık birçok analizin yapılması gerekmektedir. Köprü boyuna yönünde hareket eden taşıtların köprü üzerinde meydana getirdiği yüklerin, köprü enine yönünde dağıtıması kapsamında geçmişten beri süre gelen birçok araştırma yapılmış ve birçok analiz yöntemi geliştirilmiştir (Atmaca, 2018).

AASHTO yönetmeliğinde bu karmaşık analizlerin yapılması yerine daha basit olan bir yöntem yer almaktadır. Her bir öngerilmeli kirişe hareketli yüklerin eşit olarak dağıldığı kabul edilmiştir. Böylece her bir kirişe etkiyecek hareketli yük miktarını bulmak için hesaplanması gereken hareketli yük dağılım katsayısı ilgili yönetmelikte S/D ile hesaplanmaktadır. Burada yer alan S kirişler arasındaki mesafeyi yani kiriş aralığını, D ise köprünün şecline göre belirlenen katsayıyı ifade etmektedir ve bu katsayı metre cinsinden Denklem (1.2)'de verildiği gibi hesaplanmaktadır.

$$D = (1.75 - 0.152N_L) + 0.213N_L(1 - 0.2C)^2 \quad (1.2)$$

Bu bağıntıdaki N_L köprünün üstyapı enkesitinde bulunan trafik şerit sayısını, C ise hareketli yüklerin öngerilmeli kirişlere dağıtılmrasında kullanılan rıjilik parametresini ifade etmektedir ve bu rıjilik parametresi ise Denklem (1.3)'te verildiği gibi hesaplanmaktadır.

$$\begin{aligned} C &= K(W / L_2) & W / L_2 &< 1 \\ C &= K & W / L_2 &\geq 1 \end{aligned} \quad (1.3)$$

Bu bağıntıda W köprünün toplam genişliğini, L_2 öngerilmeli kiriş uzunluğunu, K ise köprü ve kiriş tipine bağlı bir katsayıyı ifade etmektedir. Bu katsayı tez kapsamında 2.2 olarak kabul edilecektir (Aydın, 2006).

1.7. Kiriş Enkesit Özelliklerinin Belirlenmesi

Öngerilmeli kirişlerin boyutlandırılması için birtakım hesaplar gerekmektedir. Bu hesapların önemli bir kısmı da kiriş enkesit özellikleri ile ilgilidir. Bu nedenle, hesap kolaylığı açısından kiriş enkesit alanı, mukavemet momenti, atalet momenti ve öngerilme donatısı dış merkezliği gibi bazı kesit özelliklerinin önceden belirlenip hesaplara katılması gerekmektedir. Ama kiriş enkesit özelliklerinin köprünün yapım aşamalarına göre değişiklik gösterdiği göz önüne alınmalıdır.

Öngerilmeli kirişlere sahip köprülerin yapım aşamaları aşağıda sıralandığı gibi üç döneme ayrılmaktadır:

- Aktarma Dönemi

- Tabliye Betonu Prizini Tamamlamadan Önceki Dönem
- Servis Dönemi (Keyder, 2013).

1.7.1. Aktarma Dönemi

Öngerilmeli kiriş betonu yeterli dayanıma ulaştığı zaman pistonlara bağlı olarak bulunan öngerme kablolarının yavaşça gevşetilmesi ve pistonlardan ayrılmasıyla öngerilme kuvvetinin betona aktarılması gerçekleştirilmektedir. Aktarma döneminde, öngerilmeli kirişlere sadece kiriş zati ağırlığı ve öngerilme kuvvetinden kaynaklı yükler etki etmektedir ve bu yükler prefabrik kesit tarafından taşınmaktadır. Öngerilme kayıplarının aktarma döneminde minimum düzeyde olduğu kabul edilmektedir. Öngerilme kaybı olarak sadece betonun elastik kısalmasının neden olduğu öngerilme kaybı vardır. Ayrıca zamana bağlı olarak değişen öngerilme kayıpları henüz meydana gelmemiştir (Atmaca, 2018).

1.7.2. Tabliye Betonunun Prizini Tamamlamadan Önceki Dönemi

Bu dönem, prefabrik kirişlerin inşaat sahasında köprü üstyapısındaki yerlerine yerleştirildiği ve kirişlerin üzerine tabliye betonunun döküldüğü ancak dökülen bu tabliye betonunun hâlâ prizini tamamlamadığı zaman aralığını içermektedir. Bu dönemde öngerilmeli kirişler kiriş zati ağırlığı, öngerilme kuvveti ve tabliye betonunun ağırlığını taşımaktadır. Bu dönemde de yükler yine prefabrik kesit ile taşınmaktadır. Bu dönemde, betonun elastik kısalmasının neden olduğu kayıp, betonun sünmesi ve rötresinden oluşan kayıplar ve öngerme kablosunun gevşemesinden kaynaklanan kayıplar oluşmaktadır (Atmaca, 2018).

1.7.3. Servis Dönemi

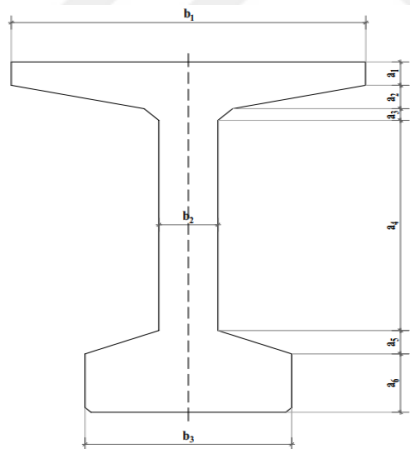
Bu dönem, köprünün proje aşamasında maruz kalacağı tüm yüklerin taşınacağı dönemi ifade etmektedir. Bu dönemde öngerilme kayıplarının maksimum seviyeye ulaştığı kabul edilmektedir. Ayrıca servis döneminde yükler, prizini tamamlayan tabliye betonu ile prefabrik kirişin birlikte çalışmasıyla oluşan kompozit kesit ile taşınmaktadır (Atmaca, 2018).

1.7.4. Prefabrik ve Kompozit Kiriş Enkesiti

Bu yüksek lisans tezi kapsamında, hesaplarda köprü üstyapısının temel elemanlarından olan öngerilmeli kirişler ve tabliye dikkate alınmıştır. Köprü üst yapısına etki eden yükleri, yapım aşamalarına göre bazı durumlarda öngerilmeli kirişler tek başına, bazı durumlarda ise öngerilmeli kirişler tabliye ile birlikte çalışarak karşılamaktadır. Bu nedenle öngerilmeli kirişler boyutlandırılmadan önce belirlenmesi gereken kesit özelliklerinin, prefabrik kesit ve kompozit kesit için ayrı ayrı yapılması gerekmektedir (Aydın, 2006).

1.7.4.1. Prefabrik Kiriş Enkesiti

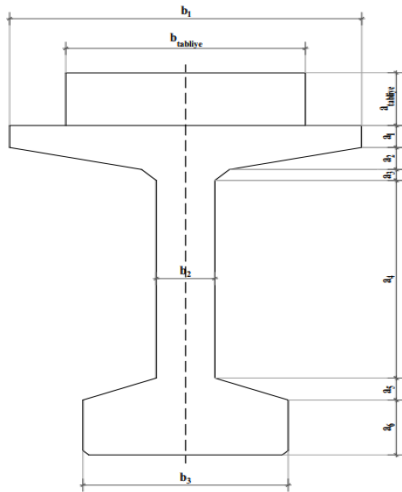
Aktarma dönemi ve tabliye betonunun prizini tamamlamadan önceki dönemde maruz kalınan yükleri taşıyan, kısaca kirişin tek başına çalıştığı kesit prefabrik kesit olarak adlandırılmaktadır. Öngerilmeli prefabrik kiriş enkesiti Şekil 1.10'daki gibi gösterilmektedir.



Şekil 1.10. Prefabrik kiriş enkesiti

1.7.4.2. Kompozit Kiriş Enkesiti

Tabliye betonunun prizini tamamlamasından sonraki dönemde tabliye betonu ile prefabrik kirişin birlikte çalıştığı kesit kompozit kesit olarak adlandırılmaktadır. Öngerilmeli kompozit kiriş enkesiti Şekil 1.11'deki gibi gösterilmektedir.



Şekil 1.11. Kompozit kiriş enkesiti

1.8. Öngerilmeli Kirişte Meydana Gelecek İç Kuvvetlerin Hesabı

Bu yüksek lisans tezi kapsamında hesapları yapılacak köprü üst yapılarına ait öngerilmeli kirişler, basit olarak mesnetlenmiş ve moment aktarmayan kiriş olarak düşünülecektir. Bu nedenle zati yükler ve hareketli yüklerin etkimesi sonucu meydana gelecek eğilme momenti ve kesme kuvveti değerleri basit kiriş kabulüne göre belirlenecektir.

Öngerilmeli kiriş zati ağırlığı, tabliye ağırlığı, asfalt kaplama ağırlığı, bordür ağırlığı, korkuluk ağırlığı, dolgu ağırlığı, precast cephe ağırlığı gibi zati yükler kiriş üzerinde çizgisel eşdeğer bir yaylı yük etkisi olarak dikkate alınmaktadır ve eşdeğer yaylı yükle yüklenmiş bir basit kiriş olarak düşünülerek meydana gelecek iç kuvvetler hesaplanmaktadır.

Kamyon yüklemesi ve eşdeğer şerit yüklemesi gibi hareketli yükler, daha önce belirtilen elverişsiz yerleşimlere göre alınıp yine basit kiriş olarak düşünülerek meydana gelecek iç kuvvetler hesaplanmaktadır (Aydın, 2006).

1.9. Öngerilme Kayıplarının Hesabı

Öngerme kuvveti, öngerilmeli yapı elemanlarında meydana gelecek çekme gerilmelerinin istenilen seviyelere kadar azaltılması veya tamamen bu gerilmelerin ortadan kaldırılması amacıyla kullanılmaktadır (Atmaca, 2018). Kabloya verilen öngerme kuvveti birtakım etkiler nedeniyle zamanla değişime uğramaktadır veya azalmaktadır. Bu etkiler öngerilme kayıpları olarak adlandırılmaktadır.

Öngerilmeli bir kırıste oluşan öngerilme kayiplarının hesapları AASHTO'ya göre yapılmaktadır. Bu kayiplar; beton sünme kaybı, rötre (büzülme) kaybı, betondaki elastik kısalma kaybı ve öngerme kablosunun gevşemesinden (relaksasyon) kaynaklanan kayiplar olarak ele alınmaktadır.

Öngerilme kayipları; çevre koşullarına, öngerilme kuvvetine, öngerilmeli kırış boyutlarına, kullanılacak malzemenin özelliklerine, etkiyecek yükler ve yükleme durumu gibi çeşitli parametrelere bağlı olarak değişiklik gösterebilmektedir (Garber vd., 2013).

Öngerilme kayiplarının doğru bir şekilde hesaplanması çok önemlidir. Öngerilme kayiplarının, tasarım safhasında gerçek olusacak kayiplardan az olarak hesaplanması öngerilmeli kırıste yeteri kadar öngerme kablosunun kullanılmamasına neden olmaktadır ve kırıste olması istenmeyecek çatlakların meydana gelmesine sebebiyet vermektedir. Öngerilme kayiplarının gerçek olusacak kayiplardan fazla olarak hesaplanması durumunda ise, öngerilmeli kırış kesitlerinin büyümesine ve öngerme kablo adetlerinin gerekenden fazla kullanılmasına yani dolayısıyla maliyetin gereksiz yere artmasına neden olmaktadır (Tadros, 2003).

Toplam öngerilme kaybı Denklem (1.4)'teki bağıntı ile hesaplanmaktadır. Bu bağıntındaki, SH betondaki büzüldeden (rötre) dolayı meydana gelecek öngerilme kayiplarını, ES betonun elastik kısalması nedeniyle meydana gelecek öngerilme kayiplarını, CR_c betondaki sünme nedeniyle meydana gelecek öngerilme kayiplarını ve CR_s ise öngerme kablosunun gevşemesiyle meydana gelecek öngerilme kayiplarını ifade etmektedir.

$$\Delta f_s = SH + ES + CR_c + CR_s \quad (1.4)$$

1.9.1. Rötre (Büzülme) Kaybı

Betonun içerisindeki suyun fiziksel veya kimyasal nedenlerle azalması sonucu, betonda zamana bağlı olarak meydana gelen şekil değiştirmelere rötre (büzülme) denilmektedir. Betondaki rötreden dolayı meydana gelen öngerilme kaybı kN/m² birimi cinsinden, Denklem (1.5) ile hesaplanmaktadır. Burada RH, çevre şartlarına bağlı olarak yıllık ortalama bağıl nem oranını ifade etmektedir.

$$SH = 11950 - (105RH)9.81 \quad (1.5)$$

1.9.2. Beton Sünme Kaybı

Kalıcı yüklerin etkisinde, sabit gerilme altındaki betonda zamana bağlı olarak meydana gelen şekil değiştirme olayına sünme denilmektedir. Sünmeden dolayı meydana gelen öngerilme kaybı, Denklem (1.6) ile hesaplanmaktadır.

$$CR_c = 12f_{cir} - 7f_{cds} \quad (1.6)$$

Bu bağıntıda yer alan f_{cir} , öngerme kuvvetinin aktarımından hemen sonra öngerilmeli kırışın zati ağırlığı ve öngerme kuvveti nedeniyle öngerme kablolarının ağırlık merkezinde oluşan çelik gerilmesini ifade etmektedir ve bu çelik gerilmesi, Denklem (1.7) ile hesaplanmaktadır.

$$f_{cir} = \frac{F_i}{A_i} + \frac{F_i e_i^2}{I_i} - \frac{M_{g1} e_i}{I_i} \quad (1.7)$$

Bu bağıntıda e_i öngerme kablolarının prefabrik kırış eksantrisitesini, M_{g1} öngerilmeli kırışın zati ağırlığından dolayı meydana gelen eğilme momentini, A_i prefabrik kırış enkesit alanını ve I_i prefabrik kırış kesitinin atalet momentini ifade etmektedir. F_i simgesi, öngerilmeli kırışa verilecek ilk öngerme kuvvetini göstermektedir (Denklem 1.8).

$$F_i = A_{ps} f_{pi} \quad (1.8)$$

Bu bağıntıda yer alan A_{ps} kesitte yer alan öngerme kablolarının alanını, f_{pi} ise öngerme kablosunda çekme anındaki gerilme değerini ifade etmektedir ve AASHTO'ya göre f_{pi} , f'_s öngerme çeliği karakteristik kopma dayanımını göstermek üzere aşağıdaki gibi dikkate alınmaktadır.

Gerilmesi azaltılmış çelikler için,

$$f_{pi} = 0.63f'_s \quad (1.9)$$

Düşük gevşemeli çelikler için,

$$f_{pi} = 0.69 f'_s \quad (1.10)$$

Denklem (1.6)'daki f_{cds} ise öngerilme kuvvetinin uygulandığı andaki zati yükler hariç, diğer tüm zati yüklerden dolayı öngerme kablolarının ağırlık merkezi seviyesinde meydana gelen beton gerilmesini ifade etmektedir ve bu gerilme değeri, Denklem (1.11) ile hesaplanmaktadır. Bu bağıntıda da M_{g2} öngerilmeli kirişin ve tabliyenin ağırlığından dolayı meydana gelen eğilme momentini, M_{g3} öngerilmeli kiriş ve tabliye ağırlığı dışındaki tüm zati yüklerin etkimesi sonucu meydana gelen eğilme momentini, e_{ci} öngerme kablolarının kompozit kirişe eksantrisitesini, I_{ci} ideal kompozit kiriş kesitin atalet momentini ifade etmektedir.

$$f_{cds} = \frac{(M_{g2} - M_{g1})e_i}{I_i} + \frac{M_{g3}e_{ci}}{I_{ci}} \quad (1.11)$$

1.9.3. Elastik Kıs alma Kaybı

Öngerme kuvvetinin beton elemana aktarılması sonucu beton elemanın boyunda öngerme kuvvetinin basıncı nedeniyle meydana gelecek kısalma elastik kısalma olarak tanımlanmaktadır. Elastik kısalma ile öngerme kablolarda gerginlik azalmaktadır ve öngerilme kaybı meydana gelmektedir. Elastik kısalmadan dolayı meydana gelecek öngerilme kaybı, Denklem (1.12) ile hesaplanmaktadır. Bu bağıntıda E_s öngerme kablosunun elastisite modülünü, E_c aktarma (transfer) anındaki betonun elastisite modülünü ifade etmektedir.

$$ES = \frac{E_s}{E_c} f_{cir} \quad (1.12)$$

1.9.4. Öngerme Kablosu Gevşeme Kaybı

Öngerme kablosunda zamana bağlı olarak meydana gelen gerilmedeki azalma kablonun gevşemesi olarak ifade edilmektedir. Öngerme kablosunun gevşeme özelliği dikkate alınmalıdır. Bu nedenle yönetmelik ve standartların öngördüğü özellikler, çelik

imalatçı firmaları tarafından gevşeme kaybının bilinmesi adına gerilme oranlarına bağlı olacak şekilde değerler verilmektedir ve ayrıca bu değerler garanti altına da alınmaktadır. Bu değerlerin bilinmediği durumlarda ise öngerme kablosu gevşeme kayipları aşağıdaki bağıntılar ile hesaplanmaktadır.

Gerilmesi azaltılmış çelikler için kN/m^2 birimi cinsinden, Denklem (1.13) ile hesaplanmaktadır.

$$\text{CR}_s = 1399.23 - 0.4\text{ES} - 0.2(\text{SH} + \text{CR}_c) \quad (1.13)$$

Düşük gevşemeli çelikler için ise yine kN/m^2 birimi cinsinden, Denklem (1.14) ile hesaplanmaktadır.

$$\text{CR}_s = 34474 - 0.1\text{ES} - 0.05(\text{SH} + \text{CR}_c) \quad (1.14)$$

1.10. Öngerilmeli Kırışlı Köprülerde Eğilme Gerilmelerinin Hesabı

Eğilme gerilmelerinin hesabı için öngerilmeli beton köprülerin yapım aşamaları dikkate alınmaktadır. Her bir aşama için öngerilmeli kırışların malzeme özellikleri, kesit ölçütleri, etki altında kaldığı yükler ve oluşacak öngerilme kayıp değerleri farklı olacağı için, her bir yapım aşamasında öngerilmeli kırışlerde birbirinden farklı gerilme değerleri meydana gelmektedir. Oluşacak bu gerilmeler, bahsedilen nedenlerden dolayı dört farklı aşamada tetkik edilmektedir. Yapılacak olan bu dört tahkik ve bu tahkikler ile elde edilecek beton alt ve üst liflerinde meydana gelecek gerilmelere bu başlık altında yer verilmektedir.

1.10.1. Birinci Tahkik

Bu tahkik, öngerilmeli kırışa öngerilmenin etkitildiği ilk zamandaki duruma göre yapılmaktadır. Bu tahkikte, mevcut olan yükleri öngerilmeli kırışın zati ağırlığı ve öngerilme kuvveti temsil etmektedir. Oluşacak öngerilme kayipları minimum seviyededir. Zamanla bağlı olarak meydana gelecek öngerilme kayipları bu tahkikte henüz görülmemektedir. Sistemde bu tahkik kapsamında yalnızca betonun elastik kısalma kaybının olduğu dikkate alınmaktadır.

Bu tahkikte prefabrik kesit alt lifinde ve üst lifinde meydana gelecek gerilmeler Denklem (1.15)'teki bağıntılar ile hesaplanmaktadır.

$$\begin{aligned}\sigma_{\text{alt_p},1} &= -\frac{\eta_1 P}{A_i} - \frac{\eta_1 Pe_i}{W_{\text{alt_p}}} + \frac{M_{g1}}{W_{\text{alt_p}}} \\ \sigma_{\text{üst_p},1} &= \frac{\eta_1 P}{A_i} + \frac{\eta_1 Pe_i}{W_{\text{üst_p}}} - \frac{M_{g1}}{W_{\text{üst_p}}}\end{aligned}\quad (1.15)$$

Bu bağıntılarda yer alan sembollerden; η_1 minimum düzeydeki öngerilme kayıp oranını, P kesitteki toplam öngerme kuvvetini, A_i prefabrik kiriş enkesit alanını, $W_{\text{alt_p}}$ ideal prefabrik kesit için kiriş alt kenarına göre mukavemet momentini ve $W_{\text{üst_p}}$ ideal prefabrik kesit için kiriş üst kenarına göre mukavemet momentini ifade etmektedir.

Burada ideal bir öngerilmeli kiriş tasarımı için $\sigma_{\text{alt_p},1}$ prefabrik kesit alt lifindeki gerilme değeri -20250kN/m^2 değerinden büyük ve $\sigma_{\text{üst_p},1}$ prefabrik kesit üst lifindeki gerilme değeri ise 3602kN/m^2 değerinden küçük olmalıdır.

1.10.2. İkinci Tahkik

Bu tahkikte, birinci tahkikteki öngerilmeli kirişin zati ağırlığına ilave olarak döşeme betonu ağırlığının da prefabrik kiriş tarafından taşıdığı kabulu yapılmaktadır. Bu tahkikte olacak öngerilme kayipları maksimum seviyededir. Bu kayiplar dahilinde, birinci tahkikteki elastik kısalma kaybına ilaveten betonun sünme kaybı, büzülme kaybı ve öngerme kablosunun gevşemesi kaybının da meydana geldiği dikkate alınmaktadır.

Bu tahkikte prefabrik kesit alt lifinde ve üst lifinde meydana gelecek gerilmeler Denklem (1.16)'daki bağıntılar ile hesaplanmaktadır.

$$\begin{aligned}\sigma_{\text{alt_p},2} &= -\frac{\eta_2 P}{A_i} - \frac{\eta_2 Pe_i}{W_{\text{alt_p}}} + \frac{M_{g2}}{W_{\text{alt_p}}} \\ \sigma_{\text{üst_p},2} &= \frac{\eta_2 P}{A_i} + \frac{\eta_2 Pe_i}{W_{\text{üst_p}}} - \frac{M_{g2}}{W_{\text{üst_p}}}\end{aligned}\quad (1.16)$$

Bu bağıntılarda η_2 tüm öngerilme kayıplarını içeren maksimum düzeydeki öngerilme kayıp oranını ifade etmektedir.

1.10.3. Üçüncü Tahkik

Bu tahkikte, hareketli yük hariç tüm yüklerin yer aldığı, öngerilmeli kiriş ve döşeme ağırlıklarının prefabrik kesit tarafından, asfalt kaplama ağırlığı, bordür ağırlığı, korkuluk ağırlığı, precast kenar elemanın ağırlığı, yaya ve dolgu ağırlıkları gibi ilave zati yüklerin ise kompozit kesit tarafından taşıdığı kabul edilmektedir. Bu tahkikte meydana gelecek öngerilme kayıpları maksimum düzeydedir.

Bu tahkikte prefabrik kesit alt lifinde ve üst lifinde olacak gerilmeler ve ayrıca kompozit kesit üst lifinde meydana gelecek gerilmeler sırasıyla Denklem (1.17)'deki bağıntılar ile hesaplanmaktadır.

$$\begin{aligned}\sigma_{\text{alt_p},3} &= -\frac{\eta_2 P}{A_i} - \frac{\eta_2 Pe_i}{W_{\text{alt_p}}} + \frac{M_{g2}}{W_{\text{alt_p}}} + \frac{M_{g3}}{W_{\text{alt_k}}} \\ \sigma_{\text{üst_p},3} &= -\frac{\eta_2 P}{A_i} + \frac{\eta_2 Pe_i}{W_{\text{üst_p}}} - \frac{M_{g2}}{W_{\text{üst_p}}} - \frac{M_{g3}}{W_{\text{üst_k}}} \\ \sigma_{\text{üst_k},3} &= -\frac{M_{g3}}{W_{\text{üst_kt}}}\end{aligned}\quad (1.17)$$

1.10.4. Dördüncü Tahkik

Bu tahkikte hareketli yükler de dahil tüm yüklerin yer aldığı kabul edilmektedir. Kiriş ve döşeme ağırlıklarının prefabrik kesit tarafından, diğer tüm ilave zati yüklerin ise kompozit kesit tarafından taşıdığı kabul edilmektedir. Bu tahkikte olacak öngerilme kayıpları maksimum düzeydedir.

Bu tahkikte prefabrik kesit alt lifinde ve üst lifinde meydana gelecek gerilmeler ve ayrıca kompozit kesit üst lifinde meydana gelecek gerilmeler sırasıyla aşağıdaki Denklem (1.18)'deki bağıntılar ile hesaplanmaktadır.

$$\begin{aligned}
 \sigma_{\text{alt_p},4} &= -\frac{\eta_2 P}{A_i} - \frac{\eta_2 Pe_i}{W_{\text{alt_p}}} + \frac{M_{g2}}{W_{\text{alt_p}}} + \frac{M_{g3} + M_h}{W_{\text{alt_k}}} \\
 \sigma_{\text{üst_p},4} &= -\frac{\eta_2 P}{A_i} + \frac{\eta_2 Pe_i}{W_{\text{üst_p}}} - \frac{M_{g2}}{W_{\text{üst_p}}} - \frac{M_{g3} + M_h}{W_{\text{üst_k}}} \\
 \sigma_{\text{üst_k},4} &= -\frac{M_{g3} + M_h}{W_{\text{üst_kt}}}
 \end{aligned} \tag{1.18}$$

Bu bağıntılarda yer alan M_h simgesi hareketli yüklerden dolayı meydana gelen maksimum momenti ifade etmektedir.

Burada ideal öngerilmeli kırış tasarıımı için $\sigma_{\text{alt_p},4}$ prefabrik kesit alt lifindeki gerilme değeri 3354kN/m^2 değerinden küçük olmalı, $\sigma_{\text{üst_p},4}$ prefabrik kesit üst lifindeki gerilme değeri -18000kN/m^2 değerinden büyük olmalı ve $\sigma_{\text{üst_k},4}$ kompozit kesit üst lifindeki gerilme değeri ise -9800kN/m^2 değerinden büyük olmalıdır.

1.11. Eğilme Durumu Taşıma Gücü Tahkikleri

Eğilme durumu taşıma gücü tahliki, prefabrik kesit için ve döşeme betonu ile prefabrik kırış betonunun belirli bir kısmının birlikte çalışmasıyla oluşacak kompozit kesit için ayrı ayrı yapılmaktadır. Eğilme elemanlarında; eğilme durumu taşıma gücü değerinin, en olumsuz yükleme durumu sonucu elde edilecek hesap eğilme momenti değerinden büyük olması koşulu sağlanmalıdır (Aydın, 2006).

Taşıma gücü hesaplarında eşdeğer basınç bloğu yüksekliğinin yani tarafsız eksen derinliğinin tabla içinde kalıp kalmamasına göre kırış kesiti, dikdörtgen kesit veya tablalı kesit olarak dikkate alınmakta ve hesaplar bu durumlara göre yapılmaktadır (Sarsık, 2008).

Dikdörtgen kesit ve tablalı kesitler için eğilme taşıma gücü direnme momentlerinin hesap bağıntıları bu bölüm altında irdelenmektedir.

1.11.1. Dikdörtgen Kesitler veya Basınç Bölgesi Tabla İçinde Yer Alan ($a \leq t$) Tablalı Kesitler İçin Taşıma Gücü Momentinin Hesabı

AASHTO'ya göre eşdeğer dikdörtgen basınç bloğu yüksekliğinin(tarafsız eksen derinliği) dikdörtgen kesitler için hesabı, Denklem (1.19) ile hesaplanmaktadır.

$$a = \frac{A_{ps} f_{su}^*}{0.85 f'_c b} \quad (1.19)$$

Bu bağıntıda yer alan simgelerden A_{ps} toplam öngerme kablosu halat alanını, f'_c betonun karakteristik basınç dayanımını, b dikdörtgen kesit genişliğini veya tablalı kesitlerdeki etkili tabla genişliğini, f_{su}^* ise öngerme çeliği azaltılmış hesap dayanımını ifade etmektedir ve bu değer, Denklem (1.20) ile hesaplanmaktadır.

$$f_{su}^* = f'_s \left[1 - \frac{\gamma^*}{\beta_1} \rho_p \frac{f'_s}{f'_c} \right] \quad (1.20)$$

Bu bağıntıda f'_s öngerme çeliği karakteristik kopma dayanımını, ρ_p ise öngerme donatısı oranını ifade etmektedir. Bu donatı oranı, aşağıdaki Denklem (1.21) ile hesaplanmaktadır.

$$\rho_p = \frac{A_{ps}}{bd} \quad (1.21)$$

Bu bağıntıdaki d simgesi basınç gerilmesinin en büyük olduğu noktadan öngerilme kuvvetinin ağırlık merkezine olan mesafeyi ifade etmektedir.

Denklem (1.19)'daki hesaplanan f_{su}^* değeri, f_y^* öngerme çeliği akma dayanımından hiçbir zaman büyük olmamalıdır. Ayrıca Denklem (1.20)'de yer alan γ^* simgesi öngerme çeliğinin türüne bağlı bir katsayıyı ifade etmektedir. Bu katsayı değeri AASHTO'ya göre,

- Düşük gevşemeli çelikler için, $\gamma^* = 0.28$
- Gerilmesi azaltılmış çelikler için, $\gamma^* = 0.40$
- Çubuk elemanlar için, $\gamma^* = 0.55$

olarak alınmaktadır. β_1 ise beton kalitesine bağlı bir katsayıyı ifade etmektedir. Bu katsayı değeri, Denklem (1.22)'ye bağlı olarak alınmaktadır ve bu katsayı değeri hiçbir zaman 0.65 değerinden küçük olmamalıdır.

$$\begin{aligned} \beta_1 &= 0.85 & f'_c &\leq 28 MPa \\ \beta_1 &= 0.85 - (0.05 \frac{f'_c - 28}{7}) & f'_c &> 28 MPa \end{aligned} \quad (1.22)$$

Denklem (1.19)'daki hesaplanan hesaplanan basınç bloğu yüksekliği değeri (a), tablalı kesitlerdeki başlık yani tabla kalınlığına (t) eşit veya küçük olduğu kesitler dikdörtgen kesit olarak kabul edilmektedir. Dikdörtgen kesitler için taşıma gücü direnme momenti, Denklem (1.23) ile hesaplanmaktadır.

$$\phi M_n = \phi \left[A_{ps} f_{su}^* d \left(1 - 0.6 \frac{\rho_p f_{su}^*}{f'_c} \right) \right] \quad (1.23)$$

Bu bağıntıda ϕ yük faktörünü (direnim katsayısı) ifade etmekte olup öngerilmeli beton kesitlerde “1” olarak dikkate alınmaktadır.

Tablalı kesit yani kompozit kesit için kırış zati ağırlığı, döşeme ağırlığı ve diğer tüm zati yükler ayrıca hareketli yüklerin de etkimesi sonucu oluşan maksimum momentlerin kombinasyonundan oluşan faktörlü moment değeri M_d , Denklem (1.24) ile hesaplanmaktadır. Ayrıca kompozit kırış kesiti için taşıma gücü direnme momenti değeri kesite etkiyen faktörlü moment değerinden büyük olmalıdır.

$$M_d = 1.3(M_{g2} + M_{g3}) + 2.2M_h \quad (1.24)$$

1.11.2. Basınç Bölgesi Tabla İçinde Kalmayan (a > t) Tablalı Kesitler İçin Taşıma Gücü Momenti Hesabı

AASHTO'ya göre eşdeğer dikdörtgen basınç bloğu yüksekliğinin tablalı kesitler için hesabı, Denklem (1.25) ile hesaplanmaktadır. Bu bağıntıda yer alan A_{sr} tablalı kesitin gövde kısmının basınç dayanımına karşılık kullanılması gereken öngerme kablo miktarının alanını, b_w ise tablalı kesitin gövde genişliğini belirtmektedir.

$$a = \frac{A_{sr} f_{su}^*}{0.85 f'_c b_w} \quad (1.25)$$

Tablalı kesit başlık kalınlığından büyük olan kesitlerdeki taşıma gücü direnme momenti, Denklem (1.26) ile hesaplanmaktadır. Bu bağıntılarda yer alan A_{sr} değeri, Denklem (1.27) ile hesaplanmaktadır.

$$\phi M_n = \phi \left\{ A_{sr} f_{su}^* d \left[1 - 0.6 \left(\frac{A_{sr} f_{su}^*}{d f_c' b_w} \right) \right] + 0.85 f_c' (b - b_w) t (d - 0.5t) \right\} \quad (1.26)$$

$$A_{sr} = A_{ps} - A_{sf} \quad (1.27)$$

Bu bağıntıda A_{ps} toplam öngerme kablosu alanını, A_{sf} ise tablalı kesit başlığının gövde bölümü dışında kalan bölgelerinin basınç dayanımına karşılık olması gereken öngerme kablosu miktarının alanını ifade etmektedir. A_{sf} alanı ise, Denklem (1.28) ile hesaplanmaktadır.

$$A_{sf} = 0.85 f_c' (b - b_w) \frac{t}{f_{su}^*} \quad (1.28)$$

Prefabrik kiriş kesiti kompozit kesit olarak çalışmaya başlamadan önce kiriş zati ağırlığı ve döşeme ağırlığının etkimesi sonucu oluşan faktörlü moment değeri M_d , Denklem (1.29) ile hesaplanmaktadır. Ayrıca prefabrik kiriş kesiti için taşıma gücü direnme momenti değeri kesite etkiyen faktörlü moment değerinden büyük olmalıdır.

$$M_d = 1.3 M_{g2} \quad (1.29)$$

1.12. Öngerme Donatısı Sınır Şartları

1.12.1. Minimum Öngerilme Donatısı

Minimum öngerilme donatısı miktarı ile öngerilmeli kiriş kesitinin M_n eğilme taşıma kapasitesinin, M_{cr}^* kesit çatlama momentinden büyük olmasının sağlanması ile gevrek kırılma oluşumunu engellenmek gerekmektedir.

Öngerilmeli kiriş kesitindeki toplam öngerme kablosu miktarı, kritik kesitteki çatlama momenti değerinin 1.2 katına eşit veya 1.2 katından daha fazla bir direnme momenti oluşumunu sağlayacak seviyede olması gerekmektedir (Denklem 1.30).

$$\phi M_n \geq 1.2 M_{cr}^* \quad (1.30)$$

Kesit çatlama momenti prefabrik kesit için, Denklem (1.31)'deki bağıntı ile hesaplanmaktadır.

$$M_{cr,p}^* = W_{alt,p}(f_r + f_{pe}) \quad (1.31)$$

Kesit çatlama momenti kompozit kesit için, Denklem (1.32)'deki bağıntı ile hesaplanmaktadır.

$$M_{cr,c}^* = W_{alt,k}(f_r + f_{pe}) - M_{dnc} \left(\frac{W_{alt,k}}{W_{alt,p}} - 1 \right) \quad (1.32)$$

Bu bağıntılarda $W_{alt,k}$ ideal kompozit kesitte kiriş alt kenarı için mukavemet momentini, $W_{alt,p}$ ideal prefabrike kesitte kiriş alt lifi için mukavemet momentini, M_{dnc} kirişin öz ağırlığı ve tabliye ağırlığından dolayı oluşan eğilme momentini, f_r kesit çatlama gerilmesini ifade etmektedir. Birimi MPa cinsindendir ve kesit çatlama gerilmesi, Denklem (1.33) ile hesaplanmaktadır.

$$f_r = 0.623 \sqrt{f'_c} \quad (1.33)$$

Ayrıca f_{pe} simgesi kesitteki tüm öngerilme kayıpları çıkarıldıktan sonra kesitin alt lifinde sadece öngerme kuvveti sebebi ile meydana gelen basınç gerilmesi değerini ifade etmektedir. Birimi MPa cinsindendir ve bu gerilme değeri ise, Denklem (1.34) ile hesaplanmaktadır.

$$f_{pe} = \frac{\eta_2 P}{A_i} + \frac{\eta_2 Pe_i}{W_{alt,p}} \quad (1.34)$$

Bu bağıntıdaki η_2 maksimum düzeydeki öngerilme kayıp oranını, P kesitteki toplam öngerme kuvvetini, e_i prefabrik kesit öngerilme çeliği dış merkezliğini, A_i ise prefabrik kiriş enkesit alanını ifade etmektedir.

1.12.2. Maksimum Öngerilme Donatısı

AASHTO yönetmeliğine göre maksimum donatı ile ilgili koşullar 2005 yılında yapılan çalışma ile kaldırılmıştır ve bu tarihten itibaren maksimum donatı ile ilgili herhangi bir kontrol yapılmasına gerek kalmamıştır.

1.13. Kesme Taşıma Gücü Hesabı

Öngerilmeli beton kiriş kesitindeki kesme taşıma gücü, öngerilmeli beton kesme taşıma gücüne ve kayma donatısı kesme taşıma gücüne bağlı olacak şekilde, Denklem (1.35) ile hesaplanmaktadır.

$$V_u \leq \phi(V_c + V_s) \quad (1.35)$$

Bu bağıntıda yer alan simgelerden V_u dikkate alınan öngerilmeli beton kiriş kesitinde oluşan hesap kesme kuvvetini, V_c betonun çatlamamış basınç bölgesinin taşıdığı kesme kuvvetini, V_s enine donatının çekme gerilmeleri ile karşılaşacağı kesme kuvvetini, ϕ dayanım azaltma faktörünü ifade etmektedir ve dayanım azaltma faktörü 0.90 alınmaktadır (Atmaca, 2018).

1.13.1. Beton Kesme Taşıma Gücü

Beton tarafından sağlanan kesme dayanımı V_c , hesaplanacak V_{ci} ve V_{cw} kesme kuvveti değerlerinden küçük olanı olarak dikkate alınacaktır.

Moment ve kesme kuvveti etkilerinin birleşimi sonucunda diyagonal çatlakların oluşması durumunda betonun kesme kuvveti taşıma kapasitesini ifade eden V_{ci} Denklem (1.36) ile hesaplanmaktadır (Sarsık, 2008).

$$V_{ci} = 49.8 \sqrt{f'_c} b_w d + V_d + \frac{V_i M_{cr}}{M_{max}} \quad (1.36)$$

Bu bağıntıda birimler kN ve m cinsinden kabul edilmektedir ve V_d toplam zati yüklerin etkisiyle meydana gelen ve yük katsayıları ile çarpılmamış kesme kuvvetini, V_i zati yükler hariç yük katsayılarıyla çarpılmış dış yüklerin olduğu kombinasyonun etkisi sonucu oluşan maksimum tasarım kesme kuvvetini, M_{cr} kesitte eğilme çatlağına sebep olan zati yüklerin haricindeki dış yüklerden kaynaklanan çatlama momentini, M_{max} zati yükler hariç yük katsayılarıyla çarpılmış dış yüklerin olduğu kombinasyonun etkisi sonucu oluşan maksimum hesap momentini ifade etmektedir (Aydın, 2002).

Yukarıdaki bağıntı ile hesaplanan bu V_{ci} değeri $143.8 \sqrt{f'_c} b_w d$ (kN) değerinden küçük olmamalıdır ve ayrıca d faydalı yükseklik değeri h kompozit kesitin yüksekliğini ifade etmek üzere $0.8h$ değerinden küçük olmayacağı şekilde alınmalıdır (Aydın, 2002).

Kesitte eğilme çatlağına sebep olan zati yüklerin haricindeki dış yüklerden kaynaklanan çatlama momentini ifade eden M_{cr} değeri, Denklem (1.37) ile hesaplanmaktadır.

$$M_{cr} = \left(498 \sqrt{f'_c} + f_{pe} - f_d \right) \frac{1}{Y_t} \quad (1.37)$$

Bu bağıntının birimi kNm cinsinden kabul edilmektedir. Bağıntıda yer alan f_{pe} kesitteki tüm öngerilme kayıpları çıkarıldıktan sonra kesitin alt lifinde sadece öngerme kuvveti sebebi ile meydana gelen gerilme değerini, Y_t kompozit brüt kesit ağırlık merkezinin kesitin alt lifine olan uzaklığını, I ilgili yükleme aşamasında çalışan kesitin atalet momentini, f_d ise zati yükler etkisiyle öngerilmeli kiriş kesitin alt lifinde meydana gelen çekme gerilmesini ifade etmektedir ve bu gerilme değeri, hesabın yapıldığı kısım mesnet bölgesinde yer aldığından dolayı sıfır kabul edilecektir.

Öngerilmeli kiriş gövdesinde maksimum seviyeye çıkan asal çekme gerilmeleri etkisiyle diyagonal(eğik) çatlakların meydana geldiği andaki betonun kesme taşıma gücü olan V_{cw} değeri ise, Denklem (1.38) ile hesaplanmaktadır ve birimi kN cinsinden kabul edilmektedir.

$$V_{cw} = (290\sqrt{f'_c} + 300f_{pc})b_w d + V_p \quad (1.38)$$

Bu bağıntıda yer alan f_{pc} simgesi kompozit brüt kesit ağırlık merkezinde tüm kayıplar meydana geldikten sonra dış yüklerin etkimesi sonucu oluşacak minimum beton basınç gerilmesini, V_p öngerme kuvvetinin düşey bileşenini ifade etmektedir ve öngerme tellerinin düz çekildiği yani kırış kırış boyunca yerleştirildiği kabul edildiğinden dolayı sıfır alınmaktadır. Ayrıca d faydalı yükseklik değeri ise h kompozit kesitin yüksekliğini göstermek üzere $0.8h$ değerinden küçük olmayacak şekilde alınmalıdır (Sarsık, 2008).

1.13.2. Kesme Donatısı Taşıma Gücü

Enine donatının çekme gerilmeleri ile karşılaşıldığı kesme kuvveti değeri olan V_s , Denklem (1.39) ile hesaplanmaktadır.

$$V_s = \frac{A_v f_{sy} d}{s} \quad (1.39)$$

Bu bağıntının birimi kN cinsinden kabul edilmektedir. Bağıntıda yer alan simgelerden s enine donatı aralığını, A_v belirli s aralığı ile dizilmiş olan kesme donatısı alanını, f_{sy} ise kesme donatısı karakteristik akma dayanımını ifade etmektedir.

Yukarıdaki bağıntı ile hesaplanan bu kesme kuvveti değeri $664\sqrt{f'_c}b_w d$ (kN) değerinden büyük olmayacağı ve ayrıca faydalı yükseklik değeri ise h kompozit kesitin yüksekliğini göstermek üzere $0.8h$ değerinden küçük olmayacak şekilde alınmalıdır (Aydın, 2002).

Ayrıca AASHTO'ya göre minimum kesme donatısı alanı A_v , Denklem (1.40) ile hesaplanmaktadır.

$$A_v = \frac{345b_w s}{f_{sy}} \quad (1.40)$$

1.13.3. Kiriş-Döşeme Bağlantısı Kesme Tahkiki

Öngerilmeli kiriş döşeme bağlantısı için kesme tahkiki, döşeme ile öngerilmeli kirişin birleştiği noktada öngerilmeli kiriş üzerinde AASHTO'ya uygun şekilde yapılmaktadır.

$$V_u \leq \phi V_{nh} \quad (1.41)$$

V_{nh} nominal yatay kesme kuvvetini ifade etmektedir. Kesite minimum etriye yerleştirilir, temas yüzeyinin temiz olması sağlanır ve öngerilmeli kirişin üzeri yaklaşık olarak 6mm yüksekliğinde pürüzlendirilir ise nominal yatay kesme kuvveti değeri V_{nh} , Denklem (1.42) ile hesaplanmaktadır.

$$V_{nh} = 2413b_1d \quad (1.42)$$

Bu bağıntının birimi kN cinsinden kabul edilmektedir. Bağıntıda yer alan b_1 simgesi ise öngerilmeli kirişin üst flanş genişliğini ifade etmektedir. Ayrıca AASHTO'ya göre minimum kesme donatısı alanı A_v , Denklem (1.43) ile hesaplanmaktadır.

$$A_v = \frac{345b_1s}{f_{sy}} \quad (1.43)$$

1.14. Sehim Tahkiki

Sehim, basit eğilme etkisi altındaki bir yapı elemanın eğilme göstermeden önceki elemanın ilk durumu ile elastik eğri durumu arasındaki deformasyon miktarını ifade etmektedir.

Öngerilmeli kirişler betonarme kirişlere göre daha narin kesitlere sahiptir. Bu nedenle öngerilmeli kirişlerde betonarme kirişlere nazaran, maruz kaldığı yüklerin etkisi ile daha fazla sehim oluşumu gözlenmektedir.

Öngerilmeli kirişli beton köprülerde yapım dönemleri incelendiğinde; ortam koşulları, her dönem için kirişi meydana getiren malzeme özelliklerini, kirişe etkiyen yükler ve kirişte

ortaya çıkan öngerilme kayıplarının farklı olması nedeniyle farklı sehim değerleri ortaya çıkmaktadır (Atmaca, 2018).

Sehim tahkikinde de gerilme tahkikinde olduğu gibi kirişin yüklenme aşamalarına göre dört farklı aşama için hesap yapılmaktadır. Tahkiklerde aşağıdaki durumlar dikkate alınarak hesaplar yapılacaktır:

- Ana kiriş ve döşeme ağırlıkları ile öngerme kuvvetinin prefabrik kesit tarafından taşınacağına göre
- İlave zati yükler ve hareketli yüklerin de kompozit kesit tarafından taşınacağına göre

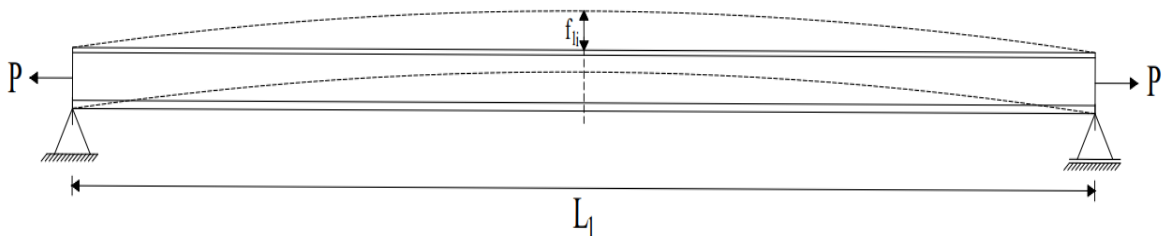
Aktarma döneminde, AASHTO'ya göre aktarma anı ve öngerilmeli kiriş yapım anında yüklemeler etkisiyle meydana gelecek maksimum sehimin L_1 kiriş mesnet açıklığı olmak üzere $L_1/400$ değerinden küçük olması gerekmektedir. Ayrıca nihai sehimin de yine $L_1/400$ değerinden küçük olması gerekmektedir.

Diğer dönemlerde ise hareketli yükler ve bu yüklerin neden olduğu dinamik etkiler altında köprü kirişlerinde meydana gelecek maksimum sehimin $L_1/800$ değerinden küçük olması gerekmektedir.

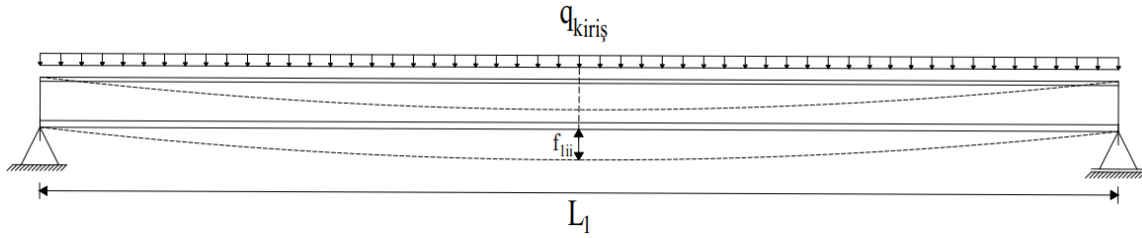
1.14.1. Birinci Tahkik

Bu tahkik sadece kiriş zati ağırlığının mevcut olduğu durum için yapılacaktır ve öngerilme kayıplarının minimum düzeyde olduğu kabul edilecektir.

Aktarma dönemindeki bu tahkikte meydana gelecek sehim; f_{1i} öngerme kuvvetinin etkisi ile meydana gelen ters sehim (Şekil 1.12) ve f_{1ii} öngerilmeli kirişin kendi ağırlığından dolayı meydana gelen sehimin (Şekil 1.13) toplamı şeklinde dir.



Şekil 1.12. Kiriş öngerme kuvvetinin etkisindeyken meydana gelen sehim



Şekil 1.13. Kırış kendi ağırlığının etkisindeyken meydana gelen sehim

Bu durumdaki sehim Denklem (1.44)'teki bağıntılar ile hesaplanmaktadır.

$$\begin{aligned}
 f_{1i} &= -\frac{Pe_i L_1^2}{8E_c I_i} \\
 f_{1ii} &= \frac{5g_1 L_1^4}{384E_c I_i} - \frac{24g_1 L_1^2 C^2}{384E_c I_i} \\
 f_1 &= f_{1i} + f_{1ii}
 \end{aligned} \tag{1.44}$$

Bu bağıntılardaki P kırışın orta bölgesindeki gerilme kuvvetini, e_i P kuvvetinin eksantrikliğini, L_1 kırış mesnet açıklık uzunluğunu, E_c prefabrike kırış betonunun 28 günlük elastisite modülü, I_i prefabrik kırış kesitinin atalet momentini, g_1 öngerilmeli kırışın zati ağırlığından kaynaklanan yayılı yükü ve c ise kırış boyuna yöndeği konsol boyunu ifade etmektedir. Ayrıca f_1 sehim değeri $L_1/400$ değerinden küçük olmalıdır.

1.14.2. İkinci Tahkik

Bu tahkikte, öngerilmeli kırışın zati ağırlığına ilave olarak döşeme betonu ağırlığının da prefabrik kesit tarafından taşıdığı ve öngerilme kayıplarının ise maksimum düzeyde olduğu kabul edilecektir. Bu durumdaki sehim, Denklem (1.45) ile hesaplanmaktadır.

$$f_2 = -\frac{Pe_i L_1^2}{8E_c I_i} + \frac{5g_1 L_1^4}{384E_c I_i} + \frac{5g_2 L_1^4}{384E_c I_i} \tag{1.45}$$

Bu bağıntıdaki g_2 öngerilmeli kırış ve döşeme zati ağırlığından kaynaklanan yükü ifade etmektedir. Ayrıca f_2 sehim değeri $L_1/400$ değerinden küçük olmalıdır.

1.14.3. Üçüncü Tahkik

Bu tahkikte, hareketli yükler hariç diğer tüm yüklerin mevcut olduğu ve öngerilme kayıplarının maksimum düzeyde olduğu kabul edilecektir. Bu durumda sehim, Denklem (1.46) ile hesaplanmaktadır.

$$f_3 = -\frac{Pe_i L_1^2}{8E_c I_i} + \frac{5g_1 L_1^4}{384E_c I_i} + \frac{5g_2 L_1^4}{384E_c I_{ci}} + \frac{5g_3 L_1^4}{384E_c I_{ci}} \quad (1.46)$$

Bu bağıntıdaki g_3 öngerilmeli kiriş ve döşeme zati ağırlığı dışındaki diğer sabit ağırlıklardan kaynaklanan yükü, I_{ci} ise ideal kompozit kesit atalet momentini ifade etmektedir. Ayrıca f_3 sehim değeri $L_1/400$ değerinden küçük olmalıdır.

1.14.4. Dördüncü Tahkik

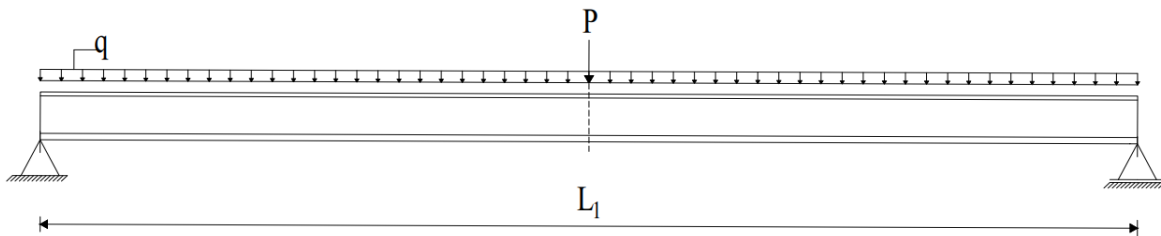
Bu tahkikte öngerilmeli kirişin hareketli yükler etkisi altında olduğu durum için sehim hesabı yapılacaktır. Bu tahkikte şerit($f_{4,1}$) ve kamyon($f_{4,2}$) yüklemelerinden ayrı ayrı sehim değerleri hesaplanacak ve bu sehim değerlerinden ise büyük olanı dikkate alınacaktır. Ayrıca öngerilme kayıplarının maksimum düzeyde olduğu kabul edilecektir. Bu durumda sehim aşağıdaki bağıntılar yardımı ile hesaplanacaktır.

1.14.4.1. Şerit Yüklemesi

Şerit yüklemesi için sehim miktarı, Şekil 1.14'te verilen yükleme durumu dikkate alınmak suretiyle, Denklem (1.47) ile hesaplanmaktadır.

$$f_{4,1} = \frac{PL_1^3}{48E_c I_{ci}} + \frac{5qL_1^4}{384E_c I_{ci}} \quad (1.47)$$

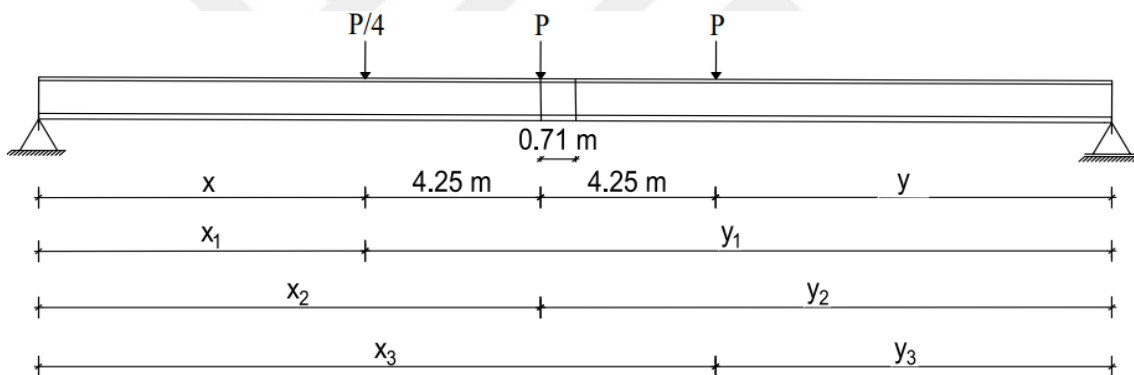
Bu bağıntıdaki P şerit yüklemesindeki tekil yükü ve q ise şerit yüklemesindeki yayılı yükü ifade etmektedir. Ayrıca $f_{4,1}$ sehim değeri $L_1/800$ değerinden küçük olmalıdır.



Şekil 1.14. H₃₀S₂₄ şerit yüklemesinin maksimum sehim yerlesimi

1.14.4.2. Kamyon Yüklemesi

H₃₀S₂₄ tasarım kamyonunun ağırlığının oluşturduğu maksimum sehim miktarı, bu kamyonun arka tekerleklerinden ilkinin öngerilmeli kirişin orta noktasına geldiği zaman meydana gelmektedir.



Şekil 1.15. H₃₀S₂₄ kamyon yüklemesi için maksimum sehim yerlesimi

Bu şartlar altında Şekil 1.15'te verilen yükleme durumu dikkate alındığında kamyon yüklemesi sonucu oluşacak sehim miktarı Denklem (1.48) ile hesaplanmaktadır.

$$f_{4,2} = \frac{PL^2}{12E_c I_{ci}} \left[\frac{y_1}{4} \left(\frac{x_1}{L_1} \left(1 + \frac{y_1}{L_1} \right) - 0.25 \right) + y_2 \left(\frac{x_2}{L_1} \left(1 + \frac{y_2}{L_1} \right) - 0.25 \right) + x_3 \left(\frac{y_3}{L_1} \left(1 + \frac{y_3}{L_1} \right) - 0.25 \right) \right] \quad (1.48)$$

Hesaplanan $f_{4,2}$ sehim değeri $L_1/800$ değerinden küçük olmalıdır. Denklem (1.47) ve Denklem (1.48)'de yer alan P ve q değerleri dinamik etki katsayısı(φ) ve yük dağıtma katsayısı ile çarpılmış değerleri ifade etmektedir.

Nihai sehim değeri ise 3. tahkik ve 4. tahkik sonucu oluşan sehimlerin toplamı şeklindedir ve Denklem (1.49) ile hesaplanmaktadır ve f sehim değeri $L_1/400$ değerinden küçük olmalıdır.

$$f = f_3 + f_4 \quad (1.49)$$

1.15. Öngerme Kablo Adetinin Belirlenmesi

Öngerilmeli prefabrik kiriş enkesitinde yer alacak öngerme kablosu adeti, kesitte olusacak öngerilme kuvveti ihtiyacına bağlıdır. Bu kuvvet ihtiyacı en fazla, tüm yüklerin etki ettiği dönemde yani servis döneminde öngerilmeli kirişlerin tam ortasındaki kesitin alt lindedir meydana gelmektedir. Bu durum neticesinde, öngerme kablosu adeti kirişin alt kısmında olusacak gerilmelerin dikkate alınmasıyla belirlenmektedir.

Kiriş enkesitine yerleştirilecek öngerme kablo adeti bazı parametrelerle bağlı olarak artmaka veya azalmaktadır. Bu parametreler aşağıdaki gibi sıralanmaktadır:

- Öngerme kablosu çapı
- Öngerme kablo tipleri
- Öngerme kabloları arasındaki net mesafe
- Öngerilme kuvvetinin aktarımında meydana gelecek öngerilme kayıpları
- Öngerilmeli kiriş enkesiti
- Öngerilmeli kirişin en kesitinde bırakılacak pas payı
- Öngerilmeli kirişin beton sınıfı
- Öngerilmeli kiriş enkesitinde yer alacak betonarme çeliğinin koroziona uğrayıp uğramama durumu
- Öngerilmeli kirişin farklı kesitlerinde olusacak çekme gerilmeleri

Öngerilmeli kiriş enkesitindeki öngerme kablo adetinin azaltılması ve kiriş kesitinde ekonomik açıdan fayda sağlanması amaçlandığı zaman, öngerilmeli kirişlerde yönetmeliklerdeki sınır koşulları ölçüsünde çekme gerilmesinin meydana gelmesine izin

verilmektedir. Bu koşulda kırıcı meydana getiren beton, yönetmeliklerle belirlenmiş çekme gerilmesi sınırına kadar zorlanmaktadır (Atmaca, 2018).

1.16. Öngerme Kablolarının Kılıflanması

Öngerilmeli kırıcılarde, öngerme kablolarından aktarılan kuvvetler nedeniyle kırıcıların mesnet bölgelerinde oluşması istenmeyen gerilmeler meydana gelmektedir. Bu gerilmeler nedeniyle kırıcıın mesnet bölgesinde beton elemanda çatlamalar oluşmaktadır. Bu oluşan çatlaklardan bir kısmı kabul edilebilir düzeyde olmaktadır ve yardımcı malzemeler ile çatlakların kapatılması sağlanabilmektedir. Ancak çatlak genişliğinin artması ile kalıcılık (durabilite) açısından kabul edilemez düzeyler meydana gelmektedir.

Öngerme kabloları civarında meydana gelen çatlaklar öngerme kablolarının koroziona uğramasına sebebiyet vermektedir. Bu nedenle, öngerilmeli kırıcıların mesnet bölgelerinde ortaya çıkacak istenmeyen gerilmelerin izin verilemeyecek seviyelere getirilebilmesi için öngerme kablolarının bir kısmının öngerilmeli kırıcı boyunca belirli mesafelerde kılıflanması gerekmektedir. Kabloların kılıflanması ile beton ile kablo arasında oluşacak bağ mekanizması engellenerek ve kılıflanma yapılan mesafe boyunca betona, meydana gelen öngerilme kuvvetinin aktarılmaması sağlanacaktır (Atmaca, 2018).

Öngerilmeli kırıcı kablolarının kılıflanmasında yumuşak ve sert plastiklerden üretilen iki kılıf tipi tercih edilmektedir. Yumuşak plastikten üretilen kılıfta sert plastikten üretilen kılıfa göre daha fazla deformeye meydana gelmektedir. Bu durum özellikle betonun sertleşme aşamasında ortaya çıkmaktadır. Bu nedenle kılıflanma işleminde, yumuşak plastikten üretilen kılıf kullanıldığından beton ile öngerme kablosu arasında bulunan bağda mekanik kenetlenmenin meydana gelmesi tamamen engellenmemektedir ve bundan dolayı da kılıflanma işlemlerinde sert plastikten üretilen kılıf ile kılıflanma yapılması tavsiyesinde bulunulmaktadır (Burgueno ve Sun, 2011).

1.16.1. Kılıf Boyunun Hesabı

Öngerilmeli bir kırıcıda, oluşacak istenmeyen gerilmeleri kontrol altına alabilmek için öngerilmenin en çok risk oluşturduğu, kırıcıın sadece kendi ağırlığı ve öngerilme kuvvetinin bulunduğu aktarma döneminde kılıf boyalarının hesabı yapılmalıdır. Bu dönemde meydana gelecek öngerilmeli kırıcıın alt ve üst liflerindeki gerilmeler, bu dönemde yönetmeliklerde

belirlenen emniyet gerilmesi değerini aşmamalıdır. Bu dönemde emniyet gerilmelerin aşılması durumuna daha çok öngerilmeli kirişlerin mesnet bölgelerinde rastlanılmaktadır. Meydana gelen gerilme değerlerinin, öngerilmeli kirişlerin mesnet bölgelerinde kılıflanma yapılarak emniyet gerilmeleri seviyesine kadar azaltılması gerekmektedir. Kılıflanma işleminde kullanılacak kılıfların boyları minimum, kirişin kendi ağırlığından dolayı oluşan gerilme ve öngerilme kuvvetinden dolayı oluşan gerilmenin etkileşiminin emniyet gerilmesi seviyesine kadar azaltılacağı mesafeye kadar olmalıdır (Atmaca, 2018).

1.16.2. Kılıflanacak Öngerme Kablo Adeti Hesabı

Öngerilmeli kirişlerde kılıflanacak öngerme kablo adetinin hesabı, öngerilme kuvveti aktarma aşaması tamamlanınca mesnet bölgesinde meydana gelecek kiriş kesitindeki üst ve alt liflerdeki gerilmeler göz önünde bulundurularak yapılmaktadır. Bu bağlamda kılıflanacak kablo adeti, yönetmelikteki emniyet gerilmesi değerini karşılayacak kablo adetinin öngerilmeli kiriş enkesitinde mevcut olan kablo adetinden çıkarılmasıyla belirlenmektedir (Atmaca, 2018).

2. YAPILAN ÇALIŞMALAR

2.1. Köprü Bilgileri

Bu tez çalışmasında, öngerilmeli prefabrik kırıslı beton köprülerin üstyapıları üzerine bir çalışma gerçekleştirilmiştir. Çalışma kapsamında, beş adet kiriş tipi seçilmiş ve bu kiriş tiplerinin kullanılmasıyla oluşturulan farklı genişliklere sahip yedi adet üstyapı enkesiti belirlenmiştir. Belirlenen bu üstyapı enkesitleri için kiriş boyunun 19m ile 41m arası değiştiği köprü üstyapıları için hesaplar yapılmış ve belirlenen üstyapı enkesitleri ile seçilen öngerilmeli kiriş tipleri için en etkin açıklıklığın belirlenmesi için çalışmalar yapılmıştır.

Türkiye'de öngerilmeli prefabrik kırıslı beton köprülerin tasarımı için kullanılan öngerilmeli yapılar ile ilgili olarak TSE tarafından hazırlanan TS3233 Öngerilmeli Beton Yapıların Hesap ve Yapım Kuralları (1979) standarı ve karayolu köprülerinin tasarımı ile ilgili olarak ise Karayolları Genel Müdürlüğü (KGM) tarafından yayımlanan Karayolu Teknik Şartnamesi (2013)masına rağmen, bu standart ve şartnamenin bu köprülerin üstyapılarının boyutlandırılması açısından yetersiz ve eksik olduğu sonucu ortaya çıkmaktadır. Bu durum nedeniyle bu tez çalışmasında köprü üstyapısının hesap ve tasarımı için hazırlanmış kapsamlı bir yönetmelik olan, "American Association of State Highway and Transportation Officials" tarafından yayımlanmış "Standard Specifications for Highway Bridges" adlı yönetmelikte yer alan koşullar büyük ölçüde dikkate alınarak hesaplar gerçekleştirilmiştir. Ülkemizde öngerilmeli kirişlere sahip köprü üstyapı projelerinin tasarımda yer alan firmalar ve bu projelerin uygun bir şekilde yapılp yapılmadığının kontrolünü gerçekleştiren resmi kurumlar tarafından da bu yönetmeliğin esas kaynak olarak kabul edildiği bilinmektedir.

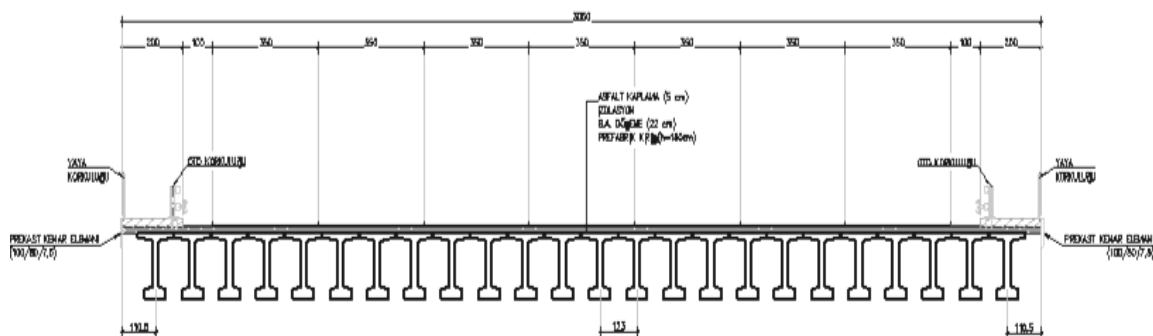
Bu bölümde yapılan bütün hesaplar "Genel Bilgiler" bölümünde verilen bilgiler ve formüller dikkate alınarak yapılmıştır. Bu bölümde, ilk olarak hesapları gösterilecek olan örnek bir köprü üstyapı enkesiti için, üstyapı yerleşim ve malzeme paremetreleri belirlenmiştir. Sonra, öngerilmeli kirişlerde bulunan öngerme kablolarının alt başlığı en uygun şekilde yerleştirilmesi, öngerilmeli kirişin kesit özelliklerinin belirlenmesi, öngerilmeli beton köprülerin maruz kaldığı sabit ve hareketli yüklerin kirişlerde meydana getirdiği kesit tesirlerinin belirlenmesi, kirişte meydana gelen öngerilme kayıplarının belirlenmesi, meydana gelen gerilmelerin tahlük edilmesi, kirişte kılıflamadan sonra

meydana gelecek çekme gerilmelerinin karşılanması için kırıç yerleştirilecek boyuna donatının belirlenmesi, eğilme ve kesme taşıma kapasitesi ve minimum donatı oranı kontrolü ve kırıç meydana gelecek sehimler için tahkiklere yer verilmiştir. Daha sonra ise, köprü üstyapısında kullanılan öngerilmeli kırıç boyalarının 19m'den başlayarak birer metre artacak şekilde 41m'ye kadar değiştiği, köprü üstyapı enkesitlerinin ise 9.50m ile 30.50m arasında yedi tip olduğu ve beş farklı öngerilmeli kırıç tipinin en uygun açıklığın belirlenmesi için kullanıldığı tek açıklık olarak düşünülen köprü üst yapıları için yapılan hesaplar, elde edilen sonuçlar ve metrajlar tablolar halinde verilmiştir.

2.2. Örnek Bir Üstyapı Enkesiti İçin Hesap

2.2.1. Üstyapı Enkesiti ve Kırıç Kesitinin Belirlenmesi

Bu kısımda hesabı yapılacak üstyapı enkesiti Şekil 2.1'deki gibi ve bu üstyapı enkesitinde kullanılacak olan öngerilmeli kırıç enkesiti Şekil 2.2'deki gibi belirlenmiştir. Ayrıca köprü üst yapısına ait yerleşim parametreleri Tablo 2.1'de ve 180'lik öngerilmeli kırıç enkesit özellikleri Tablo 2.2'de verilmiştir.



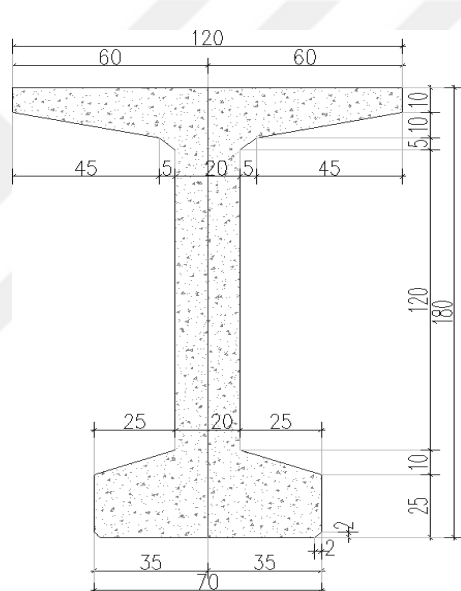
Şekil 2.1. 180'lik kırıç için köprü enkesiti (Tip-G)

Tablo 2.1. Köprü üstyapısına ait yerleşim parametreleri

Sol yaya kaldırımı genişliği	2.00m
Sağ yaya kaldırımı genişliği	2.00m
Bordür kalınlığı	0.25m
Tabliye kalınlığı	0.22m
Asfalt kaplama kalınlığı	0.05m

Tablo 2.1 devamı

Prekast kenar elemanı enkesit alanı	0.06m ²
Kiriş aks aralığı	1.23m
Köprü boyuna yönünde kiriş konsol boyu	0.50m
Köprü tabliye genişliği	30.50m
Taşıt yolu genişliği	26.50m
Üst yapı enkesitine yerleştirilen kiriş adedi	24.00 adet
Kiriş mesnet açıklığı, L ₁	40.00m
Konsol aks boyu	1.105m
Trafik şerit sayısı, N _L	7.00 adet
Kiriş toplam boyu, L ₂	41.00m



Şekil 2.2. 180'lik kiriş enkesiti

Tablo 2.2. 180'lik öngerilmeli kiriş enkesit özellikleri

Kiriş toplam yüksekliği	1.80m
Alt flanş genişliği	0.70m
Alt flanş yüksekliği	0.25m
Alt flanş pah yüksekliği	0.10m
Üst flanş genişliği	1.20m
Üst flanş yüksekliği	0.10m
Üst flanş pah yüksekliği	0.15m
Kiriş gövde genişliği	0.20m

2.2.2. Hesaplarda Kullanılacak Malzeme Özellikleri

Yapılacak tüm hesaplarda kullanılacak malzeme özellikleri ve diğer parametreler Tablo 2.3-6'daki gibi belirlenmiştir.

Tablo 2.3. Beton özellikleri

Tabliye betonu sınıfı	C30
Tabliye betonu karakteristik basınç dayanımı (f_{cs})	30MPa
Tabliye betonu elastisite modülü (E_{cs})	31800MPa
Prefabrik öngerilmeli kiriş betonu sınıfı	C45
Prefabrik öngerilmeli kiriş betonu karakteristik basınç dayanımı (f_c')	45MPa
Prefabrik öngerilmeli kiriş betonu elastisite modülü (E_c)	36057MPa

Tablo 2.4. Öngerilme kablo özellikleri

Kablonun tipi	270K Düşük Gevşemeli ASTM A416
Kablonun çapı	0.6" = 15.24mm
Kablo kesit alanı	1.4cm ²
Öngerme halatı karakteristik kopma dayanımı (f_s')	1860MPa
Öngerme halatı elastisite modülü (E_{ps})	200000MPa

Tablo 2.5. Betonarme donatısı özellikleri

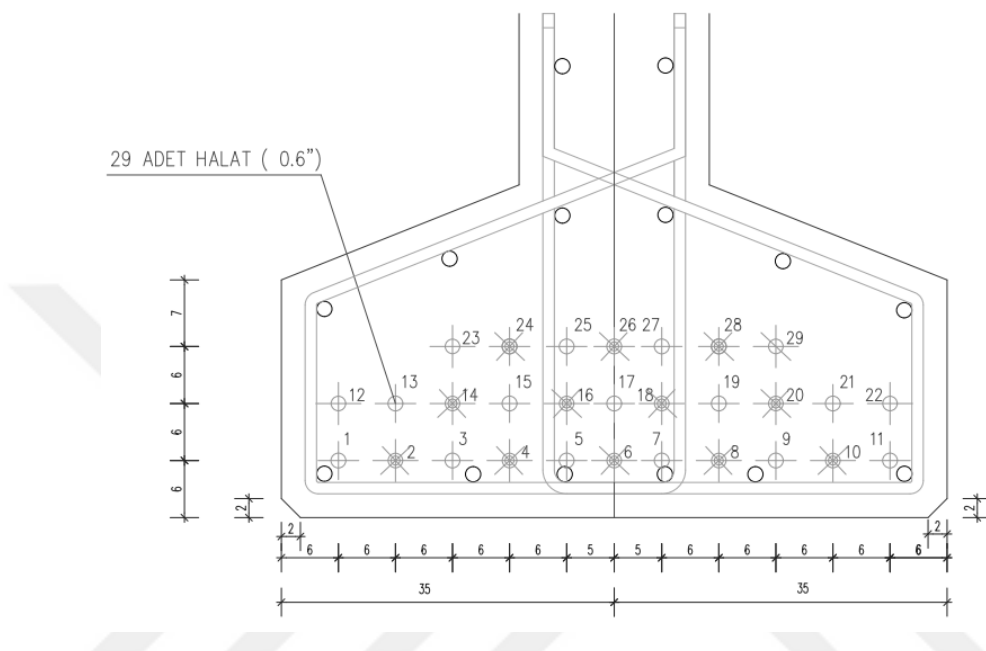
Betonarme donatısı akma dayanımı (f_{yk})	420MPa
Betonarme donatısı elastisite modülü (E)	200000MPa

Tablo 2.6. Diğer parametreler

Hareketli yük araç sınıfı	$H_{30}S_{24}$
Korkuluk ağırlığı	1.50kN/m
Yaya yükü	3.00kN/m ²
Beton birim hacim ağırlığı	25.00kN/m ³
Asfalt kaplama birim hacim ağırlığı	23.00kN/m ³
Yıllık ortalama nem oranı (RH)	%40
Germe oranı	%75

2.2.3. Öngerme Kablolarının Yerleştirilmesi

Yapılan hesaplar sonucu öngerilmeli kiriş enkesitine yerleştirilecek öngerme kabloları Şekil 2.3'teki gibi belirlenmiştir.



Şekil 2.3. 180'lik kiriş enkesiti halat yerleşimi

Hesaplar, öngerilmeli kiriş üzerinde kiriş boyuna yöndeki beş farklı kesit için değerler dikkate alınarak yapılmıştır. Bu kesitler sırasıyla,

- $x=L_1/2=40/2=20.00\text{m}$ kesiti
- $x=L_1/4=40/4=10.00\text{m}$ kesiti
- $x=2.5\text{m}$ kesiti
- $x=1.5\text{m}$ kesiti
- $x=0\text{m}$ kesiti

Bu kesitlerde aktif olarak kullanılan yani kesitlerdeki kılıflanmamış kablo sayıları ve bu kabloların oluşturduğu ağırlık merkezlerinin her bir kesit için kirişin alt noktasından mesafeleri Tablo 2.7'deki gibi verilmiştir.

Tablo 2.7. Kiriş değişik kesitlerindeki kılıflanmamış (aktif) kablo sayıları ve halat ağırlık merkezleri

Kiriş Kesiti	Kılıflanmamış Kablo Sayıları	Kablo Ağırlık Merkezleri
$x=L_1/2$	29 adet	0.1117m
$x=L_1/4$	23 adet	0.1148m
$x=2.5m$	17 adet	0.1129m
$x=1.5m$	17 adet	0.1129m
$x=0m$	17 adet	0.1129m

Kesitlerde kablo sayısına, kablo çapına ve germe oranına bağlı olarak hesaplanan öngerme kuvveti değerleri Tablo 2.8'deki gibi hesaplanmıştır.

Tablo 2.8. Kiriş değişik kesitlerdeki öngerme kuvvet değerleri

Kiriş Kesiti	Öngerme Kuvvetleri (KN)
$x=L_1/2$	5780.3235
$x=L_1/4$	4584.3945
$x=2.5m$	3388.4655
$x=1.5m$	3388.4655
$x=0m$	3388.4655

2.2.4. Öngerilmeli Kiriş Geometrik Özellikleri

Öngerilmeli kirişteki kesitlerin her biri için geometrik özellikler verilmekte olup, $x=L_1/2$ kesiti için Tablo 2.9'da, $x=L_1/4$ kesiti için Tablo 2.10'da, $x=2.5m$ kesiti için Tablo 2.11'de, $x=1.5m$ kesiti için Tablo 2.12'de ve $x=0m$ kesiti için Tablo 2.13'teki gibi belirlenmiştir.

- A = kesit enkesit alanı
- y_{alt} = kesit ağırlık merkezinin kesit alt lifine olan mesafesi
- $y_{üst}$ = kesit ağırlık merkezinin kesit üst lifine olan mesafesi
- I = kesit atalet momenti
- W_{alt} = kesit alt lifi için mukavemet momenti
- $W_{üst}$ = kesit üst lifi için mukavemet momenti
- $W_{tabla,üst}$ = kesit tabliye üst lifi için mukavemet momenti

Tablo 2.9. $x=L_1/2$ kesiti için enkesit geometrik özellikler

Geometrik Özellikler	Brüt Prefabrik Kesit	Tablalı Kompozit Brüt Kesit	İdeal Prefabrik Kesit	Tablalı Kompozit İdeal Kesit
Alan (m^2)	0.6850	0.9059	0.7053	0.9262
y_{alt} (m)	0.9423	1.1783	0.9184	1.1549
$y_{üst}$ (m)	0.8577	0.8417	0.8816	0.8651
I (m^4)	0.2958	0.4532	0.3095	0.4758
W_{alt} (m^3)	0.3140	0.3846	0.3370	0.4120
$W_{üst}$ (m^3)	0.3449	0.7289	0.3511	0.7376
$W_{tabla,üst}$ (m^3)	-	0.5384	-	0.5500

Tablo 2.10. $x=L_1/4$ kesiti için enkesit geometrik özellikler

Geometrik Özellikler	Brüt Prefabrik Kesit	Tablalı Kompozit Brüt Kesit	İdeal Prefabrik Kesit	Tablalı Kompozit İdeal Kesit
Alan (m^2)	0.6850	0.9059	0.7011	0.9220
y_{alt} (m)	0.9423	1.1783	0.9233	1.1597
$y_{üst}$ (m)	0.8577	0.8417	0.8767	0.8603
I (m^4)	0.2958	0.4532	0.3066	0.4711
W_{alt} (m^3)	0.3140	0.3846	0.3321	0.4062
$W_{üst}$ (m^3)	0.3449	0.7289	0.3497	0.7358
$W_{tabla,üst}$ (m^3)	-	0.5384	-	0.5476

Tablo 2.11. $x=2.5m$ kesiti için enkesit geometrik özellikler

Geometrik Özellikler	Brüt Prefabrik Kesit	Tablalı Kompozit Brüt Kesit	İdeal Prefabrik Kesit	Tablalı Kompozit İdeal Kesit
Alan (m^2)	0.6850	0.9059	0.6969	0.9178
y_{alt} (m)	0.9423	1.1783	0.9281	1.1645
$y_{üst}$ (m)	0.8577	0.8417	0.8719	0.8555
I (m^4)	0.2958	0.4532	0.3039	0.4665
W_{alt} (m^3)	0.3140	0.3846	0.3274	0.4006
$W_{üst}$ (m^3)	0.3449	0.7289	0.3485	0.7341
$W_{tabla,üst}$ (m^3)	-	0.5384	-	0.5453

Tablo 2.12. $x=1.5m$ kesiti için enkesit geometrik özelliklerı

Geometrik Özellikler	Brüt Prefabrik Kesit	Tablalı Kompozit Brüt Kesit	İdeal Prefabrik Kesit	Tablalı Kompozit İdeal Kesit
Alan (m^2)	0.6850	0.9059	0.6969	0.9178
y_{alt} (m)	0.9423	1.1783	0.9281	1.1645
$y_{üst}$ (m)	0.8577	0.8417	0.8719	0.8555
I (m^4)	0.2958	0.4532	0.3039	0.4665
W_{alt} (m^3)	0.3140	0.3846	0.3274	0.4006
$W_{üst}$ (m^3)	0.3449	0.7289	0.3485	0.7341
$W_{tabla,üst}$ (m^3)	-	0.5384	-	0.5453

Tablo 2.13. $x=0m$ kesiti için enkesit geometrik özelliklerı

Geometrik Özellikler	Brüt Prefabrik Kesit	Tablalı Kompozit Brüt Kesit	İdeal Prefabrik Kesit	Tablalı Kompozit İdeal Kesit
Alan (m^2)	0.6850	0.9059	0.6969	0.9178
y_{alt} (m)	0.9423	1.1783	0.9281	1.1645
$y_{üst}$ (m)	0.8577	0.8417	0.8719	0.8555
I (m^4)	0.2958	0.4532	0.3039	0.4665
W_{alt} (m^3)	0.3140	0.3846	0.3274	0.4006
$W_{üst}$ (m^3)	0.3449	0.7289	0.3485	0.7341
$W_{tabla,üst}$ (m^3)	-	0.5384	-	0.5453

2.2.5. Öngerilmeli Kiriş Etkiyen Yükler ve Meydانا Gelen İç Kuvvetler

2.2.5.1. Zati Yükler ve Oluşan İç Kuvvetler

Öngerilmeli kirişlerin her birine etkiyen zati yük değerleri (Tablo 2.14) ve bu değerlerin etkimesi sonucu öngerilme kiriş enkesitlerinde oluşacak iç kuvvet değerleri aşağıda verilmektedir (Tablo 2.15-16).

- g_1 = öngerilmeli kiriş zati ağırlığı nedeniyle meydana gelecek yük değeri
- g_2 = öngerilmeli kiriş ve döşeme zati ağırlığı nedeniyle meydana gelecek yük değeri

- g_3 = öngerilmeli kiriş ve tabliye ağırlığı dışındaki diğer bütün zati yükler nedeniyle meydana gelecek yük değeri
- M_{g1} = öngerilmeli kiriş zati ağırlığı nedeniyle oluşacak moment değeri
- M_{g2} = öngerilmeli kiriş ve döşeme zati ağırlığı nedeniyle oluşacak moment değeri
- M_{g3} = öngerilmeli kiriş ve tabliye ağırlığı dışındaki diğer bütün zati yükler nedeniyle oluşacak moment değeri
- V_{g1} = öngerilmeli kiriş zati ağırlığı nedeniyle oluşacak kesme kuvveti değeri
- V_{g2} = öngerilmeli kiriş ve döşeme zati ağırlığı nedeniyle oluşacak kesme kuvveti değeri
- V_{g3} = öngerilmeli kiriş ve tabliye ağırlığı dışındaki diğer bütün zati yükler nedeniyle oluşacak kesme kuvveti değeri

Tablo 2.14. Öngerilmeli kirişlerin her birine etkiyen zati yük değerleri

Zati Yükler	Yük Değerleri (kN/m)
g_1	17.125
g_2	23.443
g_3	3.061

Tablo 2.15. Değişik kesitlerde zati yük ile oluşan moment değerleri

Moment	x=0 m	x=1.5m	x=2.5m	x=L ₁ /4	x=L ₁ /2
M_{g1} (kNm)	0.000	494.484	802.734	2568.750	3425.000
M_{g2} (kNm)	0.000	676.900	1098.870	3516.380	4688.500
M_{g3} (kNm)	0.000	88.400	143.510	459.220	612.290

Tablo 2.16. Değişik kesitlerde zati yük ile oluşan kesme kuvveti değerleri

Kesme Kuvveti	Max
V_{g1} (kN)	342.500
V_{g2} (kN)	468.850
V_{g3} (kN)	61.230

2.2.5.2. Hareketli Yükler ve Oluşturduğu İç Kuvvetler

Öngerilmeli kirişlerin her birine hareketli yüklerin etkimesi sonucu, öngerilme kiriş enkesitlerinde oluşacak iç kuvvetlerin değerleri Tablo 2.17 ve Tablo 2.18'deki gibi belirlenmiştir.

- M_{h1} = şerit yükü nedeniyle meydana gelen moment değeri
- M_{h2} = Standart Kamyon ($H_{30}S_{24}$) yükü nedeniyle meydana gelen moment değeri
- V_{h1} = şerit yükü nedeniyle meydana gelen kesme kuvveti değeri
- V_{h2} = Standart Kamyon ($H_{30}S_{24}$) yükü nedeniyle meydana gelen kesme kuvveti değeri

Tablo 2.17. Değişik kesitlerde hareketli yük ile oluşan moment değerleri

Moment	$x=0m$	$x=1.5m$	$x=2.5m$	$x=L_1/4$	$x=L_1/2$
$M_{h1}(kNm)$	0.00	307.65	499.44	1598.20	2130.94
$M_{h2}(kNm)$	0.00	316.58	512.83	1607.53	2090.46
$M_{h,max}(kNm)$	0.00	316.58	512.83	1607.53	2130.94

Tablo 2.18. Değişik kesitlerde hareketli yük ile oluşan kesme kuvveti değerleri

Kesme Kuvveti	Max
$V_{h1}(kN)$	242.49
$V_{h2}(kN)$	219.93
$V_{h,max}(kN)$	242.49

2.2.6. Öngerilmeli Kirişte Meydana Gelen Öngerilme Kayıpları

Öngerilmeli bir kirişte meydana gelecek öngerilme kayıplarını rötre kaybı, elastik kısalma kaybı, sünme kaybı ve çelik gevşeme kaybı oluşturmaktadır ve meydana gelecek öngerilme kayıpları aşağıda verilmiştir (Tablo 2.19-21).

- f_{cds} = öngerme kuvvetinin uygulandığı andaki zati yükler hariç, diğer tüm zati yüklerin etkimesi nedeniyle oluşan beton gerilmesi
- f_{cir} =öngerme kuvvetinin aktarımından sonra kiriş zati ağırlığı ve öngerme kuvveti nedeniyle öngerme halatlarının ağırlık merkezinde meydana gelen çelik gerilmesi

- e = ideal prefabrik kesit öngerme çeliği dış merkezliği
- SH = rötre kaybı
- ES = elastik kısalma kaybı
- CRc = sünme kaybı
- CRs = çelik gevşeme kaybı

Tablo 2.19. Değişik kesitlerde oluşan e , f_{cds} ve f_{cir} değerleri

	e (cm)	f_{cds} (kN/m ²)	f_{cir} (kN/m ²)
x=0m	81.52	0	11044.6
x=1.5m	81.52	671.06	9718.11
x=2.5m	81.52	1089.4	8891.23
x=L₁/4	80.85	3427.35	7907.44
x=L₁/2	80.66	4516.53	9386.45

Tablo 2.20. Değişik kesitlerde meydana gelen öngerilme kayıp değerleri

	ES(kN/m²)	SH(kN/m²)	CRc(kN/m²)	CRs(kN/m²)
x=0m	66267.38	76027.50	132534.76	17419.15
x=1.5m	58308.67	76027.50	111919.95	19245.76
x=2.5m	53347.40	76027.50	99068.99	20384.44
x=L₁/4	47444.63	76027.50	70897.79	22383.27
x=L₁/2	56318.70	76027.50	81021.66	20989.67

Tablo 2.21. Değişik kesitlerde meydana gelen öngerilme kayıp oranları

	SH (%)	ES (%)	CRc (%)	CRs (%)
x=0 m	5.34	4.65	9.31	1.22
x=1.5 m	5.34	4.10	7.91	1.35
x=2.5 m	5.34	3.75	7.03	1.43
x=L₁/4	5.34	3.33	5.22	1.57
x=L₁/2	5.34	3.96	6.01	1.47

2.2.7. Gerilme Tahkikleri

Öngerilmeli kırışlarda gerilme tahkikleri kırışın yükleme aşamalarına göre 4 aşamada tahkik edilecektir.

- 1. Tahkik = Sadece kırış zati ağırlığının olduğu durumdur. Kayıplar minimum seviyededir.
- 2. Tahkik = 1. Tahkike ilave olarak, döşeme betonu ağırlığının da prefabrik kesit tarafından taşındığı durumdur. Kayıplar maksimum seviyededir.
- 3. Tahkik = Hareketli yükler hariç tüm yüklerin mevcut olduğu durum. Kırış ve döşeme ağırlıklarının prefabrik kesit, ilave zati yüklerin ise kompozit kesit tarafından taşındığı kabul edilmiştir. Kayıplar maksimum seviyededir.
- 4. Tahkik = Hareketli yükler dahil tüm yüklerin mevcut olduğu durum. Kırış ve döşeme ağırlıklarının prefabrik kesit, ilave zati yüklerin ise kompozit kesit tarafından taşındığı kabul edilmiştir. Kayıplar maksimum seviyededir.

$x=0m$ kesiti için beton gerilmesi değerleri Tablo 2.22'deki gibi hesaplanmıştır.

Tablo 2.22. Öngerilmeli kırış $x=0m$ kesitindeki gerilme tahkiki

($x=0m$ için)	Beton Gerilmesi Değerleri (kN/m^2)		
	σ_{alt_p}	$\sigma_{üst_p}$	$\sigma_{üst_k}$
1. Tahkik	-12679.35	2920.29	-
2. Tahkik	-10568.57	2434.13	-
3. Tahkik	-10568.57	2434.13	0.00
4. Tahkik	-10568.57	2434.13	0.00
Kesitteki aktif halat sayısı			17 adet
Minimum düzeydeki öngerilme kaybı oranı, η_1			0.953
Maksimum düzeydeki öngerilme kaybı oranı, η_2			0.795

$x=0m$ kesiti için eğilme durumu beton gerilmesi denetimleri,

$$1. \text{ Tahkik} \quad \sigma_{alt_p} = -12679.35 \text{ kN/m}^2 > -20250 \text{ kN/m}^2 \checkmark$$

$$\sigma_{üst_p} = 2920.29 \text{ kN/m}^2 < 3602 \text{ kN/m}^2 \checkmark$$

$$4. Tahkik \quad \sigma_{alt_p} = -10568.57 \text{ kN/m}^2 < 3354 \text{ kN/m}^2 \checkmark$$

$$\sigma_{üst_p} = 2434.13 \text{ kN/m}^2 > -18000 \text{ kN/m}^2 \checkmark$$

$$\sigma_{üst_k} = 0 \text{ kN/m}^2 < -9800 \text{ kN/m}^2 \checkmark$$

$x=1.5m$ kesiti için beton gerilmesi değerleri Tablo 2.23'teki gibi hesaplanmıştır.

Tablo 2.23. Öngerilmeli kiriş $x=1.5m$ kesitindeki gerilme tahkiki

($x=1.5m$ için)	Beton Gerilmesi Değerleri (kN/m^2)		
	σ_{alt_p}	$\sigma_{üst_p}$	$\sigma_{üst_k}$
1. Tahkik	-11243.46	1518.67	-
2. Tahkik	-8744.77	548.12	-
3. Tahkik	-8524.12	427.70	-162.11
4. Tahkik	-7733.89	-3.58	-742.68
<hr/>			
Kesitteki aktif halat sayısı	17 adet		
Minimum düzeydeki öngerilme kaybı oranı. η_1	0.959		
Maksimum düzeydeki öngerilme kaybı oranı. η_2	0.813		

$x=1.5m$ kesiti için eğilme durumu beton gerilmesi denetimleri,

$$1. Tahkik \quad \sigma_{alt_p} = -11243.46 \text{ kN/m}^2 > -20250 \text{ kN/m}^2 \checkmark$$

$$\sigma_{üst_p} = 1518.67 \text{ kN/m}^2 < 3602 \text{ kN/m}^2 \checkmark$$

$$4. Tahkik \quad \sigma_{alt_p} = -7733.89 \text{ kN/m}^2 < 3354 \text{ kN/m}^2 \checkmark$$

$$\sigma_{üst_p} = -3.58 \text{ kN/m}^2 > -18000 \text{ kN/m}^2 \checkmark$$

$$\sigma_{üst_k} = -742.68 \text{ kN/m}^2 > -9800 \text{ kN/m}^2 \checkmark$$

$x=2.5m$ kesiti için beton gerilmesi değerleri Tablo 2.24'teki gibi hesaplanmıştır.

Tablo 2.24. Öngerilmeli kiriş x=2.5m kesitindeki gerilme tahkiki

(x=2.5m için)	Beton Gerilmesi Değerleri (kN/m ²)		
	σ _{alt_p}	σ _{üst_p}	σ _{üst_k}
1. Tahkik	-10348.36	644.94	-
2. Tahkik	-7607.85	-627.59	-
3. Tahkik	-7249.63	-823.09	-263.18
4. Tahkik	-5969.54	-1521.72	-1203.64
<hr/>			
Kesitteki aktif halat sayısı	17 adet		
Minimum düzeydeki öngerilme kaybı oranı, η₁	0.963		
Maksimum düzeydeki öngerilme kaybı oranı, η₂	0.824		

x=2.5m kesiti için eğilme durumu beton gerilmesi denetimleri,

$$1. \text{ Tahkik } \sigma_{\text{alt}_p} = -10348.36 \text{ kN/m}^2 > -20250 \text{ kN/m}^2 \checkmark$$

$$\sigma_{\text{üst}_p} = 644.94 \text{ kN/m}^2 < 3602 \text{ kN/m}^2 \checkmark$$

$$4. \text{ Tahkik } \sigma_{\text{alt}_p} = -5969.54 \text{ kN/m}^2 < 3354 \text{ kN/m}^2 \checkmark$$

$$\sigma_{\text{üst}_p} = -1521.72 \text{ kN/m}^2 > -18000 \text{ kN/m}^2 \checkmark$$

$$\sigma_{\text{üst}_k} = -1203.64 \text{ kN/m}^2 > -9800 \text{ kN/m}^2 \checkmark$$

x=L₁/4m kesiti için beton gerilmesi değerleri Tablo 2.25'teki gibi hesaplanmıştır.

Tablo 2.25. Öngerilmeli kiriş $x=L_1/4m$ kesiti gerilme tahkiki

($x=L_1/4m$ için)	Beton Gerilmesi Değerleri (kN/m²)		
	σ_{alt_p}	$\sigma_{üst_p}$	$\sigma_{üst_k}$
1. Tahkik	-9374.67	-3421.19	-
2. Tahkik	-4373.94	-6623.13	-
3. Tahkik	-3243.45	-7247.28	-838.61
4. Tahkik	713.92	-9432.16	-3774.20
<hr/>			
Kesitteki aktif halat sayısı	23 adet		
Minimum düzeydeki öngerilme kaybı oranı, η_1	0.967		
Maksimum düzeydeki öngerilme kaybı oranı, η_2	0.845		

$x=L_1/4m$ kesiti için eğilme durumu beton gerilmesi denetimleri,

$$1. \text{ Tahkik } \sigma_{alt_p} = -9374.67 \text{ kN/m}^2 > -20250 \text{ kN/m}^2 \checkmark$$

$$\sigma_{üst_p} = -3421.19 \text{ kN/m}^2 < 3602 \text{ kN/m}^2 \checkmark$$

$$4. \text{ Tahkik } \sigma_{alt_p} = 713.92 \text{ kN/m}^2 < 3354 \text{ kN/m}^2 \checkmark$$

$$\sigma_{üst_p} = -9432.16 \text{ kN/m}^2 > -18000 \text{ kN/m}^2 \checkmark$$

$$\sigma_{üst_k} = -3774.20 \text{ kN/m}^2 > -9800 \text{ kN/m}^2 \checkmark$$

$x=L_1/2m$ kesiti için beton gerilmesi değerleri Tablo 2.26'daki gibi hesaplanmıştır.

Tablo 2.26. Öngerilmeli kiriş $x=L_1/2m$ kesiti gerilme tahkiki

$(x=L_1/2m \text{ için})$	Beton Gerilmesi Değerleri (kN/m}^2)		
	$\sigma_{\text{alt_p}}$	$\sigma_{\text{üst_p}}$	$\sigma_{\text{üst_k}}$
1. Tahkik	-10996.49	-4871.25	-
2. Tahkik	-4422.61	-9122.45	-
3. Tahkik	-2936.50	-9952.53	-1113.17
4. Tahkik	2235.55	-12841.44	-4987.31
<hr/>			
Kesitteki aktif halat sayısı	29 adet		
Minimum düzeydeki öngerilme kaybı oranı, η_1	0.960		
Maksimum düzeydeki öngerilme kaybı oranı, η_2	0.832		

$x=L_1/2m$ kesiti için eğilme durumu beton gerilmesi denetimleri,

$$1. \text{ Tahkik } \sigma_{\text{alt_p}} = -10996.49 \text{ kN/m}^2 > -20250 \text{ kN/m}^2 \checkmark$$

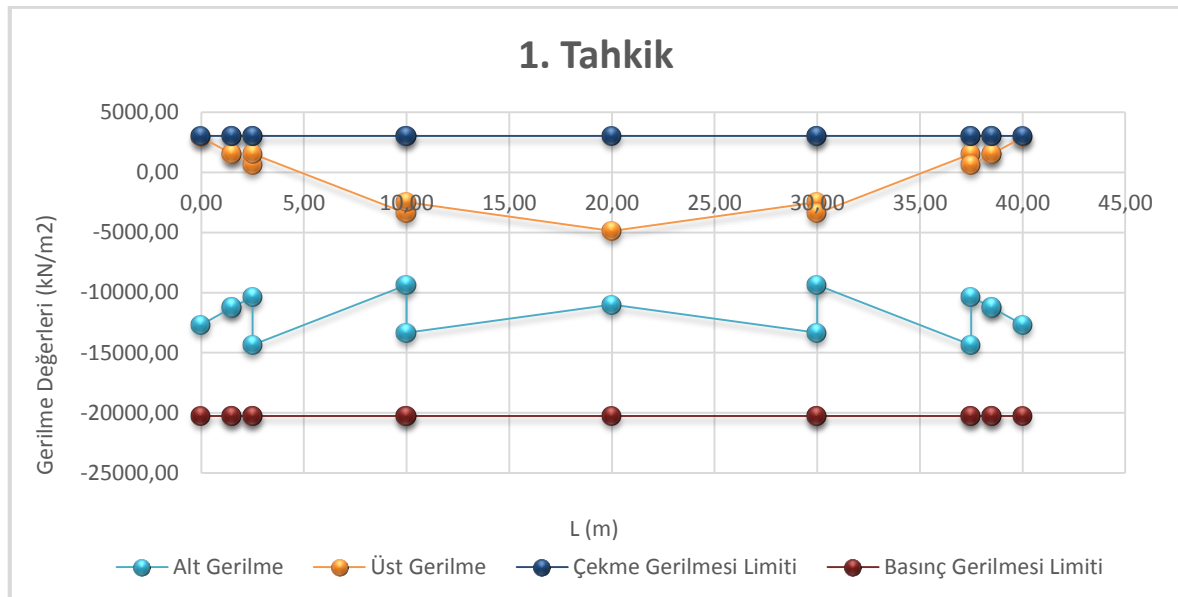
$$\sigma_{\text{üst_p}} = -4871.25 \text{ kN/m}^2 < 3602 \text{ kN/m}^2 \checkmark$$

$$4. \text{ Tahkik } \sigma_{\text{alt_p}} = 2235.55 \text{ kN/m}^2 < 3354 \text{ kN/m}^2 \checkmark$$

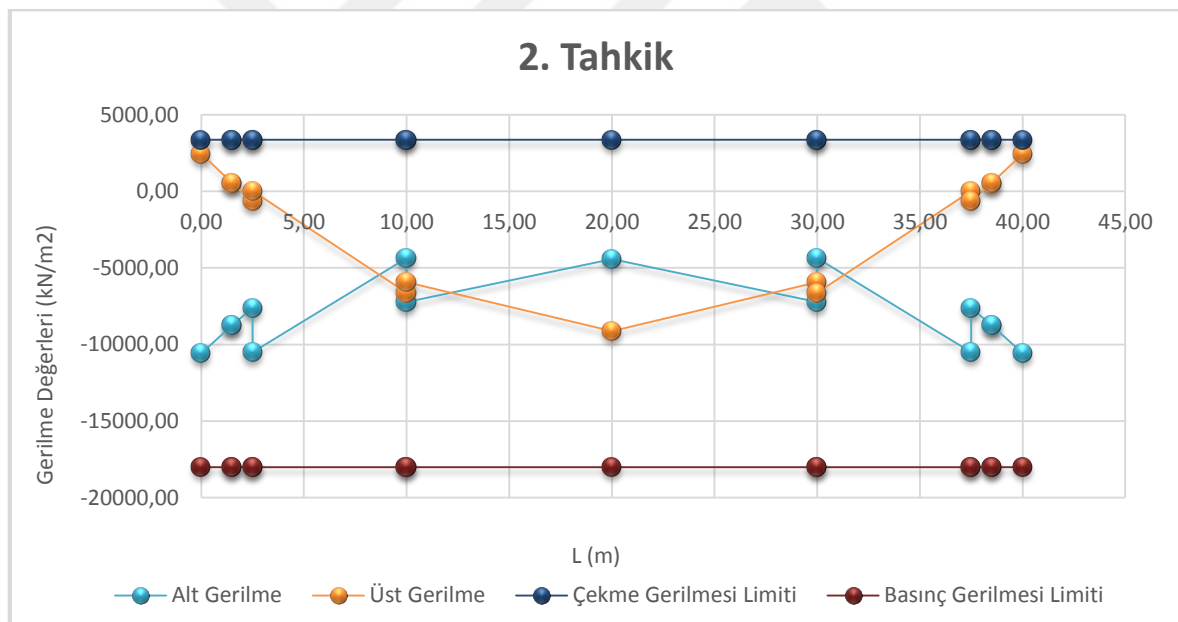
$$\sigma_{\text{üst_p}} = -12841.44 \text{ kN/m}^2 > -18000 \text{ kN/m}^2 \checkmark$$

$$\sigma_{\text{üst_k}} = -4987.31 \text{ kN/m}^2 > -9800 \text{ kN/m}^2 \checkmark$$

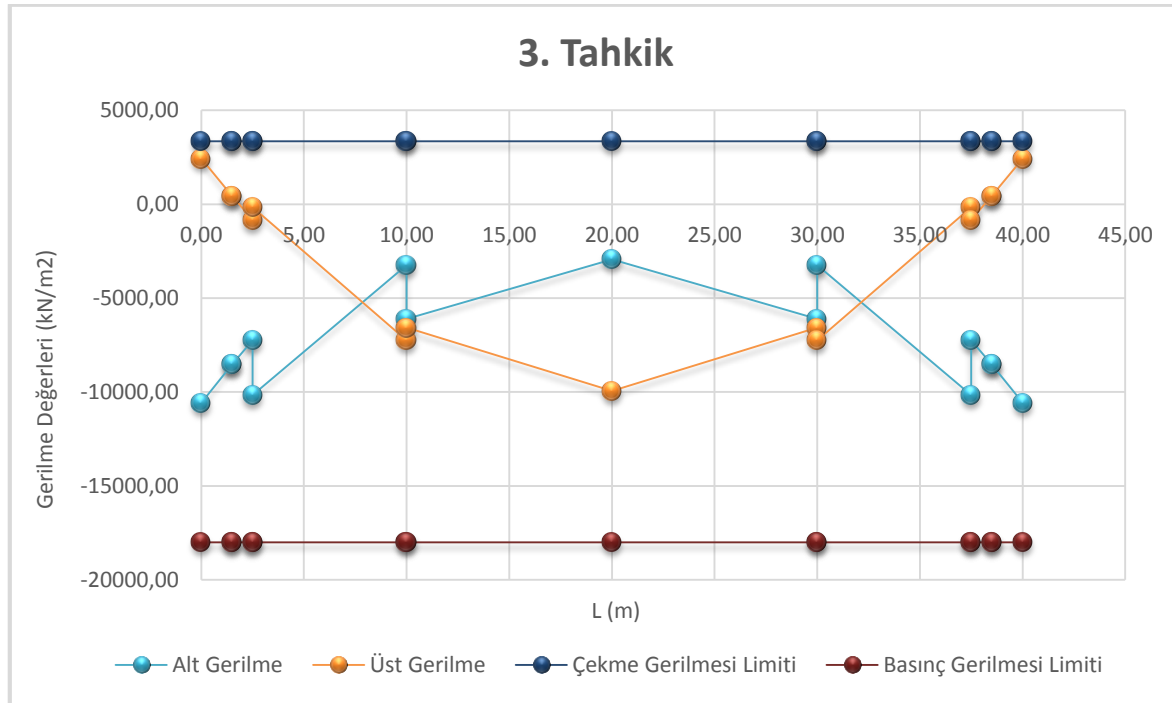
Gerilme denetimlerinde her bir tahkike göre öngerilmeli kirişin farklı kesitlerinde yer alan gerilme değerlerini gösteren grafikler Şekil 2.4-7'deki gibi gösterilmiştir.



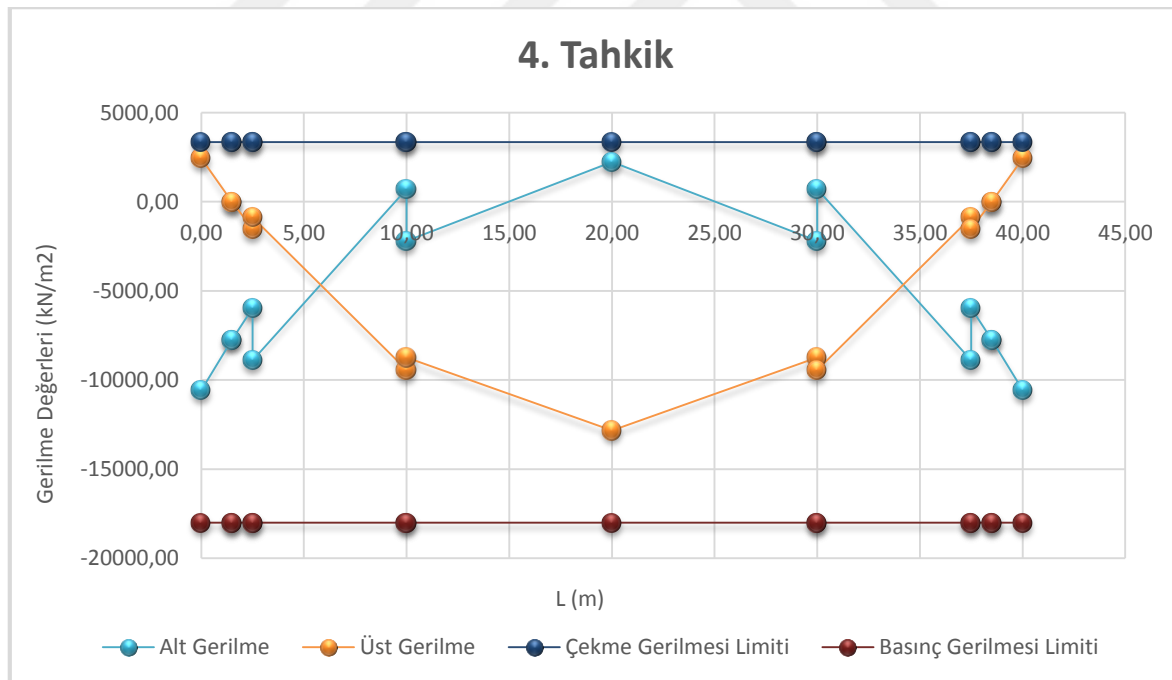
Şekil 2.4. Öngerilmeli kirişlerde 1.Tahkik için gerilme grafiği



Şekil 2.5. Öngerilmeli kirişlerde 2.Tahkik için gerilme grafiği



Şekil 2.6. Öngerilmeli kırışlarda 3.Tahkik için gerilme grafiği



Şekil 2.7. Öngerilmeli kırışlarda 4.Tahkik için gerilme grafiği

2.2.8. Boyuna Yönde Betonarme Donatısının Hesabı

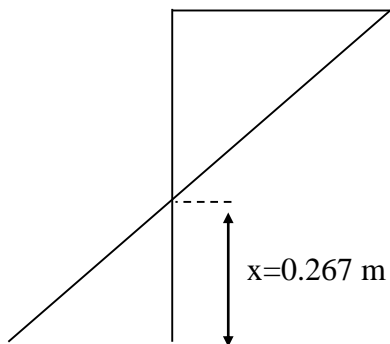
Öngerilmeli kirişte kılıflamadan sonra meydana gelecek çekme gerilmelerini kiriş boyuna yönde yerleştirilecek betonarme donatıları ile karşılamaktadır. Bu başlık altında öngerilmeli kirişin alt ve üst başlığında kullanılacak betonarme donatıları hesabı yer almaktadır.

2.2.8.1. Kiriş Alt Başlığında Kullanılacak Betonarme Donatısı

Öngerilmeli kirişte oluşacak çekme gerilmelerini karşılamak için kiriş alt başlığında boyuna yönde yerleştirilecek betonarme donatısı $x=L_1/2$ 'de 4. tahkikteki gerilmeler dikkate alınarak yapılacaktır.

T , kesitte oluşan maksimum çekme gerilmesine bağlı olarak öngerilmeli kirişin alt flanşında, alt pahinda ve kiriş gövdesinde meydana gelen çekme kuvvetlerinin toplamını ifade etmektedir. σ ise kesitte oluşacak toplam çekme kuvvetinin seçilen boyuna donatı alanına bölünmesiyle elde edilen gerilme değeridir ve bu değer 168000 kN/m^2 değerinden küçük olmalıdır.

$$\sigma_{\text{üst_p}} = -12841.44 \text{ kN/m}^2$$



$$T = 208.80 \text{ kN}$$

Seçilen Donatı: $6\phi 18$

$$A_s = 0.00153 \text{ m}^2$$

$$\sigma = T / A_s = 136753.52 \text{ kN/m}^2$$

$$\sigma_{\text{em}} = 168000 \text{ kN/m}^2$$

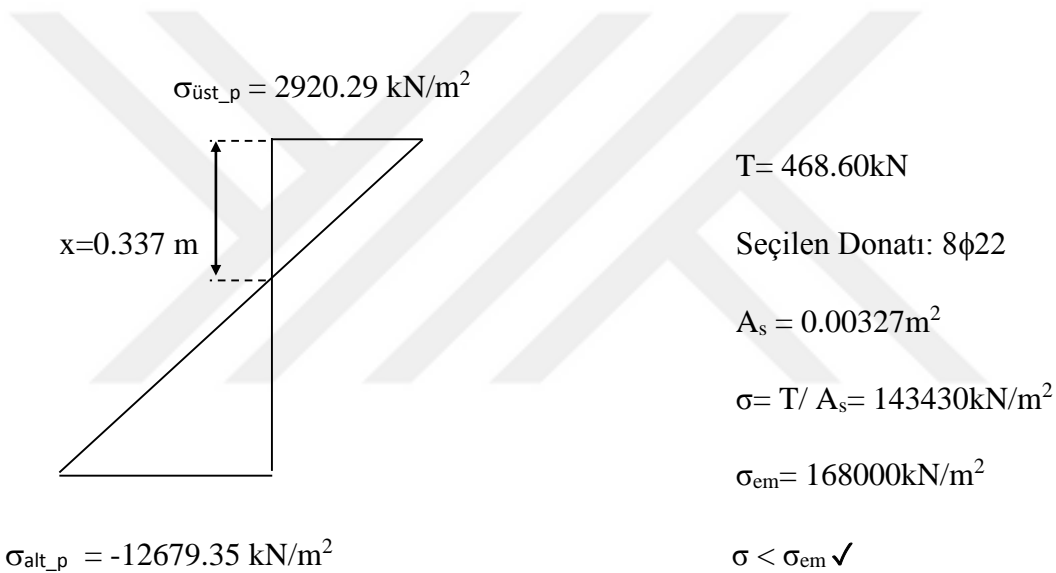
$$\sigma_{\text{alt_p}} = 2235.55 \text{ kN/m}^2$$

$$\sigma < \sigma_{\text{em}} \checkmark$$

2.2.8.2. Kiriş Üst Başlığında Kullanılacak Betonarme Donatısı

Öngerilmeli kirişte oluşacak çekme gerilmelerini karşılamak için kiriş üst başlığında boyuna yönde yerleştirilecek betonarme donatısı $x=0$ 'da 1. tahkikteki gerilmeler dikkate alınarak yapılacaktır.

T, kesitte oluşan maksimum çekme gerilmesine bağlı olarak öngerilmeli kirişin üst flanşında, üst pahında ve kiriş gövdesinde meydana gelen çekme kuvvetlerinin toplamını ifade etmektedir. σ ise kesitte oluşacak toplam çekme kuvvetinin seçilen boyuna donatı alanına bölünmesiyle elde edilen gerilme değeridir ve bu değer 168000 kN/m^2 değerinden küçük olmalıdır.



2.2.9. Taşıma Kapasitesi Kontrolleri

2.2.9.1. Eğilme Taşıma Kapasitesi

- Öngerilme donatısının türüne bağlı katsayı değeri, $\gamma^* = 0.280$
- Beton kalitesine bağlı katsayı değeri, $\beta_1 = 0.724$

2.2.9.1.1. Tablalı Kompozit Kesit Taşıma Kapasitesi

- Öngerme çeliği azaltılmış hesap dayanımı, $f_{su}^* = 1832683 \text{ kN/m}^2$
- Basınç bloğu derinliği, $a = 19.37 \text{ cm}$

- Tablalı kesitlerdeki başlık yani tabla kalınlığı, $t = 32\text{cm}$

$a < t$ olduğu için tarafsız eksen tabla içinde yer almaktadır ve bu yüzden dikdörtgen kesit çalışacaktır. Dikdörtgen kesit için taşıma gücü hesabı yapılacaktır.

- Taşıma gücü direnme momenti değeri, $\phi M_n = 13463.87\text{kNm}$
 - Faktörlü eğilme momenti değeri, $M_d = 11579.10\text{kNm}$
- $\phi M_n > M_d$ olduğundan kesit yeterlidir.

2.2.9.1.2. Prefabrik Kesit Taşıma Kapasitesi

$$f_{su}^* = 1836229\text{kN/m}^2$$

$$a = 16.24\text{cm}$$

$$t = 15.00\text{cm}$$

$a > t$ olduğundan tarafsız eksen tabla dışında yer almaktadır ve tablalı kesit çalışacaktır. Tablalı kesit için taşıma gücü hesabı yapılacaktır.

$$\phi M_n = 11959.26\text{kNm}$$

$$M_d = 6095.05\text{kNm}$$

$$\phi M_n > M_d$$
 olduğundan kesit yeterlidir.

2.2.9.2. Kesme Taşıma Kapasitesi

2.2.9.2.1. Beton Kesme Taşıma Gücü

Moment ve kesme kuvveti etkilerinin birleşimi sonucunda diyagonal çatıklärının oluşması durumunda betonun kesme kuvveti taşıma kapasitesi değeri, $V_{ci} = 638.09\text{kN}$

$$V_{ci} = 638.09 \text{ kN} > 143.8\sqrt{f_c}b_w d = 311.77\text{kN} \checkmark$$

Öngerilmeli kiriş gövdesinde maksimum seviyeye çıkan asal çekme gerilmeleri etkisiyle diagonal(eğik) çatlakların meydana geldiği andaki betonun kesme taşıma gücü değeri, $V_{cw} = 804.49\text{kN}$

$V_{ci} = 638.09\text{kN}$ ve $V_{cw} = 804.49\text{kN}$ olarak hesaplanmıştır. Beton tarafından sağlanan V_c kesme dayanımı değeri bu iki değerden küçük olanı olarak dikkate alınacaktır.

$$V_c = 638.09\text{kN}$$

2.2.9.2.2. Kesme Donatısı Taşıma Gücü

- Seçilen etriye çapı, $\phi 12$
- Enine donatı aralığı(s), 0.10m
- Kesme donatısı alanı(A_v), 0.0002262m^2
- Enine donatının çekme gerilmeleri ile karşıladığı kesme kuvveti değeri, $V_s = 1535.23\text{kN}$

$$V_s = 1535.23\text{kN} > 664\sqrt{f'_c}b_w d = 1439.61\text{kN} \times$$

$$V_s = 1439.61\text{kN}$$

- Öngerilmeli beton kiriş kesitinde oluşan hesap kesme kuvveti, $V_u = 1222.58\text{kN}$

$$V_u = 1222.58\text{kN} < \phi(V_c + V_s) = 1869.94\text{kN} \checkmark$$

2.2.9.2.3. Kiriş-Döşeme Bağlantısı Kesme Tahkiki

Nominal yatay kesme kuvveti,

$$V_{nh} = 4679.29\text{kN}$$

$$V_u = 1222.58\text{kN} < \phi V_{nh} = 4211.36\text{kN} \checkmark$$

2.2.10. Minimum Öngerme Donatısı Denetimi

2.2.10.1. Tablalı Kompozit Kesit

Kesit çatlama momenti,

$$M_{cr,c}^* = 1787.58 \text{ kNm}$$

$$1.2M_{cr,c}^* = 2145.10 \text{ kNm}$$

Öngerilmeli kiriş kesitindeki eğilme kapasitesi,

$$\phi M_n = 13463.87 \text{ kNm}$$

$\phi M_n \geq 1.2M_{cr}^*$ olduğundan tablalı kompozit kesit için minimum donatı oranı koşulu sağlanmıştır.

2.2.10.2. Prefabrik Kesit

Kesit çatlama momenti

$$M_{cr,p}^* = 1408.47 \text{ kNm}$$

$$1.2M_{cr,c}^* = 1690.17 \text{ kNm}$$

Öngerilmeli kiriş kesitindeki eğilme kapasitesi,

$$\phi M_n = 11959.26 \text{ kNm}$$

$\phi M_n \geq 1.2M_{cr}^*$ olduğundan tablalı kompozit kesit için minimum donatı oranı koşulu sağlanmıştır.

2.2.11. Sehim Tahkikleri

Öngerilmeli kirişlerde sehim tahkikleri kirişin yükleme aşamalarına göre 4 aşamada tahkik edilecektir.

- 1. Tahkik = Sadece kiriş zati ağırlığının olduğu durum için yapılacaktır. Kayıplar minimum seviyededir (f_1).
- 2. Tahkik = 1. Tahkike ilave olarak, döşeme betonu ağırlığının da prefabrik kesit tarafından taşıdığı durum için yapılacaktır. Kayıplar maksimum seviyededir (f_2).
- 3. Tahkik = Hareketli yükler hariç tüm yüklerin mevcut olduğu durum için yapılacaktır. Kayıplar maksimum seviyededir (f_3).
- 4. Tahkik = Hareketli yüklerin mevcut olduğu durum için yapılacaktır. Kayıplar maksimum seviyededir (f_4).

$$f_1 = -3.821 \text{ cm} < L_1/400 = 10 \text{ cm} \checkmark$$

$$f_2 = -0.544 \text{ cm} < L_1/400 = 10 \text{ cm} \checkmark$$

$$f_3 = 0.080 \text{ cm} < L_1/400 = 10 \text{ cm} \checkmark$$

$$f_{4,1} = 2.280 \text{ cm} < L_1/800 = 5 \text{ cm} \checkmark$$

$$f_{4,2} = 1.840 \text{ cm} < L_1/800 = 5 \text{ cm} \checkmark$$

$$f_4 = 2.280 \text{ cm} < L_1/800 = 5 \text{ cm} \checkmark$$

Nihai sehim değeri üçüncü ve dördüncü tahkiklerin sonucu bulunan sehim miktarlarının toplamı şeklindedir.

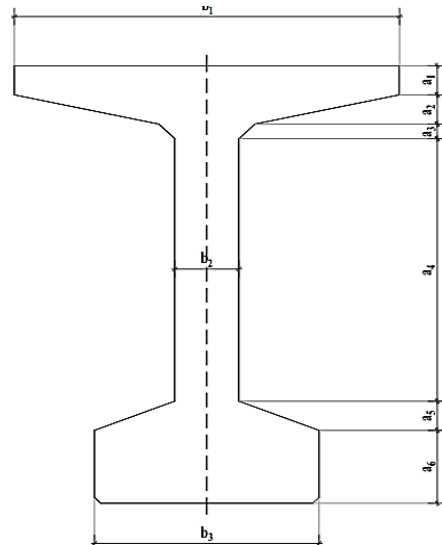
$$f = f_3 + f_4 = 2.360 \text{ cm} < L_1/400 = 10 \text{ cm} \checkmark$$

2.3. Öngerilmeli Kirişlerin Hesap Özetleri

Bu başlık altında 18m ile 40m arası net açıklığa sahip olan köprülerde, seçilen öngerilmeli kiriş tipleri ve bu kirişler ile oluşturulan köprü üstyapıları için en ideal kirişin hangi açıklıklarda kullanılması gereğinin belirlenmesi için yapılan hesaplara ait veriler yer almaktadır. İlk olarak, seçilen öngerilmeli kirişlere ait kesit ölçülerini gösterilmiş ve bu kirişlerle oluşturulacak üstyapı enkesit tipleri belirlenmiştir. Sonra, hesaplarda yer alan her bir üstyapı kesitine etkiyen yükler ve bu yükler sonucu oluşan kesit tesir değerleri, kesitlerdeki kirişlerin öngerme özeti değerleri, kirişlerin taşıma kapasitesi ve minimum donatı kontrolleri, kirişlerin gerilme tahkikleri, kirişlerde meydana gelen sehim değerleri ve kirişlerin imalatı için halat, beton ve betonarme donatısı metrajlarına ait tablolara yer verilmiştir.

2.3.1. Seçilen Öngerilmeli Kiriş Tipleri

Hesaplar için seçilen önerilmeli kiriş enkesiti Şekil 2.8'de ve kiriş tiplerine ait kesit ölçülerini Tablo 2.27'de verilmiştir.



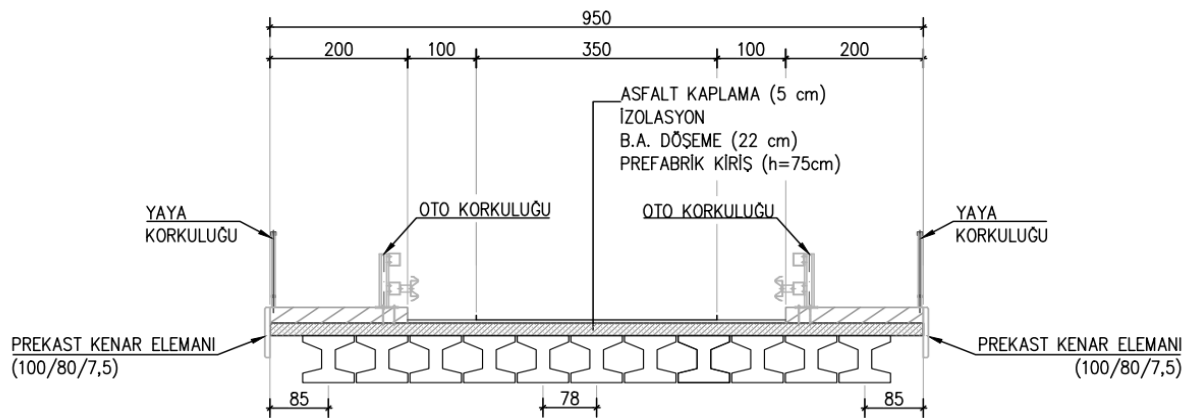
Şekil 2.8. Prefabrik kiriş enkesiti

Tablo 2.27. Öngerilmeli kirişlerin kesit ölçütleri

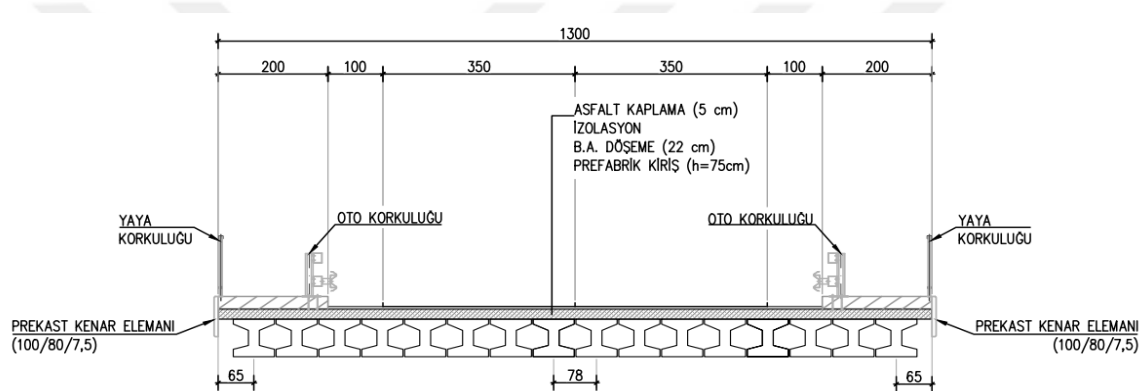
Kiriş Tipi	Kesit Boyutları (cm)									
	h	b₁	b₂	b₃	a₁	a₂	a₃	a₄	a₅	a₆
Tip1	75	75	20	75	10	12.5	-	30	7.5	15
Tip2	90	94	20	65	10	8	-	46	10	16
Tip3	120	94	20	65	10	8	-	76	10	16
Tip4	150	120	20	70	10	10	5	90	10	25
Tip5	180	120	20	70	10	10	5	120	10	25

2.3.2. Üstyapı Enkesit Tiplerinin Belirlenmesi

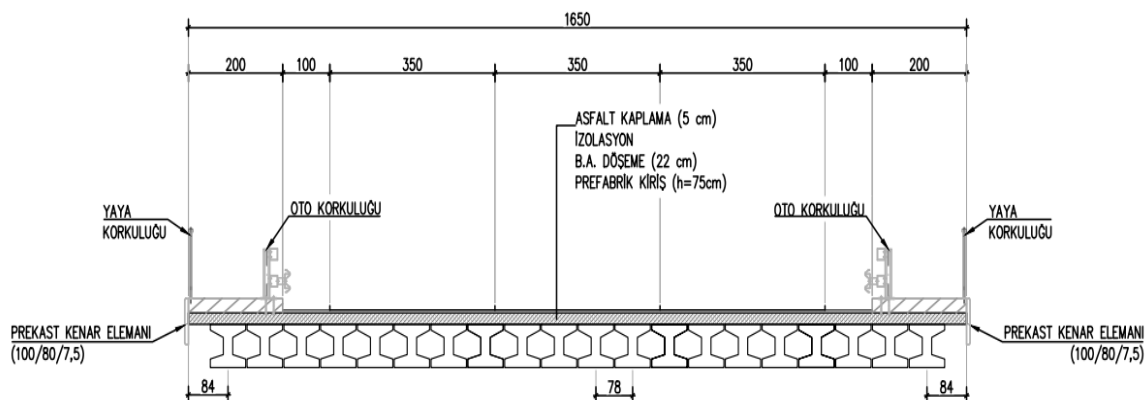
Toplam yüksekliği $h=75\text{cm}$ olan Tip1 öngerilmeli kirişleri kullanılarak tasarlanan köprü üstyapılarına ait enkesitler Şekil 2.9-15'te ve köprü üstyapılarına ait değişken parametreler Tablo 2.28'deki gibi belirlenmiştir.



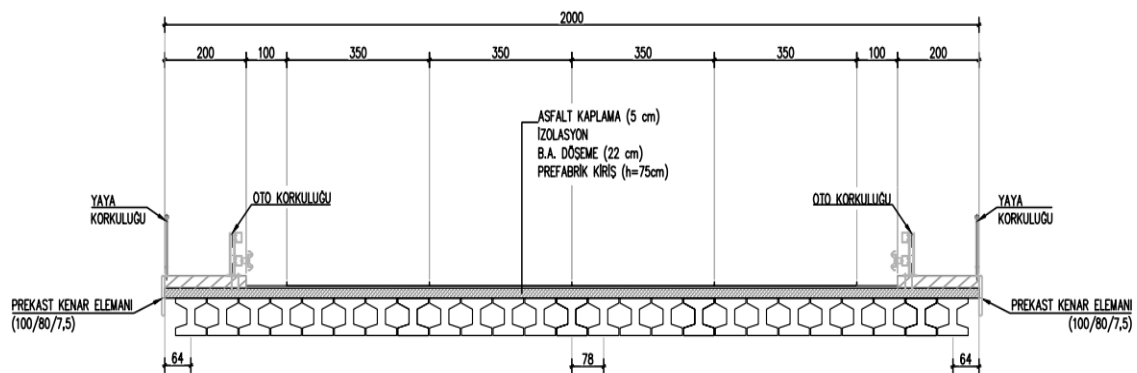
Şekil 2.9. Tip1 kirişi için A enkesiti



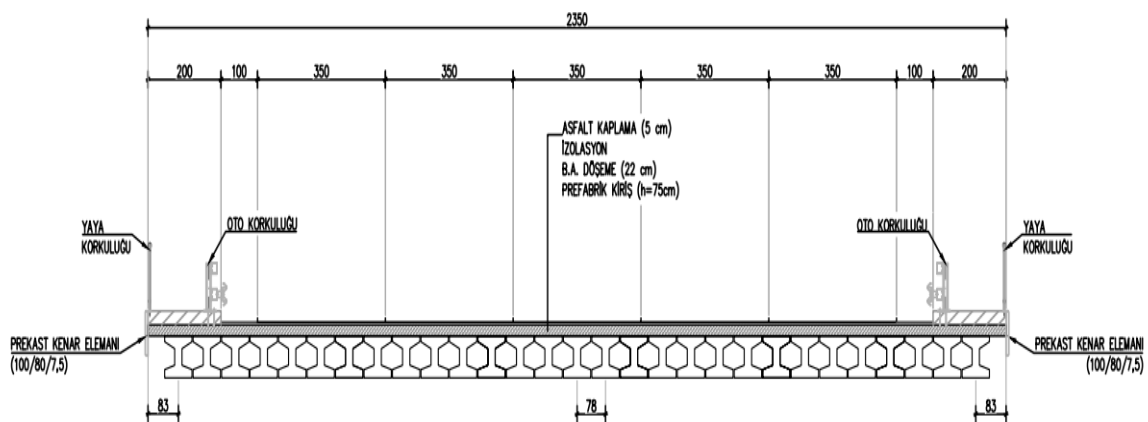
Şekil 2.10. Tip1 kirişi için B enkesiti



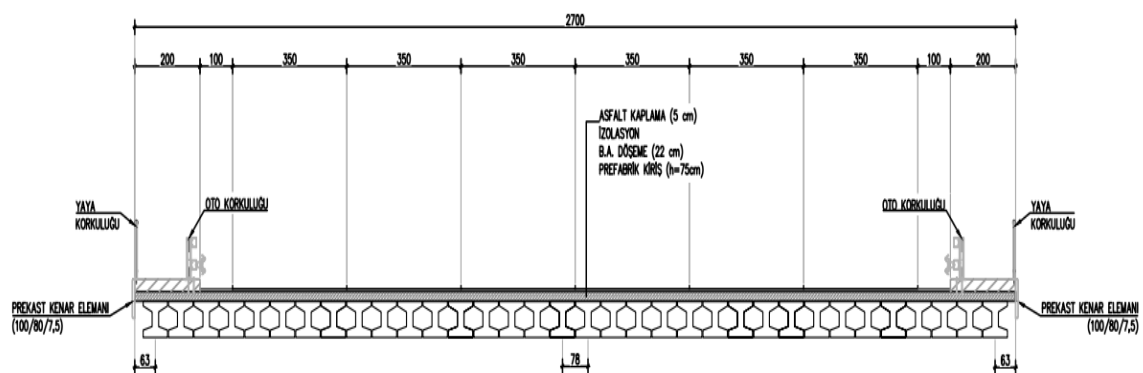
Şekil 2.11. Tip1 kirişi için C enkesiti



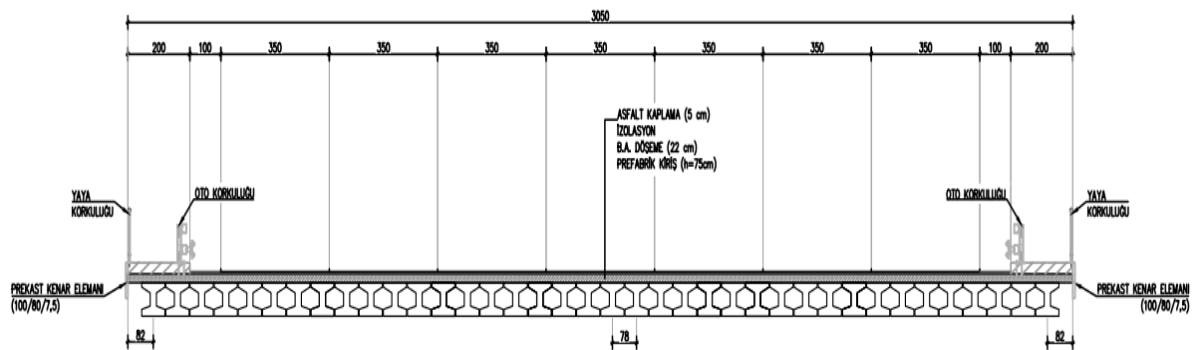
Şekil 2.12. Tip1 kırışı için D enkesiti



Şekil 2.13. Tip1 kırışı için E enkesiti



Şekil 2.14. Tip1 kırışı için F enkesiti

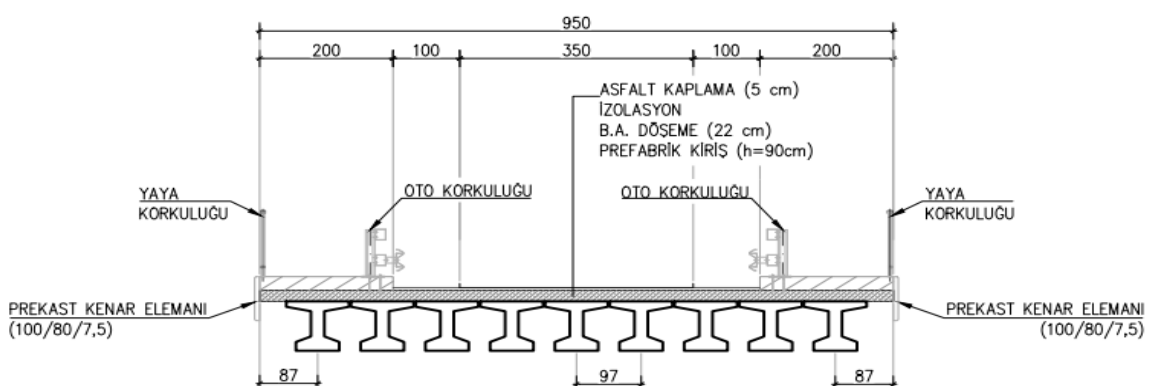


Şekil 2.15. Tip1 kirişi için G enkesiti

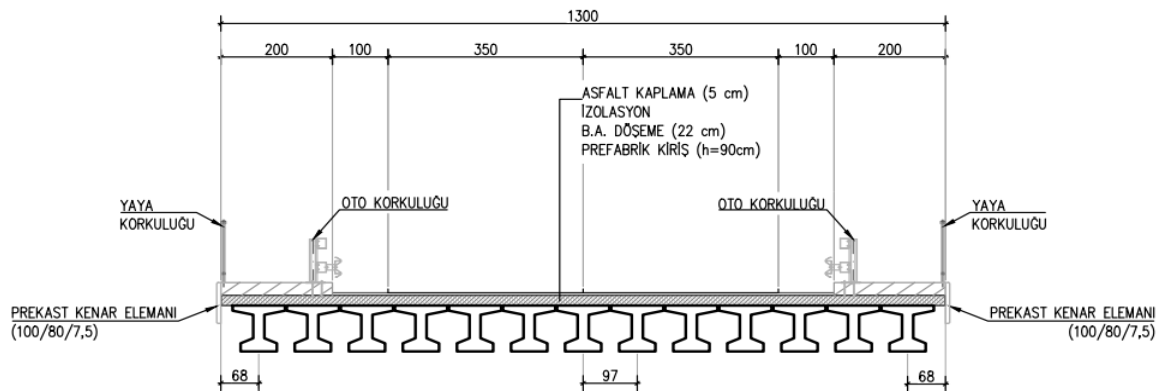
Tablo 2.28. Tip1 kirişi için köprü üstyapılarına ait değişken parametreler

Parametreler	Enkesit						
	A	B	C	D	E	F	G
W (m)	9.50	13.00	16.50	20.00	23.50	27.00	30.50
W_a (m)	5.50	9.00	12.5	16.00	19.50	23.00	26.50
L₁ (m)	18~24	18~24	18~24	18~24	18~24	18~24	18~24
L₂ (m)	19~25	19~25	19~25	19~25	19~25	19~25	19~25
c₂ (m)	0.85	0.65	0.84	0.64	0.83	0.63	0.82
N₂ (adet)	11	16	20	25	29	34	38
N_L (adet)	1	2	3	4	5	6	7

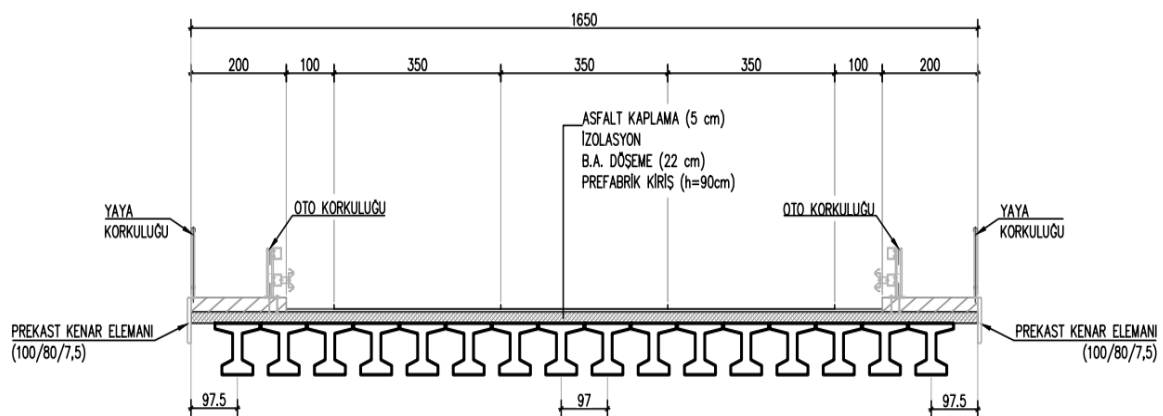
Toplam yüksekliği h=90cm olan Tip2 öngerilmeli kirişleri kullanılarak tasarlanan köprü üstyapılarına ait enkesitler Şekil 2.16-22'de ve köprü üstyapılarına ait değişken parametreler Tablo 2.29'daki gibi belirlenmiştir.



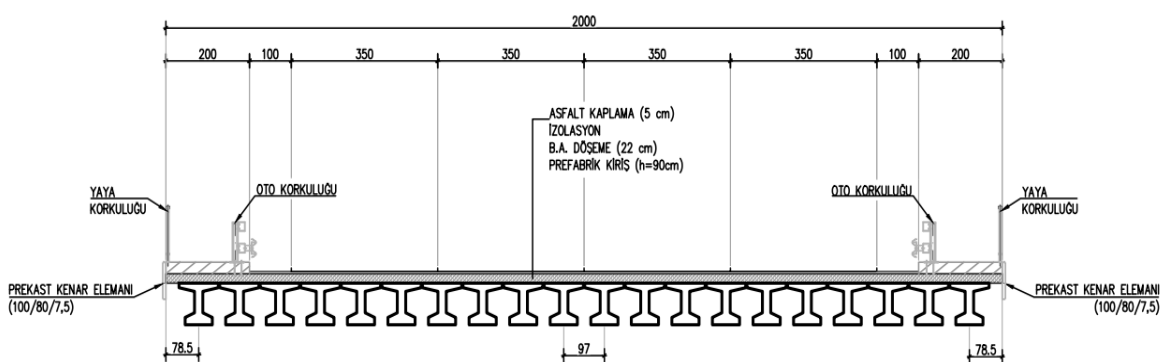
Şekil 2.16. Tip2 kirişi için A enkesiti



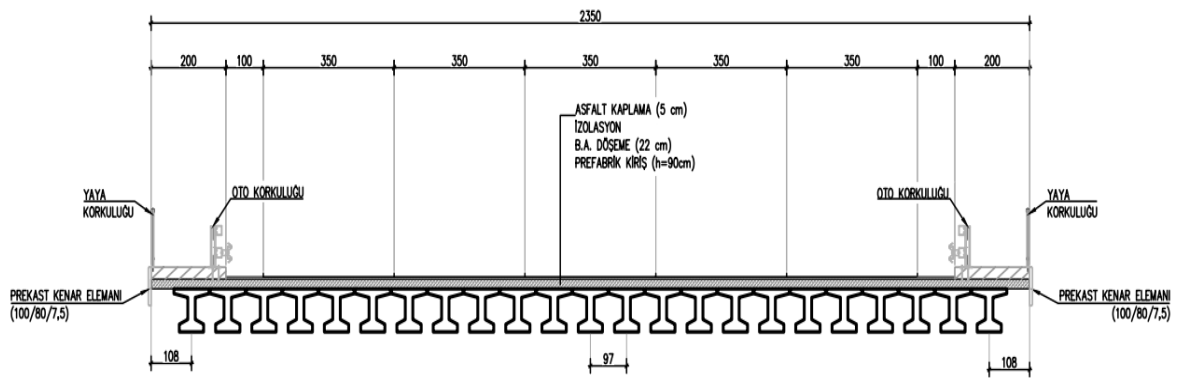
Şekil 2.17. Tip2 kirişi için B enkesiti



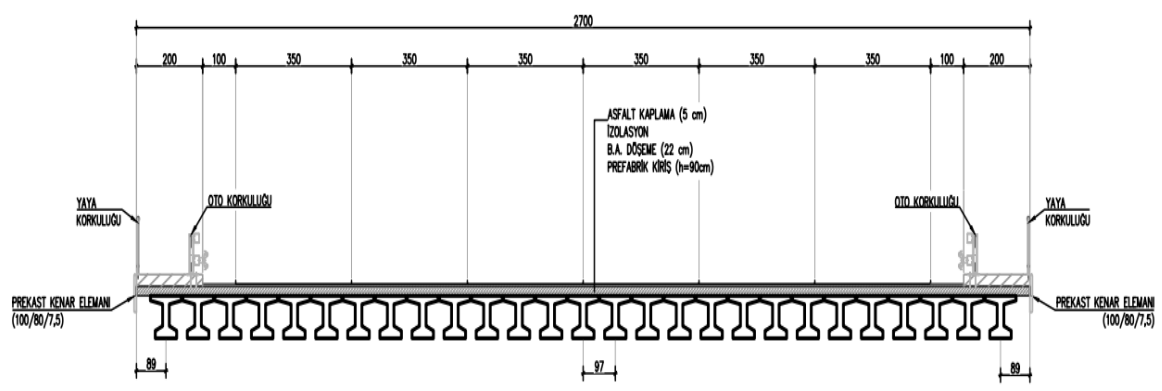
Şekil 2.18. Tip2 kirişi için C enkesiti



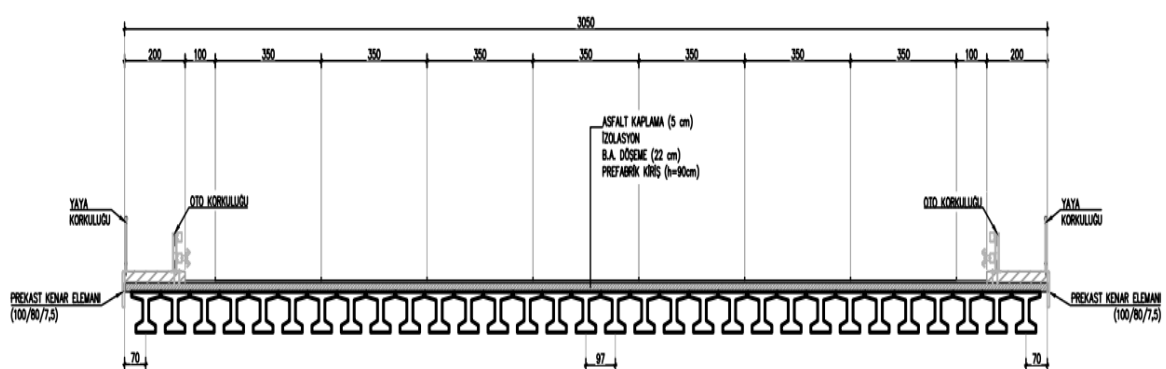
Şekil 2.19. Tip2 kirişi için D enkesiti



Şekil 2.20. Tip2 kirişi için E enkesiti



Şekil 2.21. Tip2 kirişi için F enkesiti

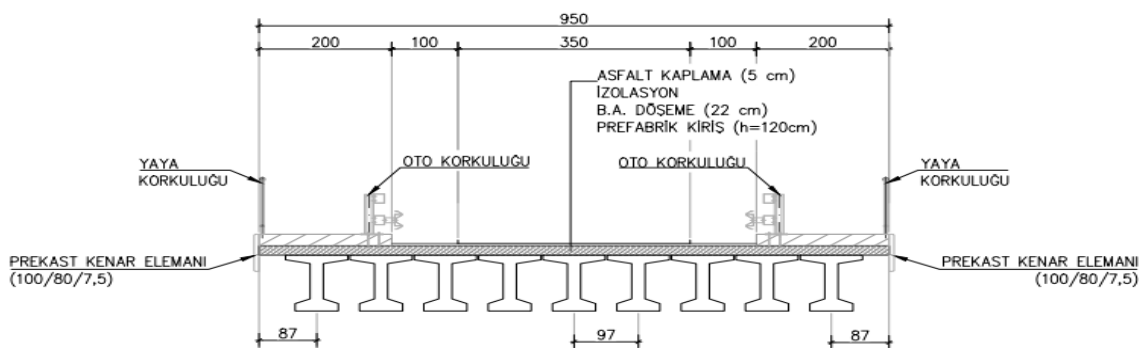


Şekil 2.22. Tip2 kirişi için G enkesiti

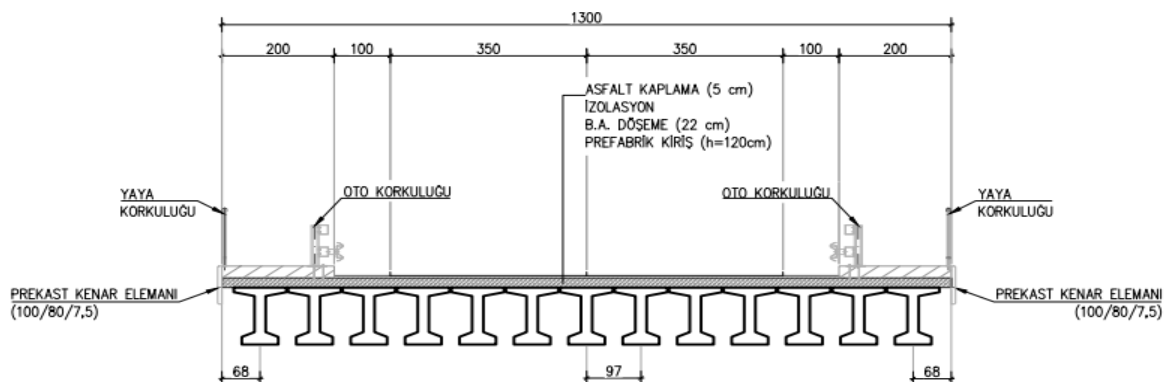
Tablo 2.29. Tip2 kiriş için köprü üstyapılarına ait değişken parametreler

Parametreler	Enkesit						
	A	B	C	D	E	F	G
W (m)	9.50	13.00	16.50	20.00	23.50	27.00	30.50
W_a (m)	5.50	9.00	12.5	16.00	19.50	23.00	26.50
L₁ (m)	23~26	23~26	23~26	23~26	23~26	23~26	23~26
L₂ (m)	24~27	24~27	24~27	24~27	24~27	24~27	24~27
c₂ (m)	0.87	0.68	0.98	0.79	1.08	0.89	0.70
N₂ (adet)	9	13	16	20	23	27	31
N_L (adet)	1	2	3	4	5	6	7

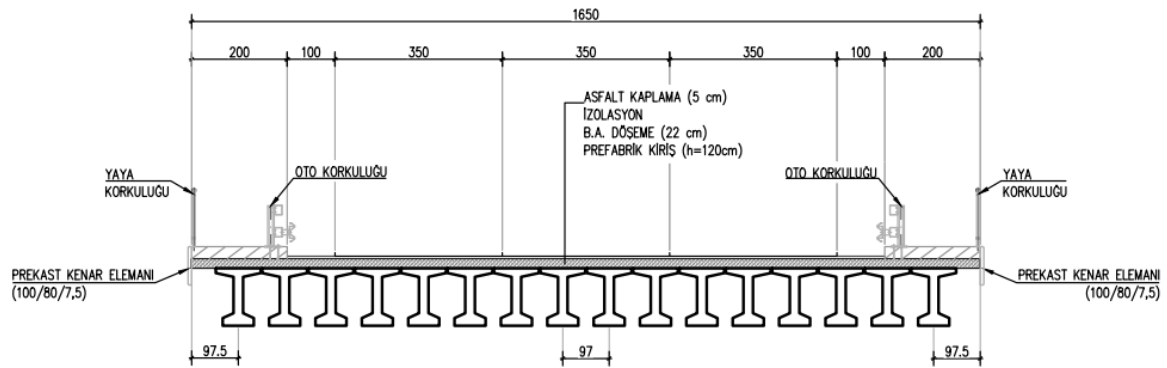
Toplam yüksekliği $h=120\text{cm}$ olan Tip3 öngerilmeli kirişleri kullanılarak tasarlanan köprü üstyapılarına ait enkesitler Şekil 2.23-29'da ve köprü üstyapılarına ait değişken parametreler Tablo 2.30'daki gibi belirlenmiştir.



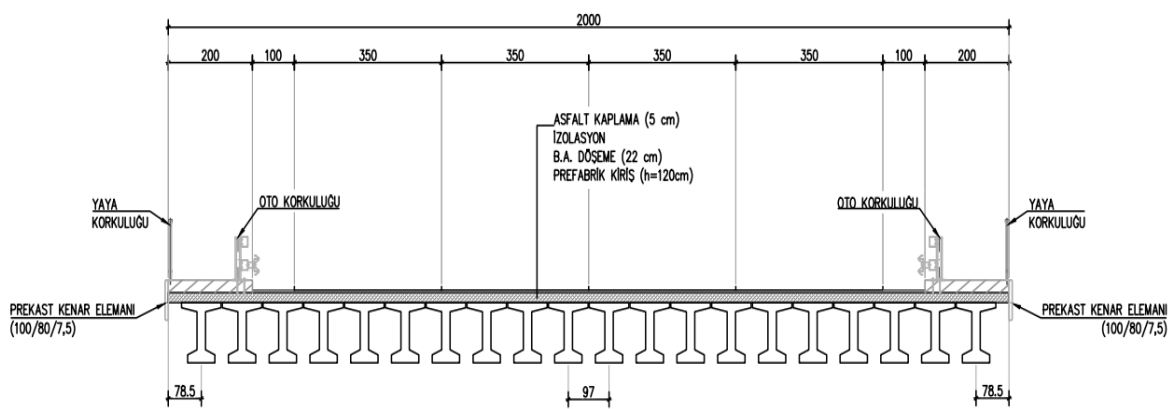
Şekil 2.23. Tip3 kiriş için A enkesiti



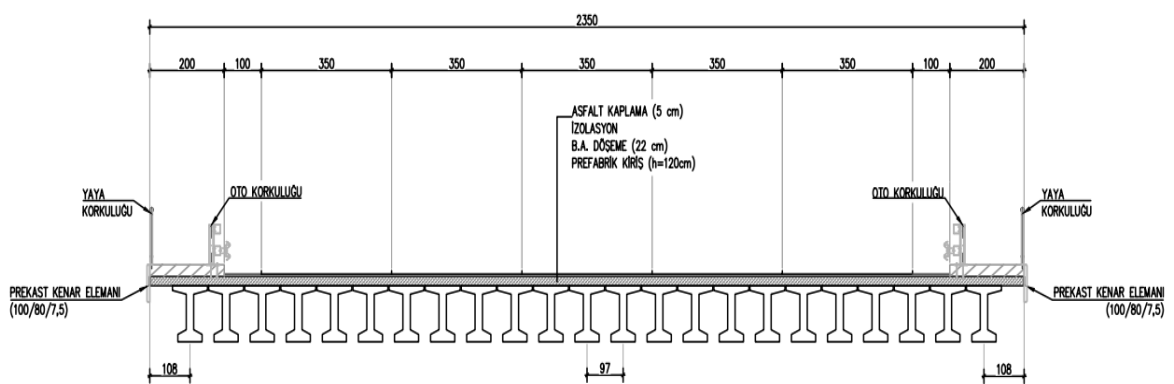
Şekil 2.24. Tip3 kiriş için B enkesiti



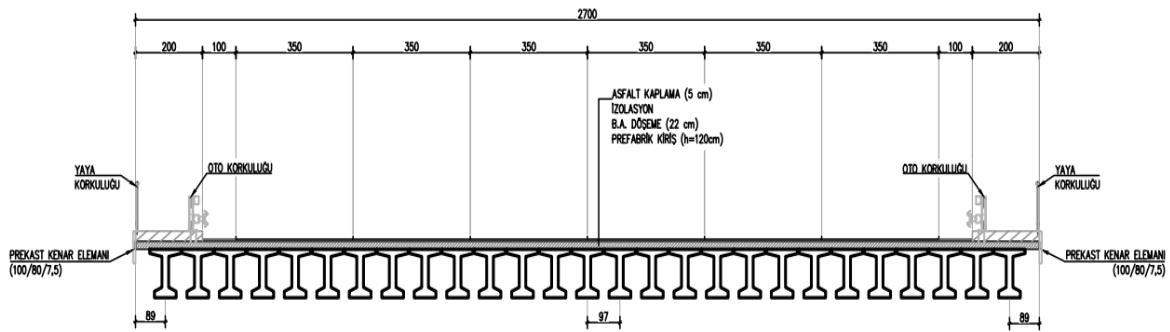
Şekil 2.25. Tip3 kirişi için C enkesiti



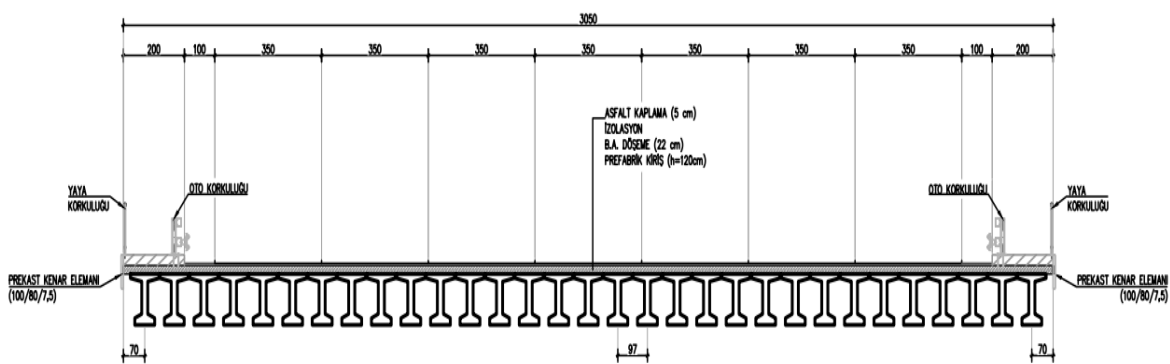
Şekil 2.26. Tip3 kirişi için D enkesiti



Şekil 2.27. Tip3 kirişi için E enkesiti



Şekil 2.28. Tip3 kırışı için F enkesiti

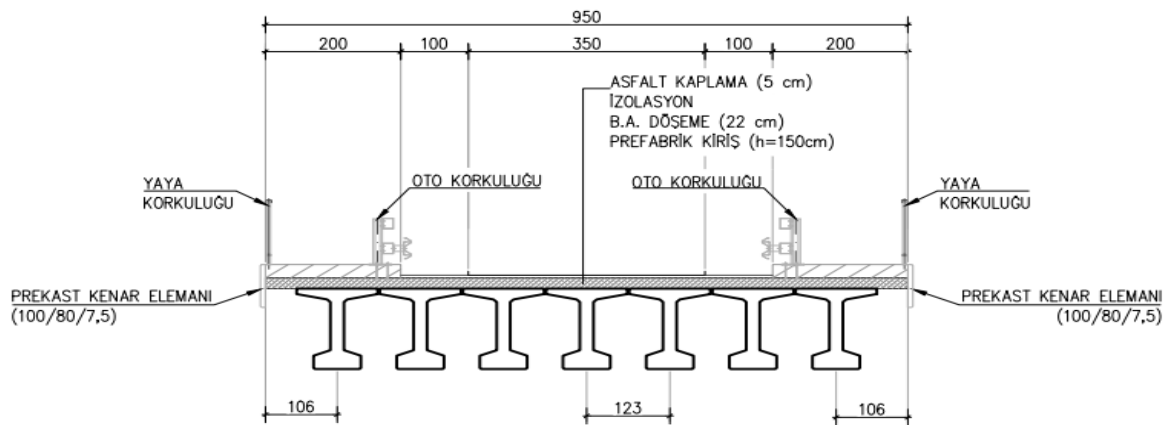


Şekil 2.29. Tip3 kırışı için G enkesiti

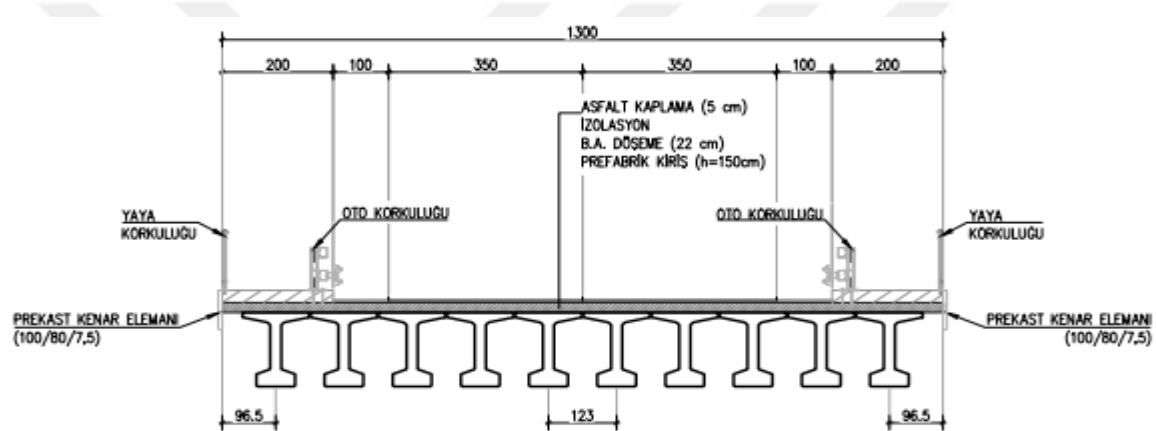
Tablo 2.30. Tip3 kırışı için köprü üstyapılarına ait değişken parametreler

Parametreler	Enkesit						
	A	B	C	D	E	F	G
W (m)	9.50	13.00	16.50	20.00	23.50	27.00	30.50
W_a (m)	5.50	9.00	12.5	16.00	19.50	23.00	26.50
L₁ (m)	26~32	26~32	26~32	26~32	26~32	26~32	26~32
L₂ (m)	27~33	27~33	27~33	27~33	27~33	27~33	27~33
c₂ (m)	0.87	0.68	0.98	0.79	1.08	0.89	0.70
N₂ (adet)	9	13	16	20	23	27	31
N_L (adet)	1	2	3	4	5	6	7

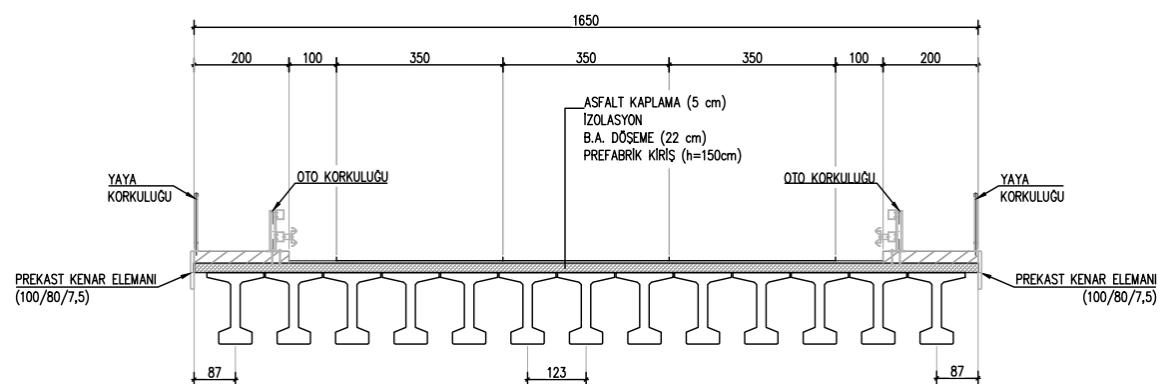
Toplam yüksekliği $h=150\text{cm}$ olan Tip4 öngerilmeli kırışları kullanılarak tasarlanan köprü üstyapılarına ait enkesitler Şekil 2.30-36'da ve köprü üstyapılarına ait değişken parametreler Tablo 2.31'deki gibi belirlenmiştir.



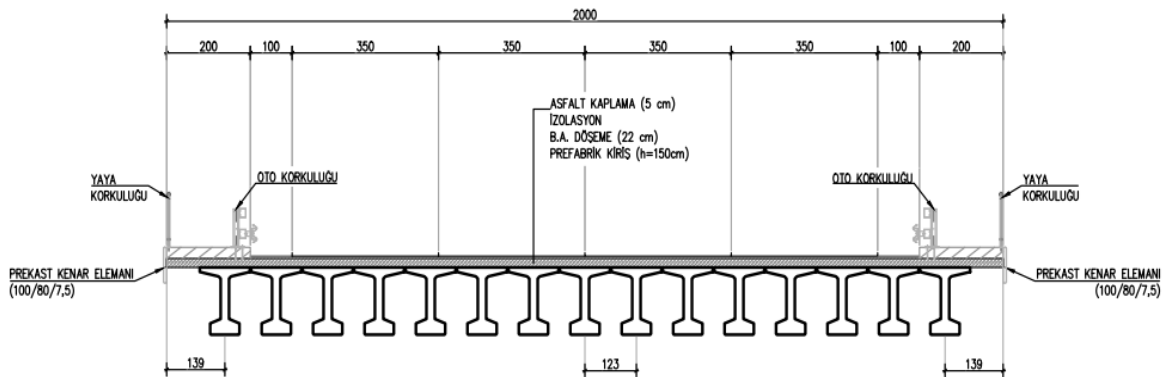
Şekil 2.30. Tip4 kiriş'i için A enkesiti



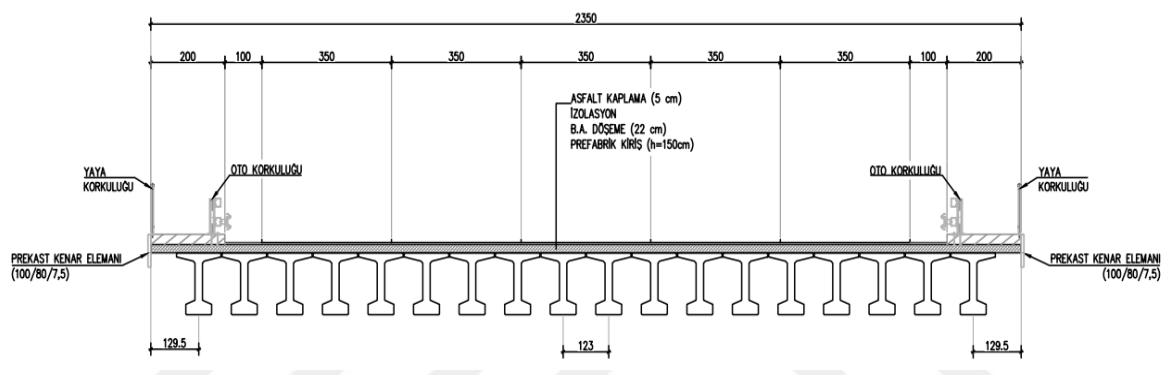
Şekil 2.31. Tip4 kiriş'i için B enkesiti



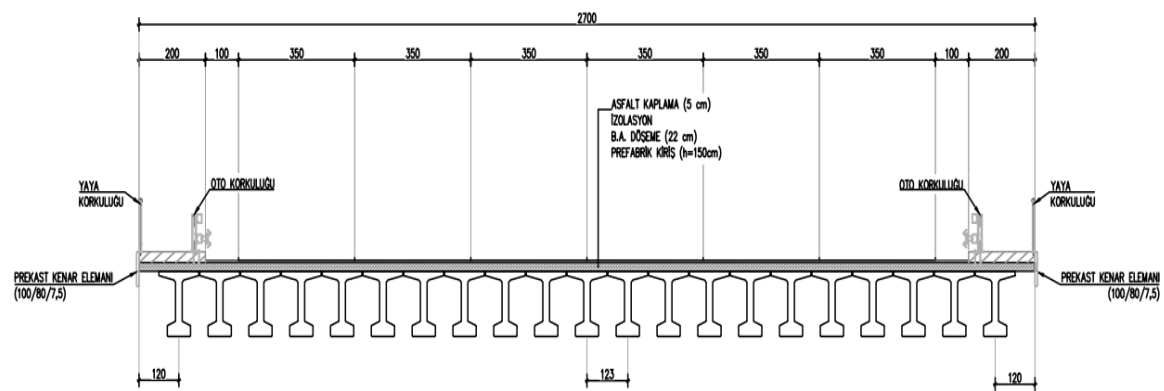
Şekil 2.32. Tip4 kiriş'i için C enkesiti



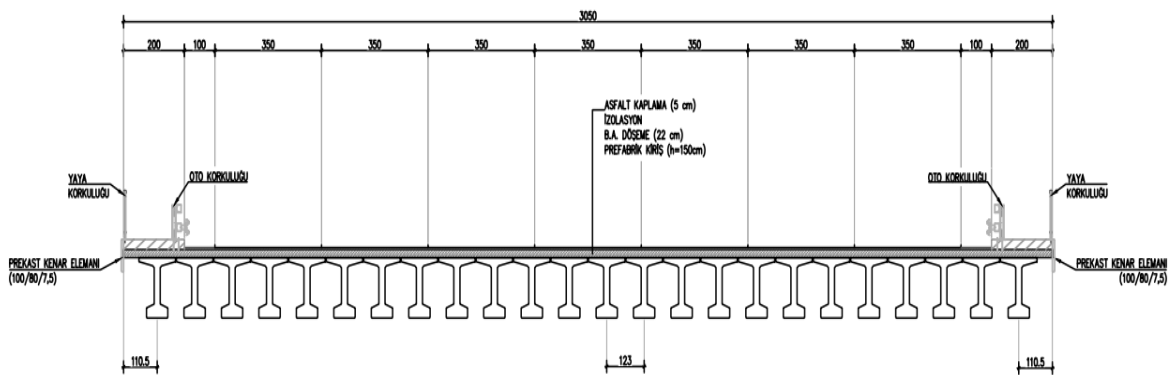
Şekil 2.33. Tip4 kırıcı için D enkesi



Şekil 2.34. Tip4 kırıcı için E enkesi



Şekil 2.35. Tip4 kırıcı için F enkesi

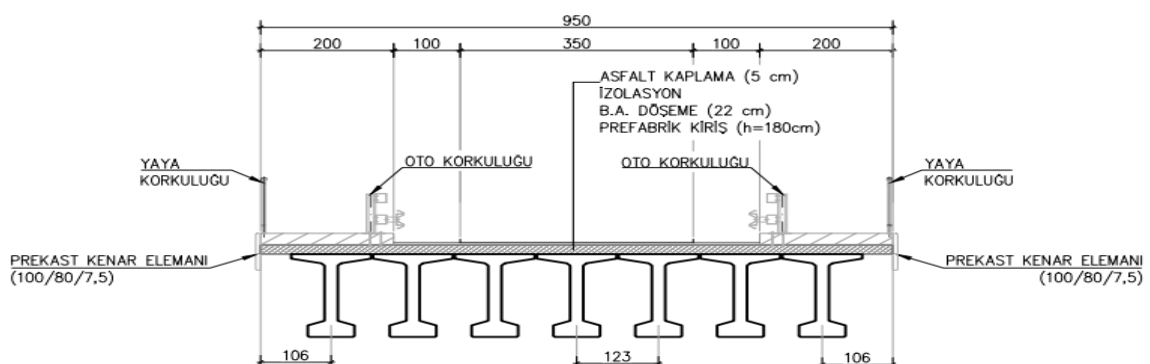


Şekil 2.36. Tip4 kiriş için G enkesiti

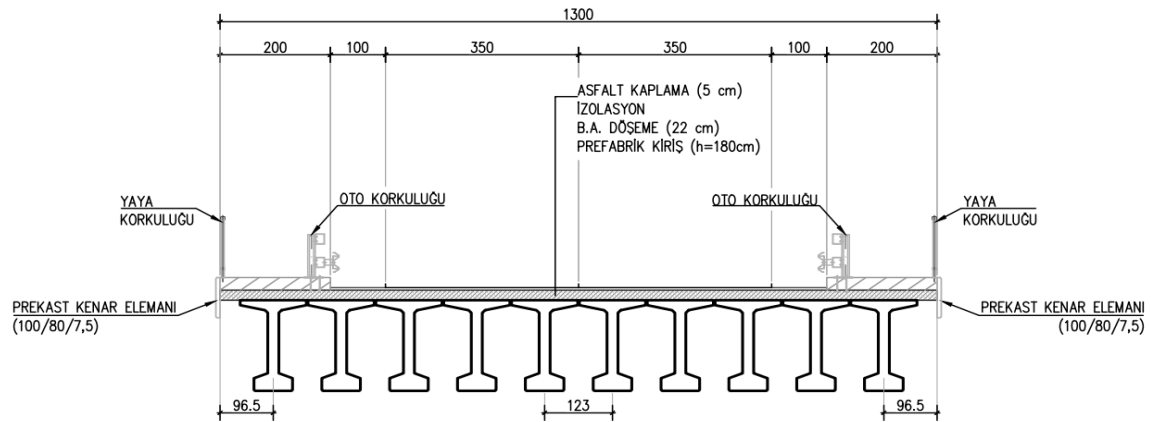
Tablo 2.31. Tip4 kiriş için köprü üstyapılarına ait değişken parametreler

Parametreler	Enkesit						
	A	B	C	D	E	F	G
W (m)	9.50	13.00	16.50	20.00	23.50	27.00	30.50
W_a (m)	5.50	9.00	12.5	16.00	19.50	23.00	26.50
L₁ (m)	31~36	31~36	31~36	31~36	31~36	31~36	31~36
L₂ (m)	32~37	32~37	32~37	32~37	32~37	32~37	32~37
c₂ (m)	1.06	0.97	0.87	1.39	1.30	1.20	1.11
N₂ (adet)	7	10	13	15	18	21	24
N_L (adet)	1	2	3	4	5	6	7

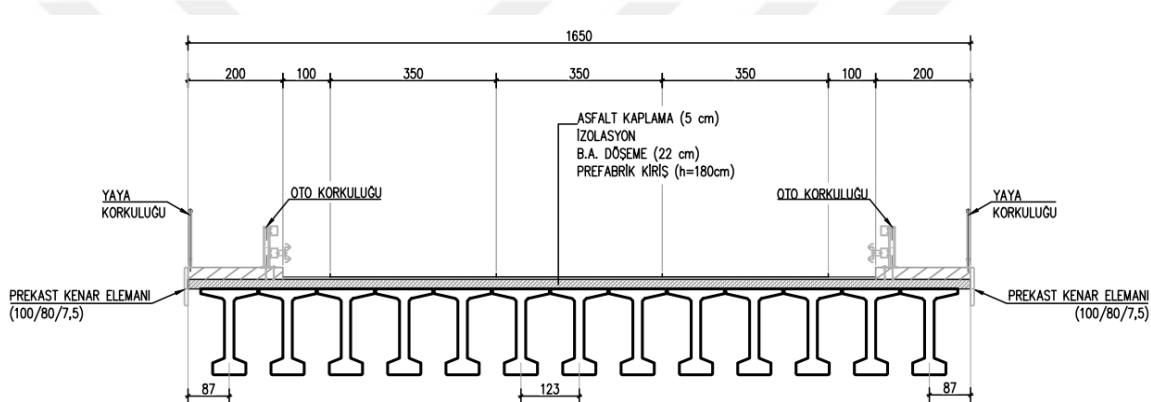
Toplam yüksekliği $h=180\text{cm}$ olan Tip5 öngerilmeli kirişleri kullanılarak tasarlanan köprü üstyapılarına ait enkesitler Şekil 2.37-43'te ve köprü üstyapılarına ait değişken parametreler Tablo 2.32'deki gibi belirlenmiştir.



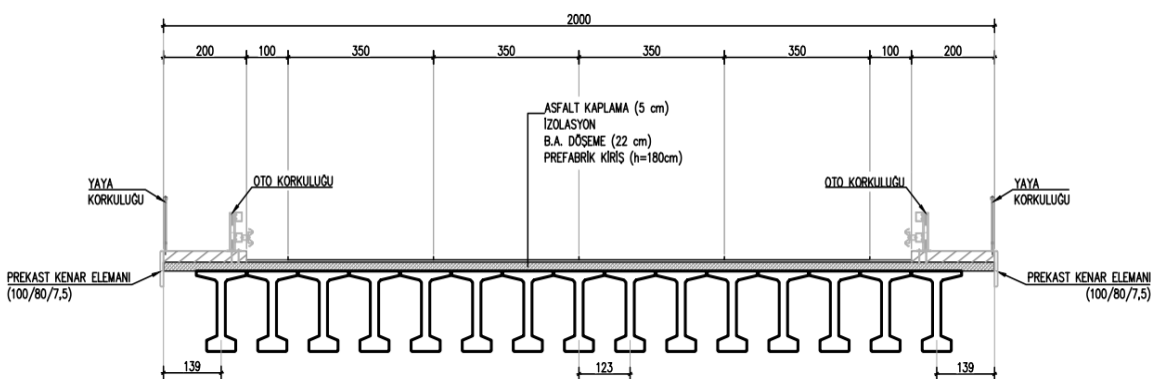
Şekil 2.37. Tip5 kiriş için A enkesiti



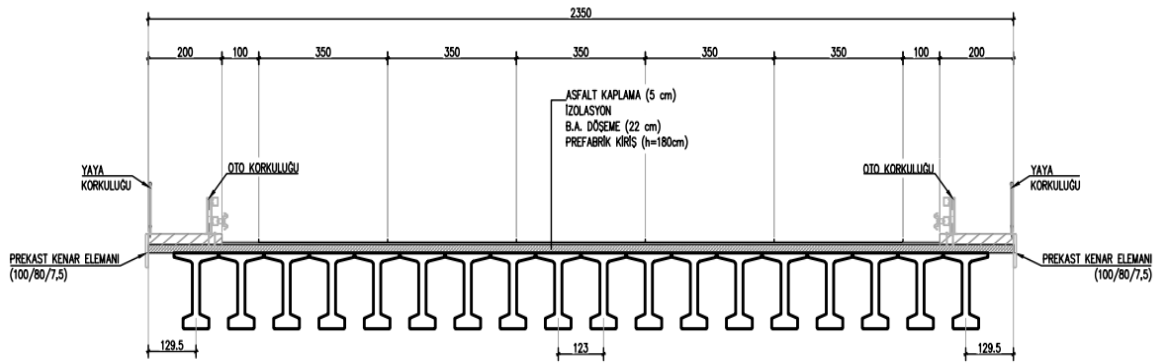
Şekil 2.38. Tip5 kırışı için B enkesiti



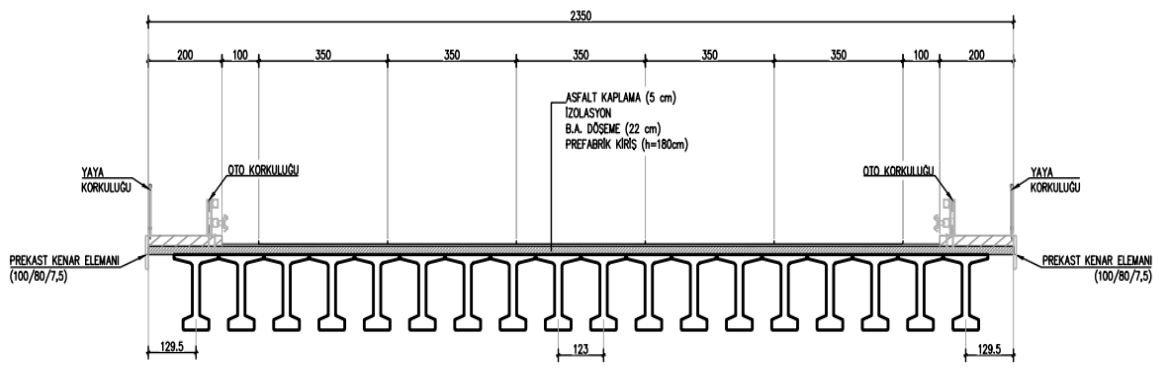
Şekil 2.39. Tip5 kırışı için C enkesiti



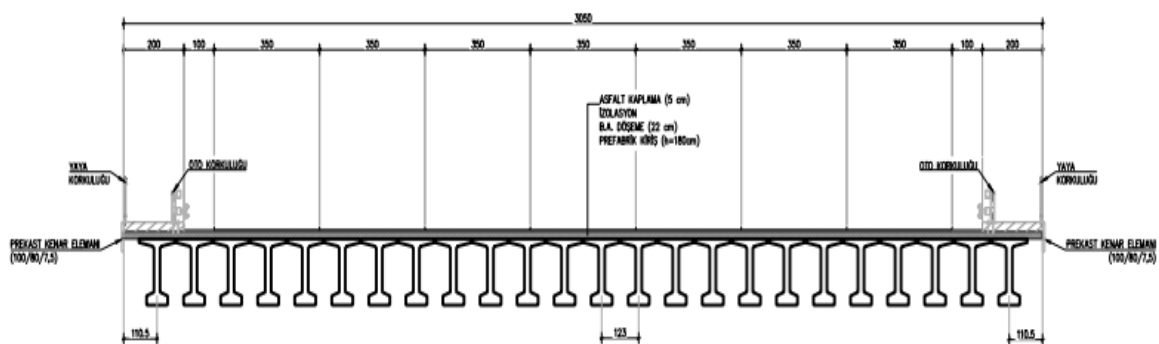
Şekil 2.40. Tip5 kırışı için D enkesiti



Şekil 2.41. Tip5 kırışı için E enkesiti



Şekil 2.42. Tip5 kırışı için F enkesiti



Şekil 2.43. Tip5 kırışı için G enkesiti

Tablo 2.32. Tip5 kırışı için köprü üstyapılarına ait değişken parametreler

Parametreler	Enkesit						
	A	B	C	D	E	F	G
W (m)	9.50	13.00	16.50	20.00	23.50	27.00	30.50
W_a (m)	5.50	9.00	12.5	16.00	19.50	23.00	26.50
L₁ (m)	35~40	35~40	35~40	35~40	35~40	35~40	35~40
L₂ (m)	36~41	36~41	36~41	36~41	36~41	36~41	36~41
c₂ (m)	1.06	0.97	0.87	1.39	1.30	1.20	1.11
N₂ (adet)	7	10	13	15	18	21	24
N_L (adet)	1	2	3	4	5	6	7

2.3.3. Öngerilmeli Kırışlere Etkiyen Yükler ve Kesit Tesirleri

Tablo 2.33. Tip1 kırışı, L_{kırış}=19m için her bir enkesitteki yük ve kesit tesirleri değerleri

Her Enkesit İçin Aynı Olan Yükler ve Kesit Tesirleri							
g₁ (kN/m)	g₂ (kN/m)	M_{g1} (kNm)	M_{g2} (kNm)	M_h (kNm)	V_{g1} (kN)	V_{g2} (kN)	V_h (kN)
8.563	12.853	346.78	520.59	535.19	77.06	115.67	134.72
Her Enkesit İçin Farklı Olan Yükler ve Kesit Tesirleri							
	Tip1-A	Tip1-B	Tip1-C	Tip1-D	Tip1-E	Tip1-F	Tip1-G
g₃ (kN/m)	4.484	3.334	2.869	2.456	2.256	2.043	1.934
M_{g3} (kNm)	181.61	135.04	116.18	99.47	91.37	82.73	78.31
V_{g3} (kN)	40.36	30.01	25.82	22.10	20.30	18.38	17.40

Tablo 2.34. Tip1 kırışı, L_{kırış}=20m için her bir enkesitteki yük ve kesit tesirleri değerleri

Her Enkesit İçin Aynı Olan Yükler ve Kesit Tesirleri							
g₁ (kN/m)	g₂ (kN/m)	M_{g1} (kNm)	M_{g2} (kNm)	M_h (kNm)	V_{g1} (kN)	V_{g2} (kN)	V_h (kN)
8.563	12.853	386.38	579.97	572.73	81.34	122.10	135.52
Her Enkesit İçin Farklı Olan Yükler ve Kesit Tesirleri							
	Tip1-A	Tip1-B	Tip1-C	Tip1-D	Tip1-E	Tip1-F	Tip1-G
g₃ (kN/m)	4.484	3.334	2.869	2.456	2.256	2.043	1.934
M_{g3} (kNm)	202.34	150.46	129.45	110.83	101.80	92.17	87.25
V_{g3} (kN)	42.60	31.68	27.25	23.33	21.43	19.41	18.37

Tablo 2.35. Tip1 kırışı, $L_{\text{kiriş}}=21\text{m}$ için her bir enkesitteki yük ve kesit tesirleri değerleri

Her Enkesit İçin Aynı Olan Yükler ve Kesit Tesirleri							
g₁ (kN/m)	g₂ (kN/m)	M_{g1} (kNm)	M_{g2} (kNm)	M_h (kNm)	V_{g1} (kN)	V_{g2} (kN)	V_h (kN)
8.563	12.853	428.13	642.63	610.07	85.63	128.53	136.20
Her Enkesit İçin Farklı Olan Yükler ve Kesit Tesirleri							
	Tip1-A	Tip1-B	Tip1-C	Tip1-D	Tip1-E	Tip1-F	Tip1-G
g₃ (kN/m)	4.484	3.334	2.869	2.456	2.256	2.043	1.934
M_{g3} (kNm)	224.20	166.72	143.44	122.80	112.80	102.13	87.25
V_{g3} (kN)	44.84	33.34	28.69	24.56	22.56	20.43	18.37

Tablo 2.36. Tip1 kırışı, $L_{\text{kiriş}}=22\text{m}$ için her bir enkesitteki yük ve kesit tesirleri değerleri

Her Enkesit İçin Aynı Olan Yükler ve Kesit Tesirleri							
g₁ (kN/m)	g₂ (kN/m)	M_{g1} (kNm)	M_{g2} (kNm)	M_h (kNm)	V_{g1} (kN)	V_{g2} (kN)	V_h (kN)
8.563	12.853	472.01	708.49	647.21	89.91	134.95	136.78
Her Enkesit İçin Farklı Olan Yükler ve Kesit Tesirleri							
	Tip1-A	Tip1-B	Tip1-C	Tip1-D	Tip1-E	Tip1-F	Tip1-G
g₃ (kN/m)	4.484	3.334	2.869	2.456	2.256	2.043	1.934
M_{g3} (kNm)	247.19	183.81	158.14	135.39	124.36	112.60	106.59
V_{g3} (kN)	47.08	35.01	30.12	25.79	23.69	21.45	20.30

Tablo 2.37. Tip1 kırışı, $L_{\text{kiriş}}=23\text{m}$ için her bir enkesitteki yük ve kesit tesirleri değerleri

Her Enkesit İçin Aynı Olan Yükler ve Kesit Tesirleri							
g₁ (kN/m)	g₂ (kN/m)	M_{g1} (kNm)	M_{g2} (kNm)	M_h (kNm)	V_{g1} (kN)	V_{g2} (kN)	V_h (kN)
8.563	12.853	518.03	777.58	684.18	94.19	141.38	137.27
Her Enkesit İçin Farklı Olan Yükler ve Kesit Tesirleri							
	Tip1-A	Tip1-B	Tip1-C	Tip1-D	Tip1-E	Tip1-F	Tip1-G
g₃ (kN/m)	4.484	3.334	2.869	2.456	2.256	2.043	1.934
M_{g3} (kNm)	271.29	201.73	173.56	148.59	136.49	123.58	116.98
V_{g3} (kN)	49.33	36.68	31.56	27.02	24.82	22.47	21.27

Tablo 2.38. Tip1 kırışı, $L_{\text{kiriş}}=24\text{m}$ için her bir enkesitteki yük ve kesit tesirleri değerleri

Her Enkesit İçin Aynı Olan Yükler ve Kesit Tesirleri							
g_1 (kN/m)	g_2 (kN/m)	M_{g1} (kNm)	M_{g2} (kNm)	M_h (kNm)	V_{g1} (kN)	V_{g2} (kN)	V_h (kN)
8.563	12.853	566.20	849.87	720.97	98.47	147.80	137.69
Her Enkesit İçin Farklı Olan Yükler ve Kesit Tesirleri							
	Tip1-A	Tip1-B	Tip1-C	Tip1-D	Tip1-E	Tip1-F	Tip1-G
g_3 (kN/m)	4.484	3.334	2.869	2.456	2.256	2.043	1.934
M_{g3} (kNm)	296.51	220.49	189.70	162.40	149.18	135.07	127.86
V_{g3} (kN)	51.57	38.35	32.99	28.24	25.94	23.49	22.24

Tablo 2.39. Tip1 kırışı, $L_{\text{kiriş}}=25\text{m}$ için her bir enkesitteki yük ve kesit tesirleri değerleri

Her Enkesit İçin Aynı Olan Yükler ve Kesit Tesirleri							
g_1 (kN/m)	g_2 (kN/m)	M_{g1} (kNm)	M_{g2} (kNm)	M_h (kNm)	V_{g1} (kN)	V_{g2} (kN)	V_h (kN)
8.563	12.853	616.50	925.38	757.59	102.75	154.23	138.74
Her Enkesit İçin Farklı Olan Yükler ve Kesit Tesirleri							
	Tip1-A	Tip1-B	Tip1-C	Tip1-D	Tip1-E	Tip1-F	Tip1-G
g_3 (kN/m)	4.484	3.334	2.869	2.456	2.256	2.043	1.934
M_{g3} (kNm)	322.85	240.08	206.55	176.83	162.43	147.07	139.22
V_{g3} (kN)	53.81	40.01	34.43	29.47	27.07	24.51	23.20

Tablo 2.40. Tip2 kırışı, $L_{\text{kiriş}}=24\text{m}$ için her bir enkesitteki yük ve kesit tesirleri değerleri

Her Enkesit İçin Aynı Olan Yükler ve Kesit Tesirleri							
g_1 (kN/m)	g_2 (kN/m)	M_{g1} (kNm)	M_{g2} (kNm)	M_h (kNm)	V_{g1} (kN)	V_{g2} (kN)	V_h (kN)
9.453	14.788	625.05	977.82	896.59	108.70	170.06	171.23
Her Enkesit İçin Farklı Olan Yükler ve Kesit Tesirleri							
	Tip1-A	Tip1-B	Tip1-C	Tip1-D	Tip1-E	Tip1-F	Tip1-G
g_3 (kN/m)	5.481	4.104	3.586	3.070	2.845	2.572	2.370
M_{g3} (kNm)	362.40	271.37	237.12	203.00	188.10	170.09	156.73
V_{g3} (kN)	63.03	47.19	41.24	35.31	32.71	29.58	27.26

Tablo 2.41. Tip2 kırışı, $L_{\text{kiriş}}=25\text{m}$ için her bir enkesitteki yük ve kesit tesirleri değerleri

Her Enkesit İçin Aynı Olan Yükler ve Kesit Tesirleri							
g_1 (kN/m)	g_2 (kN/m)	M_{g1} (kNm)	M_{g2} (kNm)	M_h (kNm)	V_{g1} (kN)	V_{g2} (kN)	V_h (kN)
9.453	14.788	680.58	1064.7	942.13	113.43	177.45	171.66
Her Enkesit İçin Farklı Olan Yükler ve Kesit Tesirleri							
	Tip1-A	Tip1-B	Tip1-C	Tip1-D	Tip1-E	Tip1-F	Tip1-G
g_3 (kN/m)	5.481	4.104	3.586	3.070	2.845	2.572	2.370
M_{g3} (kNm)	394.60	295.48	258.19	221.04	204.81	185.20	170.65
V_{g3} (kN)	65.77	49.25	43.03	36.84	34.13	30.87	28.44

Tablo 2.42. Tip2 kırışı, $L_{\text{kiriş}}=26\text{m}$ için her bir enkesitteki yük ve kesit tesirleri değerleri

Her Enkesit İçin Aynı Olan Yükler ve Kesit Tesirleri							
g_1 (kN/m)	g_2 (kN/m)	M_{g1} (kNm)	M_{g2} (kNm)	M_h (kNm)	V_{g1} (kN)	V_{g2} (kN)	V_h (kN)
9.453	14.788	738.48	1155.2	987.48	118.16	184.8	172.03
Her Enkesit İçin Farklı Olan Yükler ve Kesit Tesirleri							
	Tip1-A	Tip1-B	Tip1-C	Tip1-D	Tip1-E	Tip1-F	Tip1-G
g_3 (kN/m)	5.481	4.104	3.586	3.070	2.845	2.572	2.370
M_{g3} (kNm)	428.17	320.61	280.15	239.84	222.23	200.95	185.17
V_{g3} (kN)	68.51	51.30	44.82	38.38	35.56	32.15	29.63

Tablo 2.43. Tip2 kırışı, $L_{\text{kiriş}}=27\text{m}$ için her bir enkesitteki yük ve kesit tesirleri değerleri

Her Enkesit İçin Aynı Olan Yükler ve Kesit Tesirleri							
g_1 (kN/m)	g_2 (kN/m)	M_{g1} (kNm)	M_{g2} (kNm)	M_h (kNm)	V_{g1} (kN)	V_{g2} (kN)	V_h (kN)
9.453	14.788	798.74	1249.5	1032.63	122.88	192.24	172.34
Her Enkesit İçin Farklı Olan Yükler ve Kesit Tesirleri							
	Tip1-A	Tip1-B	Tip1-C	Tip1-D	Tip1-E	Tip1-F	Tip1-G
g_3 (kN/m)	5.481	4.104	3.586	3.070	2.845	2.572	2.370
M_{g3} (kNm)	463.11	346.78	303.01	259.42	240.37	217.35	200.28
V_{g3} (kN)	71.25	53.35	46.62	39.91	36.98	33.44	30.81

Tablo 2.44. Tip3 kırışı, $L_{\text{kiriş}}=27\text{m}$ için her bir enkesitteki yük ve kesit tesirleri değerleri

Her Enkesit İçin Aynı Olan Yükler ve Kesit Tesirleri							
g_1 (kN/m)	g_2 (kN/m)	M_{g1} (kNm)	M_{g2} (kNm)	M_h (kNm)	V_{g1} (kN)	V_{g2} (kN)	V_h (kN)
10.953	16.288	925.49	1376.2	1032.63	142.38	211.74	172.34
Her Enkesit İçin Farklı Olan Yükler ve Kesit Tesirleri							
	Tip1-A	Tip1-B	Tip1-C	Tip1-D	Tip1-E	Tip1-F	Tip1-G
g_3 (kN/m)	5.481	4.104	3.586	3.070	2.845	2.572	2.370
M_{g3} (kNm)	463.11	346.78	303.01	259.42	240.37	217.35	200.28
V_{g3} (kN)	71.25	53.35	46.62	39.91	36.98	33.44	30.81

Tablo 2.45. Tip3 kırışı, $L_{\text{kiriş}}=28\text{m}$ için her bir enkesitteki yük ve kesit tesirleri değerleri

Her Enkesit İçin Aynı Olan Yükler ve Kesit Tesirleri							
g_1 (kN/m)	g_2 (kN/m)	M_{g1} (kNm)	M_{g2} (kNm)	M_h (kNm)	V_{g1} (kN)	V_{g2} (kN)	V_h (kN)
10.953	16.288	998.05	1484.2	1077.60	147.86	219.88	172.60
Her Enkesit İçin Farklı Olan Yükler ve Kesit Tesirleri							
	Tip1-A	Tip1-B	Tip1-C	Tip1-D	Tip1-E	Tip1-F	Tip1-G
g_3 (kN/m)	5.481	4.104	3.586	3.070	2.845	2.572	2.370
M_{g3} (kNm)	499.42	373.96	326.77	279.75	259.21	234.39	215.98
V_{g3} (kN)	73.99	55.40	48.41	41.45	38.40	34.73	32.00

Tablo 2.46. Tip3 kırışı, $L_{\text{kiriş}}=29\text{m}$ için her bir enkesitteki yük ve kesit tesirleri değerleri

Her Enkesit İçin Aynı Olan Yükler ve Kesit Tesirleri							
g_1 (kN/m)	g_2 (kN/m)	M_{g1} (kNm)	M_{g2} (kNm)	M_h (kNm)	V_{g1} (kN)	V_{g2} (kN)	V_h (kN)
10.953	16.288	1073.35	1596.1	1122.40	153.34	228.03	172.82
Her Enkesit İçin Farklı Olan Yükler ve Kesit Tesirleri							
	Tip1-A	Tip1-B	Tip1-C	Tip1-D	Tip1-E	Tip1-F	Tip1-G
g_3 (kN/m)	5.481	4.104	3.586	3.070	2.845	2.572	2.370
M_{g3} (kNm)	537.09	402.18	351.42	300.86	278.77	252.08	232.28
V_{g3} (kN)	76.73	57.45	50.20	42.98	39.82	36.01	33.18

Tablo 2.47. Tip3 kırışı, $L_{\text{kırış}}=30\text{m}$ için her bir enkesitteki yük ve kesit tesirleri değerleri

Her Enkesit İçin Aynı Olan Yükler ve Kesit Tesirleri							
g_1 (kN/m)	g_2 (kN/m)	M_{g1} (kNm)	M_{g2} (kNm)	M_h (kNm)	V_{g1} (kN)	V_{g2} (kN)	V_h (kN)
10.953	16.288	1151.38	1712.2	1167.02	158.81	236.17	173.00
Her Enkesit İçin Farklı Olan Yükler ve Kesit Tesirleri							
	Tip1-A	Tip1-B	Tip1-C	Tip1-D	Tip1-E	Tip1-F	Tip1-G
g_3 (kN/m)	5.481	4.104	3.586	3.070	2.845	2.572	2.370
M_{g3} (kNm)	576.14	431.42	376.97	322.73	299.03	270.40	249.16
V_{g3} (kN)	79.47	59.51	52.00	44.52	41.25	37.30	34.37

Tablo 2.48. Tip3 kırışı, $L_{\text{kırış}}=31\text{m}$ için her bir enkesitteki yük ve kesit tesirleri değerleri

Her Enkesit İçin Aynı Olan Yükler ve Kesit Tesirleri							
g_1 (kN/m)	g_2 (kN/m)	M_{g1} (kNm)	M_{g2} (kNm)	M_h (kNm)	V_{g1} (kN)	V_{g2} (kN)	V_h (kN)
10.953	16.288	1232.16	1832.3	1211.49	164.29	244.31	173.14
Her Enkesit İçin Farklı Olan Yükler ve Kesit Tesirleri							
	Tip1-A	Tip1-B	Tip1-C	Tip1-D	Tip1-E	Tip1-F	Tip1-G
g_3 (kN/m)	5.481	4.104	3.586	3.070	2.845	2.572	2.370
M_{g3} (kNm)	616.56	461.68	403.42	345.38	320.01	289.38	266.64
V_{g3} (kN)	82.21	61.56	53.79	46.05	42.67	38.58	35.55

Tablo 2.49. Tip3 kırışı, $L_{\text{kırış}}=32\text{m}$ için her bir enkesitteki yük ve kesit tesirleri değerleri

Her Enkesit İçin Aynı Olan Yükler ve Kesit Tesirleri							
g_1 (kN/m)	g_2 (kN/m)	M_{g1} (kNm)	M_{g2} (kNm)	M_h (kNm)	V_{g1} (kN)	V_{g2} (kN)	V_h (kN)
10.953	16.288	1315.67	1956.50	1255.8	169.76	252.46	173.26
Her Enkesit İçin Farklı Olan Yükler ve Kesit Tesirleri							
	Tip1-A	Tip1-B	Tip1-C	Tip1-D	Tip1-E	Tip1-F	Tip1-G
g_3 (kN/m)	5.481	4.104	3.586	3.070	2.845	2.572	2.370
M_{g3} (kNm)	658.35	492.97	430.76	368.78	341.70	308.99	284.72
V_{g3} (kN)	84.95	63.61	55.58	47.59	44.09	39.87	36.74

Tablo 2.50. Tip3 kirişi, $L_{kiriş}=33m$ için her bir enkesitteki yük ve kesit tesirleri değerleri

Her Enkesit İçin Aynı Olan Yükler ve Kesit Tesirleri							
g_1 (kN/m)	g_2 (kN/m)	M_{g1} (kNm)	M_{g2} (kNm)	M_h (kNm)	V_{g1} (kN)	V_{g2} (kN)	V_h (kN)
10.953	16.288	1401.92	2084.80	1299.96	175.24	260.60	173.35
Her Enkesit İçin Farklı Olan Yükler ve Kesit Tesirleri							
	Tip1-A	Tip1-B	Tip1-C	Tip1-D	Tip1-E	Tip1-F	Tip1-G
g_3 (kN/m)	5.481	4.104	3.586	3.070	2.845	2.572	2.370
M_{g3} (kNm)	701.51	525.29	459.00	392.96	364.10	329.24	303.38
V_{g3} (kN)	87.69	65.66	57.38	49.12	45.51	41.16	37.92

Tablo 2.51. Tip4 kirişi, $L_{kiriş}=32m$ için her bir enkesitteki yük ve kesit tesirleri değerleri

Her Enkesit İçin Aynı Olan Yükler ve Kesit Tesirleri							
g_1 (kN/m)	g_2 (kN/m)	M_{g1} (kNm)	M_{g2} (kNm)	M_h (kNm)	V_{g1} (kN)	V_{g2} (kN)	V_h (kN)
15.178	21.943	1876.95	2635.84	1592.40	242.19	340.14	219.70
Her Enkesit İçin Farklı Olan Yükler ve Kesit Tesirleri							
	Tip1-A	Tip1-B	Tip1-C	Tip1-D	Tip1-E	Tip1-F	Tip1-G
g_3 (kN/m)	7.046	5.335	4.413	4.093	3.635	3.307	3.061
M_{g3} (kNm)	846.45	640.87	530.17	491.71	436.62	397.27	367.76
V_{g3} (kN)	109.22	82.69	68.41	63.45	56.34	51.26	47.45

Tablo 2.52. Tip4 kirişi, $L_{kiriş}=33m$ için her bir enkesitteki yük ve kesit tesirleri değerleri

Her Enkesit İçin Aynı Olan Yükler ve Kesit Tesirleri							
g_1 (kN/m)	g_2 (kN/m)	M_{g1} (kNm)	M_{g2} (kNm)	M_h (kNm)	V_{g1} (kN)	V_{g2} (kN)	V_h (kN)
15.178	21.943	2000.00	2808.64	1648.40	250.00	351.08	219.81
Her Enkesit İçin Farklı Olan Yükler ve Kesit Tesirleri							
	Tip1-A	Tip1-B	Tip1-C	Tip1-D	Tip1-E	Tip1-F	Tip1-G
g_3 (kN/m)	7.046	5.335	4.413	4.093	3.635	3.307	3.061
M_{g3} (kNm)	901.94	682.88	564.92	523.95	465.24	423.31	391.87
V_{g3} (kN)	112.74	85.36	70.62	65.49	58.16	52.91	48.98

Tablo 2.53. Tip4 kirişi, $L_{kiriş}=34m$ için her bir enkesitteki yük ve kesit tesirleri değerleri

Her Enkesit İçin Aynı Olan Yükler ve Kesit Tesirleri							
g_1 (kN/m)	g_2 (kN/m)	M_{g1} (kNm)	M_{g2} (kNm)	M_h (kNm)	V_{g1} (kN)	V_{g2} (kN)	V_h (kN)
15.178	21.943	2126.95	2986.92	1704.22	257.81	362.05	220.30
Her Enkesit İçin Farklı Olan Yükler ve Kesit Tesirleri							
	Tip1-A	Tip1-B	Tip1-C	Tip1-D	Tip1-E	Tip1-F	Tip1-G
g_3 (kN/m)	7.046	5.335	4.413	4.093	3.635	3.307	3.061
M_{g3} (kNm)	959.20	726.23	600.78	557.21	494.78	450.18	416.74
V_{g3} (kN)	116.27	88.03	72.82	67.54	59.97	54.57	50.51

Tablo 2.54. Tip4 kirişi, $L_{kiriş}=35m$ için her bir enkesitteki yük ve kesit tesirleri değerleri

Her Enkesit İçin Aynı Olan Yükler ve Kesit Tesirleri							
g_1 (kN/m)	g_2 (kN/m)	M_{g1} (kNm)	M_{g2} (kNm)	M_h (kNm)	V_{g1} (kN)	V_{g2} (kN)	V_h (kN)
15.178	21.943	2257.81	3170.69	1759.86	265.63	373.02	223.48
Her Enkesit İçin Farklı Olan Yükler ve Kesit Tesirleri							
	Tip1-A	Tip1-B	Tip1-C	Tip1-D	Tip1-E	Tip1-F	Tip1-G
g_3 (kN/m)	7.046	5.335	4.413	4.093	3.635	3.307	3.061
M_{g3} (kNm)	1018.21	770.91	637.75	591.49	525.22	477.88	442.38
V_{g3} (kN)	119.79	90.70	75.03	69.59	61.79	56.22	52.04

Tablo 2.55. Tip4 kirişi, $L_{kiriş}=36m$ için her bir enkesitteki yük ve kesit tesirleri değerleri

Her Enkesit İçin Aynı Olan Yükler ve Kesit Tesirleri							
g_1 (kN/m)	g_2 (kN/m)	M_{g1} (kNm)	M_{g2} (kNm)	M_h (kNm)	V_{g1} (kN)	V_{g2} (kN)	V_h (kN)
15.178	21.943	2392.58	3359.95	1815.34	273.44	383.99	226.65
Her Enkesit İçin Farklı Olan Yükler ve Kesit Tesirleri							
	Tip1-A	Tip1-B	Tip1-C	Tip1-D	Tip1-E	Tip1-F	Tip1-G
g_3 (kN/m)	7.046	5.335	4.413	4.093	3.635	3.307	3.061
M_{g3} (kNm)	1078.98	816.92	675.81	626.79	556.57	506.41	468.78
V_{g3} (kN)	123.31	93.36	77.24	71.63	63.61	57.88	53.58

Tablo 2.56. Tip4 kirişi, $L_{kiriş}=37m$ için her bir enkesitteki yük ve kesit tesirleri değerleri

Her Enkesit İçin Aynı Olan Yükler ve Kesit Tesirleri							
g_1 (kN/m)	g_2 (kN/m)	M_{g1} (kNm)	M_{g2} (kNm)	M_h (kNm)	V_{g1} (kN)	V_{g2} (kN)	V_h (kN)
15.178	21.943	2531.25	3554.69	1870.66	281.25	394.97	229.82
Her Enkesit İçin Farklı Olan Yükler ve Kesit Tesirleri							
	Tip1-A	Tip1-B	Tip1-C	Tip1-D	Tip1-E	Tip1-F	Tip1-G
g_3 (kN/m)	7.046	5.335	4.413	4.093	3.635	3.307	3.061
M_{g3} (kNm)	1141.52	864.27	714.98	663.12	588.83	535.76	495.96
V_{g3} (kN)	126.84	96.03	79.44	73.68	65.43	59.53	55.11

Tablo 2.57. Tip5 kirişi, $L_{kiriş}=36m$ için her bir enkesitteki yük ve kesit tesirleri değerleri

Her Enkesit İçin Aynı Olan Yükler ve Kesit Tesirleri							
g_1 (kN/m)	g_2 (kN/m)	M_{g1} (kNm)	M_{g2} (kNm)	M_h (kNm)	V_{g1} (kN)	V_{g2} (kN)	V_h (kN)
16.678	23.443	2622.27	3589.63	1815.34	299.69	410.24	226.65
Her Enkesit İçin Farklı Olan Yükler ve Kesit Tesirleri							
	Tip1-A	Tip1-B	Tip1-C	Tip1-D	Tip1-E	Tip1-F	Tip1-G
g_3 (kN/m)	7.046	5.335	4.413	4.093	3.635	3.307	3.061
M_{g3} (kNm)	1078.98	816.92	675.81	626.79	556.57	506.41	468.79
V_{g3} (kN)	123.31	93.36	77.24	71.63	63.61	57.88	53.58

Tablo 2.58. Tip5 kirişi, $L_{kiriş}=37m$ için her bir enkesitteki yük ve kesit tesirleri değerleri

Her Enkesit İçin Aynı Olan Yükler ve Kesit Tesirleri							
g_1 (kN/m)	g_2 (kN/m)	M_{g1} (kNm)	M_{g2} (kNm)	M_h (kNm)	V_{g1} (kN)	V_{g2} (kN)	V_h (kN)
16.678	23.443	2774.25	3797.69	1870.66	308.25	421.97	229.82
Her Enkesit İçin Farklı Olan Yükler ve Kesit Tesirleri							
	Tip1-A	Tip1-B	Tip1-C	Tip1-D	Tip1-E	Tip1-F	Tip1-G
g_3 (kN/m)	7.046	5.335	4.413	4.093	3.635	3.307	3.061
M_{g3} (kNm)	1141.52	864.27	714.98	663.12	588.83	535.76	495.96
V_{g3} (kN)	126.84	96.03	79.44	73.68	64.43	59.53	55.11

Tablo 2.59. Tip5 kirişi, $L_{kiriş}=38m$ için her bir enkesitteki yük ve kesit tesirleri değerleri

Her Enkesit İçin Aynı Olan Yükler ve Kesit Tesirleri							
g_1 (kN/m)	g_2 (kN/m)	M_{g1} (kNm)	M_{g2} (kNm)	M_h (kNm)	V_{g1} (kN)	V_{g2} (kN)	V_h (kN)
16.678	23.443	2930.52	4011.60	1925.83	316.81	433.69	232.99
Her Enkesit İçin Farklı Olan Yükler ve Kesit Tesirleri							
	Tip1-A	Tip1-B	Tip1-C	Tip1-D	Tip1-E	Tip1-F	Tip1-G
g_3 (kN/m)	7.046	5.335	4.413	4.093	3.635	3.307	3.061
M_{g3} (kNm)	1205.82	912.95	755.25	700.47	621.99	565.93	523.89
V_{g3} (kN)	130.36	98.70	81.65	75.73	67.24	61.18	56.64

Tablo 2.60. Tip5 kirişi, $L_{kiriş}=39m$ için her bir enkesitteki yük ve kesit tesirleri değerleri

Her Enkesit İçin Aynı Olan Yükler ve Kesit Tesirleri							
g_1 (kN/m)	g_2 (kN/m)	M_{g1} (kNm)	M_{g2} (kNm)	M_h (kNm)	V_{g1} (kN)	V_{g2} (kN)	V_h (kN)
16.678	23.443	3091.06	4231.37	1980.84	325.38	445.44	236.16
Her Enkesit İçin Farklı Olan Yükler ve Kesit Tesirleri							
	Tip1-A	Tip1-B	Tip1-C	Tip1-D	Tip1-E	Tip1-F	Tip1-G
g_3 (kN/m)	7.046	5.335	4.413	4.093	3.635	3.307	3.061
M_{g3} (kNm)	1271.9	962.97	796.63	738.85	656.07	596.94	552.59
V_{g3} (kN)	133.88	101.37	83.86	77.77	69.06	62.84	58.17

Tablo 2.61. Tip5 kirişi, $L_{kiriş}=40m$ için her bir enkesitteki yük ve kesit tesirleri değerleri

Her Enkesit İçin Aynı Olan Yükler ve Kesit Tesirleri							
g_1 (kN/m)	g_2 (kN/m)	M_{g1} (kNm)	M_{g2} (kNm)	M_h (kNm)	V_{g1} (kN)	V_{g2} (kN)	V_h (kN)
16.678	23.443	3255.89	4457.01	2046.22	333.94	457.13	239.32
Her Enkesit İçin Farklı Olan Yükler ve Kesit Tesirleri							
	Tip1-A	Tip1-B	Tip1-C	Tip1-D	Tip1-E	Tip1-F	Tip1-G
g_3 (kN/m)	7.046	5.335	4.413	4.093	3.635	3.307	3.061
M_{g3} (kNm)	1339.7	1014.32	839.11	778.25	691.05	628.77	582.06
V_{g3} (kN)	137.41	104.03	86.06	79.82	70.88	64.49	59.70

Tablo 2.62. Tip5 kırışı, $L_{kiriş}=41\text{m}$ için her bir enkesitteki yük ve kesit tesirleri değerleri

Her Enkesit İçin Aynı Olan Yükler ve Kesit Tesirleri							
g_1 (kN/m)	g_2 (kN/m)	M_{g1} (kNm)	M_{g2} (kNm)	M_h (kNm)	V_{g1} (kN)	V_{g2} (kN)	V_h (kN)
16.678	23.443	3425.00	4688.50	2130.94	342.50	468.85	242.49
Her Enkesit İçin Farklı Olan Yükler ve Kesit Tesirleri							
	Tip1-A	Tip1-B	Tip1-C	Tip1-D	Tip1-E	Tip1-F	Tip1-G
g_3 (kN/m)	7.046	5.335	4.413	4.093	3.635	3.307	3.061
M_{g3} (kNm)	1409.3	1067.00	882.69	818.67	726.94	661.43	612.29
V_{g3} (kN)	140.93	106.70	88.27	81.87	72.69	66.14	61.23

2.3.4. Öngerilmeli Kirişlerin Öngerme Özetleri

Tablo 2.63. Tip1 kirişi A-B-C-D-E-F enkesitleri öngerme özeti

Kesit	L₂ (m)	N	N₁	A_{ps} (cm ²)	d' (m)	e_i (m)	e_{ci} (m)	P (kN)	ES (%)	Δf_s (%)	P₁ (kN)	P₂ (kN)
A	19	10	4	14.00	0.06	0.30	0.44	1993.2	3.18	14.99	1929.8	1694.4
	20	12	5	16.80	0.07	0.29	0.44	2391.9	3.86	16.77	2299.5	1990.7
	21	14	5	19.60	0.07	0.29	0.43	2790.5	4.45	18.30	2666.3	2279.8
	22	15	6	21.00	0.08	0.28	0.42	2989.8	4.62	18.64	2851.7	2432.5
	23	17	7	23.80	0.08	0.28	0.42	3388.5	5.18	20.06	3212.9	2708.7
	24	18	7	25.20	0.08	0.27	0.42	3587.8	5.33	20.34	3396.6	2858.0
	25	20	9	28.00	0.09	0.27	0.41	3986.4	5.86	21.66	3752.8	3123.0
B	19	10	4	14.00	0.06	0.30	0.44	1993.2	3.18	15.10	1929.8	1692.2
	20	11	5	15.40	0.06	0.30	0.44	2192.5	3.46	15.73	2116.7	1847.7
	21	13	4	18.20	0.07	0.29	0.43	2591.2	4.05	17.29	2486.2	2143.2
	22	15	6	21.00	0.08	0.28	0.42	2989.8	4.62	18.79	2851.7	2428.0
	23	16	7	22.40	0.08	0.28	0.42	3189.1	4.79	19.11	3036.4	2579.7
	24	18	7	25.20	0.08	0.27	0.42	3587.8	5.33	20.50	3396.6	2852.3
	25	20	9	28.00	0.09	0.27	0.41	3986.4	5.86	21.84	3752.8	3115.8
C	19	10	4	14.00	0.06	0.30	0.44	1993.2	3.18	15.18	1929.8	1690.6
	20	11	5	15.40	0.06	0.30	0.44	2192.5	3.46	15.82	2116.7	1845.7
	21	13	4	18.20	0.07	0.29	0.43	2591.2	4.05	17.39	2486.2	2140.6
	22	14	5	19.60	0.07	0.29	0.43	2790.5	4.23	17.77	2672.5	2294.6
	23	16	7	22.40	0.08	0.28	0.42	3189.1	4.79	19.23	3036.4	2575.9
	24	18	7	25.20	0.08	0.27	0.42	3587.8	5.33	20.63	3396.6	2847.6
	25	20	9	28.00	0.09	0.27	0.41	3986.4	5.86	21.97	3752.8	3110.6
D	19	10	4	14.00	0.06	0.30	0.44	1993.2	3.18	15.21	1929.8	1690.0
	20	11	5	15.40	0.06	0.30	0.44	2192.5	3.46	15.86	2116.7	1844.8
	21	12	5	16.80	0.07	0.29	0.44	2391.9	3.65	16.27	2304.6	2002.7
	22	14	5	19.60	0.07	0.29	0.43	2790.5	4.23	17.80	2672.5	2293.8
	23	16	7	22.40	0.08	0.28	0.42	3189.1	4.79	19.27	3036.4	2574.6
	24	18	7	25.20	0.08	0.27	0.42	3587.8	5.33	20.67	3396.6	2846.2
	25	19	9	26.60	0.09	0.27	0.41	3787.1	5.48	20.94	3579.6	2994.1
E	19	10	4	14.00	0.06	0.30	0.44	1993.2	3.18	15.26	1929.8	1689.1
	20	11	5	15.40	0.06	0.30	0.44	2192.5	3.46	15.90	2116.7	1843.9
	21	12	5	16.80	0.07	0.29	0.44	2391.9	3.65	16.33	2304.6	2001.3
	22	14	5	19.60	0.07	0.29	0.43	2790.5	4.23	17.86	2672.5	2292.1
	23	16	7	22.40	0.08	0.28	0.42	3189.1	4.79	19.33	3036.4	2572.7
	24	17	7	23.80	0.08	0.28	0.42	3388.5	4.95	19.64	3220.7	2723.0
	25	19	9	26.60	0.09	0.27	0.41	3787.1	5.48	21.01	3579.6	2991.4

Tablo 2.64. Tip1 kırışı F-G enkesitleri öngerme özeti

Kesit	L ₂ (m)	N	N ₁	A _{ps} (cm ²)	d' (m)	e _i (m)	e _{ci} (m)	P (kN)	ES (%)	Δf _s (%)	P ₁ (kN)	P ₂ (kN)
F	19	9	4	12.60	0.06	0.30	0.44	1793.9	2.69	13.89	1745.6	1544.7
	20	11	5	15.40	0.06	0.30	0.44	2192.5	3.46	15.91	2116.7	1843.7
	21	12	5	16.80	0.07	0.29	0.44	2391.9	3.65	16.34	2304.6	2001.0
	22	14	5	19.60	0.07	0.29	0.43	2790.5	4.23	17.87	2672.5	2291.8
	23	15	7	21.00	0.08	0.28	0.42	2989.8	4.40	18.22	2858.3	2445.1
	24	17	7	23.80	0.08	0.28	0.42	3388.5	4.95	19.65	3220.7	2722.6
	25	19	9	26.60	0.09	0.27	0.41	3787.1	5.48	21.03	3579.6	2990.7
G	19	9	4	12.60	0.06	0.30	0.44	1793.9	2.69	13.92	1745.6	1544.2
	20	11	5	15.40	0.06	0.30	0.44	2192.5	3.46	15.95	2116.7	1842.8
	21	12	5	16.80	0.07	0.29	0.44	2391.9	3.65	16.37	2304.6	2000.3
	22	14	5	19.60	0.07	0.29	0.43	2790.5	4.23	17.91	2672.5	2290.7
	23	15	7	21.00	0.08	0.28	0.42	2989.8	4.40	18.26	2858.3	2443.9
	24	17	7	23.80	0.08	0.28	0.42	3388.5	4.95	19.70	3220.7	2720.9
	25	19	9	26.60	0.09	0.27	0.41	3787.1	5.48	21.08	3579.6	2988.8

Tablo 2.65. Tip2 kırışı A-B-C-D enkesitleri öngerme özeti

Kesit	L ₂ (m)	N	N ₁	A _{ps} (cm ²)	d' (m)	e _i (m)	e _{ci} (m)	P (kN)	ES (%)	Δf _s (%)	P ₁ (kN)	P ₂ (kN)
A	24	18	8	25.20	0.09	0.37	0.54	3587.8	5.61	21.04	3386.5	2832.9
	25	20	8	28.00	0.10	0.36	0.53	3986.4	6.07	22.20	3744.5	3101.4
	26	21	9	29.40	0.10	0.35	0.52	4185.8	6.18	22.36	3927.1	3249.8
	27	22	10	30.80	0.11	0.35	0.52	4385.1	6.30	22.50	4108.8	3398.4
B	24	17	8	23.80	0.09	0.37	0.54	3388.5	5.21	20.11	3211.9	2707.0
	25	19	8	26.60	0.09	0.36	0.53	3787.1	5.73	21.44	3570.1	2975.2
	26	21	9	29.40	0.10	0.35	0.52	4185.8	6.18	22.58	3927.1	3240.6
	27	22	10	30.80	0.11	0.35	0.52	4385.1	6.30	22.73	4108.8	3388.3
C	24	17	8	23.80	0.09	0.37	0.54	3388.5	5.21	20.24	3211.9	2702.6
	25	19	8	26.60	0.09	0.36	0.53	3787.1	5.73	21.58	3570.1	2969.9
	26	21	9	29.40	0.10	0.35	0.52	4185.8	6.18	22.73	3927.1	3234.3
	27	22	10	30.80	0.11	0.35	0.52	4385.1	6.30	22.90	4108.8	3380.9
D	24	16	7	22.40	0.09	0.37	0.54	3189.1	4.81	19.17	3035.7	2577.8
	25	18	8	25.20	0.09	0.37	0.54	3587.8	5.40	20.67	3394.0	2846.2
	26	20	8	28.00	0.10	0.36	0.53	3986.4	5.85	21.84	3753.2	3115.8
	27	22	10	30.80	0.11	0.35	0.52	4385.1	6.30	22.97	4108.8	3377.8

Tablo 2.66. Tip2 kırışı E-F-G enkesitleri öngerme özeti

Kesit	L ₂ (m)	N	N ₁	A _{ps} (cm ²)	d' (m)	e _i (m)	e _{ci} (m)	P (kN)	ES (%)	Δf _s (%)	P ₁ (kN)	P ₂ (kN)
E	24	16	7	22.40	0.09	0.37	0.54	3189.1	4.81	19.24	3035.7	2575.6
	25	18	8	25.20	0.09	0.37	0.54	3587.8	5.40	20.74	3394.0	2843.7
	26	20	8	28.00	0.10	0.36	0.53	3986.4	5.85	21.92	3753.2	3112.6
	27	21	9	29.40	0.10	0.35	0.52	4185.8	5.96	22.10	3936.3	3260.7
F	24	16	7	22.40	0.09	0.37	0.54	3189.1	4.81	19.26	3035.7	2574.9
	25	18	8	25.20	0.09	0.37	0.54	3587.8	5.40	20.77	3394.0	2842.6
	26	20	8	28.00	0.10	0.36	0.53	3986.4	5.85	21.95	3753.2	3111.4
	27	21	9	29.40	0.10	0.35	0.52	4185.8	5.96	22.13	3936.3	3259.4
G	24	16	7	22.40	0.09	0.37	0.54	3189.1	4.81	19.28	3035.7	2574.3
	25	18	8	25.20	0.09	0.37	0.54	3587.8	5.40	20.78	3394.0	2842.2
	26	20	8	28.00	0.10	0.36	0.53	3986.4	5.85	21.96	3753.2	3111.0
	27	21	9	29.40	0.10	0.35	0.52	4185.8	5.96	22.14	3936.3	3259.0

Tablo 2.67. Tip3 kırışı A-B-C enkesitleri öngerme özeti

Kesit	L ₂ (m)	N	N ₁	A _{ps} (cm ²)	d' (m)	e _i (m)	e _{ci} (m)	P (kN)	ES (%)	Δf _s (%)	P ₁ (kN)	P ₂ (kN)
A	27	16	7	22.40	0.09	0.52	0.72	3189.1	4.16	17.23	3056.5	2639.7
	28	18	8	25.20	0.09	0.51	0.71	3587.8	4.71	18.66	3418.8	2918.3
	29	19	8	26.60	0.09	0.51	0.71	3787.1	4.85	18.92	3603.4	3070.6
	30	21	9	29.40	0.10	0.50	0.70	4185.8	5.31	20.09	3963.5	3344.8
	31	23	10	32.20	0.11	0.49	0.69	4584.4	5.76	21.22	4320.3	3611.6
	32	24	10	33.60	0.11	0.49	0.68	4783.7	5.87	21.41	4502.9	3759.5
	33	25	10	35.00	0.12	0.48	0.68	4983.0	5.98	21.58	4685.1	3907.7
B	27	15	6	21.00	0.08	0.52	0.72	2989.8	3.78	16.34	2876.8	2501.3
	28	17	8	23.80	0.09	0.52	0.71	3388.5	4.34	17.80	3241.4	2785.3
	29	18	8	25.20	0.09	0.51	0.71	3587.8	4.52	18.16	3425.6	2936.2
	30	20	8	28.00	0.10	0.50	0.70	3986.4	4.98	19.36	3787.9	3214.7
	31	22	10	30.80	0.11	0.49	0.69	4385.1	5.43	20.52	4147.0	3485.3
	32	24	10	33.60	0.11	0.49	0.68	4783.7	5.87	21.64	4502.9	3748.5
	33	24	10	33.60	0.11	0.49	0.68	4783.7	5.67	20.91	4512.5	3783.4
C	27	15	6	21.00	0.08	0.52	0.72	2989.8	3.78	16.46	2876.8	2497.7
	28	16	7	22.40	0.09	0.52	0.72	3189.1	3.97	16.87	3062.5	2651.1
	29	18	8	25.20	0.09	0.51	0.71	3587.8	4.52	18.30	3425.6	2931.2
	30	19	8	26.60	0.09	0.51	0.71	3787.1	4.65	18.56	3611.0	3084.2
	31	21	9	29.40	0.10	0.50	0.70	4185.8	5.11	19.74	3971.9	3359.5
	32	23	10	32.20	0.11	0.49	0.69	4584.4	5.55	20.89	4330.0	3626.7
	33	24	10	33.60	0.11	0.49	0.68	4783.7	5.67	21.08	4512.5	3775.3

Tablo 2.68. Tip3 kirişi D-E-F-G enkesitleri öngerme özeti

Kesit	L ₂ (m)	N	N ₁	A _{ps} (cm ²)	d' (m)	e _i (m)	e _{ci} (m)	P (kN)	ES (%)	Δf _s (%)	P ₁ (kN)	P ₂ (kN)
D	27	15	6	21.00	0.08	0.52	0.72	2989.8	3.78	16.51	2876.8	2496.2
	28	16	7	22.40	0.09	0.52	0.72	3189.1	3.97	16.92	3062.5	2649.5
	29	18	8	25.20	0.09	0.51	0.71	3587.8	4.52	18.36	3425.6	2929.1
	30	19	8	26.60	0.09	0.51	0.71	3787.1	4.65	18.63	3611.0	3081.6
	31	21	9	29.40	0.10	0.50	0.70	4185.8	5.11	19.81	3971.9	3356.6
	32	23	10	32.20	0.11	0.49	0.69	4584.4	5.55	20.96	4330.0	3623.5
	33	24	10	33.60	0.11	0.49	0.68	4783.7	5.67	21.15	4512.5	3772.0
E	27	15	6	21.00	0.08	0.52	0.72	2989.8	3.78	16.57	2876.8	2494.4
	28	16	7	22.40	0.09	0.52	0.72	3189.1	3.97	16.99	3062.5	2647.3
	29	17	8	23.80	0.09	0.52	0.71	3388.5	4.15	17.38	3247.8	2799.6
	30	19	8	26.60	0.09	0.51	0.71	3787.1	4.65	18.70	3611.0	3078.9
	31	21	9	29.40	0.10	0.50	0.70	4185.8	5.11	19.89	3971.9	3353.2
	32	22	10	30.80	0.11	0.49	0.69	4385.1	5.23	20.12	4155.7	3502.8
	33	24	10	33.60	0.11	0.49	0.68	4783.7	5.67	21.24	4512.5	3767.7
F	27	15	6	21.00	0.08	0.52	0.72	2989.8	3.78	16.60	2876.8	2493.5
	28	16	7	22.40	0.09	0.52	0.72	3189.1	3.97	17.01	3062.5	2646.7
	29	17	8	23.80	0.09	0.52	0.71	3388.5	4.15	17.41	3247.8	2798.5
	30	19	8	26.60	0.09	0.51	0.71	3787.1	4.65	18.73	3611.0	3077.8
	31	20	8	28.00	0.10	0.50	0.70	3986.4	4.78	18.98	3795.9	3229.8
	32	22	10	30.80	0.11	0.49	0.69	4385.1	5.23	20.15	4155.7	3501.5
	33	24	10	33.60	0.11	0.49	0.68	4783.7	5.67	21.27	4512.5	3766.2
G	27	15	6	21.00	0.08	0.52	0.72	2989.8	3.78	16.61	2876.8	2493.2
	28	16	7	22.40	0.09	0.52	0.72	3189.1	3.97	17.03	3062.5	2646.0
	29	17	8	23.80	0.09	0.52	0.71	3388.5	4.15	17.42	3247.8	2798.2
	30	18	8	25.20	0.09	0.51	0.71	3587.8	4.32	17.79	3432.8	2949.5
	31	20	8	28.00	0.10	0.50	0.70	3986.4	4.78	19.00	3795.9	3229.0
	32	22	10	30.80	0.11	0.49	0.69	4385.1	5.23	20.17	4155.7	3500.6
	33	24	10	33.60	0.11	0.49	0.68	4783.7	5.67	21.29	4512.5	3765.3

Tablo 2.69. Tip4 kiriş A-B-C-D-E-F enkesitleri öngerme özeti

Kesit	L ₂ (m)	N	N ₁	A _{ps} (cm ²)	d' (m)	e _i (m)	e _{ci} (m)	P (kN)	ES (%)	Δf _s (%)	P ₁ (kN)	P ₂ (kN)
A	32	23	9	32.20	0.09	0.68	0.89	4584.4	4.08	16.97	4397.4	3806.4
	33	24	9	33.60	0.10	0.67	0.89	4783.7	4.15	17.07	4585.2	3967.1
	34	26	11	36.40	0.10	0.67	0.88	5182.4	4.48	17.87	4950.2	4256.3
	35	28	11	39.20	0.11	0.66	0.87	5581.0	4.79	18.66	5313.7	4539.6
	36	30	13	42.00	0.11	0.65	0.87	5979.6	5.10	19.41	5674.7	4819.0
	37	33	14	46.20	0.12	0.65	0.86	6577.6	5.65	20.83	6206.0	5207.5
B	32	21	9	29.40	0.09	0.69	0.90	4185.8	3.54	15.64	4037.6	3531.1
	33	23	9	32.20	0.09	0.68	0.89	4584.4	3.89	16.55	4406.1	3825.7
	34	25	10	35.00	0.10	0.67	0.89	4983.0	4.22	17.38	4772.8	4117.0
	35	27	11	37.80	0.11	0.66	0.88	5381.7	4.54	18.18	5137.4	4403.3
	36	29	12	40.60	0.11	0.66	0.87	5780.3	4.85	18.95	5500.0	4685.0
	37	31	13	43.40	0.12	0.65	0.87	6179.0	5.15	19.70	5860.7	4961.7
C	32	21	9	29.40	0.09	0.69	0.90	4185.8	3.54	15.75	4037.6	3526.5
	33	22	9	30.80	0.09	0.68	0.90	4385.1	3.63	15.92	4225.9	3687.0
	34	24	9	33.60	0.10	0.67	0.89	4783.7	3.97	16.77	4593.8	3981.5
	35	26	11	36.40	0.10	0.67	0.88	5182.4	4.29	17.58	4960.0	4271.3
	36	28	11	39.20	0.11	0.66	0.87	5581.0	4.60	18.37	5324.3	4555.8
	37	30	13	42.00	0.11	0.65	0.87	5979.6	4.91	19.13	5686.0	4835.7
D	32	21	9	29.40	0.09	0.69	0.90	4185.8	3.54	15.83	4037.6	3523.1
	33	22	9	30.80	0.09	0.68	0.90	4385.1	3.63	16.01	4225.9	3683.0
	34	24	9	33.60	0.10	0.67	0.89	4783.7	3.97	16.86	4593.8	3977.2
	35	26	11	36.40	0.10	0.67	0.88	5182.4	4.29	17.68	4960.0	4266.1
	36	28	11	39.20	0.11	0.66	0.87	5581.0	4.60	18.48	5324.3	4549.6
	37	30	13	42.00	0.11	0.65	0.87	5979.6	4.91	19.24	5686.0	4829.2
E	32	20	9	28.00	0.09	0.69	0.90	3986.4	3.25	15.09	3856.9	3384.9
	33	22	9	30.80	0.09	0.68	0.90	4385.1	3.63	16.07	4225.9	3680.4
	34	24	9	33.60	0.10	0.67	0.89	4783.7	3.97	16.92	4593.8	3974.3
	35	25	10	35.00	0.10	0.67	0.89	4983.0	4.03	17.01	4782.2	4135.4
	36	27	11	37.80	0.11	0.66	0.88	5381.7	4.35	17.82	5147.6	4422.7
	37	29	12	40.60	0.11	0.66	0.87	5780.3	4.66	18.59	5511.0	4705.8
F	32	20	9	28.00	0.09	0.69	0.90	3986.4	3.25	15.12	3856.9	3383.7
	33	22	9	30.80	0.09	0.68	0.90	4385.1	3.63	16.10	4225.9	3679.1
	34	23	9	32.20	0.09	0.68	0.89	4584.4	3.71	16.22	4414.3	3840.8
	35	25	10	35.00	0.10	0.67	0.89	4983.0	4.03	17.05	4782.2	4133.4
	36	27	11	37.80	0.11	0.66	0.88	5381.7	4.35	17.86	5147.6	4420.5
	37	29	12	40.60	0.11	0.66	0.87	5780.3	4.66	18.64	5511.0	4702.9

Tablo 2.70. Tip4 kiriş G enkesitleri öngerme özeti

Kesit	L ₂ (m)	N	N ₁	A _{ps} (cm ²)	d' (m)	e _i (m)	e _{ci} (m)	P (kN)	ES (%)	Δf _s (%)	P ₁ (kN)	P ₂ (kN)
G	32	20	9	28.00	0.09	0.69	0.90	3986.4	3.25	15.14	3856.9	3382.9
	33	22	9	30.80	0.09	0.68	0.90	4385.1	3.63	16.13	4225.9	3677.8
	34	23	9	32.20	0.09	0.68	0.89	4584.4	3.71	16.25	4414.3	3839.4
	35	25	10	35.00	0.10	0.67	0.89	4983.0	4.03	17.08	4782.2	4131.9
	36	27	11	37.80	0.11	0.66	0.88	5381.7	4.35	17.89	5147.6	4418.9
	37	28	11	39.20	0.11	0.66	0.87	5581.0	4.40	17.95	5335.4	4579.2

Tablo 2.71. Tip5 kiriş A-B-C-D enkesitleri öngerme özeti

Kesit	L ₂ (m)	N	N ₁	A _{ps} (cm ²)	d' (m)	e _i (m)	e _{ci} (m)	P (kN)	ES (%)	Δf _s (%)	P ₁ (kN)	P ₂ (kN)
A	36	24	9	33.60	0.10	0.82	1.06	4783.7	3.63	15.76	4610.1	4029.8
	37	25	10	35.00	0.10	0.82	1.06	4983.0	3.71	15.86	4798.2	4192.7
	38	27	11	37.80	0.11	0.81	1.05	5381.7	4.02	16.64	5165.3	4486.2
	39	29	12	40.60	0.11	0.81	1.04	5780.3	4.32	17.40	5530.6	4774.5
	40	31	13	43.40	0.12	0.80	1.04	6179.0	4.62	18.13	5893.5	5058.7
	41	33	14	46.20	0.12	0.80	1.03	6577.6	4.91	18.84	6254.6	5338.4
B	36	22	9	30.80	0.09	0.83	1.07	4385.1	3.14	14.55	4247.4	3747.0
	37	24	9	33.60	0.10	0.82	1.06	4783.7	3.46	15.38	4618.2	4048.0
	38	26	11	36.40	0.10	0.82	1.05	5182.4	3.78	16.18	4986.5	4343.9
	39	27	11	37.80	0.11	0.81	1.05	5381.7	3.84	16.27	5175.0	4506.1
	40	29	12	40.60	0.11	0.81	1.04	5780.3	4.14	17.02	5541.0	4796.5
	41	31	13	43.40	0.12	0.80	1.04	6179.0	4.43	17.76	5905.2	5081.6
C	36	22	9	30.80	0.09	0.83	1.07	4385.1	3.14	14.66	4247.4	3742.2
	37	24	9	33.60	0.10	0.82	1.06	4783.7	3.46	15.49	4618.2	4042.7
	38	25	10	35.00	0.10	0.82	1.06	4983.0	3.53	15.60	4807.1	4205.7
	39	27	11	37.80	0.11	0.81	1.05	5381.7	3.84	16.39	5175.0	4499.6
	40	28	11	39.20	0.11	0.81	1.05	5581.0	3.90	16.47	5363.3	4661.8
	41	30	13	42.00	0.11	0.80	1.04	5979.6	4.20	17.22	5728.5	4950.0
D	36	22	9	30.80	0.09	0.83	1.07	4385.1	3.14	14.75	4247.4	3738.3
	37	23	9	32.20	0.09	0.83	1.07	4584.4	3.21	14.88	4437.2	3902.2
	38	25	10	35.00	0.10	0.82	1.06	4983.0	3.53	15.70	4807.1	4200.7
	39	26	11	36.40	0.10	0.82	1.05	5182.4	3.60	15.80	4995.8	4363.5
	40	28	11	39.20	0.11	0.81	1.05	5581.0	3.90	16.57	5363.3	4656.2
	41	30	13	42.00	0.11	0.80	1.04	5979.6	4.20	17.32	5728.5	4944.0

Tablo 2.72. Tip5 kiriş E-F-G enkesitleri öngerme özeti

Kesit	L ₂ (m)	N	N ₁	A _{ps} (cm ²)	d' (m)	e _i (m)	e _{ci} (m)	P (kN)	ES (%)	Δf _s (%)	P ₁ (kN)	P ₂ (kN)
E	36	21	9	29.40	0.09	0.84	1.07	4185.8	2.87	14.05	4065.6	3597.7
	37	23	9	32.20	0.09	0.83	1.07	4584.4	3.21	14.93	4437.2	3899.9
	38	24	9	33.60	0.10	0.82	1.06	4783.7	3.29	15.05	4626.3	4063.8
	39	26	11	36.40	0.10	0.82	1.05	5182.4	3.60	15.86	4995.8	4360.4
	40	28	11	39.20	0.11	0.81	1.05	5581.0	3.90	16.63	5363.3	4652.9
	41	30	13	42.00	0.11	0.80	1.04	5979.6	4.20	17.39	5728.5	4939.8
F	36	21	9	29.40	0.09	0.84	1.07	4185.8	2.87	14.08	4065.6	3596.4
	37	23	9	32.20	0.09	0.83	1.07	4584.4	3.21	14.97	4437.2	3898.1
	38	24	9	33.60	0.10	0.82	1.06	4783.7	3.29	15.09	4626.3	4061.9
	39	26	11	36.40	0.10	0.82	1.05	5182.4	3.60	15.89	4995.8	4358.9
	40	27	11	37.80	0.11	0.81	1.05	5381.7	3.66	15.98	5184.7	4521.7
	41	29	12	40.60	0.11	0.81	1.04	5780.3	3.96	16.75	5551.4	4812.1
G	36	21	9	29.40	0.09	0.84	1.07	4185.8	2.87	14.11	4065.6	3595.1
	37	22	9	30.80	0.09	0.83	1.07	4385.1	2.96	14.28	4255.3	3758.9
	38	24	9	33.60	0.10	0.82	1.06	4783.7	3.29	15.12	4626.3	4060.4
	39	26	11	36.40	0.10	0.82	1.05	5182.4	3.60	15.92	4995.8	4357.3
	40	27	11	37.80	0.11	0.81	1.05	5381.7	3.66	16.01	5184.7	4520.1
	41	29	12	40.60	0.11	0.81	1.04	5780.3	3.96	16.78	5551.4	4810.4

2.3.5. Öngerilmeli Kırışlerin Taşıma Kapasitesi ve Minimum Donatı Kontrolleri

Tablo 2.73. Tip1 kırışı A-B-C-D-E-F enkesitleri taşıma kapasitesi ve minimum donatı kontrolleri

Kesit	L ₂ (m)	Kompozit Kırış Kesiti			Prefabrik Kırış Kesiti		
		M _d	ϕM _n	1.2*M _{cr}	M _d	ϕM _n	1.2*M _{cr}
A	19	2090.20	2186.67	530.73	676.69	1638.09	331.66
	20	2277.01	2555.75	534.55	753.96	1905.97	334.08
	21	2469.03	2892.85	537.92	835.42	2144.69	336.03
	22	2666.25	3055.53	539.62	921.04	2259.21	337.02
	23	2868.73	3369.46	543.01	1010.85	2482.61	339.00
	24	3076.43	3520.85	544.70	1104.83	2583.24	339.99
	25	3289.40	3812.79	548.09	1202.99	2761.80	341.97
B	19	2029.66	2186.67	516.15	676.69	1638.09	331.66
	20	2209.57	2381.19	518.24	753.96	1781.66	333.11
	21	2394.31	2726.28	521.48	835.42	2026.96	335.04
	22	2583.85	3055.53	524.76	921.04	2259.21	337.02
	23	2778.30	3214.38	526.41	1010.85	2370.60	338.02
	24	2977.60	3520.85	529.68	1104.83	2583.24	339.99
	25	3181.80	3812.79	532.97	1202.99	2761.80	341.99
C	19	2005.14	2186.67	530.06	676.69	1638.09	331.66
	20	2182.25	2381.19	532.20	753.96	1781.66	333.11
	21	2364.05	2726.28	535.55	835.42	2026.96	335.04
	22	2550.48	2892.85	537.24	921.04	2144.69	336.03
	23	2741.68	3214.38	540.64	1010.85	2370.60	338.02
	24	2937.58	3520.85	544.01	1104.83	2583.24	339.99
	25	3138.21	3812.79	547.41	1202.99	2761.80	341.99
D	19	1983.42	2186.67	515.34	676.69	1638.09	331.66
	20	2158.05	2381.19	517.43	753.96	1781.66	333.11
	21	2337.21	2555.75	519.05	835.42	1905.97	334.08
	22	2520.91	2892.85	522.30	921.04	2144.69	336.03
	23	2709.22	3214.38	525.59	1010.85	2370.60	338.02
	24	2902.09	3520.85	528.85	1104.83	2583.24	339.99
	25	3099.58	3668.61	530.51	1202.99	2676.23	341.09
E	19	1972.89	2186.67	529.39	676.69	1638.09	331.66
	20	2146.31	2381.19	531.53	753.96	1781.66	333.11
	21	2324.21	2555.75	533.20	835.42	1905.97	334.08
	22	2506.57	2892.85	536.56	921.04	2144.69	336.03
	23	2693.49	3214.38	539.95	1010.85	2370.60	338.02
	24	2884.90	3369.46	541.64	1104.83	2482.61	339.00
	25	3080.86	3668.61	545.03	1202.99	2676.23	341.01

Tablo 2.74. Tip1 kırışı F-G enkesitleri taşıma kapasitesi ve minimum donatı kontrolleri

Kesit	L_2 (m)	Kompozit Kiriş Kesiti			Prefabrik Kiriş Kesiti		
		M_d	ϕM_n	$1.2 * M_{cr}$	M_d	ϕM_n	$1.2 * M_{cr}$
F	19	1961.66	1961.66	512.46	676.69	1491.03	330.23
	20	2133.79	2381.19	516.61	753.96	1781.66	333.11
	21	2310.34	2555.75	518.23	835.42	1905.97	334.08
	22	2491.28	2892.85	521.48	921.04	2144.69	336.03
	23	2676.70	3055.53	523.13	1010.85	2259.21	337.04
	24	2866.56	3369.46	526.38	1104.83	2482.61	339.00
	25	3060.89	3668.61	529.66	1202.99	2676.23	341.01
G	19	1955.91	1987.95	526.59	676.69	1491.03	330.23
	20	2127.39	2381.19	530.85	753.96	1781.66	333.11
	21	2303.26	2555.75	532.52	835.42	1905.97	334.08
	22	2483.47	2892.85	535.87	921.04	2144.69	336.03
	23	2668.12	3055.53	537.58	1010.85	2259.21	337.04
	24	2857.18	3369.46	540.94	1104.83	2482.61	339.00
	25	3050.68	3668.61	544.33	1202.99	2676.23	341.01

Tablo 2.75. Tip2 kırışı A-B-C-D-E enkesitleri taşıma kapasitesi ve minimum donatı kontrolleri

Kesit	L_2 (m)	Kompozit Kiriş Kesiti			Prefabrik Kiriş Kesiti		
		M_d	ϕM_n	$1.2 * M_{cr}$	M_d	ϕM_n	$1.2 * M_{cr}$
A	24	3714.78	4331.48	655.39	1271.17	3375.08	443.46
	25	3969.78	4696.86	658.87	1384.11	3640.05	445.47
	26	4230.93	4874.87	660.63	1501.85	3758.02	446.51
	27	4498.23	5049.80	662.40	1624.40	3868.02	447.55
B	24	3596.45	4128.19	639.31	1271.17	3220.06	442.01
	25	3840.92	4515.75	643.12	1384.11	3513.96	444.46
	26	4091.10	4874.87	646.52	1501.85	3758.02	446.51
	27	4347.00	5049.80	648.23	1624.40	3868.02	447.55
C	24	3551.92	4128.19	660.00	1271.17	3220.06	441.99
	25	3792.44	4515.75	664.00	1384.11	3513.96	444.49
	26	4038.50	4874.87	667.54	1501.85	3758.02	446.51
	27	4290.10	5049.80	669.33	1624.40	3868.02	447.55
D	24	3507.56	3921.65	645.09	1271.17	3062.34	440.51
	25	3744.15	4331.48	649.42	1384.11	3375.08	443.46
	26	3986.10	4696.86	652.86	1501.85	3640.05	445.47
	27	4233.43	5049.80	656.34	1624.40	3868.02	447.55
E	24	3488.19	3921.65	664.06	1271.17	3062.34	440.54
	25	3723.05	4331.48	668.51	1384.11	3375.08	443.46
	26	3963.21	4696.86	672.09	1501.85	3640.05	445.47
	27	4208.67	4874.87	673.90	1624.40	3758.02	446.51

Tablo 2.76. Tip2 kırışı F-G enkesitleri taşıma kapasitesi ve minimum donatı kontrolleri

Kesit	L_2 (m)	Kompozit Kiriş Kesiti			Prefabrik Kiriş Kesiti		
		M_d	ϕM_n	$1.2 * M_{cr}$	M_d	ϕM_n	$1.2 * M_{cr}$
F	24	3464.78	3921.65	652.37	1271.17	3062.34	440.54
	25	3697.56	4331.48	656.73	1384.11	3375.08	443.46
	26	3935.54	4696.86	660.23	1501.85	3640.05	445.47
	27	4178.74	4874.87	661.99	1624.40	3758.02	446.51
G	24	3447.41	3921.65	638.74	1271.17	3062.34	440.54
	25	3678.64	4331.48	643.01	1384.11	3375.08	443.46
	26	3915.03	4696.86	646.40	1501.85	3640.05	445.47
	27	4156.55	4874.87	648.12	1624.40	3758.02	446.51

Tablo 2.77. Tip3 kırışı A-B-C-D enkesitleri taşıma kapasitesi ve minimum donatı kontrolleri

Kesit	L_2 (m)	Kompozit Kiriş Kesiti			Prefabrik Kiriş Kesiti		
		M_d	ϕM_n	$1.2 * M_{cr}$	M_d	ϕM_n	$1.2 * M_{cr}$
A	27	4663.01	5191.44	961.93	1789.18	4331.67	697.69
	28	4949.43	5758.23	968.04	1929.46	4805.61	702.18
	29	5242.53	6020.70	970.64	2075.03	5016.08	703.94
	30	5542.31	6535.69	975.86	2225.89	5410.34	707.51
	31	5848.85	7037.65	981.09	2382.04	5769.84	711.09
	32	6162.12	7283.81	983.69	2543.50	5936.85	712.86
	33	6482.12	7526.80	986.29	2710.24	6095.54	714.63
B	27	4511.78	4902.92	940.21	1789.18	4092.62	695.42
	28	4786.33	5476.53	946.22	1929.46	4567.84	699.95
	29	5067.15	5758.23	949.21	2075.03	4805.61	702.18
	30	5354.18	6279.84	954.27	2225.89	5217.62	705.71
	31	5647.50	6788.29	959.40	2382.04	5594.37	709.32
	32	5947.12	7283.81	964.48	2543.50	5936.85	712.86
	33	6253.03	7283.81	964.48	2710.24	5936.85	712.86
C	27	4454.88	4902.92	968.05	1789.18	4092.62	695.42
	28	4724.98	5191.44	971.14	1929.46	4331.67	697.69
	29	5001.16	5758.23	977.31	2075.03	4805.61	702.18
	30	5283.39	6020.70	979.94	2225.89	5016.08	703.94
	31	5571.77	6535.69	985.22	2382.04	5410.34	707.51
	32	5866.25	7037.65	990.51	2543.50	5769.84	711.09
	33	6166.85	7283.81	993.14	2710.24	5936.85	712.86
D	27	4398.21	4902.92	950.87	1789.18	4092.62	695.42
	28	4663.86	5191.44	953.91	1929.46	4331.67	697.69
	29	4935.43	5758.23	959.97	2075.03	4805.61	702.18
	30	5212.88	6020.70	962.54	2225.89	5016.08	703.94
	31	5496.31	6535.69	967.71	2382.04	5410.34	707.51
	32	5785.68	7037.65	972.88	2543.50	5769.84	711.09
	33	6081.00	7283.81	975.46	2710.24	5936.85	712.86

Tablo 2.78. Tip3 kırışı E-F-G enkesitleri taşıma kapasitesi ve minimum donatı kontrolleri

Kesit	L_2 (m)	Kompozit Kiriş Kesiti			Prefabrik Kiriş Kesiti		
		M_d	ϕM_n	$1.2 * M_{cr}$	M_d	ϕM_n	$1.2 * M_{cr}$
E	27	4373.44	4902.92	976.55	1789.18	4092.62	695.42
	28	4637.15	5191.44	979.66	1929.46	4331.67	697.69
	29	4906.72	5476.53	982.79	2075.03	4567.84	699.95
	30	5182.07	6020.70	988.54	2225.89	5016.08	703.94
	31	5463.33	6535.69	993.88	2382.04	5410.34	707.51
	32	5750.47	6788.29	996.56	2543.50	5594.37	709.32
	33	6043.48	7283.81	1001.89	2710.24	5936.85	712.86
F	27	4343.52	4902.92	960.68	1789.18	4092.62	695.42
	28	4604.89	5191.44	963.74	1929.46	4331.67	697.69
	29	4872.02	5476.53	966.82	2075.03	4567.84	699.95
	30	5144.85	6020.70	972.47	2225.89	5016.08	703.94
	31	5423.51	6279.84	975.07	2382.04	5217.62	705.71
	32	5707.95	6788.29	980.33	2543.50	5594.37	709.32
	33	5998.16	7283.81	985.55	2710.24	5936.85	712.86
G	27	4321.33	4902.92	942.31	1789.18	4092.62	695.42
	28	4580.95	5191.44	945.33	1929.46	4331.67	697.69
	29	4846.28	5476.53	948.34	2075.03	4567.84	699.95
	30	5117.24	5758.23	951.33	2225.89	4805.61	702.18
	31	5393.95	6279.84	956.41	2382.04	5217.62	705.71
	32	5676.40	6788.29	961.55	2543.50	5594.37	709.32
	33	5964.55	7283.81	966.65	2710.24	5936.85	712.86

Tablo 2.79. Tip4 kırışı A-B enkesitleri taşıma kapasitesi ve minimum donatı kontrolleri

Kesit	L_2 (m)	Kompozit Kiriş Kesiti			Prefabrik Kiriş Kesiti		
		M_d	ϕM_n	$1.2 * M_{cr}$	M_d	ϕM_n	$1.2 * M_{cr}$
A	32	8030.26	9155.09	1632.97	3426.59	7937.43	1258.82
	33	8450.23	9496.21	1636.44	3651.23	8231.09	1261.44
	34	8879.24	10170.34	1643.46	3883.00	8811.61	1266.76
	35	9317.26	10833.78	1650.42	4121.90	9387.67	1272.00
	36	9764.36	11486.64	1657.45	4367.94	9922.36	1277.34
	37	10220.53	12446.35	1667.92	4621.10	10659.24	1285.25
B	32	7763.00	8448.76	1614.47	3426.59	7327.33	1253.11
	33	8165.46	9155.09	1621.83	3651.23	7937.43	1258.82
	34	8576.38	9834.62	1628.76	3883.00	8522.48	1264.10
	35	8995.77	10503.39	1635.73	4121.90	9107.06	1269.43
	36	9423.68	11161.52	1642.63	4367.94	9659.40	1274.67
	37	9860.10	11809.14	1649.57	4621.10	10176.60	1279.96

Tablo 2.80. Tip4 kırışı C-D-E-F-G enkesitleri taşıma kapasitesi ve minimum donatı kontrolleri

Kesit	L ₂ (m)	Kompozit Kiriş Kesiti			Prefabrik Kiriş Kesiti		
		M _d	φM _n	1.2*M _{cr}	M _d	φM _n	1.2*M _{cr}
C	32	7619.09	8448.76	1602.74	3426.59	7327.33	1253.11
	33	8012.11	8811.24	1606.61	3651.23	7641.48	1256.21
	34	8413.29	9496.21	1613.46	3883.00	8231.09	1261.44
	35	8822.66	10170.34	1620.36	4121.90	8811.61	1266.76
	36	9240.24	10833.78	1627.21	4367.94	9387.67	1272.00
	37	9666.02	11486.64	1634.13	4621.10	9922.36	1277.34
D	32	7569.10	8448.76	1659.77	3426.59	7327.33	1253.11
	33	7958.85	8811.24	1663.78	3651.23	7641.48	1256.21
	34	8356.65	9496.21	1670.89	3883.00	8231.09	1261.44
	35	8762.53	10170.34	1678.07	4121.90	8811.61	1266.76
	36	9176.51	10833.78	1685.19	4367.94	9387.67	1272.00
	37	9598.61	11486.64	1692.39	4621.10	9922.36	1277.34
E	32	7497.48	8083.52	1646.56	3426.59	7010.85	1250.02
	33	7882.52	8811.24	1654.53	3651.23	7641.48	1256.21
	34	8275.49	9496.21	1661.61	3883.00	8231.09	1261.44
	35	8676.38	9834.62	1665.17	4121.90	8522.48	1264.10
	36	9085.22	10503.39	1672.28	4367.94	9107.06	1269.38
	37	9502.03	11161.52	1679.39	4621.10	9659.40	1274.67
F	32	7446.32	8083.52	1636.88	3426.59	7010.85	1250.02
	33	7828.02	8811.24	1644.80	3651.23	7641.48	1256.21
	34	8217.51	9155.09	1648.32	3883.00	7937.43	1258.82
	35	8614.83	9834.62	1655.37	4121.90	8522.48	1264.10
	36	9020.02	10503.39	1662.43	4367.94	9107.06	1269.38
	37	9433.04	11161.52	1669.50	4621.10	9659.40	1274.67
G	32	7407.96	8083.52	1626.67	3426.59	7010.85	1250.02
	33	7787.14	8811.24	1634.55	3651.23	7641.48	1256.21
	34	8174.04	9155.09	1638.04	3883.00	7937.43	1258.82
	35	8568.68	9834.62	1645.04	4121.90	8522.48	1264.10
	36	8971.11	10503.39	1652.05	4367.94	9107.06	1269.38
	37	9381.30	10833.78	1655.54	4621.10	9387.67	1272.00

Tablo 2.81. Tip5 kırışı A-B-C-D-E-F-G enkesitleri taşıma kapasitesi ve minimum donatı kontrolleri

Kesit	L ₂ (m)	Kompozit Kiriş Kesiti			Prefabrik Kiriş Kesiti		
		M _d	φM _n	1.2*M _{cr}	M _d	φM _n	1.2*M _{cr}
A	36	10062.94	11404.20	2116.90	4666.52	10139.54	1672.95
	37	10536.43	11821.61	2121.28	4937.00	10509.99	1676.41
	38	11019.47	12648.19	2130.01	5215.08	11252.25	1683.29
	39	11512.07	13463.87	2138.75	5500.78	11959.26	1690.17
	40	12037.41	14268.74	2147.49	5794.11	12629.98	1697.06
	41	12615.20	15062.92	2156.23	6095.05	13264.91	1703.94
B	36	9722.26	10561.06	2094.48	4666.52	9391.66	1666.13
	37	10176.00	11404.20	2103.11	4937.00	10139.54	1672.95
	38	10638.74	12236.27	2111.82	5215.08	10878.12	1679.87
	39	11110.49	12648.19	2116.14	5500.78	11252.25	1683.29
	40	11614.41	13463.87	2124.82	5794.11	11959.26	1690.17
	41	12170.22	14268.74	2133.50	6095.05	12629.98	1697.06
C	36	9538.82	10561.06	2080.00	4666.52	9391.66	1666.13
	37	9981.92	11404.20	2088.56	4937.00	10139.54	1672.95
	38	10433.73	11821.61	2092.88	5215.08	10509.99	1676.41
	39	10894.25	12648.19	2101.50	5500.78	11252.25	1683.29
	40	11386.64	13057.38	2105.78	5794.11	11610.32	1686.70
	41	11930.62	13867.65	2114.44	6095.05	12299.13	1693.64
D	36	9475.09	10561.06	2150.74	4666.52	9391.66	1666.13
	37	9914.51	10984.02	2155.18	4937.00	9766.77	1669.54
	38	10362.52	11821.61	2164.09	5215.08	10509.99	1676.41
	39	10819.13	12236.27	2168.57	5500.78	10878.12	1679.87
	40	11307.52	13057.38	2177.45	5794.11	11610.32	1686.70
	41	11847.39	13867.65	2186.42	6095.05	12299.13	1693.64
E	36	9383.81	10119.40	2134.37	4666.52	8998.28	1662.23
	37	9817.93	10984.02	2143.65	4937.00	9766.77	1669.54
	38	10260.49	11404.20	2148.07	5215.08	10139.54	1672.95
	39	10711.52	12236.27	2156.97	5500.78	10878.12	1679.87
	40	11194.16	13057.38	2165.80	5794.11	11610.32	1686.70
	41	11728.14	13867.65	2174.72	6095.05	12299.13	1693.64
F	36	9318.60	10119.40	2122.32	4666.52	8998.28	1662.23
	37	9748.94	10984.02	2131.55	4937.00	9766.77	1669.54
	38	10187.62	11404.20	2135.94	5215.08	10139.54	1672.95
	39	10634.65	12236.27	2144.79	5500.78	10878.12	1679.87
	40	11113.20	12648.19	2149.18	5794.11	11252.25	1683.29
	41	11642.98	13463.87	2158.00	6095.05	11959.26	1690.17
G	36	9269.69	10119.40	2109.64	4666.52	8998.28	1662.23
	37	9697.20	10561.06	2114.46	4937.00	9391.66	1666.13
	38	10132.96	11404.20	2123.18	5215.08	10139.54	1672.95
	39	10577.00	12236.27	2131.97	5500.78	10878.12	1679.87
	40	11052.48	12648.19	2136.33	5794.11	11252.25	1683.29
	41	11579.10	13463.87	2145.10	6095.05	11959.26	1690.17

2.3.6. Öngerilmeli Kırışlerin Gerilme Tahkikleri

Öngerilmeli kırışlar için yapılan gerilme tahkikler sonucu elde edilen gerilme değerlerin işaretleri, değerlerin tabloya sığabilmesi için ters işaretli olarak alınmıştır.

Tablo 2.82. Tip1 kırışı A-B-C-D-E enkesitleri gerilme değerleri

Kesit	L ₂ (m)	1. Tahkik		2. Tahkik		3. Tahkik			4. Tahkik		
		σ _{alt_p} (Mpa)	σ _{üst_p} (Mpa)	σ _{alt_p} (Mpa)	σ _{üst_p} (Mpa)	σ _{alt_p} (Mpa)	σ _{üst_p} (Mpa)	σ _{üst_k} (Mpa)	σ _{alt_p} (Mpa)	σ _{üst_p} (Mpa)	σ _{üst_k} (Mpa)
A	19	9.04	1.72	4.67	5.04	2.82	5.95	1.72	-2.64	8.63	6.78
	20	10.90	1.82	5.76	5.58	3.71	6.60	1.91	-2.09	9.46	7.31
	21	12.53	2.14	6.59	6.34	4.33	7.47	2.11	-1.80	10.52	7.86
	22	13.01	2.67	6.54	7.27	4.07	8.51	2.33	-2.42	11.74	8.42
	23	14.50	3.08	7.18	8.15	4.48	9.51	2.55	-2.34	12.93	8.97
	24	14.89	3.68	7.02	9.19	4.07	10.67	2.78	-3.09	14.28	9.55
	25	16.25	4.17	7.48	10.18	4.29	11.80	3.02	-3.19	15.59	10.12
B	19	9.04	1.72	4.65	5.05	3.28	5.72	1.28	-2.18	8.40	6.34
	20	9.77	1.99	4.88	5.71	3.35	6.46	1.42	-2.46	9.32	6.83
	21	11.43	2.31	5.76	6.46	4.08	7.30	1.57	-2.08	10.35	7.32
	22	13.01	2.67	6.51	7.28	4.67	8.20	1.73	-1.82	11.44	7.82
	23	13.44	3.24	6.41	8.26	4.40	9.27	1.90	-2.44	12.69	8.33
	24	14.89	3.68	6.98	9.20	4.79	10.30	2.07	-2.37	13.91	8.84
	25	16.25	4.17	7.43	10.19	5.06	11.40	2.25	-2.42	15.19	9.35
C	19	9.04	1.72	4.64	5.05	3.46	5.63	1.10	-2.00	8.31	6.16
	20	9.77	1.99	4.86	5.71	3.55	6.36	1.22	-2.27	9.22	6.63
	21	11.43	2.31	5.74	6.47	4.29	7.18	1.35	-1.86	10.23	7.10
	22	11.92	2.84	5.71	7.39	4.12	8.18	1.49	-2.39	11.42	7.58
	23	13.44	3.24	6.39	8.27	4.65	9.14	1.63	-2.18	12.56	8.06
	24	14.89	3.68	6.95	9.20	5.06	10.15	1.78	-2.10	13.76	8.55
	25	16.25	4.17	7.39	10.20	5.36	11.24	1.94	-2.12	15.03	9.03
D	19	9.04	1.72	4.64	5.05	3.62	5.55	0.94	-1.83	8.22	6.00
	20	9.77	1.99	4.86	5.71	3.73	6.27	1.05	-2.08	9.13	6.45
	21	10.32	2.49	4.90	6.58	3.66	7.20	1.16	-2.51	10.25	6.91
	22	11.92	2.84	5.70	7.39	4.34	8.07	1.27	-2.17	11.31	7.37
	23	13.44	3.24	6.38	8.27	4.89	9.01	1.40	-1.94	12.43	7.83
	24	14.89	3.68	6.94	9.21	5.32	10.02	1.52	-1.84	13.63	8.29
	25	15.24	4.33	6.72	10.30	4.97	11.18	1.66	-2.54	14.97	8.76
E	19	9.04	1.72	4.63	5.05	3.70	5.51	0.86	-1.76	8.19	5.92
	20	9.77	1.99	4.85	5.72	3.82	6.23	0.96	-2.00	9.09	6.37
	21	10.32	2.49	4.89	6.59	3.75	7.15	1.06	-2.42	10.20	6.82
	22	11.92	2.84	5.69	7.40	4.44	8.02	1.17	-2.07	11.26	7.27
	23	13.44	3.24	6.37	8.27	5.00	8.96	1.28	-1.84	12.38	7.71
	24	13.84	3.85	6.21	9.31	4.72	10.05	1.40	-2.46	13.66	8.17
	25	15.24	4.33	6.70	10.30	5.09	11.11	1.52	-2.41	14.90	8.63

Tablo 2.83. Tip1 kırışı F-G enkesitleri gerilme değerleri

Kesit	L ₂ (m)	1. Tahkik		2. Tahkik		3. Tahkik			4. Tahkik		
		σ _{alt_p} (Mpa)	σ _{üst_p} (Mpa)	σ _{alt_p} (Mpa)	σ _{üst_p} (Mpa)	σ _{alt_p} (Mpa)	σ _{üst_p} (Mpa)	σ _{üst_k} (Mpa)	σ _{alt_p} (Mpa)	σ _{üst_p} (Mpa)	σ _{üst_k} (Mpa)
F	19	7.71	2.08	3.58	5.34	2.73	5.76	0.78	-2.74	8.43	5.85
	20	9.77	1.99	4.85	5.72	3.91	6.18	0.87	-1.90	9.04	6.28
	21	10.32	2.49	4.89	6.59	3.86	7.10	0.96	-2.32	10.15	6.72
	22	11.92	2.84	5.69	7.40	4.56	7.96	1.06	-1.95	11.20	7.16
	23	12.37	3.41	5.60	8.38	4.36	9.00	1.16	-2.49	12.42	7.60
	24	13.84	3.85	6.21	9.31	4.86	9.98	1.27	-2.32	13.59	8.04
	25	15.24	4.33	6.70	10.30	5.24	11.04	1.38	-2.26	14.83	8.48
G	19	7.71	2.08	3.58	5.35	2.77	5.74	0.74	-2.70	8.41	5.81
	20	9.77	1.99	4.84	5.72	3.96	6.15	0.82	-1.86	9.02	6.23
	21	10.32	2.49	4.88	6.59	3.91	7.07	0.91	-2.27	10.12	6.67
	22	11.92	2.84	5.68	7.40	4.61	7.93	1.00	-1.90	11.17	7.10
	23	12.37	3.41	5.59	8.38	4.42	8.96	1.10	-2.44	12.39	7.54
	24	13.84	3.85	6.20	9.31	4.92	9.95	1.20	-2.26	13.56	7.97
	25	15.24	4.33	6.68	10.30	5.30	11.00	1.31	-2.20	14.79	8.41

Tablo 2.84. Tip2 kırışı A-B-C-D-E enkesitleri gerilme değerleri

Kesit	L ₂ (m)	1. Tahkik		2. Tahkik		3. Tahkik			4. Tahkik		
		σ _{alt_p} (Mpa)	σ _{üst_p} (Mpa)	σ _{alt_p} (Mpa)	σ _{üst_p} (Mpa)	σ _{alt_p} (Mpa)	σ _{üst_p} (Mpa)	σ _{üst_k} (Mpa)	σ _{alt_p} (Mpa)	σ _{üst_p} (Mpa)	σ _{üst_k} (Mpa)
A	24	15.60	1.90	7.91	6.61	5.00	7.88	2.29	-2.20	11.02	7.96
	25	16.88	2.37	8.34	7.49	5.19	8.87	2.49	-2.34	12.17	8.44
	26	17.20	2.93	8.12	8.42	4.71	9.92	2.70	-3.16	13.39	8.94
	27	17.49	3.51	7.86	9.40	4.18	11.02	2.92	-4.03	14.64	9.43
B	24	14.56	2.09	7.15	6.74	4.96	7.69	1.72	-2.26	10.83	7.39
	25	15.96	2.44	7.69	7.52	5.32	8.55	1.87	-2.23	11.85	7.82
	26	17.20	2.93	8.06	8.43	5.51	9.56	2.02	-2.36	13.02	8.26
	27	17.49	3.51	7.80	9.41	5.04	10.63	2.19	-3.17	14.25	8.70
C	24	14.56	2.09	7.12	6.74	5.21	7.57	1.50	-2.02	10.72	7.18
	25	15.96	2.44	7.65	7.52	5.59	8.43	1.63	-1.96	11.73	7.59
	26	17.20	2.93	8.02	8.44	5.79	9.42	1.77	-2.08	12.89	8.00
	27	17.49	3.51	7.75	9.42	5.34	10.48	1.91	-2.87	14.10	8.42
D	24	13.49	2.28	6.37	6.87	4.73	7.58	1.29	-2.52	10.72	6.97
	25	15.03	2.51	7.01	7.55	5.24	8.32	1.40	-2.33	11.62	7.35
	26	16.29	3.00	7.42	8.46	5.50	9.31	1.51	-2.39	12.77	7.75
	27	17.49	3.51	7.73	9.42	5.67	10.33	1.64	-2.54	13.96	8.15
E	24	13.49	2.28	6.35	6.87	4.83	7.53	1.19	-2.42	10.67	6.87
	25	15.03	2.51	7.00	7.55	5.35	8.27	1.30	-2.22	11.57	7.25
	26	16.29	3.00	7.40	8.47	5.62	9.25	1.40	-2.27	12.71	7.64
	27	16.58	3.58	7.13	9.45	5.22	10.29	1.52	-3.01	13.91	8.03

Tablo 2.85. Tip2 kırışı F-G enkesitleri gerilme değerleri

Kesit	L ₂ (m)	1. Tahkik		2. Tahkik		3. Tahkik			4. Tahkik		
		σ _{alt_p} (Mpa)	σ _{üst_p} (Mpa)	σ _{alt_p} (Mpa)	σ _{üst_p} (Mpa)	σ _{alt_p} (Mpa)	σ _{üst_p} (Mpa)	σ _{üst_k} (Mpa)	σ _{alt_p} (Mpa)	σ _{üst_p} (Mpa)	σ _{üst_k} (Mpa)
F	24	13.49	2.28	6.35	6.87	4.97	7.47	1.08	-2.28	10.61	6.76
	25	15.03	2.51	6.99	7.55	5.50	8.20	1.17	-2.06	11.50	7.13
	26	16.29	3.00	7.39	8.47	5.78	9.17	1.27	-2.11	12.64	7.51
	27	16.58	3.58	7.13	9.45	5.39	10.21	1.37	-2.83	13.83	7.89
G	24	13.49	2.28	6.34	6.87	5.08	7.42	0.99	-2.17	10.56	6.67
	25	15.03	2.51	6.99	7.55	5.62	8.15	1.08	-1.95	11.45	7.04
	26	16.29	3.00	7.39	8.47	5.91	9.12	1.17	-1.98	12.58	7.41
	27	16.58	3.58	7.12	9.45	5.53	10.15	1.26	-2.70	13.77	7.78

Tablo 2.86. Tip3 kırışı A-B-C-D enkesitleri gerilme değerleri

Kesit	L ₂ (m)	1. Tahkik		2. Tahkik		3. Tahkik			4. Tahkik		
		σ _{alt_p} (Mpa)	σ _{üst_p} (Mpa)	σ _{alt_p} (Mpa)	σ _{üst_p} (Mpa)	σ _{alt_p} (Mpa)	σ _{üst_p} (Mpa)	σ _{üst_k} (Mpa)	σ _{alt_p} (Mpa)	σ _{üst_p} (Mpa)	σ _{üst_k} (Mpa)
A	27	11.55	2.13	5.83	5.92	3.31	7.17	1.94	-2.32	9.96	6.28
	28	13.00	2.24	6.58	6.37	3.88	7.72	2.09	-1.95	10.63	6.60
	29	13.39	2.63	6.55	7.05	3.65	8.50	2.25	-2.41	11.53	6.94
	30	14.61	2.93	7.08	7.69	3.99	9.25	2.41	-2.28	12.40	7.28
	31	15.78	3.25	7.53	8.37	4.24	10.03	2.57	-2.23	13.30	7.63
	32	16.08	3.71	7.39	9.14	3.88	10.92	2.75	-2.81	14.31	7.98
	33	16.36	4.19	7.22	9.94	3.49	11.83	2.92	-3.42	15.34	8.34
B	27	10.57	2.34	5.07	6.07	3.17	7.01	1.46	-2.47	9.80	5.79
	28	12.04	2.44	5.86	6.52	3.83	7.53	1.57	-2.02	10.44	6.08
	29	12.50	2.76	5.89	7.13	3.71	8.22	1.68	-2.36	11.25	6.38
	30	13.75	3.05	6.44	7.77	4.12	8.94	1.80	-2.16	12.09	6.68
	31	14.94	3.37	6.92	8.45	4.45	9.69	1.93	-2.04	12.96	6.99
	32	16.08	3.71	7.33	9.15	4.70	10.48	2.06	-1.99	13.87	7.29
	33	15.53	4.31	6.62	10.01	3.82	11.43	2.19	-3.10	14.94	7.61
C	27	10.57	2.34	5.05	6.08	3.39	6.90	1.27	-2.25	9.69	5.61
	28	11.07	2.64	5.12	6.66	3.34	7.55	1.37	-2.53	10.46	5.89
	29	12.50	2.76	5.86	7.14	3.96	8.09	1.47	-2.12	11.12	6.17
	30	12.87	3.17	5.80	7.85	3.77	8.87	1.58	-2.53	12.02	6.46
	31	14.08	3.49	6.31	8.52	4.15	9.61	1.69	-2.36	12.88	6.75
	32	15.25	3.83	6.74	9.22	4.44	10.39	1.80	-2.26	13.78	7.04
	33	15.53	4.31	6.58	10.02	4.13	11.26	1.91	-2.79	14.77	7.34
D	27	10.57	2.34	5.04	6.08	3.62	6.78	1.09	-2.02	9.57	5.43
	28	11.07	2.64	5.11	6.67	3.59	7.42	1.17	-2.28	10.33	5.69
	29	12.50	2.76	5.85	7.14	4.22	7.96	1.26	-1.86	10.99	5.96
	30	12.87	3.17	5.79	7.85	4.05	8.72	1.35	-2.25	11.88	6.23
	31	14.08	3.49	6.29	8.52	4.44	9.46	1.44	-2.07	12.73	6.51
	32	15.25	3.83	6.73	9.23	4.76	10.22	1.54	-1.95	13.61	6.78
	33	15.53	4.31	6.56	10.03	4.46	11.09	1.64	-2.46	14.60	7.06

Tablo 2.87. Tip3 kırışı E-F-G enkesitleri gerilme değerleri

Kesit	L ₂ (m)	1. Tahkik		2. Tahkik		3. Tahkik			4. Tahkik		
		σ _{alt_p} (Mpa)	σ _{üst_p} (Mpa)	σ _{alt_p} (Mpa)	σ _{üst_p} (Mpa)	σ _{alt_p} (Mpa)	σ _{üst_p} (Mpa)	σ _{üst_k} (Mpa)	σ _{alt_p} (Mpa)	σ _{üst_p} (Mpa)	σ _{üst_k} (Mpa)
E	27	10.57	2.34	5.03	6.08	3.71	6.73	1.01	-1.93	9.52	5.35
	28	11.07	2.64	5.10	6.67	3.69	7.37	1.09	-2.18	10.28	5.61
	29	11.54	2.96	5.14	7.29	3.63	8.04	1.17	-2.47	11.07	5.87
	30	12.87	3.17	5.77	7.86	4.16	8.66	1.25	-2.14	11.82	6.13
	31	14.08	3.49	6.28	8.53	4.56	9.39	1.34	-1.95	12.66	6.40
	32	14.40	3.95	6.15	9.30	4.31	10.22	1.43	-2.41	13.61	6.67
	33	15.53	4.31	6.53	10.03	4.59	11.02	1.52	-2.33	14.52	6.94
F	27	10.57	2.34	5.02	6.09	3.83	6.67	0.91	-1.81	9.46	5.25
	28	11.07	2.64	5.10	6.67	3.82	7.30	0.98	-2.05	10.22	5.50
	29	11.54	2.96	5.14	7.29	3.77	7.97	1.06	-2.33	11.00	5.76
	30	12.87	3.17	5.77	7.86	4.31	8.59	1.13	-1.99	11.74	6.01
	31	13.22	3.61	5.68	8.60	4.12	9.38	1.21	-2.40	12.65	6.28
	32	14.40	3.95	6.14	9.30	4.48	10.13	1.29	-2.24	13.52	6.53
	33	15.53	4.31	6.52	10.03	4.77	10.92	1.37	-2.16	14.43	6.79
G	27	10.57	2.34	5.02	6.09	3.92	6.63	0.84	-1.72	9.42	5.18
	28	11.07	2.64	5.09	6.67	3.92	7.26	0.91	-1.95	10.17	5.43
	29	11.54	2.96	5.13	7.29	3.87	7.92	0.97	-2.22	10.95	5.68
	30	11.99	3.30	5.14	7.93	3.79	8.61	1.04	-2.53	11.76	5.93
	31	13.22	3.61	5.67	8.60	4.24	9.32	1.11	-2.29	12.59	6.18
	32	14.40	3.95	6.13	9.30	4.61	10.07	1.19	-2.12	13.46	6.43
	33	15.53	4.31	6.52	10.04	4.90	10.85	1.27	-2.02	14.36	6.69

Tablo 2.88. Tip4 kırışı A-B enkesitleri gerilme değerleri

Kesit	L ₂ (m)	1. Tahkik		2. Tahkik		3. Tahkik			4. Tahkik		
		σ _{alt_p} (Mpa)	σ _{üst_p} (Mpa)	σ _{alt_p} (Mpa)	σ _{üst_p} (Mpa)	σ _{alt_p} (Mpa)	σ _{üst_p} (Mpa)	σ _{üst_k} (Mpa)	σ _{alt_p} (Mpa)	σ _{üst_p} (Mpa)	σ _{üst_k} (Mpa)
A	32	11.28	2.70	5.73	6.13	3.04	7.53	2.00	-2.03	10.16	5.76
	33	11.49	3.05	5.66	6.68	2.79	8.17	2.13	-2.45	10.89	6.02
	34	12.35	3.30	6.03	7.17	3.00	8.76	2.26	-2.40	11.57	6.28
	35	10.29	2.57	5.35	5.63	2.90	6.90	1.81	-1.46	9.15	5.03
	36	13.97	3.85	6.65	8.23	3.26	10.01	2.54	-2.43	13.01	6.81
	37	15.35	4.05	7.30	8.74	3.74	10.62	2.68	-2.09	13.71	7.08
B	32	9.88	2.97	4.66	6.33	2.61	7.39	1.52	-2.48	10.02	5.28
	33	10.82	3.16	5.13	6.76	2.95	7.89	1.61	-2.30	10.61	5.51
	34	11.69	3.40	5.51	7.25	3.21	8.45	1.71	-2.19	11.27	5.74
	35	12.53	3.67	5.86	7.77	3.42	9.04	1.82	-2.14	11.95	5.97
	36	13.33	3.95	6.16	8.31	3.59	9.66	1.92	-2.12	12.66	6.20
	37	14.11	4.25	6.41	8.87	3.71	10.30	2.03	-2.15	13.39	6.43

Tablo 2.89. Tip4 kiriş C-D-E-F-G enkesitleri gerilme değerleri

Kesit	L ₂ (m)	1. Tahkik		2. Tahkik		3. Tahkik			4. Tahkik		
		σ _{alt_p} (Mpa)	σ _{üst_p} (Mpa)	σ _{alt_p} (Mpa)	σ _{üst_p} (Mpa)	σ _{alt_p} (Mpa)	σ _{üst_p} (Mpa)	σ _{üst_k} (Mpa)	σ _{alt_p} (Mpa)	σ _{üst_p} (Mpa)	σ _{üst_k} (Mpa)
C	32	9.88	2.97	4.64	6.33	2.94	7.21	1.25	-2.15	9.84	5.02
	33	10.14	3.27	4.60	6.84	2.80	7.77	1.34	-2.46	10.50	5.23
	34	11.02	3.51	5.01	7.33	3.10	8.32	1.42	-2.32	11.14	5.44
	35	11.87	3.78	5.37	7.84	3.35	8.90	1.50	-2.22	11.81	5.66
	36	12.69	4.06	5.68	8.38	3.55	9.50	1.59	-2.17	12.50	5.87
	37	13.47	4.35	5.95	8.95	3.71	10.13	1.68	-2.16	13.21	6.09
D	32	9.88	2.97	4.63	6.33	3.05	7.15	1.16	-2.04	9.78	4.93
	33	10.14	3.27	4.59	6.84	2.92	7.71	1.24	-2.35	10.44	5.14
	34	11.02	3.51	4.99	7.33	3.22	8.26	1.32	-2.20	11.07	5.34
	35	11.87	3.78	5.35	7.85	3.47	8.83	1.40	-2.10	11.73	5.55
	36	12.69	4.06	5.66	8.39	3.68	9.42	1.48	-2.04	12.42	5.75
	37	13.47	4.35	5.93	8.95	3.84	10.05	1.56	-2.03	13.13	5.96
E	32	9.15	3.12	4.07	6.45	2.66	7.17	1.03	-2.44	9.81	4.80
	33	10.14	3.27	4.58	6.85	3.09	7.62	1.10	-2.17	10.34	5.00
	34	11.02	3.51	4.98	7.34	3.41	8.15	1.17	-2.01	10.97	5.19
	35	11.21	3.89	4.86	7.92	3.20	8.79	1.24	-2.39	11.70	5.39
	36	12.04	4.16	5.19	8.46	3.43	9.38	1.31	-2.30	12.38	5.59
	37	12.83	4.46	5.48	9.02	3.62	9.99	1.39	-2.26	13.08	5.79
F	32	9.15	3.12	4.06	6.45	2.79	7.11	0.94	-2.32	9.74	4.71
	33	10.14	3.27	4.57	6.85	3.22	7.55	1.00	-2.04	10.27	4.90
	34	10.35	3.62	4.48	7.41	3.05	8.16	1.06	-2.38	10.97	5.09
	35	11.21	3.89	4.85	7.92	3.34	8.71	1.13	-2.24	11.62	5.28
	36	12.04	4.16	5.18	8.46	3.58	9.30	1.19	-2.15	12.30	5.47
	37	12.83	4.46	5.46	9.02	3.78	9.91	1.26	-2.10	13.00	5.67
G	32	9.15	3.12	4.05	6.45	2.88	7.06	0.87	-2.23	9.70	4.64
	33	10.14	3.27	4.57	6.85	3.32	7.50	0.93	-1.95	10.22	4.82
	34	10.35	3.62	4.47	7.41	3.15	8.10	0.98	-2.28	10.92	5.01
	35	11.21	3.89	4.85	7.93	3.44	8.66	1.04	-2.14	11.57	5.20
	36	12.04	4.16	5.17	8.46	3.69	9.24	1.11	-2.04	12.24	5.38
	37	12.19	4.57	5.01	9.09	3.45	9.91	1.17	-2.45	13.00	5.58

Tablo 2.90. Tip5 kırışı A-B-C-D-E-F-G enkesitleri gerilme değerleri

Kesit	L ₂ (m)	1. Tahkik		2. Tahkik		3. Tahkik			4. Tahkik		
		σ _{alt_p} (Mpa)	σ _{üst_p} (Mpa)	σ _{alt_p} (Mpa)	σ _{üst_p} (Mpa)	σ _{alt_p} (Mpa)	σ _{üst_p} (Mpa)	σ _{üst_k} (Mpa)	σ _{alt_p} (Mpa)	σ _{üst_p} (Mpa)	σ _{üst_k} (Mpa)
A	36	10.10	3.20	4.94	6.50	2.30	7.97	1.97	-2.15	10.43	5.28
	37	10.31	3.51	4.90	6.99	2.10	8.54	2.08	-2.47	11.08	5.49
	38	11.12	3.72	5.29	7.41	2.35	9.05	2.19	-2.34	11.66	5.70
	39	11.91	3.94	5.64	7.85	2.55	9.58	2.31	-2.25	12.26	5.91
	40	12.66	4.17	5.96	8.31	2.72	10.13	2.43	-2.23	12.90	6.15
	41	13.40	4.42	6.24	8.80	2.84	10.71	2.56	-2.29	13.59	6.42
B	36	8.83	3.44	3.95	6.68	1.93	7.79	1.49	-2.54	10.26	4.80
	37	9.68	3.63	4.39	7.08	2.27	8.25	1.58	-2.32	10.79	4.99
	38	10.50	3.83	4.79	7.50	2.56	8.74	1.66	-2.14	11.35	5.17
	39	10.68	4.17	4.71	8.02	2.37	9.32	1.75	-2.46	12.01	5.36
	40	11.46	4.40	5.06	8.48	2.59	9.85	1.84	-2.37	12.62	5.56
	41	12.21	4.65	5.36	8.95	2.78	10.40	1.94	-2.37	13.29	5.81
C	36	8.83	3.44	3.93	6.69	2.26	7.60	1.23	-2.21	10.07	4.55
	37	9.68	3.63	4.37	7.09	2.61	8.06	1.30	-1.97	10.60	4.71
	38	9.88	3.95	4.31	7.59	2.46	8.61	1.38	-2.25	11.23	4.89
	39	10.68	4.17	4.69	8.02	2.75	9.10	1.45	-2.08	11.79	5.06
	40	10.85	4.51	4.59	8.56	2.55	9.70	1.53	-2.43	12.47	5.25
	41	11.61	4.76	4.91	9.03	2.77	10.23	1.60	-2.39	13.12	5.48
D	36	8.83	3.44	3.91	6.69	2.37	7.54	1.14	-2.10	10.01	4.46
	37	9.04	3.75	3.87	7.17	2.24	8.07	1.21	-2.35	10.61	4.62
	38	9.88	3.95	4.29	7.59	2.58	8.54	1.28	-2.14	11.16	4.79
	39	10.06	4.28	4.21	8.11	2.41	9.11	1.35	-2.43	11.80	4.95
	40	10.85	4.51	4.57	8.56	2.67	9.62	1.42	-2.30	12.39	5.14
	41	11.61	4.76	4.88	9.04	2.90	10.15	1.49	-2.26	13.04	5.36
E	36	8.15	3.59	3.38	6.81	2.01	7.56	1.02	-2.47	10.03	4.33
	37	9.04	3.75	3.86	7.18	2.42	7.98	1.07	-2.18	10.52	4.49
	38	9.24	4.07	3.81	7.68	2.28	8.52	1.13	-2.44	11.14	4.64
	39	10.06	4.28	4.20	8.11	2.60	9.00	1.19	-2.24	11.69	4.80
	40	10.85	4.51	4.55	8.57	2.87	9.50	1.26	-2.10	12.28	4.98
	41	11.61	4.76	4.87	9.04	3.11	10.03	1.32	-2.05	12.92	5.19
F	36	8.15	3.59	3.38	6.81	2.13	7.50	0.92	-2.35	9.96	4.24
	37	9.04	3.75	3.86	7.18	2.54	7.91	0.98	-2.05	10.45	4.39
	38	9.24	4.07	3.80	7.68	2.41	8.45	1.03	-2.31	11.06	4.54
	39	10.06	4.28	4.19	8.11	2.74	8.92	1.09	-2.10	11.61	4.69
	40	10.23	4.63	4.10	8.65	2.57	9.50	1.14	-2.42	12.28	4.87
	41	11.00	4.87	4.43	9.12	2.82	10.02	1.20	-2.35	12.91	5.08
G	36	8.15	3.59	3.37	6.81	2.22	7.45	0.86	-2.26	9.91	4.17
	37	8.40	3.87	3.37	7.27	2.14	7.94	0.91	-2.46	10.48	4.32
	38	9.24	4.07	3.80	7.68	2.51	8.39	0.96	-2.21	11.01	4.47
	39	10.06	4.28	4.19	8.11	2.84	8.86	1.01	-2.00	11.55	4.61
	40	10.23	4.63	4.09	8.65	2.67	9.44	1.06	-2.31	12.21	4.78
	41	11.00	4.87	4.42	9.12	2.94	9.95	1.11	-2.24	12.84	4.99

2.3.7. Öngerilmeli Kirişlerde Meydana Gelen Sehim Değerleri

Tablo 2.91. Tip1 kirişi A-B-C-D-E enkesitlerinde meydana gelen sehim değerleri

Kesit	L_2 (m)	f_1 (cm)	f_2 (cm)	f_3 (cm)	$f_{4,1}$ (cm)	$f_{4,2}$ (cm)	f_4 (cm)	f_{nihai} (cm)
A	19	-2.033	-0.726	-0.371	0.845	0.876	0.876	0.505
	20	-2.748	-1.002	-0.562	1.016	1.052	1.052	0.490
	21	-3.431	-1.241	-0.701	1.210	1.250	1.250	0.549
	22	-3.779	-1.297	-0.641	1.430	1.479	1.479	0.838
	23	-4.526	-1.522	-0.731	1.678	1.711	1.711	0.980
	24	-4.877	-1.536	-0.591	1.956	1.976	1.976	1.385
	25	-5.661	-1.723	-0.603	2.265	2.265	2.265	1.662
B	19	-2.029	-0.722	-0.459	0.845	0.876	0.876	0.417
	20	-2.403	-0.829	-0.502	1.016	1.052	1.052	0.550
	21	-3.064	-1.059	-0.658	1.210	1.250	1.250	0.592
	22	-3.770	-1.289	-0.801	1.430	1.479	1.479	0.678
	23	-4.106	-1.319	-0.731	1.678	1.711	1.711	0.980
	24	-4.863	-1.523	-0.820	1.956	1.976	1.976	1.156
	25	-5.642	-1.706	-0.873	2.265	2.265	2.265	1.392
C	19	-2.026	-0.720	-0.493	0.845	0.876	0.876	0.383
	20	-2.399	-0.826	-0.545	1.016	1.052	1.052	0.507
	21	-3.059	-1.055	-0.710	1.210	1.250	1.250	0.540
	22	-3.375	-1.096	-0.676	1.430	1.479	1.479	0.803
	23	-4.098	-1.311	-0.805	1.678	1.711	1.711	0.906
	24	-4.852	-1.513	-0.909	1.956	1.976	1.976	1.067
	25	-5.628	-1.694	-0.977	2.265	2.265	2.265	1.288
D	19	-2.025	-0.719	-0.525	0.845	0.876	0.876	0.351
	20	-2.398	-0.825	-0.584	1.016	1.052	1.052	0.468
	21	-2.689	-0.873	-0.577	1.210	1.250	1.250	0.673
	22	-3.373	-1.094	-0.734	1.430	1.479	1.479	0.745
	23	-4.095	-1.309	-0.876	1.678	1.711	1.711	0.835
	24	-4.848	-1.510	-0.992	1.956	1.976	1.976	0.984
	25	-5.168	-1.481	-0.868	2.265	2.265	2.265	1.397
E	19	-2.024	-0.718	-0.540	0.845	0.876	0.876	0.336
	20	-2.396	-0.823	-0.602	1.016	1.052	1.052	0.450
	21	-2.686	-0.870	-0.599	1.210	1.250	1.250	0.651
	22	-4.090	-1.305	-0.907	1.678	1.711	1.711	0.804
	23	-4.090	-1.305	-0.907	1.678	1.711	1.711	0.804
	24	-4.405	-1.300	-0.825	1.956	1.976	1.976	1.151
	25	-5.161	-1.475	-0.912	2.265	2.265	2.265	1.353

Tablo 2.92. Tip1 kırışı F-G enkesitlerinde meydana gelen sehim değerleri

Kesit	L_2 (m)	f_1 (cm)	f_2 (cm)	f_3 (cm)	$f_{4,1}$ (cm)	$f_{4,2}$ (cm)	f_4 (cm)	f_{nihai} (cm)
F	19	-1.619	-0.512	-0.351	0.845	0.876	0.876	0.525
	20	-2.395	-0.822	-0.623	1.016	1.052	1.052	0.429
	21	-2.685	-0.869	-0.624	1.210	1.250	1.250	0.626
	22	-3.368	-1.090	-0.791	1.430	1.479	1.479	0.688
	23	-3.671	-1.104	-0.744	1.678	1.711	1.711	0.967
	24	-4.404	-1.299	-0.869	1.956	1.976	1.976	1.107
	25	-5.160	-1.474	-0.964	2.265	2.265	2.265	1.301
G	19	-1.618	-0.511	-0.359	0.845	0.876	0.876	0.517
	20	-2.394	-0.821	-0.632	1.016	1.052	1.052	0.420
	21	-2.684	-0.868	-0.636	1.210	1.250	1.250	0.614
	22	-3.366	-1.088	-0.805	1.430	1.479	1.479	0.674
	23	-3.669	-1.102	-0.761	1.678	1.711	1.711	0.950
	24	-4.400	-1.296	-0.888	1.956	1.976	1.976	1.088
	25	-5.155	-1.469	-0.986	2.265	2.265	2.265	1.279

Tablo 2.93. Tip2 kırışı A-B-C-D-E enkesitlerinde meydana gelen sehim değerleri

Kesit	L_2 (m)	f_1 (cm)	f_2 (cm)	f_3 (cm)	$f_{4,1}$ (cm)	$f_{4,2}$ (cm)	f_4 (cm)	f_{nihai} (cm)
A	24	-4.848	-1.725	-0.980	1.570	1.586	1.586	0.606
	25	-5.549	-1.917	-1.033	1.819	1.819	1.819	0.786
	26	-5.941	-2.109	-0.906	2.095	2.072	2.095	1.189
	27	-6.320	-1.945	-0.728	2.401	2.347	2.401	1.673
B	24	-4.459	-1.537	-0.979	1.570	1.586	1.586	0.607
	25	-5.214	-1.758	-1.096	1.819	1.819	1.819	0.723
	26	-5.921	-1.929	-1.149	2.095	2.072	2.095	0.946
	27	-6.290	-1.924	-1.010	2.401	2.347	2.401	1.391
C	24	-4.450	-1.529	-1.041	1.570	1.586	1.586	0.545
	25	-5.203	-1.748	-1.169	1.819	1.819	1.819	0.650
	26	-5.907	-1.916	-1.235	2.095	2.072	2.095	0.860
	27	-6.275	-1.909	-1.113	2.401	2.347	2.401	1.288
D	24	-4.061	-1.342	-0.925	1.570	1.586	1.586	0.661
	25	-4.873	-1.594	-1.099	1.819	1.819	1.819	0.720
	26	-5.562	-1.758	-1.175	2.095	2.072	2.095	0.920
	27	-6.268	-1.902	-1.221	2.401	2.347	2.401	1.180
E	24	-4.056	-1.338	-0.951	1.570	1.586	1.586	0.635
	25	-4.868	-1.589	-1.130	1.819	1.819	1.819	0.689
	26	-5.555	-1.752	-1.212	2.095	2.072	2.095	0.883
	27	-5.900	-1.734	-1.102	2.401	2.347	2.401	1.299

Tablo 2.94. Tip2 kırışı F-G enkesitlerinde meydana gelen sehim değerleri

Kesit	L_2 (m)	f_1 (cm)	f_2 (cm)	f_3 (cm)	$f_{4,1}$ (cm)	$f_{4,2}$ (cm)	f_4 (cm)	f_{nihai} (cm)
F	24	-4.055	-1.337	-0.987	1.570	1.586	1.586	0.599
	25	-4.866	-1.587	-1.172	1.819	1.819	1.819	0.647
	26	-5.552	-1.750	-1.261	2.095	2.072	2.095	0.834
	27	-5.896	-1.731	-1.160	2.401	2.347	2.401	1.241
G	24	-4.054	-1.336	-1.014	1.570	1.586	1.586	0.572
	25	-4.864	-1.586	-1.204	1.819	1.819	1.819	0.615
	26	-5.551	-1.748	-1.298	2.095	2.072	2.095	0.797
	27	-5.895	-1.730	-1.204	2.401	2.347	2.401	1.197

Tablo 2.95. Tip3 kırışı A-B-C-D enkesitlerinde meydana gelen sehim değerleri

Kesit	L_2 (m)	f_1 (cm)	f_2 (cm)	f_3 (cm)	$f_{4,1}$ (cm)	$f_{4,2}$ (cm)	f_4 (cm)	f_{nihai} (cm)
A	27	-3.354	-1.108	-0.468	1.261	1.233	1.261	0.793
	28	-4.072	-1.357	-0.613	1.439	1.389	1.439	0.826
	29	-4.390	-1.397	-0.536	1.633	1.556	1.633	1.097
	30	-5.059	-1.587	-0.597	1.846	1.736	1.846	1.249
	31	-5.751	-1.767	-0.633	2.079	1.929	2.079	1.446
	32	-6.085	-1.764	-0.472	2.333	2.135	2.333	1.861
	33	-6.405	-1.736	-0.269	2.609	2.354	2.609	2.340
	27	-2.983	-0.922	-0.443	1.261	1.233	1.261	0.818
B	28	-3.686	-1.166	-0.609	1.439	1.389	1.439	0.830
	29	-4.032	-1.220	-0.576	1.633	1.556	1.633	1.057
	30	-4.686	-1.405	-0.664	1.846	1.736	1.846	1.182
	31	-5.364	-1.580	-0.731	2.079	1.929	2.079	1.348
	32	-6.060	-1.742	-0.774	2.333	2.135	2.333	1.559
	33	-5.972	-1.529	-0.430	2.609	2.354	2.609	2.179
C	27	-2.977	-0.917	-0.498	1.261	1.233	1.261	0.763
	28	-3.295	-0.972	-0.486	1.439	1.389	1.439	0.953
	29	-4.023	-1.212	-0.649	1.633	1.556	1.633	0.984
	30	-4.313	-1.224	-0.576	1.846	1.736	1.846	1.270
	31	-4.976	-1.395	-0.653	2.079	1.929	2.079	1.426
	32	-5.659	-1.552	-0.707	2.333	2.135	2.333	1.626
	33	-5.953	-1.512	-0.551	2.609	2.354	2.609	2.058
D	27	-2.974	-0.914	-0.556	1.261	1.233	1.261	0.705
	28	-3.292	-0.969	-0.553	1.439	1.389	1.439	0.886
	29	-4.018	-1.208	-0.726	1.633	1.556	1.633	0.907
	30	-4.307	-1.219	-0.665	1.846	1.736	1.846	1.181
	31	-4.970	-1.389	-0.754	2.079	1.929	2.079	1.325
	32	-5.651	-1.546	-0.822	2.333	2.135	2.333	1.511
	33	-5.944	-1.504	-0.682	2.609	2.354	2.609	1.927

Tablo 2.96. Tip3 kırışı E-F-G enkesitlerinde meydana gelen sehim değerleri

Kesit	L_2 (m)	f_1 (cm)	f_2 (cm)	f_3 (cm)	$f_{4,1}$ (cm)	$f_{4,2}$ (cm)	f_4 (cm)	f_{nihai} (cm)
E	27	-2.971	-0.912	-0.579	1.261	1.233	1.261	0.682
	28	-3.288	-0.966	-0.580	1.439	1.389	1.439	0.859
	29	-3.609	-1.009	-0.562	1.633	1.556	1.633	1.071
	30	-4.302	-1.214	-0.700	1.846	1.736	1.846	1.146
	31	-4.963	-1.383	-0.794	2.079	1.929	2.079	1.285
	32	-5.251	-1.358	-0.687	2.333	2.135	2.333	1.646
	33	-5.934	-1.495	-0.733	2.609	2.354	2.609	1.876
F	27	-2.970	-0.910	-0.610	1.261	1.233	1.261	0.651
	28	-3.287	-0.965	-0.616	1.439	1.389	1.439	0.823
	29	-3.608	-1.007	-0.604	1.633	1.556	1.633	1.029
	30	-4.299	-1.212	-0.747	1.846	1.736	1.846	1.099
	31	-4.579	-1.202	-0.670	2.079	1.929	2.079	1.409
	32	-5.247	-1.355	-0.748	2.333	2.135	2.333	1.585
	33	-5.930	-1.492	-0.803	2.609	2.354	2.609	1.806
G	27	-2.969	-0.910	-0.633	1.261	1.233	1.261	0.628
	28	-3.286	-0.964	-0.642	1.439	1.389	1.439	0.797
	29	-3.607	-1.006	-0.634	1.633	1.556	1.633	0.999
	30	-3.929	-1.035	-0.607	1.846	1.736	1.846	1.239
	31	-4.578	-1.201	-0.710	2.079	1.929	2.079	1.369
	32	-5.246	-1.353	-0.795	2.333	2.135	2.333	1.538
	33	-5.928	-1.490	-0.855	2.609	2.354	2.609	1.754

Tablo 2.97. Tip4 kırışı A-B enkesitlerinde meydana gelen sehim değerleri

Kesit	L_2 (m)	f_1 (cm)	f_2 (cm)	f_3 (cm)	$f_{4,1}$ (cm)	$f_{4,2}$ (cm)	f_4 (cm)	f_{nihai} (cm)
A	32	-3.544	-1.064	-0.273	1.409	1.289	1.409	1.136
	33	-3.749	-1.061	-0.163	1.575	1.421	1.575	1.412
	34	-4.240	-1.185	-0.169	1.756	1.562	1.756	1.587
	35	-4.745	-1.301	-0.156	1.951	1.712	1.951	1.795
	36	-5.261	-1.408	-0.122	2.162	1.870	2.162	2.040
	37	-6.105	-1.648	-0.209	2.390	2.038	2.390	2.181
B	32	-2.959	-0.772	-0.173	1.409	1.289	1.409	1.236
	33	-3.450	-0.910	-0.230	1.575	1.421	1.575	1.345
	34	-3.928	-1.028	-0.259	1.756	1.562	1.756	1.497
	35	-4.419	-1.138	-0.271	1.951	1.712	1.951	1.680
	36	-4.923	-1.239	-0.265	2.162	1.870	2.162	1.897
	37	-5.435	-1.327	-0.238	2.390	2.038	2.390	2.152

Tablo 2.98. Tip4 kırışı C-D-E-F-G enkesitlerinde meydana gelen sehim değerleri

Kesit	L_2 (m)	f_1 (cm)	f_2 (cm)	f_3 (cm)	$f_{4,1}$ (cm)	$f_{4,2}$ (cm)	f_4 (cm)	f_{nihai} (cm)
C	32	-2.953	-0.767	-0.271	1.409	1.289	1.409	1.138
	33	-3.154	-0.763	-0.200	1.575	1.421	1.575	1.375
	34	-3.620	-0.876	-0.239	1.756	1.562	1.756	1.517
	35	-4.100	-0.982	-0.264	1.951	1.712	1.951	1.687
	36	-4.591	-1.078	-0.272	2.162	1.870	2.162	1.890
	37	-5.092	-1.162	-0.260	2.390	2.038	2.390	2.130
D	32	-2.947	-0.762	-0.302	1.409	1.289	1.409	1.107
	33	-3.148	-0.758	-0.236	1.575	1.421	1.575	1.339
	34	-3.613	-0.870	-0.279	1.756	1.562	1.756	1.477
	35	-4.091	-0.974	-0.309	1.951	1.712	1.951	1.642
	36	-4.581	-1.069	-0.322	2.162	1.870	2.162	1.840
	37	-5.080	-1.151	-0.315	2.390	2.038	2.390	2.075
E	32	-2.637	-0.607	-0.199	1.409	1.289	1.409	1.210
	33	-3.145	-0.755	-0.291	1.575	1.421	1.575	1.284
	34	-3.609	-0.866	-0.342	1.756	1.562	1.756	1.414
	35	-3.773	-0.819	-0.229	1.951	1.712	1.951	1.722
	36	-4.253	-0.910	-0.247	2.162	1.870	2.162	1.915
	37	-4.741	-0.989	-0.247	2.390	2.038	2.390	2.143
F	32	-2.635	-0.605	-0.234	1.409	1.289	1.409	1.175
	33	-3.142	-0.752	-0.331	1.575	1.421	1.575	1.244
	34	-3.303	-0.716	-0.239	1.756	1.562	1.756	1.517
	35	-3.770	-0.816	-0.279	1.951	1.712	1.951	1.672
	36	-4.249	-0.907	-0.303	2.162	1.870	2.162	1.859
	37	-4.736	-0.985	-0.310	2.390	2.038	2.390	2.080
G	32	-2.633	-0.604	-0.260	1.409	1.289	1.409	1.149
	33	-3.141	-0.751	-0.361	1.575	1.421	1.575	1.214
	34	-3.301	-0.715	-0.273	1.756	1.562	1.756	1.483
	35	-3.768	-0.814	-0.317	1.951	1.712	1.951	1.634
	36	-4.246	-0.904	-0.346	2.162	1.870	2.162	1.816
	37	-4.395	-0.823	-0.197	2.390	2.038	2.390	2.193

Tablo 2.99. Tip5 kırışı A-B-C-D-E-F-G enkesitlerinde meydana gelen sehim değerleri

Kesit	L_2 (m)	f_1 (cm)	f_2 (cm)	f_3 (cm)	$f_{4,1}$ (cm)	$f_{4,2}$ (cm)	f_4 (cm)	f_{nihai} (cm)
A	36	-3.160	-0.824	0.018	1.417	1.225	1.417	1.435
	37	-3.324	-0.808	0.135	1.566	1.335	1.566	1.701
	38	-3.779	-0.924	0.128	1.726	1.451	1.726	1.854
	39	-4.246	-1.034	0.137	1.897	1.573	1.897	2.034
	40	-4.724	-1.137	0.162	2.082	1.701	2.082	2.244
	41	-5.210	-1.230	0.207	2.278	1.837	2.278	2.486
B	36	-2.590	-0.538	0.100	1.417	1.225	1.417	1.517
	37	-3.019	-0.653	0.061	1.566	1.335	1.566	1.627
	38	-3.463	-0.763	0.033	1.726	1.451	1.726	1.759
	39	-3.607	-0.718	0.169	1.897	1.573	1.897	2.066
	40	-4.064	-0.813	0.171	2.082	1.701	2.082	2.253
	41	-4.530	-0.898	0.190	2.278	1.837	2.278	2.468
C	36	-2.584	-0.532	0.004	1.417	1.225	1.417	1.421
	37	-3.012	-0.646	-0.055	1.566	1.335	1.566	1.511
	38	-3.151	-0.608	0.051	1.726	1.451	1.726	1.777
	39	-3.596	-0.709	0.025	1.897	1.573	1.897	1.922
	40	-3.727	-0.646	0.168	2.082	1.701	2.082	2.250
	41	-4.183	-0.727	0.173	2.278	1.837	2.278	2.451
D	36	-2.579	-0.527	-0.038	1.417	1.225	1.417	1.379
	37	-2.712	-0.496	0.052	1.566	1.335	1.566	1.618
	38	-3.144	-0.601	0.010	1.726	1.451	1.726	1.736
	39	-3.272	-0.548	0.132	1.897	1.573	1.897	2.029
	40	-3.718	-0.637	0.117	2.082	1.701	2.082	2.199
	41	-4.172	-0.718	0.117	2.278	1.837	2.278	2.395
E	36	-2.267	-0.371	0.064	1.417	1.225	1.417	1.481
	37	-2.709	-0.493	-0.006	1.566	1.335	1.566	1.560
	38	-2.833	-0.447	0.096	1.726	1.451	1.726	1.822
	39	-3.268	-0.544	0.060	1.897	1.573	1.897	1.957
	40	-3.713	-0.633	0.038	2.082	1.701	2.082	2.120
	41	-4.166	-0.712	0.029	2.278	1.837	2.278	2.307
F	36	-2.265	-0.369	0.027	1.417	1.225	1.417	1.444
	37	-2.706	-0.491	-0.048	1.566	1.335	1.566	1.518
	38	-2.830	-0.445	0.049	1.726	1.451	1.726	1.775
	39	-3.264	-0.541	0.009	1.897	1.573	1.897	1.906
	40	-3.380	-0.470	0.140	2.082	1.701	2.082	2.222
	41	-3.824	-0.547	0.128	2.278	1.837	2.278	2.406
G	36	-2.263	-0.368	-0.002	1.417	1.225	1.417	1.415
	37	-2.407	-0.342	0.068	1.566	1.335	1.566	1.634
	38	-2.829	-0.443	0.014	1.726	1.451	1.726	1.740
	39	-3.262	-0.539	-0.030	1.897	1.573	1.897	1.867
	40	-3.377	-0.468	0.096	2.082	1.701	2.082	2.178
	41	-3.821	-0.544	0.080	2.278	1.837	2.278	2.358

2.3.8. Öngerme Kablosu, Beton Ve Betonarme Donatısı Metrajları

Tablo 2.100. Tip1 kırışı A-B-C-D-E enkesitleri metraj tablosu

Kesit	L ₂ (m)	N	N ₂	Ü.D.	A.D.	K.U. (m)	K.A (ton)	B.D.U. (M)	B.D.A (ton)	B.M (m ³)	B.A. (ton)	Toplam Ağırlık (ton)
A	19	10	11	6Ø14	6Ø16	2090	2.65	2626.8	3.66	71.58	178.96	185.26
	20	12	11	6Ø14	6Ø12	2640	3.34	2722.5	2.85	75.35	188.38	194.57
	21	14	11	6Ø14	6Ø12	3234	4.09	2854.5	2.99	79.12	197.79	204.88
	22	15	11	6Ø14	6Ø14	3630	4.60	2970.0	3.59	82.89	207.21	215.40
	23	17	11	6Ø14	6Ø12	4301	5.45	3118.5	3.27	86.65	216.63	225.34
	24	18	11	6Ø16	6Ø16	4752	6.02	3418.8	5.39	90.42	226.05	237.46
	25	-	11	-	-	-	-	-	-	-	-	-
B	19	10	16	6Ø14	6Ø14	3040	3.85	3811.2	4.60	104.12	260.30	268.75
	20	11	16	6Ø14	6Ø14	3520	4.46	3936.0	4.75	109.60	274.00	283.21
	21	13	16	6Ø14	6Ø12	4368	5.53	4152.0	4.35	115.08	287.70	297.58
	22	15	16	6Ø14	6Ø12	5280	6.69	4344.0	4.55	120.56	301.40	312.63
	23	16	16	6Ø14	6Ø14	5888	7.46	4512.0	5.45	126.04	315.10	328.01
	24	18	16	6Ø14	6Ø12	6912	8.75	4915.2	5.15	131.52	328.80	342.71
	25	20	16	6Ø14	6Ø12	8000	10.13	5107.2	5.36	137.00	342.50	357.98
C	19	10	20	6Ø14	6Ø12	3800	4.81	4752.0	4.98	130.15	325.38	335.17
	20	11	20	6Ø14	6Ø14	4400	5.57	4920.0	5.94	137.00	342.50	354.01
	21	12	20	6Ø14	6Ø12	5040	6.38	5190.0	5.43	143.85	359.63	371.44
	22	14	20	6Ø14	6Ø14	6160	7.80	5400.0	6.52	150.70	376.75	391.07
	23	16	20	6Ø14	6Ø12	7360	9.32	5670.0	5.94	157.55	393.88	409.13
	24	18	20	6Ø14	6Ø12	8640	10.94	6144.0	6.44	164.40	411.00	428.38
	25	20	20	6Ø14	6Ø12	10000	12.66	6384.0	6.69	171.25	428.13	447.48
D	19	10	25	6Ø14	6Ø12	4750	6.01	5940.0	6.23	162.69	406.72	418.96
	20	11	25	6Ø14	6Ø12	5500	6.96	6187.5	6.48	171.25	428.13	441.57
	21	12	25	6Ø14	6Ø14	6300	7.98	6450.0	7.79	179.81	449.53	465.30
	22	14	25	6Ø14	6Ø12	7700	9.75	6787.5	7.11	188.38	470.94	487.79
	23	16	25	6Ø14	6Ø12	9200	11.65	7087.5	7.42	196.94	492.34	511.41
	24	18	25	6Ø14	6Ø12	10800	13.67	7680.0	8.05	205.50	513.75	535.48
	25	19	25	6Ø14	6Ø12	11875	15.04	7980.0	8.37	214.06	535.16	558.56
E	19	10	29	6Ø14	6Ø12	5510	6.98	6890.4	7.22	188.72	471.79	485.99
	20	11	29	6Ø14	6Ø12	6380	8.08	7177.5	7.52	198.65	496.63	512.22
	21	12	29	6Ø14	6Ø14	7308	9.25	7482.0	9.04	208.58	521.46	539.75
	22	14	29	6Ø14	6Ø12	8932	11.31	7873.5	8.24	218.52	546.29	565.84
	23	16	29	6Ø14	6Ø12	10672	13.51	8221.5	8.61	228.45	571.12	593.24
	24	17	29	6Ø14	6Ø12	11832	14.98	8908.8	9.34	238.38	595.95	620.27
	25	19	29	6Ø14	6Ø12	13775	17.44	9256.8	9.71	248.31	620.78	647.93

Tablo 2.101. Tip1 kırışı F-G enkesitleri metraj tablosu

Kesit	L ₂ (m)	N	N ₂	Ü.D.	A.D.	K.U. (m)	K.A (ton)	B.D.U. (M)	B.D.A (ton)	B.M (m ³)	B.A. (ton)	Toplam Ağırlık (ton)
F	19	9	34	6φ12	6φ16	5814	7.36	8098.8	10.00	221.26	553.14	570.50
	20	11	34	6φ14	6φ12	7480	9.47	8415.0	8.81	232.90	582.25	600.53
	21	12	34	6φ14	6φ14	8568	10.85	8772.0	10.60	244.55	611.36	632.81
	22	14	34	6φ14	6φ12	10472	13.26	9231.0	9.67	256.19	640.48	663.40
	23	15	34	6φ14	6φ14	11730	14.85	9588.0	11.58	267.84	669.59	696.02
	24	17	34	6φ14	6φ12	13872	17.56	10444.8	10.95	279.48	698.70	727.22
	25	19	34	6φ14	6φ12	16150	20.45	10852.8	11.38	291.13	727.81	759.64
G	19	9	38	6φ12	6φ16	6498	8.23	9051.6	11.18	247.29	618.21	637.62
	20	11	38	6φ14	6φ12	8360	10.59	9405.0	9.85	260.30	650.75	671.18
	21	12	38	6φ14	6φ14	9576	12.12	9804.0	11.84	273.32	683.29	707.26
	22	14	38	6φ14	6φ12	11704	14.82	10317.0	10.80	286.33	715.83	741.45
	23	15	38	6φ14	6φ14	13110	16.60	10716.0	12.94	299.35	748.36	777.91
	24	17	38	6φ14	6φ12	15504	19.63	11673.6	12.24	312.36	780.90	812.77
	25	19	38	6φ14	6φ12	18050	22.85	12129.6	12.72	325.38	813.44	849.01

Tablo 2.102. Tip2 kırışı A-B-C-D enkesitleri metraj tablosu

Kesit	L ₂ (m)	N	N ₂	Ü.D.	A.D.	K.U. (m)	K.A (ton)	B.D.U. (M)	B.D.A (ton)	B.M (m ³)	B.A. (ton)	Toplam Ağırlık (ton)
A	24	18	9	8φ14	6φ12	3888	4.92	3227.4	3.46	81.67	204.18	212.56
	25	20	9	8φ14	6φ14	4500	5.70	3364.2	4.06	85.07	212.68	222.44
	26	21	9	8φ14	6φ16	4914	6.22	3501.0	4.79	88.48	221.19	232.20
	27	—	9	—	—	—	—	—	—	—	—	—
B	24	17	13	8φ14	6φ14	5304	6.72	4677.4	5.65	117.97	294.92	307.28
	25	19	13	8φ14	6φ12	6175	7.82	4843.8	5.19	122.88	307.21	320.22
	26	21	13	8φ14	6φ12	7098	8.99	5025.8	5.38	127.80	319.50	333.87
	27	22	13	8φ14	6φ16	7722	9.78	5239.0	7.16	132.71	331.78	348.72
C	24	17	16	8φ14	6φ12	6528	8.27	5737.6	6.15	145.19	362.98	377.39
	25	19	16	8φ14	6φ12	7600	9.62	5961.6	6.39	151.24	378.10	394.11
	26	21	16	8φ14	6φ12	8736	11.06	6185.6	6.63	157.29	393.23	410.91
	27	22	16	8φ14	6φ14	9504	12.03	6428.8	7.77	163.34	408.35	428.15
D	24	16	20	8φ14	6φ14	7680	9.72	7196.0	8.69	181.49	453.72	472.14
	25	18	20	8φ14	6φ14	9000	11.40	7476.0	9.03	189.05	472.63	493.05
	26	20	20	8φ14	6φ14	10400	13.17	7756.0	9.37	196.61	491.53	514.07
	27	22	20	8φ14	6φ14	11880	15.04	8036.0	9.71	204.17	510.44	535.18

Tablo 2.103. Tip2 kırışı E-F-G enkesitleri metraj tablosu

Kesit	L ₂ (m)	N	N ₂	Ü.D.	A.D.	K.U. (m)	K.A (ton)	B.D.U. (M)	B.D.A (ton)	B.M (m ³)	B.A. (ton)	Toplam Ağırlık (ton)
E	24	16	23	8φ14	6φ14	8832	11.18	8275.4	10.00	208.71	521.78	542.96
	25	18	23	8φ14	6φ12	10350	13.10	8569.8	9.18	217.41	543.52	565.81
	26	20	23	8φ14	6φ12	11960	15.14	8891.8	9.53	226.10	565.26	589.93
	27	21	23	8φ14	6φ16	13041	16.51	9269.0	12.67	234.80	587.00	616.18
F	24	16	27	8φ14	6φ14	10368	13.13	9714.6	11.74	245.01	612.52	637.39
	25	18	27	8φ14	6φ12	12150	15.38	10060.2	10.78	255.22	638.05	664.21
	26	20	27	8φ14	6φ12	14040	17.78	10438.2	11.18	265.43	663.57	692.53
	27	21	27	8φ14	6φ14	15309	19.38	10848.6	13.11	275.64	689.09	721.58
G	24	16	31	8φ14	6φ12	11904	15.07	11116.6	11.91	281.31	703.27	730.25
	25	18	31	8φ14	6φ12	13950	17.66	11550.6	12.38	293.03	732.57	762.61
	26	20	31	8φ14	6φ12	16120	20.41	11984.6	12.84	304.75	761.87	795.12
	27	21	31	8φ14	6φ14	17577	22.26	12455.8	15.05	316.47	791.18	828.48

Tablo 2.104. Tip3 kırışı A-B-C enkesitleri metraj tablosu

Kesit	L ₂ (m)	N	N ₂	Ü.D.	A.D.	K.U. (m)	K.A (ton)	B.D.U. (M)	B.D.A (ton)	B.M (m ³)	B.A. (ton)	Toplam Ağırlık (ton)
A	27	16	9	8φ16	6φ16	3888	4.92	3641.4	5.75	106.46	266.15	276.81
	28	18	9	8φ16	6φ14	4536	5.74	3756.6	5.33	110.40	276.00	287.08
	29	19	9	8φ16	6φ16	4959	6.28	3893.4	6.14	114.34	285.86	298.28
	30	21	9	8φ16	6φ14	5670	7.18	4008.6	5.69	118.29	295.72	308.59
	31	23	9	8φ16	6φ14	6417	8.12	4134.6	5.87	122.23	305.57	319.57
	32	24	9	8φ18	6φ16	6912	8.75	4293.0	7.81	126.17	315.43	331.99
	33	—	9	—	—	—	—	—	—	—	—	—
B	27	15	13	8φ16	6φ16	5265	6.67	5259.8	8.30	153.77	384.43	399.40
	28	17	13	8φ16	6φ14	6188	7.83	5426.2	7.71	159.47	398.67	414.21
	29	18	13	8φ16	6φ16	6786	8.59	5623.8	8.87	165.16	412.91	430.38
	30	20	13	8φ16	6φ14	7800	9.88	5790.2	8.22	170.86	427.15	445.25
	31	22	13	8φ16	6φ12	8866	11.23	5956.6	7.65	176.55	441.39	460.26
	32	24	13	8φ18	6φ12	9984	12.64	6169.8	9.43	182.25	455.62	477.69
	33	24	13	8φ18	6φ18	10296	13.04	6406.4	12.80	187.94	469.86	495.70
C	27	15	16	8φ16	6φ16	6480	8.20	6473.6	10.22	189.26	473.15	491.57
	28	16	16	8φ16	6φ16	7168	9.08	6697.6	10.57	196.27	490.67	510.32
	29	18	16	8φ16	6φ14	8352	10.57	6902.4	9.80	203.28	508.20	528.57
	30	19	16	8φ16	6φ16	9120	11.55	7145.6	11.28	210.29	525.72	548.54
	31	21	16	8φ16	6φ14	10416	13.19	7350.4	10.44	217.30	543.24	566.87
	32	23	16	8φ18	6φ14	11776	14.91	7612.8	12.65	224.31	560.77	588.33
	33	24	16	8φ18	6φ16	12672	16.04	7856.0	14.29	231.32	578.29	608.63

Tablo 2.105. Tip3 kırışı D-E-F-G enkesitleri metraj tablosu

Kesit	L ₂ (m)	N	N ₂	Ü.D.	A.D.	K.U. (m)	K.A (ton)	B.D.U. (M)	B.D.A (ton)	B.M (m ³)	B.A. (ton)	Toplam Ağırlık (ton)
D	27	15	20	8φ16	6φ14	8100	10.26	8068.0	11.46	236.57	591.44	613.15
	28	16	20	8φ16	6φ16	8960	11.34	8372.0	13.21	245.34	613.34	637.90
	29	18	20	8φ16	6φ12	10440	13.22	8604.0	11.05	254.10	635.25	659.52
	30	19	20	8φ16	6φ14	11400	14.43	8908.0	12.65	262.86	657.15	684.23
	31	21	20	8φ16	6φ14	13020	16.49	9188.0	13.05	271.62	679.06	708.59
	32	23	20	8φ18	6φ12	14720	18.64	9492.0	14.50	280.38	700.96	734.10
	33	24	20	8φ18	6φ14	15840	20.06	9796.0	16.28	289.15	722.87	759.20
E	27	15	23	8φ16	6φ14	9315	11.79	9278.2	13.18	272.06	680.15	705.12
	28	16	23	8φ16	6φ14	10304	13.05	9600.2	13.63	282.14	705.34	732.02
	29	17	23	8φ16	6φ16	11339	14.36	9949.8	15.70	292.21	730.53	760.59
	30	19	23	8φ16	6φ14	13110	16.60	10244.2	14.55	302.29	755.72	786.87
	31	21	23	8φ16	6φ12	14973	18.96	10538.6	13.54	312.37	780.91	813.41
	32	22	23	8φ18	6φ14	16192	20.50	10943.4	18.19	322.44	806.10	844.80
	33	24	23	8φ18	6φ14	18216	23.06	11265.4	18.73	332.52	831.29	873.08
F	27	15	27	8φ16	6φ14	10935	13.85	10891.8	15.47	319.37	798.44	827.75
	28	16	27	8φ16	6φ14	12096	15.32	11269.8	16.00	331.20	828.01	859.33
	29	17	27	8φ16	6φ16	13311	16.85	11680.2	18.43	343.03	857.58	892.87
	30	19	27	8φ16	6φ14	15390	19.49	12025.8	17.08	354.86	887.15	923.72
	31	20	27	8φ16	6φ14	16740	21.20	12403.8	17.61	366.69	916.72	955.53
	32	22	27	8φ18	6φ14	19008	24.07	12846.6	21.35	378.52	946.30	991.72
	33	24	27	8φ18	6φ12	21384	27.08	13192.2	20.15	390.35	975.87	1023.10
G	27	15	31	8φ16	6φ12	12555	15.90	12468.2	16.02	366.69	916.72	948.64
	28	16	31	8φ16	6φ14	13888	17.58	12939.4	18.37	380.27	950.68	986.64
	29	17	31	8φ16	6φ14	15283	19.35	13373.4	18.99	393.85	984.63	1022.97
	30	18	31	8φ16	6φ16	16740	21.20	13844.6	21.85	407.43	1018.58	1061.62
	31	20	31	8φ16	6φ14	19220	24.34	14241.4	20.22	421.01	1052.54	1097.09
	32	22	31	8φ18	6φ14	21824	27.63	14749.8	24.52	434.60	1086.49	1138.64
	33	24	31	8φ18	6φ12	24552	31.09	15146.6	23.14	448.18	1120.44	1174.67

Tablo 2.106. Tip4 kirişi A-B-C-D-E enkesitleri metraj tablosu

Kesit	L ₂ (m)	N	N ₂	Ü.D.	A.D.	K.U. (m)	K.A (ton)	B.D.U. (M)	B.D.A (ton)	B.M (m ³)	B.A. (ton)	Toplam Ağırlık (ton)
A	32	23	7	8φ20	6φ16	5152	6.52	3350.2	7.00	135.99	339.98	353.50
	33	24	7	8φ20	6φ18	5544	7.02	3460.8	7.84	140.24	350.60	365.46
	34	26	7	8φ20	6φ18	6188	7.83	3558.8	8.06	144.49	361.22	377.12
	35	28	7	8φ20	6φ18	6860	8.69	3770.2	8.54	148.74	371.85	389.08
	36	30	7	8φ20	6φ18	7560	9.57	3868.2	8.77	152.99	382.47	400.81
	37	33	7	8φ22	6φ14	8547	10.82	3959.9	8.87	157.24	393.10	412.79
B	32	21	10	8φ20	6φ20	6720	8.51	4816.0	11.88	194.27	485.68	506.06
	33	23	10	8φ20	6φ18	7590	9.61	4944.0	11.20	200.34	500.86	521.67
	34	25	10	8φ20	6φ16	8500	10.76	5066.0	10.58	206.41	516.04	537.38
	35	27	10	8φ20	6φ16	9450	11.97	5359.0	11.20	212.49	531.21	554.38
	36	29	10	8φ20	6φ16	10440	13.22	5499.0	11.49	218.56	546.39	571.10
	37	31	10	8φ20	6φ16	11470	14.52	5639.0	11.78	224.63	561.57	587.87
C	32	21	13	8φ18	6φ18	8736	11.06	6224.4	12.44	252.55	631.38	654.88
	33	22	13	8φ20	6φ18	9438	11.95	6427.2	14.56	260.45	651.11	677.63
	34	24	13	8φ20	6φ18	10608	13.43	6609.2	14.98	268.34	670.85	699.25
	35	26	13	8φ20	6φ16	11830	14.98	6966.7	14.56	276.23	690.58	720.11
	36	28	13	8φ20	6φ16	13104	16.59	7148.7	14.94	284.12	710.31	741.84
	37	30	13	8φ20	6φ16	14430	18.27	7330.7	15.32	292.02	730.04	763.63
D	32	21	15	8φ18	6φ16	10080	12.76	7155.0	13.01	291.41	728.52	754.30
	33	22	15	8φ20	6φ18	10890	13.79	7416.0	16.81	300.51	751.29	781.88
	34	24	15	8φ20	6φ16	12240	15.50	7599.0	15.87	309.62	774.05	805.42
	35	26	15	8φ20	6φ16	13650	17.28	8038.5	16.80	318.73	796.82	830.90
	36	28	15	8φ20	6φ14	15120	19.14	8221.5	15.91	327.83	819.59	854.64
	37	30	15	8φ20	6φ14	16650	21.08	8431.5	16.31	336.94	842.35	879.75
E	32	20	18	8φ18	6φ18	11520	14.59	8618.4	17.22	349.69	874.22	906.03
	33	22	18	8φ20	6φ16	13068	16.55	8866.8	18.52	360.62	901.54	936.61
	34	24	18	8φ20	6φ16	14688	18.60	9118.8	19.04	371.55	928.86	966.50
	35	25	18	8φ20	6φ18	15750	19.94	9694.8	21.97	382.47	956.18	998.10
	36	27	18	8φ20	6φ16	17496	22.15	9898.2	20.68	393.40	983.50	1026.34
	37	29	18	8φ20	6φ16	19314	24.45	10150.2	21.21	404.33	1010.82	1056.48

Tablo 2.107. Tip4 kırışı F-G enkesitleri metraj tablosu

Kesit	L ₂ (m)	N	N ₂	Ü.D.	A.D.	K.U. (m)	K.A (ton)	B.D.U. (M)	B.D.A (ton)	B.M (m ³)	B.A. (ton)	Toplam Ağırhk (ton)
F	32	20	21	8φ18	6φ18	13440	17.02	10054.8	20.09	407.97	1019.93	1057.03
	33	22	21	8φ20	6φ16	15246	19.30	10344.6	21.60	420.72	1051.80	1092.71
	34	23	21	8φ20	6φ16	16422	20.79	10638.6	22.22	433.47	1083.67	1126.68
	35	25	21	8φ20	6φ16	18375	23.27	11253.9	23.52	446.22	1115.55	1162.33
	36	27	21	8φ20	6φ16	20412	25.84	11547.9	24.13	458.97	1147.42	1197.39
	37	29	21	8φ20	6φ16	22533	28.53	11841.9	24.74	471.72	1179.29	1232.57
G	32	20	24	8φ18	6φ18	15360	19.45	11491.2	22.96	466.25	1165.63	1208.04
	33	22	24	8φ20	6φ16	17424	22.06	11822.4	24.69	480.82	1202.06	1248.81
	34	23	24	8φ20	6φ18	18768	23.76	12201.6	27.65	495.39	1238.48	1289.90
	35	25	24	8φ20	6φ16	21000	26.59	12861.6	26.88	509.96	1274.91	1328.38
	36	27	24	8φ20	6φ14	23328	29.54	13154.4	25.46	524.53	1311.34	1366.33
	37	28	24	8φ20	6φ18	24864	31.48	13598.4	30.82	539.10	1347.76	1410.06

Tablo 2.108. Tip5 kırışı A-B-C enkesitleri metraj tablosu

Kesit	L ₂ (m)	N	N ₂	Ü.D.	A.D.	K.U. (m)	K.A (ton)	B.D.U. (M)	B.D.A (ton)	B.M (m ³)	B.A. (ton)	Toplam Ağırhk (ton)
A	36	24	7	8φ20	6φ18	6048	7.66	3868.2	8.77	168.11	420.27	436.70
	37	25	7	8φ20	6φ20	6475	8.20	3978.8	9.81	172.78	431.95	449.96
	38	27	7	8φ20	6φ20	7182	9.09	4076.8	10.05	177.45	443.62	462.77
	39	29	7	8φ22	6φ18	7917	10.02	4187.4	10.74	182.12	455.30	476.06
	40	31	7	8φ22	6φ18	8680	10.99	4285.4	10.99	186.79	466.97	488.95
	41	33	7	8φ22	6φ18	9471	11.99	4383.4	11.25	191.46	478.64	501.88
B	36	22	10	8φ20	6φ20	7920	10.03	5544.0	13.67	240.16	600.39	624.09
	37	24	10	8φ20	6φ20	8880	11.24	5684.0	14.02	246.83	617.07	642.33
	38	26	10	8φ20	6φ18	9880	12.51	5806.0	13.16	253.50	633.75	659.41
	39	27	10	8φ22	6φ20	10530	13.33	6000.0	16.58	260.17	650.42	680.34
	40	29	10	8φ22	6φ18	11600	14.69	6122.0	15.71	266.84	667.10	697.49
	41	31	10	8φ22	6φ18	12710	16.09	6262.0	16.07	273.51	683.78	715.94
C	36	22	13	8φ20	6φ20	10296	13.04	7207.2	17.77	312.20	780.51	811.32
	37	24	13	8φ20	6φ16	11544	14.62	7330.7	15.32	320.88	802.19	832.12
	38	25	13	8φ20	6φ18	12350	15.64	7547.8	17.11	329.55	823.87	856.61
	39	27	13	8φ22	6φ18	13689	17.33	7776.6	19.95	338.22	845.55	882.83
	40	28	13	8φ22	6φ18	14560	18.44	7958.6	20.42	346.89	867.23	906.08
	41	30	13	8φ22	6φ18	15990	20.25	8140.6	20.88	355.56	888.91	930.04

Tablo 2.109. Tip5 kırışı D-E-F-G enkesitleri metraj tablosu

Kesit	L ₂ (m)	N	N ₂	Ü.D.	A.D.	K.U. (m)	K.A (ton)	B.D.U. (M)	B.D.A (ton)	B.M (m ³)	B.A. (ton)	Toplam Ağırlık (ton)
D	36	22	15	8φ20	6φ18	11880	15.04	8289.0	18.79	360.23	900.59	934.41
	37	23	15	8φ20	6φ20	12765	16.16	8526.0	21.03	370.24	925.60	962.79
	38	25	15	8φ20	6φ18	14250	18.04	8709.0	19.74	380.25	950.62	988.40
	39	26	15	8φ20	6φ20	15210	19.26	8946.0	22.06	390.25	975.63	1016.95
	40	28	15	8φ22	6φ18	16800	21.27	9183.0	23.56	400.26	1000.65	1045.48
	41	30	15	8φ22	6φ18	18450	23.36	9393.0	24.10	410.27	1025.67	1073.12
E	36	21	18	8φ20	6φ20	13608	17.23	9979.2	24.61	432.28	1080.70	1122.54
	37	23	18	8φ20	6φ18	15318	19.39	10198.8	23.11	444.29	1110.72	1153.23
	38	24	18	8φ20	6φ20	16416	20.79	10483.2	25.85	456.30	1140.74	1187.38
	39	26	18	8φ20	6φ18	18252	23.11	10702.8	24.26	468.30	1170.76	1218.13
	40	28	18	8φ22	6φ16	20160	25.53	10971.0	26.23	480.31	1200.78	1252.54
	41	30	18	8φ22	6φ16	22140	28.03	11223.0	26.83	492.32	1230.80	1285.66
F	36	21	21	8φ20	6φ20	15876	20.10	11642.4	28.71	504.33	1260.82	1309.63
	37	23	21	8φ20	6φ18	17871	22.63	11898.6	26.97	518.34	1295.84	1345.43
	38	24	21	8φ20	6φ20	19152	24.25	12230.4	30.16	532.35	1330.86	1385.27
	39	26	21	8φ20	6φ18	21294	26.96	12486.6	28.30	546.35	1365.89	1421.15
	40	27	21	8φ20	6φ18	22680	28.72	12780.6	28.96	560.36	1400.91	1458.59
	41	29	21	8φ22	6φ18	24969	31.61	13150.2	33.74	574.37	1435.93	1501.28
G	36	21	24	8φ20	6φ20	18144	22.97	13305.6	32.81	576.37	1440.94	1496.72
	37	22	24	8φ20	6φ20	19536	24.74	13641.6	33.64	592.38	1480.96	1539.34
	38	24	24	8φ20	6φ20	21888	27.71	13934.4	31.58	608.40	1520.99	1580.28
	39	26	24	8φ20	6φ16	24336	30.81	14205.6	29.68	624.41	1561.01	1621.51
	40	27	24	8φ20	6φ18	25920	32.82	14606.4	33.10	640.42	1601.04	1666.96
	41	29	24	8φ22	6φ18	28536	36.13	15028.8	38.56	656.43	1641.07	1715.75

3. BULGULAR VE İRDELEMELER

3.1. Öngerilmeli Kırışlı Köprüler Analiz Sonuçları

Öngerilmeli kırışlere sahip köprü üstyapılarında kullanılacak olan kırışların en ideal olduğu açıklıkları belirlemek için, ülkemizde daha önce yapılan öngerilmeli prefabrik beton kırış köprülerde ve günümüzde de sıkça kullanılan yükseklikleri 75, 90, 120, 150 ve 180cm olan toplam beş adet öngerilmeli kırış örnek olarak alınmış ve hesaplar “Standard Specifications for Highway Bridges” yönetmeliğinde yer alan koşullar dikkate alınarak yapılmıştır. Her bir öngerilmeli kırış tipi için genişlikleri 9.50, 13.00, 16.50, 20.00, 23.50, 27.00 ve 30.50m olan toplam yedi adet üstyapı enkesiti dikkate alınarak uzunlukları 19.00–41.00m olan öngerilmeli kırışlar için hesaplar yapımıştir.

Köprü üstyapısını meydana getiren elemanların sabit ağırlıkları, öngerilmeli kırışlere uygulanacak öngerme kuvvetleri, $H_{30}S_{24}$ tasarım kamyon yükü, eşdeğer şerit yükü ve yaya yükleri dikkate alınarak hesaplar gerçekleştirilmiştir. Hesaplarda öngerilmeli kırış imalatında kullanılan öngerme halatlarında ve betonarme donatlarında korozyonun meydana gelmediği öngörülmüştür. Hesaplar sonucunda elde edilen veriler ile öngerme kablo sayısı, kılıflanacak kablo sayısı ve sehim parametreleri ilgili yönetmelikte yer alan sınır değerleri ile karşılaştırılıp kırışların yapısal açıdan uygunluğu kontrol edilmiştir. Öngerilmeli kırışlerde servis yükleri altında yönetmeliklere uygun şekilde çekme gerilmesi oluşmasına izin verilmiştir. Kesitte oluşan bu çekme gerilmelerinin tamamı kesite boyuna yönde üst ve alt başlıklara yerleştirilen yumuşak donatlar tarafından karşılanacağı kabulü yapılmıştır. Hesapların sonucunda elde edilen verilerden faydalananarak köprü üstyapısında kullanılan öngerilmeli kırışlar için beton, halat, betonarme donatısı gibi malzemelerin metrajları belirlenmiştir.

Köprü üstyapısını oluşturan elemanlardan biri olan öngerilmeli kırışların boyalarının 19m ile 41m arasında birer metre artırılmasıyla değiştiği ve tabliye genişliği bakımından 9.50m ile 30.50m arasında yedi tip enkesitin olduğu ve tabliye kalınlığının ise 0.22m olduğu ve ayrıca farklı kesit ölçülerine sahip beş adet öngerilmeli kırış kullanılarak oluşturulan köprü üstyapılarının her biri için hesaplar yapılmıştır. Yapılan bu hesapların sonucunda ortaya çıkan veriler doğrultusunda; öngerilmeli kırışe yerleştirilecek halat sayısı, kılıflanacak halat sayısı ve kılıflanma boyları, öngerilmeli kırışlerde meydana gelen sehim

değerlerinin yönetmelikte verilen sınır değerleri ile kontrolleri yapılmıştır ve öngerilmeli kırışların hangi açıklıklar için daha uygun olduğu belirlenmiştir. Ayrıca her bir öngerilmeli kırışın imal edilmesi için gerekli olan halat, betonarme donatısı ve beton miktarı belirlenip hangi açıklıkta hangi öngerilmeli kırışın daha uygun olacağı, malzeme metraji ve oluşturulacak yapıların ağırlıkları belirlenmeye çalışılmıştır.

Tip1 kırışı ile Tip2 kırışı 24m'lik kırış boyu için karşılaştırıldığında,

- Üstyapı enkesitindeki kırış sayısı, tüm en kesitler için Tip2 kırışı kullanıldığından azalmaktadır. Buna bağlı olarak da toplam öngerme kablosu boyu ve ağırlıkları da azalmaktadır.
- Öngerilmeli kırışta olacak çekme gerilmelerini karşılamak için kırış üst ve alt başlığına boyuna yönde yerleştirilecek betonarme donatısı toplam boyu Tip2 kırışı kullanıldığından azalmakta, toplam ağırlığı ise donatı çapına bağlı olarak değişkenlik göstermektedir.
- Öngerilmeli kırışlar için gerekli olan C45 betonu miktarı ve beton ağırlığı üstyapı enkesitindeki kırış sayısına bağlı olarak Tip2 kırışı kullanıldığından azalmaktadır.
- Tip2 kırışı kullanılarak oluşturulan üstyapıların ağırlığı, Tip1 kırışı ile oluşturulan üstyapılara göre daha hafif olduğu gözlemlenmektedir.
- Köprü inşa edildikten sonra meydana gelecek nihai sehim değerleri karşılaştırıldığında Tip2 kırışında olacak sehimlerin Tip1 kırışına göre yarı yarıya düşüğü görülmektedir.
- Genel olarak 24m'lik kırış ile oluşturulacak köprü üst yapısı için Tip2 kırışının gerek malzeme metrajına bağlı olarak gerekse deprem performansı düşünüldüğünde üstyapı ağırlığının daha az olması nedeniyle daha uygun olacağı düşünülmektedir.

Tip1 kırışı ile Tip2 kırışı 25m'lik kırış boyu için karşılaştırıldığında,

- Tip1 kırışlarının kullanılmasıyla A enkesitine sahip üstyapı oluşturulduğunda, 4. tahkikte kompozit kesitin üst lifinde meydana gelecek gerilme değeri olan $\sigma_{üst_k,4}$ emniyet gerilmesini aştiği için bu üstyapı enkesiti için Tip1 kırışının kullanılması uygun olmamaktadır. Diğer üstyapı kesitleri için gerekli sınırlar sağlanmıştır.
- Genel olarak 25m'lik kırış ile oluşturulacak köprü üst yapısı için Tip2 kırışının gerek malzeme metrajına bağlı olarak gerekse deprem performansı

düşünüldüğünde üstyapı ağırlığının daha az olması nedeniyle ve sehim değerleri de dikkate alındığında daha uygun olacağı düşünülmektedir.

Tip2 kirişi ile Tip3 kirişi 27m'lik kiriş boyu için karşılaştırıldığında,

- Tip2 kırışlarının kullanılmasıyla A enkesitine sahip üstyapı oluşturulduğunda, 4. tahkikte prefabrik kesit alt lifinde meydana gelecek gerilme değeri olan $\sigma_{alt_p,4}$ emniyet gerilmesini aştığı için bu üstyapı enkesiti için Tip2 kirişinin kullanılması uygun olmamaktadır. Diğer üstyapı kesitleri için gerekli sınırlar sağlanmıştır.
- Üstyapı en kesitlerinin tümü dikkate alındığında, Tip3 kirişi kullanıldığında kiriş alt başlığına yerleştirilecek öngerme kablo sayısı Tip2 kirişine göre toplam öngerme kablosu sayısı, boyu ve ağırlıkları da azalmaktadır.
- Öngerme kablosu hariç metraj tablosu incelendiğinde toplam betonarme donatısı, beton miktarı ve toplam ağırlık incelendiğinde, A üstyapı enkesiti hariç diğer enkesitlerde hem maliyet hem de üstyapı ağırlığı dikkate alındığında Tip2 kirişinin kullanılmasının daha uygun olacağı düşünülmektedir.

Tip3 kirişi ile Tip4 kirişi 32m'lik kiriş boyu için karşılaştırıldığında,

- Tip4 kırışları kullanılarak oluşturulan üstyapı enkesitlerinde Tip3 kırışlarına göre kesitte yer alan öngerilmeli kiriş sayısının azlığı görülmektedir.
- Tip4 kırışları kullanılarak oluşturulan üstyapı enkesitlerinde Tip3 kırışlarına göre kiriş kesitinde yer alan öngerme kablosu sayısının azlığı ve buna bağlı olarak da toplam öngerme kablosu boyu ve ağırlığının azlığı görülmektedir.
- Tip4 kırışları kullanılarak oluşturulan üstyapı enkesitlerinde Tip3 kırışlarına göre kiriş üst ve alt başlığına boyuna yönde yerleştirilecek betonarme donatısı toplam boyu ve ağırlığının azlığı görülmektedir.
- Tip4 kırışları kullanılarak oluşturulan üstyapı enkesitlerinde Tip3 kırışlarına göre kirişler için gereken beton miktarının kiriş yüksekliğinin artmasına bağlı olarak arttığı gözlemlenmektedir.
- Öngerilmeli kiriş kesitinde alt ve üst liflerde meydana gelen gerilme değerleri incelendiğinde, Tip4 kirişinde daha düşük gerilmelerin olduğu gözlemlenmektedir.
- Kirişte meydana gelen sehimler incelendiğinde yine Tip4 kirişinde daha az sehim olduğu gözlemlenmektedir.

- Sonuç olarak metraj tablosu incelendiğinde ekonomiklik yönünden ve yapı ağırlığı yönünden Tip3 kirişinin kullanılmasının daha uygun olacağı düşünülmektedir.

Tip3 kirişi ile Tip4 kirişi 33m' lik kiriş boyu için karşılaştırıldığında,

- Tip3 kirişlerinin kullanılmasıyla A enkesitine sahip üstyapı oluşturulduğunda, 4. tahkikte prefabrik kesit alt lifinde meydana gelecek gerilme değeri olan $\sigma_{alt_p,4}$ emniyet gerilmesini aştığı için bu üstyapı enkesiti için Tip4 kirişinin kullanılması uygun olmamaktadır. Diğer üstyapı kesitleri için gerekli sınırlar sağlanmıştır.
- Üstyapı en kesitlerinin tümü dikkate alındığında, Tip4 kirişi kullanıldığında kiriş alt başlığına yerleştirilecek öngerme kablo sayısı Tip3 kirişine göre toplam öngerme kablosu sayısı, boyu ve ağırlıkları da azalmaktadır.
- Öngerme kablosu hariç metraj tablosu incelendiğinde toplam betonarme donatısı, beton miktarı ve toplam ağırlık incelendiğinde, A üstyapı enkesiti hariç diğer enkesitlerde hem maliyet hem de üstyapı ağırlığı dikkate alındığında Tip3 kirişinin kullanılmasının daha uygun olacağı düşünülmektedir.

Tip4 kirişi ile Tip5 kirişi 36m'lik kiriş boyu için karşılaştırıldığında,

- Tip5 kirişleri kullanılarak oluşturulan üstyapı enkesitlerinde Tip4 kirişlerine göre yaklaşık olarak %20-23 oranında öngerme kablosu sayısının azaldığı ve buna bağlı olarak da toplam öngerme kablosu boyu ve ağırlığının azaldığı görülmektedir.
- Öngerilmeli kiriş kesitinde alt ve üst liflerde meydana gelen gerilme değerleri incelendiğinde, Tip5 kirişinde daha düşük gerilmelerin olduğu gözlemlenmektedir.
- Kirişte meydana gelen sehimler incelendiğinde yine Tip5 kirişinde daha az sehim olduğu gözlemlenmektedir.
- Sonuç olarak metraj tablosu incelendiğinde ekonomiklik yönünden ve yapı ağırlığı yönünden Tip4 kirişinin kullanılmasının daha uygun olacağı düşünülmektedir.

Tip4 kirişi ile Tip5 kirişi 37m'lik kiriş boyu için karşılaştırıldığında,

- Tip5 kirişleri kullanılarak oluşturulan üstyapı enkesitlerinde Tip4 kirişlerine göre yaklaşık olarak %22-25 oranında öngerme kablosu sayısının azaldığı ve buna bağlı olarak da toplam öngerme kablosu boyu ve ağırlığının azaldığı görülmektedir.
- Öngerilmeli kiriş kesitinde alt ve üst liflerde meydana gelen gerilme değerleri incelendiğinde, Tip5 kirişinde daha düşük gerilmelerin olduğu gözlemlenmektedir.
- Kirişte meydana gelen sehimler incelendiğinde yine Tip5 kirişinde daha az sehim olduğu gözlemlenmektedir.
- Sonuç olarak metraj tablosu incelendiğinde ekonomiklik yönünden ve yapı ağırlığı yönünden Tip4 kirişinin kullanılmasının daha uygun olacağı düşünülmektedir.

Öngerilmeli kirişlerde yönetmeliklerdeki emniyet gerilmelerini aşmayacak seviyede çekme gerilmelerine izin verildiği şartlar dikkate alındığında elde edilen sonuçlar aşağıdaki gibi sıralanmaktadır.

- Aynı açıklığın geçilmesi için kullanılan kirişlerden hangisinin daha uygun olacağının belirlenmesi için üstyapının maliyeti yönünden bir çalışma yapılması gerekmektedir.
- Öngerilmeli kiriş tipleri için, kirişlerin hiçbir kesitinde çekme gerilmesi oluşması istenmemesi durumunu göz önüne alınarak yapılan tasarımlar ile yönetmeliklerce izin verilen çekme gerilmesini aşmayacak şekilde yapılan tasarımlar karşılaştırılsa, kiriş enkesitine yerleştirilecek öngerme kablosu sayısı ciddi oranda artacaktır. Bu durumun sonucu olarak da öngerilmeli kirişlerin mesnet bölgeleri daha fazla zorlanacak ve bir kiriş tipi ile geçilebilecek açıklık uzunluğu kısalacaktır.
- Tip1 kirişi 24m açıklık için, Tip2 kirişi 26m açıklık için ve Tip3 kirişi 32m açıklık için A üstyapı enkesitine ait olan 9.50m genişliğindeki köprülerde bu kirişlerin kullanılması, yönetmeliklerce verilen gerilme sınır şartları sağlanmadığı için uygun olmamaktadır.
- Öngerilmeli kirişlerde meydana gelebilecek en kritik durum, öngerme kuvvetinin halatlar vasıtası ile betona verildiği aktarma anında kiriş mesnetine en yakın

kesitlerde meydana gelmektedir. Mesnet bölgelerinde, öngerme kuvveti nedeniyle oluşan ters moment değeri büyük olduğu için öngerilmeli kirişlerin üst liflerinde meydana gelen çekme gerilmeleri yönetmeliklerce verilen emniyet gerilmelerini aşmaktadır. Bu durumun ortadan kaldırılması için de mesnet bölgesinde yer alan öngerme halatlarından bazılarda kılıflama işlemi yapılması veya öngerilmeli kiriş kesitinin büyütülmesi gerekmektedir.

- Öngerme kayıp oranları, bütün kiriş tipleri için her bir üstyapı enkesitinde açıklığın artması ile doğal olarak da kirişlere yerleştirilecek öngerme kablo sayısının artması nedeniyle bir artış içерisindedir.
- Açıklıklar için ideal kiriş tipleri genel olarak 18-22m arası Tip1 kiriş, 23-26m arası Tip2 kiriş, 27-32m arası Tip3 kiriş, 33-36m arası Tip4 kiriş, 37-40m arası ise Tip5 kiriş olarak düşünülmektedir.

Genel olarak tüm kiriş tipleri düşünüldüğünde, hangi açıklıkta hangi kiriş tipinin seçilmesinin gerektiği konusunda tavsiyede bulunulmuştur. Buna rağmen, kiriş tipinin seçiminde yapının sadece üstyapı maliyetinin dikkate alınmasının uygun olmayacağı düşünülmektedir. En uygun üstyapı kesitinin belirlenmesi amacıyla köprü altyapısına ait analizlerin de yapılmasının gerekliliği ve nihai durumda hangi kirişin daha uygun olacağının belirlenmesi gerekmektedir.

4. SONUÇLAR VE ÖNERİLER

Türkiye'de ve dünya genelinde önemli bir kullanım alanına sahip olan öngerilmeli kırışların belirli aralıklarla yan yana yerleştirilmesi ile inşa edilen köprülerin son zamanlardaki popüleritesi diğer yöntemlerle inşa edilen köprülere göre daha fazla olduğu gözlemlenilmektedir.

Bu yüksek lisans tez çalışması kapsamında, öngerilmeli prefabrik kırıslı köprülere sahip olan köprülerin üst yapıları üzerinde analitik çalışmalar yapılmıştır. Farklı açıklıklara ve genişliklere sahip olan öngerilmeli prefabrik kırış sahip beton köprü üst yapılarının iç ve dış etkiler altındaki davranışlarına bağlı olarak hesaplar yapılmıştır. Kesit özelliklerine ve kesit tesirlerine bağlı olarak elde edilen veriler doğrultusunda öngerme halat sayısı, bu halatların en uygun şekilde öngerilmeli kırış alt başlığına yerlesimi, kılıflanacak halat sayısı ve kılıf borusu boyu, kırışın yapımında kullanılacak boyuna betonarme donatısı ve bunlara da bağlı olarak malzeme metrajları ve ağırlıkları gibi köprü üst yapısının imalatında gerekli olan parametrelerin elde edilmesi sağlanmıştır.

Köprü üst yapısının hesap ve tasarıımı için “American Association of State Highway and Transportation Officials” tarafından yayımlanmış “Standard Specifications for Highway Bridges” adlı yönetmelikte yer alan koşullar büyük ölçüde dikkate alınmıştır.

Hesapların sonucunda ortaya çıkan veriler doğrultusunda gerekli açıkluktaki öngerilmeli kırışlere en uygun şekilde öngerme halatlarının yerleştirilmesi sağlanmıştır. Öngerilmeli prefabrik beton kırışların en etkin olduğu açıklıkları belirlemek amacıyla farklı açıklınlara ve farklı üst yapı enkesitlerine sahip köprü üst yapıları için hesaplar yapılmıştır.

Yapılan çalışmalarla elde edilen sonuçlar maddeler halinde aşağıda sunulmaktadır:

- 1) Bu çalışmada yer alan beş tip öngerilmeli kırışın tasarımı, “Standard Specifications for Highway Bridges” yönetmeliği tarafından belirlenen çekme ve basınç emniyet gerilmeleri dikkate alınarak yapılmıştır.
- 2) Öngerilmeli kırışlerde zati ve hareketli yüklerin kombinasyonu ile oluşan faktörlü kesit tesir değerlerinin, öngerilmeli kırışların taşıma kapasitelerini aşmaması durumu her açıklık ve üst yapı enkesiti için ayrı ayrı kontrol edilerek kırışların kesit yeterlikleri irdelenmiştir. Ayrıca öngerilmeli kırışlerde meydana gelecek çatlakları engellemek, engellenemeyen çatlakları sınırlamak ve

sünekliğin sağlanması amacıyla öngerme halatı ve betonarme donatısı için minimum donatı oranları ve sehim sınırları şartlarına da uyulmuştur.

- 3) Öngerme uygulanma aşamasından servis durumuna kadar geçen sürede birçok yük ve yükleme durumu altında kalan öngerilmeli kırışlerde kırış alt başlığına yerleştirilen öngerme kablosu sayısı, servis durumunda zati ve hareketli yüklerin etkimesi sonucu açıklık ortasında meydana gelen çekme gerilmelerinin yönetmeliklerce belirlenmiş emniyet gerilmesi değerinin altında kalacak şekilde seçilmiştir.
- 4) Öngerme kabloları ile aktarılan öngerme kuvvetleri bazı açıklıklardan sonra sadece öngerilmeli kırış ağırlığının olduğu öngerme aşamasında kırışın alt kısmında ve servis aşamasında ise öngerilmeli kırışın üst kısmında oluşan basınç gerilmeleri yönetmeliklerce belirlenen emniyet gerilmelerini aştığı görülmüştür. Bu durumlarda öngerilmeli kırış kesiti büyütülmüştür.
- 5) Öngerilmeli kırışler üzerlerine etkiyen yükleri öngerme kablolarının sayısının arttırılması ile rahatlıkla taşıyacak seviyelere getirilebilmektedir. Fakat halat sayısının artırılması ile emniyet gerilme sınırlarını aşabilecek basınç ve çekme gerilmelerinin meydana gelebileceği göz ardi edilmemelidir.
- 6) Farklı tip kırışlerle aynı açıklığın geçildiği durumlarda en uygun kırışın belirlenmesi maliyet ve ağırlık yönünden yapılan analiz sonucu belirlenebilir. Maliyetin belirlenebilmesi için beton, öngerme halatı ve boyuna donatı metrajları tez kapsamında sunulmaktadır.
- 7) Ülkemizde köprü tasarımda kullanılan H₃₀S₂₄ tasarım kamyonu koşulları incelendiğinde en elverişsiz yükleme durumu genel olarak tasarım kamyonu yüklemesi altında ortaya çıkmaktadır.
- 8) Öngerilmeli prefabrik beton kırışlerin alt başlığına yerleştirilen öngerme kablolarındaki gerilmelerin kırışe aktarıldığı dönemde kırışte ortaya çıkan gerilmeler incelendiğinde, kırışın mesnet bölgelerinde gerilme yiğilmalarının meydana geldiği gözlemlenmiştir. Oluşan bu yiğilmaları yönetmeliklerce belirlenmiş emniyet gerilmeleri seviyelerine düşürmek için o bölgede belirli sayıdaki öngerme kablosunun kılıflanması gerektiği sonucu ortaya çıkmaktadır.
- 9) Her bir üstyapı enkesiti için kullanılan kırışlar incelendiğinde genel olarak, açıklık arttıkça kırışlerin alt başlığına yerleştirilen öngerme kablo sayısı ve kırışın mesnet bölgesinde emniyet gerilmesi değerinden daha fazla oluşan gerilmelerin

azaltılmasını sağlayan kılıflanma işlemi ile kılıflanacak halat sayısının arttığı tespit edilmiştir.

- 10) Öngerme kuvveti kablolalar vasıtasyyla betona aktarıldıktan sonra öngerilmeli kırışte yukarı yönlü bir sehimin oluştuğu görülmektedir.
- 11) Kırışlerde aktarma döneminde oluşan sehimler her bir üstyapı kesiti için incelendiğinde, açıklık arttıkça oluşan yukarı yönlü sehimin kırışın alt başlığına yerleştirilen öngerme kablollarının sayısının artmasına bağlı olarak arttığı tespit edilmiştir.
- 12) Kırışlerde aktarma döneminde oluşan sehimler belirli bir açıklıkta incelendiğinde üstyapı kesiti genişlediğinde, kırışlere etkiyen yüklerin azalması ile kırış alt başlığına yerleştirilen kablo sayısının azalmasına bağlı olarak sehimin azaldığı tespit edilmiştir.
- 13) Öngerme kablolarının kırış alt başlığına yerleştirilme kombinasyonları irdelendiğinde; bu kabloların öngerilmeli kırış üzerindeki etkileri göz önüne alındığında en uygun yerleştirilme halinin, kabloların kırışın alt liffine ve simetri eksene yakını olarak konumlandırılması ile olduğu tespit edilmiştir.
- 14) Öngerme kayıpları, üstyapı kesitinin sabit olup açıklığın arttığı durumlarda öngerilmeli kırışın alt başlığına yerleştirilen öngerme kablosuna bağlı olarak artmaktadır.
- 15) Öngerme kayıpları, öngerilmeli kırış tipinin sabit olup üstyapı enkesitinin genişlediği durumda ise bazı kesitlerde ufak bir artış gösterse de genel olarak azalmaktadır.
- 16) Kırış taşıma kapasiteleri öngörmeli kırışın alt başlığına yerleştirilen öngerme kablosu sayısının artmasına bağlı olarak bir artış göstermektedir.
- 17) Açıklıklar düşünüldüğünde en ideal kırış tiplerinin genel olarak; 18-22m arası açıklık için Tip1 kırışı, 23-26m arası açıklık için Tip2 kırışı, 27-32m arası açıklık için Tip3 kırışı, 33-36m arası açıklık için Tip4 kırışı, 37-40m arası açıklık için ise Tip5 kırışı olarak seçilmesi daha uygun olmaktadır.
- 18) Bu çalışma kapsamında belirlenen açıklıklar ve üstyapı enkesitleri için seçilecek öngerilmeli kırış tipinin önceden tayini düşünüldüğünde, bir öngerilmeli kırışe etki eden kamyon yükünün kırış ağırlığına oranı dikkate alındığında, bu oran 0.39-0.45 aralığında ise Tip5 kırışının, 0.48-0.56 aralığında ise Tip4 kırışının, 0.74-0.92 aralığında ise Tip3 kırışının, 1.05-1.2 aralığında ise Tip2 kırışının,

1.26-1.66 aralığında ise Tip1 kırışının kullanılmasının uygun olduğu görülmektedir.

- 19) Aktarma dönemi, tabliye betonu prizini tamamlamadan önceki dönem ve servis dönemleri incelendiğinde 24m açıklıkta Tip1 kırışı-A enkesiti, 26m açıklıkta Tip2 kırışı-A enkesiti, 32m açıklıkta Tip3 kırışı-A enkesiti hariç diğer tüm üstyapı enkesitlerinde yer alan kırışlar için, öngerilmeli kırışın alt ve üst liflerinde ortaya çıkan gerilmelerin yönetmeliklerce belirlenen emniyet gerilmeleri sınırları içerisinde kaldığı görülmektedir.
- 20) Öngerilmeli kırışların en uygun olduğu açıklığın belirlenmesinde dikkate alınması gereken faktörlerden kırışın alt başlığına yerleştirilecek kablo sayısı, mesnet bölgelerinde olacak gerilmelerin emniyet gerilmelerinin altında kalabilmesi için uygulanan kılıflanacak kablo sayısı ve meydana gelen sehim değerleri incelendiğinde, yönetmelikte yer alan kılıf sayısı ile ilgili sınır koşullarının daha etkili olduğu sonucu ortaya çıkmaktadır. Ama emniyet gerilme değerlerinin de etkisinin önemli olduğu gerceği göz ardı edilmemelidir.
- 21) Köprü üstyapısında geçilecek açıklığa göre kullanılacak olan en uygun öngerilmeli prefabrik kırışın belirlenmesi için toplam malzeme metrajı ve buna bağlı ortaya çıkan maliyet dikkate alınılabilir. Ama bu durumda daha ağır bir köprü üstyapısının ortaya çıkması durumu ve buna bağlı olarak hem olacak yapının deprem performansının olumsuz etkilenmesi hem de köprünün altyapı maliyetlerinin gereksiz olarak artacağı koşulu göz ardı edilmemelidir.
- 22) Seçilen öngerilmeli kırış tipleri için, kırış kesitlerinde çekme gerilmelerinin oluşmasının istenmediği durum ile yönetmeliklerce belirlenmiş çekme gerilmelerine izin verilen durum dikkate alınarak yapılan tasarımlar karşılaştırıldığında, kırış enkesitine yerleştirilecek kablo sayısı çekme gerilmelerinin oluşmasının istenmediği durumda daha fazla olacaktır. Bu duruma bağlı olarak yani kablo sayısının daha fazla olması halinde ise kırışların mesnet bölgeleri daha fazla zorlanacaktır ve bu bölgelerdeki gerilmeleri azaltmak için de daha fazla öngerme kablosunun kılıflanması gerekecektir.
- 23) Seçilen öngerilmeli kırış tipleri için çalışmada belirlenen açıklıklar düşünüldüğünde, çekme gerilmelerinin oluşmasının istenmediği durum dikkate alınarak yapılan tasarımlarda kesite yerleştirilecek öngerme kablo sayısı artacağı

için kabloların kesite sığmama durumu ortaya çıkabileceğinden belirlenen ideal açıklıklarda azalma meydana gelecektir.



5. KAYNAKLAR

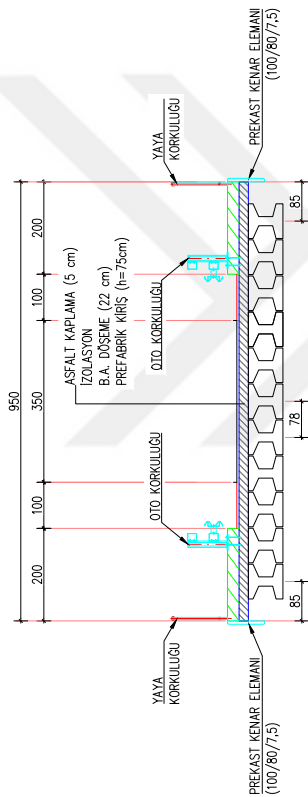
- AASHTO, 2002. Standard Specifications for Highway Bridges, Seventeenth Edition, American Association of State Highway and Transportation Officials, Washington D.C.
- Aparicio, A.C., Casas, J. R. ve Ramos G., 1996. Computer Aided Design of Prestressed Concrete Highway Bridges, Computers and Structure, 60, 6, 957-969.
- Araz, S., 2000. Öngerilmeli Sürekli Kırışlerin Bilgisayar ile Hesabı, Yüksek Lisans Tezi, Çukurova Üniversitesi, Fen Bilimleri Enstitüsü, Adana, Türkiye.
- Atmaca, B., 2018. Öngerilmeli Kıraklı Köprü Üstyapısının Hesap ve Tasarımının İrdelenmesi ve Bilgisayar Programının Geliştirilmesi, Doktora Tezi, Karadeniz Teknik Üniversitesi, Fen Bilimleri Enstitüsü, Trabzon, Türkiye.
- Ayaydın, Y., 1981. "Büyük Açıklı Prefabrike Betonarme Yapılar", Seçkin Yayıncılık, İstanbul.
- Aydın, Z., 2006. Öngerilmeli Beton Kıraklı Köprü Üst Yapılarının Genetik Algoritma ile Optimum Tasarımı, Doktora Tezi, Karadeniz Teknik Üniversitesi, Fen Bilimleri Enstitüsü, Trabzon, Türkiye.
- Burgueno, R. ve Sun, Y., 2011. Effects of Debonded Strands on the Production and Performance of Prestressed Concrete Beams, Research Report for MDOT, Michigan State University.
- Caro, L. A., Marti-Vargas, J.R. ve Serna, P., 2013. Prestress Losses Evaluation in Prestressed Concrete Prismatic Specimens, Engineering Structures, 48, 704-715.
- Colajanni, P., Recupero, A. ve Spinella, N., 2014. Design Procedure for Prestressed Concrete Beams, Computer and Concrete, 13, 2, 235-253.
- Du, J.S. ve Au, F.T.K., 2005. Deterministic and Reliability Analysis of Prestressed Concrete Bridge Girders: Comparison of the Chines Hong Kong and AASHTO LRFD Codes, Structural Safety, 27, 230-245.
- Fuente, A., Bairan, J. ve Cavalaro, S. H. P., 2019. Case Study Of Failure Of Long Prestressed Precast Concrete Girder During Lifting, Engineering Failure Analysis, 100.
- Garber D., Gallardo J., Deschenes D., Dunkman D. ve Bayrak O., 2013. Effect of New Prestress Loss Estimates on Pretensioned Concrete Bridge Girder Design Technical Report, 0-6374, Texas Department of Transportation.

- Harries, K. A., Shahrooz B. M., Ross, B. E., Ball, P. ve Hamilton, H. R., 2019. Modeling and Detailing Pretensioned Concrete Bridge Girder End Regions Using the Strut-and-Tie Approach, Journal of Bridge Engineering, 24,3.
- Keyder, E., 2013. Öngerilmeli Beton, Bizim Büro Basımevi, Ankara.
- KGM, Karayolu Teknik Şartnamesi, 2013. Karayolları Genel Müdürlüğü, Ankara, Türkiye.
- Kozak, M., 2011. Öngermeli Betonlar ve Özelliklerinin Teorik Olarak Araştırılması, Yapı Teknolojileri Elektronik Dergisi, 7, 1, 100-106.
- Moravcik, M, 2013. Modified System of Prestressing for New Precast Girders Developed for Highway Bridges, Procedia Engineering, 65, 236-241.
- Naaman, A. E., 1982. Prestressed Concrete Analysis and Design Fundamentals, McGrawHill Publishing Company, USA.
- Oflazoğlu, M. Z., 2007. "Öngerilmeli Beton Kolonların Analiz ve Tasarımı", Yüksek Lisans Tezi, Çukurova Üniversitesi, Fen Bilimleri Enstitüsü, Adana, Türkiye.
- Oğuz, S., 1989. "Ön Gerilmeli Beton", Tarım Orman ve Köy İşleri Bakanlığı, Köy Hizmetleri Genel Müdürlüğü Yayıni, Ankara.
- Onyemelukwe, O. U., Moussa Issa, P. E. ve Mills, C. S., 2003. Field Measured Pre-Stress Concrete Losses Versus Design Codes Estimates, Society for Experimental Mechanics, 201-215.
- Özden, K., Eren, İ., Trupia, A. L. ve Öztürk, T., 1994. Öngerilmeli Beton, İstanbul Teknik Üniversitesi İnşaat Fakültesi Matbaası, İstanbul.
- Öztürk T. ve Öztürk Z., 2007. Öngerilmeli Kompozit Köprü Kırışlerinin Etkin Kullanım Açıklıklarının Belirlenmesi, 1. Köprüler ve Viyadükler Sempozyumu.
- Rana, S., Ahsan, R., ve Ghani, S.N., 2010. Design Of Prestressed Concrete I-Girder Bridge Superstructure Using Optimization Algorithm, IABSE-JSCE Joint Conference on Advances in Bridge Engineering-II, Dhaka, Bangladesh.
- Rizkalla S., Zia, P. ve Storm, T., 2010. Predicting Camber, Deflection, and Prestress Losses in Prestressed Concrete Members, NCSU Report, North Carolina Department of Transportation.
- Sarsık, S.T., 2008. Öngerilmeli Prefabrike I Kesitli Köprü Kırışlerinin Optimizasyonu, Yüksek Lisans Tezi, İstanbul Teknik Üniversitesi, Fen Bilimleri Enstitüsü, İstanbul, Türkiye.
- Steensels, R., Vandoren, B., Vandewalle, L. ve Degee, H., 2019. Evaluation Of End-Zone Detailing Of Pre-Tensioned Concrete Girders, Engineering Structures, 187.

- Tadros, M.K., 2003. Prestress losses in pretensioned high-strength concrete bridge girders, 496, Transportation Research Board.
- Tan, K.H. ve Ng, C.K., 1997. Effects of Deviators And Strand Configuration on Behavior of Externally Prestressed Beams, ACI Structural Journal, 94, 1, 13-22.
- Topçu, İ. B., 2006. "Beton Teknolojisi", Uğur Ofset A.Ş., Eskişehir.
- Toyota, Y., Hirose, T., Ono, S. ve Shidara, K., 2017. Experimental Study on Vibration Characteristics of Prestressed Concrete Beam, Procedia Engineering, 171, 1165-1172.
- TS 3233, 1979. Öngerilmeli Beton Yapıların Hesap ve Yapım Kuralları, Türk Standartları Enstitüsü, Ankara, Türkiye.
- TS 706 EN 12620, 2003. Beton agregaları, Türk Standartları Enstitüsü, Ankara, Türkiye.
- TS EN 197-1, 2012. Genel çimentolar- Bileşim, özellikler ve uygunluk kriterleri, Türk Standartları Enstitüsü, Ankara, Türkiye.
- Tuan, C.Y., Yehia, S.A. ve Jomgpitaksseel, N., 2004. End Zone Reinforcement for Pretensioned Concrete Girders, PCI Journal 1-16.
- Uluğ, N.İ., 2008. Öngerilmeli Bir Köprü Tasarımı ve Performans Değerlendirilmesi, Yüksek Lisans Tezi, İstanbul Teknik Üniversitesi, Fen Bilimleri Enstitüsü, İstanbul, Türkiye.
- Ünal, O. ve Kürklü, G., 2007. Öngerilmeli Beton Teknolojisi, Yapı Teknolojileri Elektronik Dergisi, 2, 26-35.
- Yanık, S., 2007. "Betonarme U Kesitli Sisteme Monte Edilecek Kırışlı ve Kırıssız Öngerilmeli Prefabrik Elaman Tasarımı", Yüksek Lisans Tezi, Ondokuz Mayıs Üniversitesi, Fen Bilimleri Enstitüsü, Samsun, Türkiye.
- Yapar, O., Basu, P.K. ve Nordendale, N., 2015. Accurate Finite Element Modeling of Pretensioned Prestressed Concrete Beams, Engineering Structures, 101, 163-178.
- Zokaie, T., 2000. AASHTO-LRFD Live Load Distribution Specifications, Journal of Bridge Engineering, 131-138.

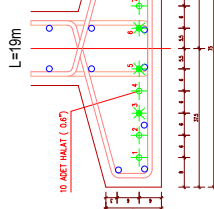
6. EKLER

TİP1 KİRİŞİ-A ENKİSESİ

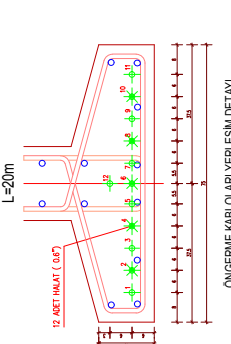


TİP1 KİRİŞİ A ÜSTYAPI ENKİSESİ METRİ TABLOSU

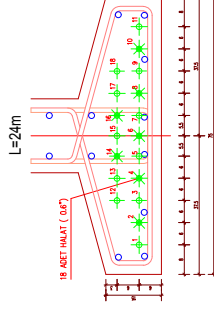
ONGERÜMLÜ KİRİS BOYU (m)	KABLO SAYISI (adet)	YUNUSAK ÜST DONATI	KABLO BOYU (m)	KABLO AĞIRLIĞI (ton)	BETONARME DONATISI AĞIRLIĞI (ton)	BETON MIKTARI (m³)	BETON AĞIRLIĞI (ton)
19	10	6Φ14	6Φ16	2090	2665	2626,8	71,58
20	12	6Φ14	6Φ12	2640	3,34	2722,5	2,85
21	14	6Φ14	6Φ12	3234	4,09	2854,5	2,99
22	15	6Φ14	6Φ14	3630	4,60	2970,0	3,59
23	17	6Φ14	6Φ12	4301	5,45	3118,5	3,27
24	18	6Φ16	6Φ16	4752	6,02	3418,8	5,39
25	-	-	-	-	-	-	-



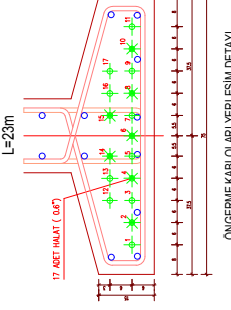
KULFAMA (DEBONDING) SEVİSİ
 1) 5 ve 6 NOLU HALATLAR KİRİŞİN HER KUCUNDAKI MESNET ESENİNDEN 4,75 er METRE MESAFLİYE KADAR KLF İÇNE ALNARAK YAPILACAKTR.
 2) 3 ve 9 NOLU HALATLAR KİRİŞİN HER KUCUNDAKI MESNET ESENİNDE 2,65 er METRE MESAFLİYE KADAR KLF İÇNE ALNARAK YAPILACAKTR.
 3) 1, 2, 4, 7, 9 ve 11 NOLU HALATLAR ISHEHİ KULFAMA YAPILMAYACAKTR.



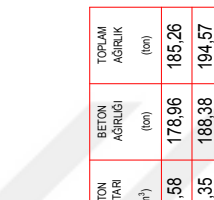
KULFAMA (DEBONDING) SEVİSİ
 1) 4, 5 ve 8 NOLU HALATLAR KİRİŞİN HER KUCUNDAKI MESNET ESENİNDEN 5,7 ve 31 NOLU HALATLAR KİRİŞİN HER KUCUNDAKI MESNET ESENİNDEN 5,7 er METRE MESAFLİYE KADAR KLF İÇNE ALNARAK YAPILACAKTR.
 2) 2 ve 10 NOLU HALATLAR KİRİŞİN HER KUCUNDAKI MESNET ESENİNDE 2,65 er METRE MESAFLİYE KADAR KLF İÇNE ALNARAK YAPILACAKTR.
 3) 1, 3, 5, 7, 9, 11 ve 12 NOLU HALATLAR SİEHİ KULFAMA YAPILMAYACAKTR.



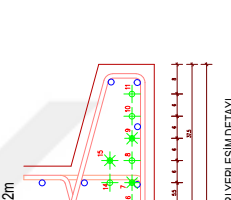
KULFAMA (DEBONDING) SEVİSİ
 1) 4, 6, 8, 14 ve 15 NOLU HALATLAR KİRİŞİN HER KUCUNDAKI MESNET ESENİNDEN 5,0 er METRE MESAFLİYE KADAR KLF İÇNE ALNARAK YAPILACAKTR.
 2) 2 ve 10 NOLU HALATLAR KİRİŞİN HER KUCUNDAKI MESNET ESENİNDE 2,65 er METRE MESAFLİYE KADAR KLF İÇNE ALNARAK YAPILACAKTR.
 3) 1, 3, 5, 7, 9, 11, 12, 13, 15, 17 ve 18 NOLU HALATLAR İSE HİC KULFAMA YAPILMAYACAKTR.



KULFAMA (DEBONDING) SEVİSİ
 1) 4, 6, 8, 14 ve 15 NOLU HALATLAR KİRİŞİN HER KUCUNDAKI MESNET ESENİNDEN 5,0 er METRE MESAFLİYE KADAR KLF İÇNE ALNARAK YAPILACAKTR.
 2) 2 ve 10 NOLU HALATLAR KİRİŞİN HER KUCUNDAKI MESNET ESENİNDE 2,65 er METRE MESAFLİYE KADAR KLF İÇNE ALNARAK YAPILACAKTR.
 3) 1, 3, 5, 7, 9, 11, 12, 13, 15, 17 NOLU HALATLAR İSE HİC KULFAMA YAPILMAYACAKTR.

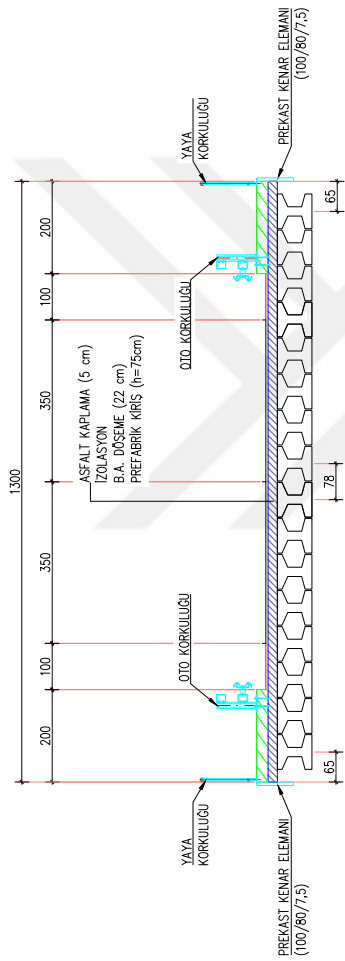


KULFAMA (DEBONDING) SEVİSİ
 1) 4, 6, 8, 14 ve 15 NOLU HALATLAR KİRİŞİN HER KUCUNDAKI MESNET ESENİNDEN 5,0 er METRE MESAFLİYE KADAR KLF İÇNE ALNARAK YAPILACAKTR.
 2) 2 ve 10 NOLU HALATLAR KİRİŞİN HER KUCUNDAKI MESNET ESENİNDE 2,65 er METRE MESAFLİYE KADAR KLF İÇNE ALNARAK YAPILACAKTR.
 3) 1, 3, 5, 7, 9, 11, 12, 13, 15, 17 NOLU HALATLAR İSE HİC KULFAMA YAPILMAYACAKTR.



KULFAMA (DEBONDING) SEVİSİ
 1) 4, 6, 8, 14 ve 15 NOLU HALATLAR KİRİŞİN HER KUCUNDAKI MESNET ESENİNDEN 5,0 er METRE MESAFLİYE KADAR KLF İÇNE ALNARAK YAPILACAKTR.
 2) 2 ve 10 NOLU HALATLAR KİRİŞİN HER KUCUNDAKI MESNET ESENİNDE 2,65 er METRE MESAFLİYE KADAR KLF İÇNE ALNARAK YAPILACAKTR.
 3) 1, 3, 5, 7, 9, 11, 12, 13, 15, 17 NOLU HALATLAR İSE HİC KULFAMA YAPILMAYACAKTR.

TİP1 KİRİŞİ-B ENKESİTİ



LEİAND :

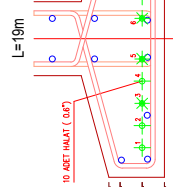
★ - KEFOR EDİLMİŞ (KLF İÇİ ALIMIS) HALAT

◆ - KEFOR EDİLEN (KLFSEZ) HALAT

○ - BE ÖRMEK DONATISI

ÖNGERİLENİKLİ KIRSİ BOYU (m)	KABLO SAYISI (adet)	YUMUSAK ÜST DONATI	KABLO BOYU (m)	KABLO AĞIRLIĞI (ton)	BETONARME DONATISI AĞIRLIĞI (ton)	BETON MİKTARI (m³)	TOPLAM AĞIRLIK (ton)
19	10	6Φ14	3040	3.85	38112	4,60	104,12
20	11	6Φ14	3520	4,46	39360	4,75	109,60
21	13	6Φ12	4368	5,53	41520	4,35	115,08
22	15	6Φ12	5280	6,69	43440	4,55	120,56
23	16	6Φ14	5888	7,46	45120	5,45	126,04
24	18	6Φ12	6912	8,75	49152	5,15	131,52
25	20	6Φ14	8000	10,13	51072	5,36	137,00

TİP1 KİRİŞİ ÜSTYAPI ENKESİTİ METRAJ TABLOSU



L=19m



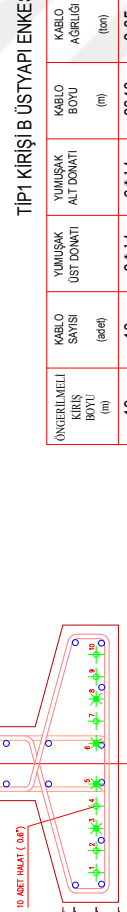
L=20m



L=21m



L=22m



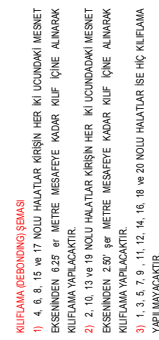
L=23m



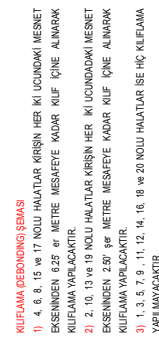
L=24m



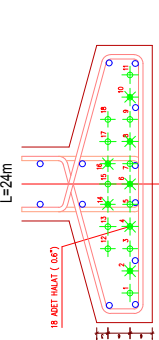
L=25m



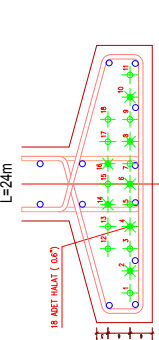
ÖNGERİME KABLOLARI YERLESİM DETAYI



ÖNGERİME KABLOLARI YERLESİM DETAYI



ÖNGERİME KABLOLARI YERLESİM DETAYI



ÖNGERİME KABLOLARI YERLESİM DETAYI

KLF KİFLİ (DEBONDING) SEVİSİ

KLF KİFLİ (DEBONDING) SEVİSİ

KLF KİFLİ (DEBONDING) SEVİSİ

KLF KİFLİ (DEBONDING) SEVİSİ

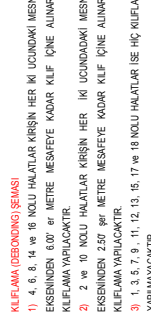
KLF KİFLİ (DEBONDING) SEVİSİ

KLF KİFLİ (DEBONDING) SEVİSİ

KLF KİFLİ (DEBONDING) SEVİSİ

KLF KİFLİ (DEBONDING) SEVİSİ

KLF KİFLİ (DEBONDING) SEVİSİ



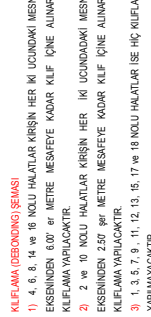
ÖNGERİME KABLOLARI YERLESİM DETAYI

KLF KİFLİ (DEBONDING) SEVİSİ

KLF KİFLİ (DEBONDING) SEVİSİ

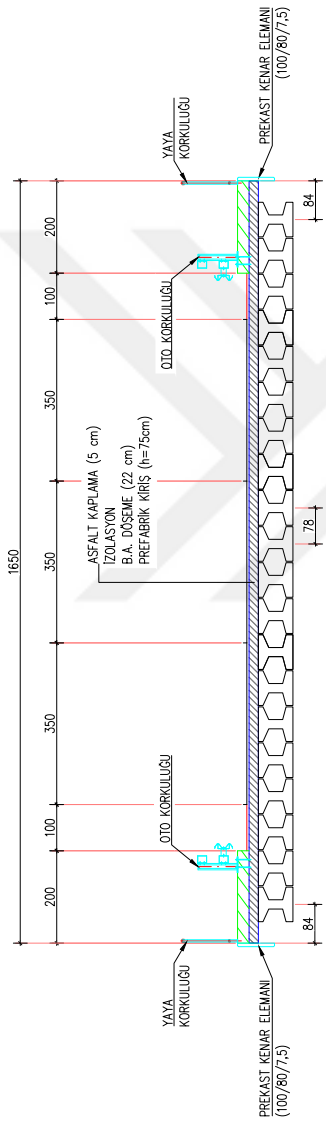
KLF KİFLİ (DEBONDING) SEVİSİ

KLF KİFLİ (DEBONDING) SEVİSİ



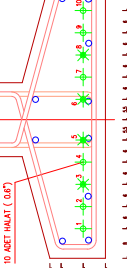
ÖNGERİME KABLOLARI YERLESİM DETAYI

TİP1 KİRİŞİ-C ENKESİTİ



TİP1 KİRİŞİ ÜSTYAPI ENKESİTİ METRAJ TABLOSU

ÖNGERİLENİELİ KABLO BOYU (m)	KABLO SAYISI (adet)	YUMUSAK ÜST DONATI	KABLO BOYU (m)	KABLO AĞIRLIĞI (ton)	BETONARME DONATISI BOYU (m)	BETONARME DONATISI AĞIRLIĞI (ton)	TOPLAM AĞIRLIK (ton)
19	10	60114	60112	4.81	4752.0	4.98	130,15
20	11	60114	60114	5.57	4920.0	5.94	137,00
21	13	60114	60112	6.91	5190.0	5.43	143,85
22	14	60114	60114	6160	7.80	5400.0	6.52
23	16	60114	60112	7360	9.32	5670.0	5.94
24	18	60114	60112	8640	10.94	6144.0	6.44
25	20	60114	60112	10000	12.66	6384.0	6.69



KILIFLAMA (DEĞONDING) SEMASI

- 1) 5 ve 8 NOLU HALATLAR KIRISIN HER İKİ UCLUNDAKI MESNET EKSİNDEN 5,50' er METRE MESAFEYE KODAR KULF İÇINE ALINARKA YAPLAÇACIKTR.
- 2) 3 ve 10 NOLU HALATLAR KIRISIN HER İKİ UCLUNDAKI MESNET EKSİNDEN 5,50' er METRE MESAFEYE KODAR KULF İÇINE ALINARKA YAPLAÇACIKTR.
- 3) 1, 2, 4, 6, 8, 10, 11, 12 ve 14 NOLU HALATLAR İSE HÇ KILIFLAMA YAPILMAYACACIKTR.

ÖNGERME KABLOLARI YERLEŞİM DETAYI



KILIFLAMA (DEĞONDING) SEMASI

- 1) 4, 6, 8, 13 ve 15 NOLU HALATLAR KIRISIN HER İKİ UCLUNDAKI MESNET EKSİNDEN 5,50' er METRE MESAFEYE KODAR KULF İÇINE ALINARKA YAPLAÇACIKTR.
- 2) 1 ve 10 NOLU HALATLAR KIRISIN HER İKİ UCLUNDAKI MESNET EKSİNDEN 2,50' ser METRE MESAFEYE KODAR KULF İÇINE ALINARKA YAPLAÇACIKTR.
- 3) 1, 3, 5, 7, 9, 11, 12, 14 ve 16 NOLU HALATLAR İSE HÇ KILIFLAMA YAPILMAYACACIKTR.

ÖNGERME KABLOLARI YERLEŞİM DETAYI

KILIFLAMA (DEĞONDING) SEMASI

- 1) 4, 6, 8, 14 ve 16 NOLU HALATLAR KIRISIN HER İKİ UCLUNDAKI MESNET EKSİNDEN 5,50' er METRE MESAFEYE KODAR KULF İÇINE ALINARKA YAPLAÇACIKTR.
- 2) 1, 10 ve 19 NOLU HALATLAR KIRISIN HER İKİ UCLUNDAKI MESNET EKSİNDEN 2,50' ser METRE MESAFEYE KODAR KULF İÇINE ALINARKA YAPLAÇACIKTR.
- 3) 1, 3, 5, 7, 9, 11, 12, 14, 16, 18 ve 18 NOLU HALATLAR İSE HÇ KILIFLAMA YAPILMAYACACIKTR.

KILIFLAMA (DEĞONDING) SEMASI

- 1) 4, 6, 8, 13 ve 15 NOLU HALATLAR KIRISIN HER İKİ UCLUNDAKI MESNET EKSİNDEN 5,50' er METRE MESAFEYE KODAR KULF İÇINE ALINARKA YAPLAÇACIKTR.
- 2) 1 ve 10 NOLU HALATLAR KIRISIN HER İKİ UCLUNDAKI MESNET EKSİNDEN 2,50' ser METRE MESAFEYE KODAR KULF İÇINE ALINARKA YAPLAÇACIKTR.
- 3) 1, 3, 5, 7, 9, 11, 12, 14 ve 16 NOLU HALATLAR İSE HÇ KILIFLAMA YAPILMAYACACIKTR.

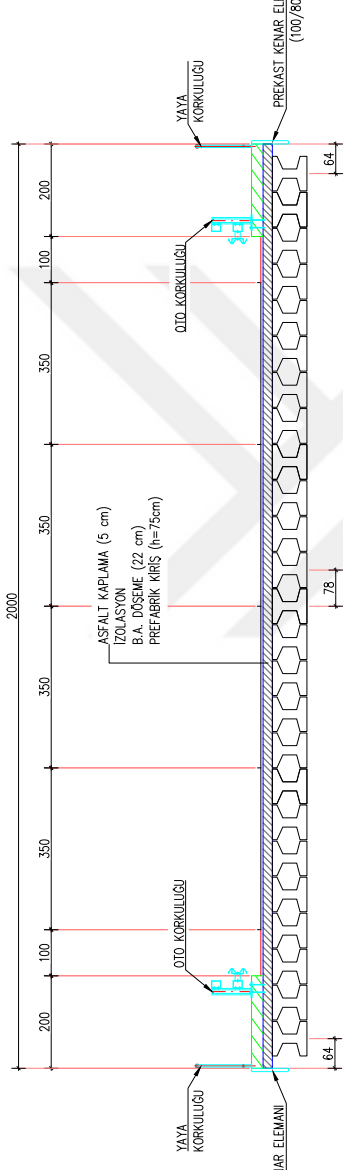
KILIFLAMA (DEĞONDING) SEMASI

- 1) 4, 6, 8, 13 ve 15 NOLU HALATLAR KIRISIN HER İKİ UCLUNDAKI MESNET EKSİNDEN 5,50' er METRE MESAFEYE KODAR KULF İÇINE ALINARKA YAPLAÇACIKTR.
- 2) 1 ve 10 NOLU HALATLAR KIRISIN HER İKİ UCLUNDAKI MESNET EKSİNDEN 2,50' ser METRE MESAFEYE KODAR KULF İÇINE ALINARKA YAPLAÇACIKTR.
- 3) 1, 3, 5, 7, 9, 11, 12, 14 ve 16 NOLU HALATLAR İSE HÇ KILIFLAMA YAPILMAYACACIKTR.

KILIFLAMA (DEĞONDING) SEMASI

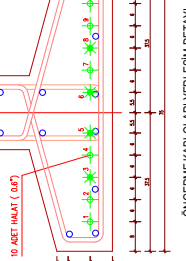
- 1) 4, 6, 8, 13 ve 15 NOLU HALATLAR KIRISIN HER İKİ UCLUNDAKI MESNET EKSİNDEN 5,50' er METRE MESAFEYE KODAR KULF İÇINE ALINARKA YAPLAÇACIKTR.
- 2) 1, 10 ve 19 NOLU HALATLAR KIRISIN HER İKİ UCLUNDAKI MESNET EKSİNDEN 2,50' ser METRE MESAFEYE KODAR KULF İÇINE ALINARKA YAPLAÇACIKTR.
- 3) 1, 3, 5, 7, 9, 11, 12, 14 ve 16 NOLU HALATLAR İSE HÇ KILIFLAMA YAPILMAYACACIKTR.

TİP1 KİRİŞİ-D ENKESİTİ

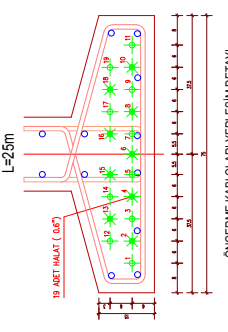


TİP1 KİRİŞİ-D ÜSTYAPI ENKESİTİ METRAJ TABLOSU

ÖNGERİLENİELİ KABLO BOYU (m)	KABLO SAYISI (adet)	YUMUSAK ÜST DONATI	KABLO BOYU (m)	BETONARME DONATISI AĞIRLIĞI (ton)	BETON MİKTARI (ton)	TOPLAM AĞIRLIK (ton)
19	10	6Φ14	6Φ12	4750	6,01	59400
20	11	6Φ14	6Φ12	5500	6,96	6187,5
21	12	6Φ14	6Φ14	6300	7,98	6450,0
22	14	6Φ14	6Φ12	7700	9,75	6787,5
23	16	6Φ14	6Φ12	9200	11,65	7087,5
24	18	6Φ14	6Φ12	10800	13,67	7680,0
25	19	6Φ14	6Φ12	11875	15,04	7980,0



ÖNGERME KABLOLARI YERLEŞİM DETAYI
L=20m



ÖNGERME KABLOLARI YERLEŞİM DETAYI
L=25m

KULFAMA (DEBONDING) SEMASI

- 1) 4, 6 ve 8 NOLU HALATLAR KIRŞIN HER İKİ UÇUNDAKI MESNET ESENİNİNDEN 5,25 m² METRE MESAFELYE KADAR KULF İÇİ ALINARKA YAPLAÇACAKTR.
- 2) 2 ve 10 NOLU HALATLAR KIRŞIN HER İKİ UÇUNDAKI MESNET ESENİNDE 2,50 m² METRE MESAFELYE KADAR KULF İÇİ ALINARKA YAPLAÇACAKTR.
- 3) 1, 5, 5,7, 9, 11, 12, 13, 15, 17 ve 18 NOLU HALATLAR İSE HİC KULFAMA YAPILAMAYACAKTR.

KULFAMA (DEBONDING) SEMASI

- 1) 4, 6, 8, 10 ve 12 NOLU HALATLAR KIRŞIN HER İKİ UÇUNDAKI MESNET ESENİNİNDEN 6,00 m² METRE MESAFELYE KADAR KULF İÇİ ALINARKA YAPLAÇACAKTR.
- 2) 2 ve 10 NOLU HALATLAR KIRŞIN HER İKİ UÇUNDAKI MESNET ESENİNDE 2,50 m² METRE MESAFELYE KADAR KULF İÇİ ALINARKA YAPLAÇACAKTR.
- 3) 1, 3, 5, 7, 9, 11, 12, 14 ve 16 NOLU HALATLAR İSE HİC KULFAMA YAPILAMAYACAKTR.

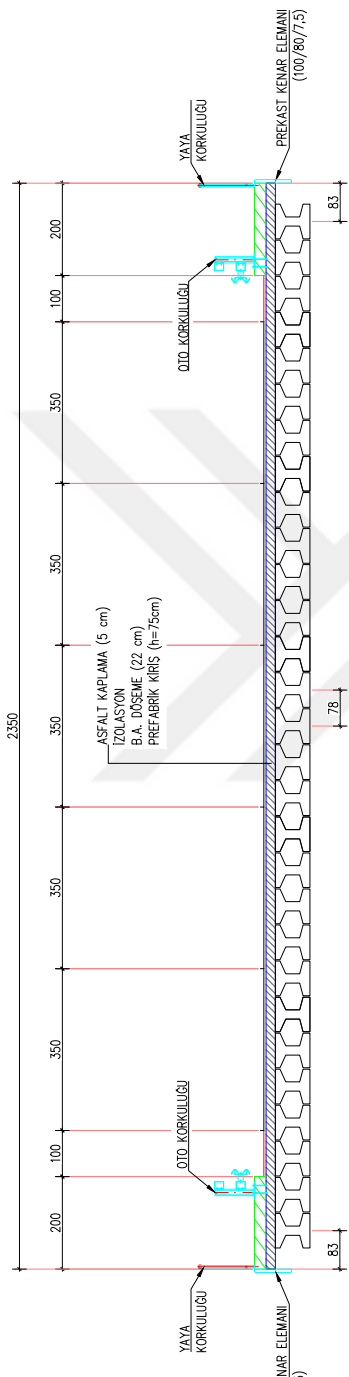
KULFAMA (DEBONDING) SEMASI

- 1) 4, 6 ve 8 NOLU HALATLAR KIRŞIN HER İKİ UÇUNDAKI MESNET ESENİNDE 5,50 m² METRE MESAFELYE KADAR KULF İÇİ ALINARKA YAPLAÇACAKTR.
- 2) 2 ve 10 NOLU HALATLAR KIRŞIN HER İKİ UÇUNDAKI MESNET ESENİNDE 2,50 m² METRE MESAFELYE KADAR KULF İÇİ ALINARKA YAPLAÇACAKTR.
- 3) 1, 2, 4, 7, 9 ve 11 NOLU HALATLAR İSE HİC KULFAMA YAPILAMAYACAKTR.

KULFAMA (DEBONDING) SEMASI

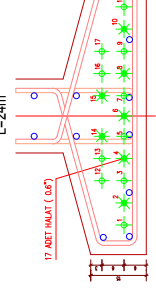
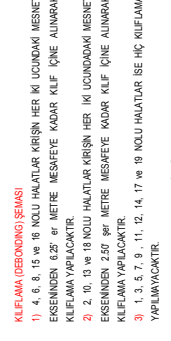
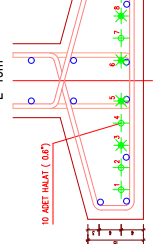
- 1) 4, 6, 8, 10 ve 12 NOLU HALATLAR KIRŞIN HER İKİ UÇUNDAKI MESNET ESENİNİNDEN 6,00 m² METRE MESAFELYE KADAR KULF İÇİ ALINARKA YAPLAÇACAKTR.
- 2) 2 ve 10 NOLU HALATLAR KIRŞIN HER İKİ UÇUNDAKI MESNET ESENİNDE 2,50 m² METRE MESAFELYE KADAR KULF İÇİ ALINARKA YAPLAÇACAKTR.
- 3) 1, 3, 5, 7, 9, 11, 12, 13, 15, 17 ve 18 NOLU HALATLAR İSE HİC KULFAMA YAPILAMAYACAKTR.

TİP1 KİRİŞİ-E ENKESİTİ



TİP1 KİRİŞİ-E ÜSTYAPı ENKESİTİ METRAJ TABLOSU

ÖNGERİLENİMLİ KABLO BOYU (m)	KABLO SAYISI (adet)	YUMUSAK ÜST DONATI	KABLO BOYU (m)	KABLO AĞIRLIĞI (ton)	BETONARME DONATISI BOYU (m)	BETONARME DONATISI AĞIRLIĞI (ton)	TOPLAM AĞIRLIK (ton)			
19	10	6Φ14	6Φ12	5510	6,98	6890,4	7,22	188,72	471,79	485,99
20	11	6Φ14	6Φ12	6380	8,08	7177,5	7,52	198,65	496,63	512,22
21	12	6Φ14	6Φ14	7308	9,25	7482,0	9,04	208,58	521,46	539,75
22	14	6Φ14	6Φ12	8932	11,31	7873,5	8,24	218,52	546,29	565,84
23	16	6Φ14	6Φ12	10672	13,51	8221,5	8,61	228,45	571,12	593,24
24	17	6Φ14	6Φ12	11832	14,98	8908,8	9,34	238,38	595,95	620,27
25	19	6Φ14	6Φ12	13775	17,44	9256,8	9,71	248,31	620,78	647,93



KLF İLANA (DEBONDING) SEMASI

1) 5 ve 8 NOLU HALATLAR KİRSİN HER Kİ UÇUNDAKI MESNET ESENİNEN 4,50 m METRE MESAFLİYE KADAR KLF İÇİNE ALNARAK YAPILACAKTR.
2) 3 ve 9 NOLU HALATLAR KİRSİN HER Kİ UÇUNDAKI MESNET ESENİNEN 2,50 m METRE MESAFLİYE KADAR KLF İÇİNE ALNARAK YAPILACAKTR.
3) 1,2,4,7,9 ve 10 NOLU HALATLAR İSE HİC KLF İLANA YAPILMAYACAKTR.

KLF İLANA (DEBONDING) SEMASI

1) 4,6,8,13 ve 15 NOLU HALATLAR KİRSİN HER Kİ UÇUNDAKI MESNET ESENİNEN 6,00 m METRE MESAFLİYE KADAR KLF İÇİNE ALNARAK YAPILACAKTR.
2) 2 ve 10 NOLU HALATLAR KİRSİN HER Kİ UÇUNDAKI MESNET ESENİNEN 2,50 m METRE MESAFLİYE KADAR KLF İÇİNE ALNARAK YAPILACAKTR.
3) 1,3,5,7,9,11,12,13,15,16 ve 17 NOLU HALATLAR İSE HİC KLF İLANA YAPILMAYACAKTR.

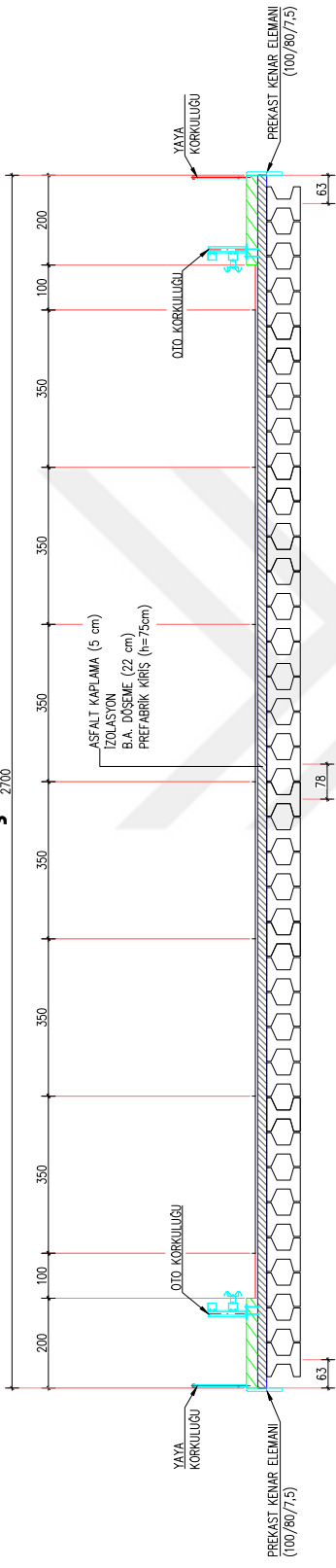
KLF İLANA (DEBONDING) SEMASI

1) 4,6,8,14 ve 15 NOLU HALATLAR KİRSİN HER Kİ UÇUNDAKI MESNET ESENİNEN 6,00 m METRE MESAFLİYE KADAR KLF İÇİNE ALNARAK YAPILACAKTR.
2) 2 ve 10 NOLU HALATLAR KİRSİN HER Kİ UÇUNDAKI MESNET ESENİNEN 2,50 m METRE MESAFLİYE KADAR KLF İÇİNE ALNARAK YAPILACAKTR.
3) 1,3,5,7,9,11,12,13,15,16 ve 17 NOLU HALATLAR İSE HİC KLF İLANA YAPILMAYACAKTR.

KLF İLANA (DEBONDING) SEMASI

1) 4,6,8,13 ve 15 NOLU HALATLAR KİRSİN HER Kİ UÇUNDAKI MESNET ESENİNEN 6,00 m METRE MESAFLİYE KADAR KLF İÇİNE ALNARAK YAPILACAKTR.
2) 2 ve 10 NOLU HALATLAR KİRSİN HER Kİ UÇUNDAKI MESNET ESENİNEN 2,50 m METRE MESAFLİYE KADAR KLF İÇİNE ALNARAK YAPILACAKTR.
3) 1,3,5,7,9,11,12,13,15,16 ve 17 NOLU HALATLAR İSE HİC KLF İLANA YAPILMAYACAKTR.

TİP1 KİRİŞİ-F ENKESİTİ



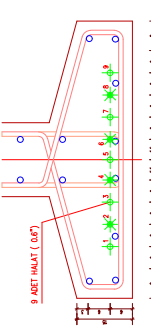
LEJAND :

★ - PERONDİ DEĞİŞİM (KULUF İÇİ ALIMIS) HALAT
◆ - PERONDİ DEĞİŞİM (KULUF İÇİ) HALAT
○ - BE ÜNİTE DONATISI

TİP1 KİRİŞİ-F ÜSTYAPı ENKESİTİ METRAJ TABLOSU

ÖNGERİLƏNLİ KABLO BOYU (m)	KABLO SAYISI (adet)	YUMUSAK ÜST DONATI	KABLO BOYU (m)	KABLO AĞRLIĞI (ton)	BETONARME DONATISI BOYU (m)	BETONARME DONATISI AĞRLIĞI (ton)	BETON MİKTARI (m³)	BETON AĞRLIĞI (ton)	TOPLAM AĞRLIK (ton)
19	9	6Φ12	6Φ16	5814	7,36	8098,8	10,00	221,26	553,14
20	11	6Φ14	6Φ12	7480	9,47	8415,0	8,81	232,90	582,25
21	12	6Φ14	6Φ14	8568	10,85	8772,0	10,60	244,55	611,36
22	14	6Φ14	6Φ12	10472	13,26	9231,0	9,67	256,19	640,48
23	15	6Φ14	6Φ14	11730	14,85	9598,0	11,58	267,84	669,59
24	17	6Φ14	6Φ12	13672	17,56	10444,8	10,95	279,48	698,70
25	19	6Φ14	6Φ12	16150	20,45	10852,8	11,38	291,13	727,81

ÖNGERME KABLOLARI YERLESİM DETAYI

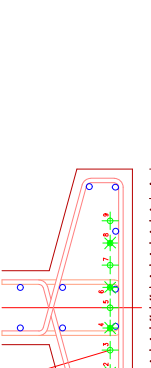


KULUFAMA (DEBONDING) ŞEAMS
1) 4 ve 8 NOLU HALATLAR KIRISIN HER İKİ UÇUNDAKI MESNET EKSİNDEN 5,07 er METRE MESAFESİ KARAR KULUF İÇİNDE ALNARAK YAPILACAKTR.
2) 2 re 10 NOLU HALATLAR KIRISIN HER İKİ UÇUNDAKI MESNET EKSİNDEN 5,97 er METRE MESAFESİ KARAR KULUF İÇİNDE ALNARAK YAPILACAKTR.
3) 1, 3, 5, 7, 9 ve 11 NOLU HALATLAR İSE HİC KULUFAMA YAPILAMAYACAKTR.

KULUFAMA (DEBONDING) ŞEAMS
1) 4, 6 ve 8 NOLU HALATLAR KIRISIN HER İKİ UÇUNDAKI MESNET EKSİNDEN 5,25 er METRE MESAFESİ KARAR KULUF İÇİNDE ALNARAK YAPILACAKTR.
2) 2 re 10 NOLU HALATLAR KIRISIN HER İKİ UÇUNDAKI MESNET EKSİNDEN 5,97 er METRE MESAFESİ KARAR KULUF İÇİNDE ALNARAK YAPILACAKTR.
3) 1, 4, 6, 8, 10, 11, 12 ve 15 NOLU HALATLAR İSE HİC KULUFAMA YAPILAMAYACAKTR.

KULUFAMA (DEBONDING) ŞEAMS
1) 4, 6, 8, 13 ve 14 NOLU HALATLAR KIRISIN HER İKİ UÇUNDAKI MESNET EKSİNDEN 6,07 er METRE MESAFESİ KARAR KULUF İÇİNDE ALNARAK YAPILACAKTR.
2) 2 re 10 NOLU HALATLAR KIRISIN HER İKİ UÇUNDAKI MESNET EKSİNDEN 5,97 er METRE MESAFESİ KARAR KULUF İÇİNDE ALNARAK YAPILACAKTR.
3) 1, 3, 5, 7, 9, 11, 12, 13, 16 ve 17 NOLU HALATLAR İSE HİC KULUFAMA YAPILAMAYACAKTR.

KULUFAMA (DEBONDING) ŞEAMS

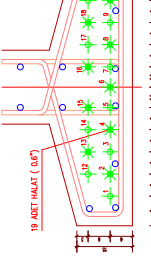


KULUFAMA (DEBONDING) ŞEAMS
1) 4, 6 ve 8 NOLU HALATLAR KIRISIN HER İKİ UÇUNDAKI MESNET EKSİNDEN 5,07 er METRE MESAFESİ KARAR KULUF İÇİNDE ALNARAK YAPILACAKTR.
2) 2 re 10 NOLU HALATLAR KIRISIN HER İKİ UÇUNDAKI MESNET EKSİNDEN 5,97 er METRE MESAFESİ KARAR KULUF İÇİNDE ALNARAK YAPILACAKTR.
3) 1, 3, 5, 7, 9 ve 11 NOLU HALATLAR İSE HİC KULUFAMA YAPILAMAYACAKTR.

KULUFAMA (DEBONDING) ŞEAMS
1) 4, 6, 8, 13 ve 14 NOLU HALATLAR KIRISIN HER İKİ UÇUNDAKI MESNET EKSİNDEN 5,25 er METRE MESAFESİ KARAR KULUF İÇİNDE ALNARAK YAPILACAKTR.
2) 2 re 10 NOLU HALATLAR KIRISIN HER İKİ UÇUNDAKI MESNET EKSİNDEN 5,97 er METRE MESAFESİ KARAR KULUF İÇİNDE ALNARAK YAPILACAKTR.
3) 1, 3, 5, 7, 9, 11, 12 ve 15 NOLU HALATLAR İSE HİC KULUFAMA YAPILAMAYACAKTR.

KULUFAMA (DEBONDING) ŞEAMS
1) 4, 6, 8, 13 ve 14 NOLU HALATLAR KIRISIN HER İKİ UÇUNDAKI MESNET EKSİNDEN 6,07 er METRE MESAFESİ KARAR KULUF İÇİNDE ALNARAK YAPILACAKTR.
2) 2 re 10 NOLU HALATLAR KIRISIN HER İKİ UÇUNDAKI MESNET EKSİNDEN 5,97 er METRE MESAFESİ KARAR KULUF İÇİNDE ALNARAK YAPILACAKTR.
3) 1, 3, 5, 7, 9, 11, 12, 13, 16 ve 17 NOLU HALATLAR İSE HİC KULUFAMA YAPILAMAYACAKTR.

KULUFAMA (DEBONDING) ŞEAMS

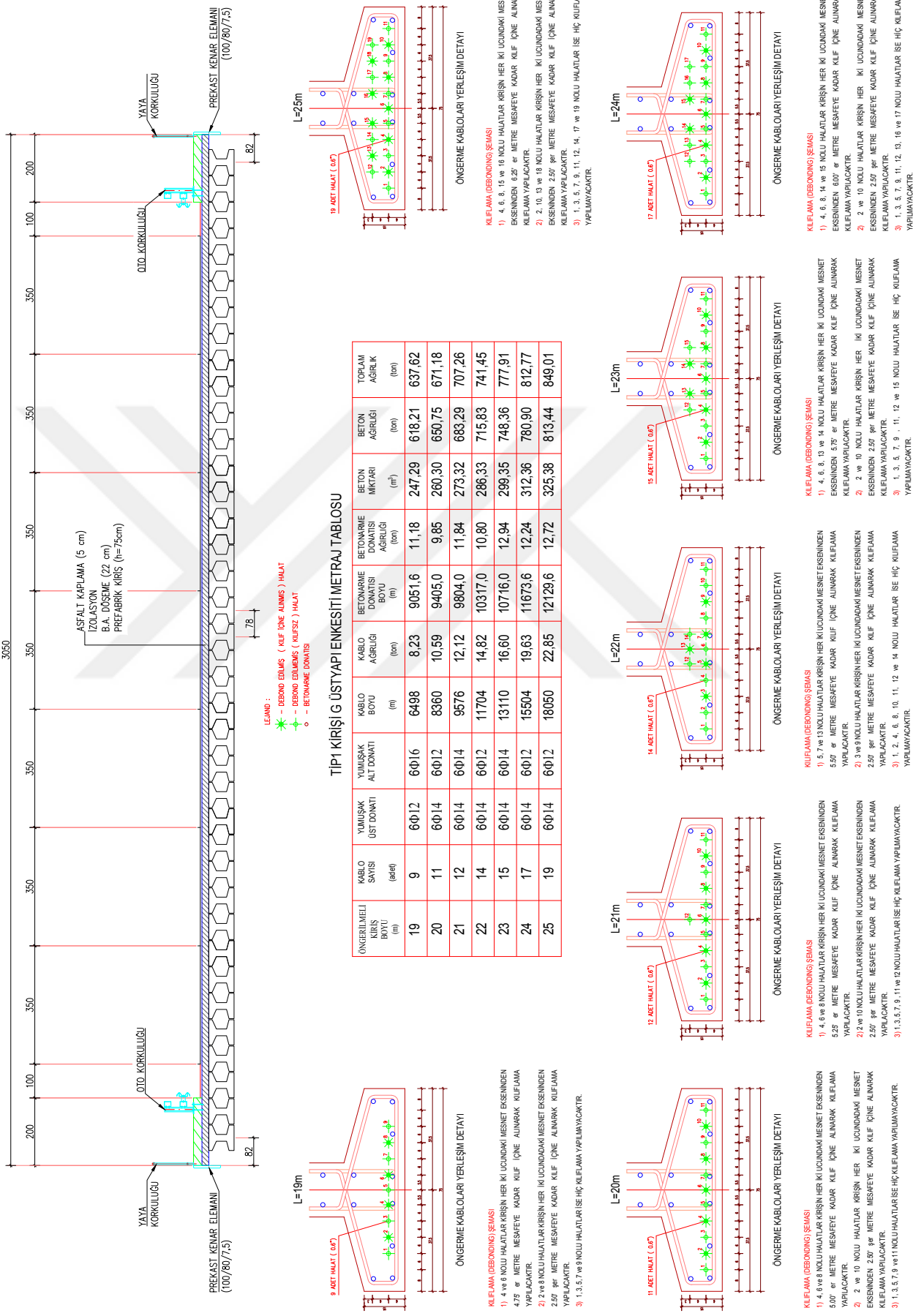


KULUFAMA (DEBONDING) ŞEAMS
1) 4, 6 ve 8 NOLU HALATLAR KIRISIN HER İKİ UÇUNDAKI MESNET EKSİNDEN 5,07 er METRE MESAFESİ KARAR KULUF İÇİNDE ALNARAK YAPILACAKTR.
2) 2 re 10 NOLU HALATLAR KIRISIN HER İKİ UÇUNDAKI MESNET EKSİNDEN 5,97 er METRE MESAFESİ KARAR KULUF İÇİNDE ALNARAK YAPILACAKTR.
3) 1, 3, 5, 7, 9 ve 11 NOLU HALATLAR İSE HİC KULUFAMA YAPILAMAYACAKTR.

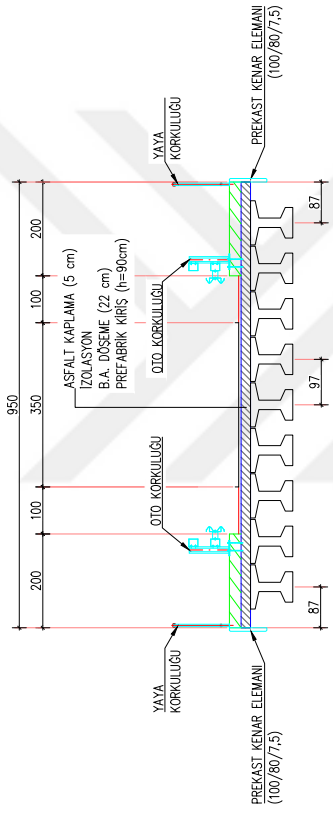
KULUFAMA (DEBONDING) ŞEAMS
1) 4, 6, 8, 13 ve 14 NOLU HALATLAR KIRISIN HER İKİ UÇUNDAKI MESNET EKSİNDEN 5,25 er METRE MESAFESİ KARAR KULUF İÇİNDE ALNARAK YAPILACAKTR.
2) 2 re 10 NOLU HALATLAR KIRISIN HER İKİ UÇUNDAKI MESNET EKSİNDEN 5,97 er METRE MESAFESİ KARAR KULUF İÇİNDE ALNARAK YAPILACAKTR.
3) 1, 3, 5, 7, 9, 11, 12, 14, 17 ve 19 NOLU HALATLAR İSE HİC KULUFAMA YAPILAMAYACAKTR.

KULUFAMA (DEBONDING) ŞEAMS
1) 4, 6, 8, 13 ve 14 NOLU HALATLAR KIRISIN HER İKİ UÇUNDAKI MESNET EKSİNDEN 6,07 er METRE MESAFESİ KARAR KULUF İÇİNDE ALNARAK YAPILACAKTR.
2) 2 re 10 NOLU HALATLAR KIRISIN HER İKİ UÇUNDAKI MESNET EKSİNDEN 5,97 er METRE MESAFESİ KARAR KULUF İÇİNDE ALNARAK YAPILACAKTR.
3) 1, 3, 5, 7, 9, 11, 12, 14, 17 ve 19 NOLU HALATLAR İSE HİC KULUFAMA YAPILAMAYACAKTR.

TİP1 KİRİŞİ-G ENKESİTİ

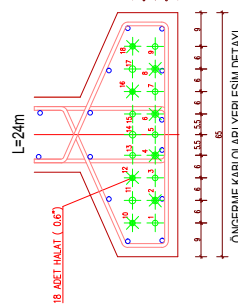


TİP2 KİRİŞİ-A ENKESTİ



TİP2 KİRİŞİ-A ÜSTYAPI ENKESTİ METRAJ TABLOSU

ONGERÜMLÜ KIRS BÖYÜ (m)	KABLO SAYISI (adet)	YUMUSAK ÜSTDONATI	YUMUSAK ALT DONATI	KABLO BOYU (m)	KABLO AĞIRLIĞI (kg)	BETONarme DONATISI BOYU (m)	BETONarme DONATISI AĞIRLIĞI (kg)	BETON MİKTARI (m³)	BETON AĞIRLIĞI (ton)	TOPLAM AĞIRLIĞI (ton)
24	18	8φ14	6φ12	3888	4.92	3227,4	3,46	81,67	204,18	212,56
25	20	8φ14	6φ14	4500	5,70	3364,2	4,06	85,07	212,88	222,44
26	21	8φ14	6φ16	4914	6,22	3501,0	4,79	88,48	221,19	232,20
27	-	-	-	-	-	-	-	-	-	-

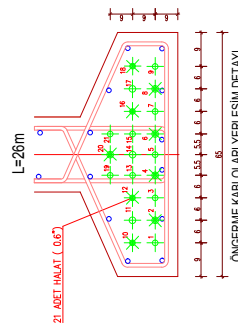


KULFLAMA (DEBONDING) SEVİSİ

1) 4, 6, 12 ve 16 NOLU HALATLAR KIRSİN HER İKİ UÇUNDAKI MESNET EKİSENİNDEN 100/130 mm METRE MESAFESİYE KADAR KLF İÇİNE ALNARAK KULFLAMA YAPILACAKTR.

2) 2, 8, 10 ve 18 NOLU HALATLAR KIRSİN HER İKİ UÇUNDAKI MESNET EKİSENİNDEN 250 mm METRE MESAFESİYE KADAR KLF İÇİNE ALNARAK KULFLAMA YAPILACAKTR.

3) 1, 3, 5, 7, 9, 11, 13, 14, 15, 17 ve 20 NOLU HALATLAR İSE HÇ KULFLAMA YAPILMAYACAKTR.



KULFLAMA (DEBONDING) SEVİSİ

1) 4, 6, 12, 16 ve 20 NOLU HALATLAR KIRSİN HER İKİ UÇUNDAKI MESNET EKİSENİNDEN 150/180 mm METRE MESAFESİYE KADAR KLF İÇİNE ALNARAK KULFLAMA YAPILACAKTR.

2) 2, 8, 10 ve 18 NOLU HALATLAR KIRSİN HER İKİ UÇUNDAKI MESNET EKİSENİNDEN 350 mm METRE MESAFESİYE KADAR KLF İÇİNE ALNARAK KULFLAMA YAPILACAKTR.

3) 1, 3, 5, 7, 9, 11, 13, 14, 15, 17, 19 ve 21 NOLU HALATLAR İSE HÇ KULFLAMA YAPILMAYACAKTR.



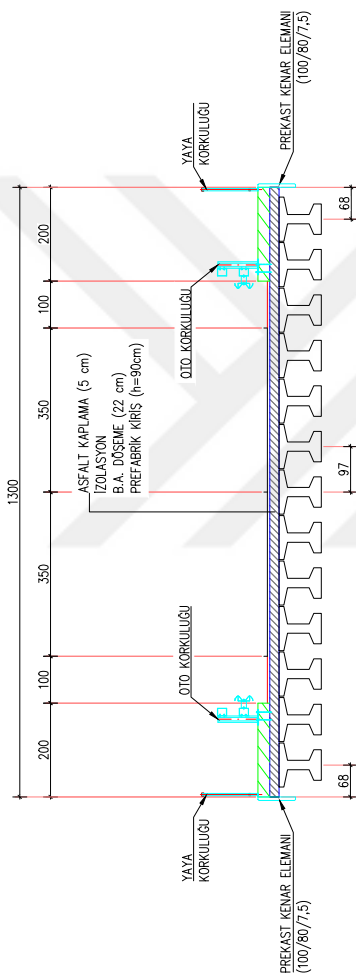
KULFLAMA (DEBONDING) SEVİSİ

1) 4, 6, 12 ve 20 NOLU HALATLAR KIRSİN HER İKİ UÇUNDAKI MESNET EKİSENİNDEN 150/180 mm METRE MESAFESİYE KADAR KLF İÇİNE ALNARAK KULFLAMA YAPILACAKTR.

2) 2, 8, 10 ve 18 NOLU HALATLAR KIRSİN HER İKİ UÇUNDAKI MESNET EKİSENİNDEN 350 mm METRE MESAFESİYE KADAR KLF İÇİNE ALNARAK KULFLAMA YAPILACAKTR.

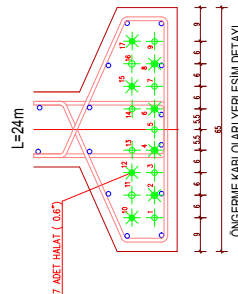
3) 1, 3, 5, 7, 9, 11, 13, 14, 15, 17, 19 ve 21 NOLU HALATLAR İSE HÇ KULFLAMA YAPILMAYACAKTR.

TİP2 KİRİŞİ-B ENKESİTİ



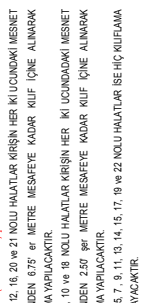
TİP2 KİRİŞİ-B ÜSTYAPI ENKESİTİ METRAJ TABLOSU

ÖNGERÜLMELİ KIRIS BOYU (m)	KABLO SAYISI (adet)	YUMUSAK ÜST DONATI	KABLO BOYU (m)	KABLO AĞIRLIĞI (ton)	BETONarme DONATISI AĞIRLIĞI (ton)	BETON MIKTARI (m³)	BETON AĞIRLIĞI (ton)
24	17	8Φ14	6Φ14	5304	6.72	4677.4	5.65
25	19	8Φ14	6Φ12	6175	7.82	4843.8	5.19
26	21	8Φ14	6Φ12	7098	8.99	5025.8	5.38
27	22	8Φ14	6Φ16	7722	9.78	5239.0	7.16

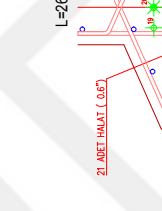


KUFİAMA (DEBONDING) ŞEAMSİ
 1) 4, 6, 12 ve 15 YOLU HALATLAR KİRİŞİN HER IKİ UCUNDAKI MESNET EKİSENİNDEN 600^{sr} METRE MESAFESİYE KADAR KUF İÇİ ALINARAK KUFİAMA APЛАКАТTR.
 2) 8, 10 ve 17 YOLU HALATLAR KİRİŞİN HER IKİ UCUNDAKI MESNET EKİSENİNDEN 250^{sr} METRE MESAFESİYE KADAR KUF İÇİ ALINARAK KUFİAMA YAPLAÇAKTR.
 3) 1, 3, 5, 7, 9, 11, 13, 14, ve 16 YOLU HALATLAR İSE HÇ KUFİAMA YAPILAMAYACAKTR.

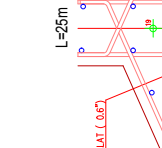
KUFİAMA (DEBONDING) ŞEAMSİ



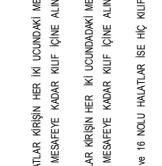
KUFİAMA (DEBONDING) ŞEAMSİ
 1) 4, 6, 12, 16 ve 21 YOLU HALATLAR KİRİŞİN HER IKİ UCUNDAKI MESNET EKİSENİNDEN 675^{sr} METRE MESAFESİYE KADAR KUF İÇİ ALINARAK KUFİAMA YAPLAÇAKTR.
 2) 8, 10 ve 18 YOLU HALATLAR KİRİŞİN HER IKİ UCUNDAKI MESNET EKİSENİNDEN 250^{sr} METRE MESAFESİYE KADAR KUF İÇİ ALINARAK KUFİAMA YAPLAÇAKTR.
 3) 1, 3, 5, 7, 11, 13, 14, 15, 17, 19 ve 22 YOLU HALATLAR İSE HÇ KUFİAMA YAPILAMAYACAKTR.



KUFİAMA (DEBONDING) ŞEAMSİ
 1) 4, 6, 12, 16 ve 20 YOLU HALATLAR KİRİŞİN HER IKİ UCUNDAKI MESNET EKİSENİNDEN 600^{sr} METRE MESAFESİYE KADAR KUF İÇİ ALINARAK KUFİAMA YAPLAÇAKTR.
 2) 8, 10 ve 18 YOLU HALATLAR KİRİŞİN HER IKİ UCUNDAKI MESNET EKİSENİNDEN 250^{sr} METRE MESAFESİYE KADAR KUF İÇİ ALINARAK KUFİAMA YAPLAÇAKTR.

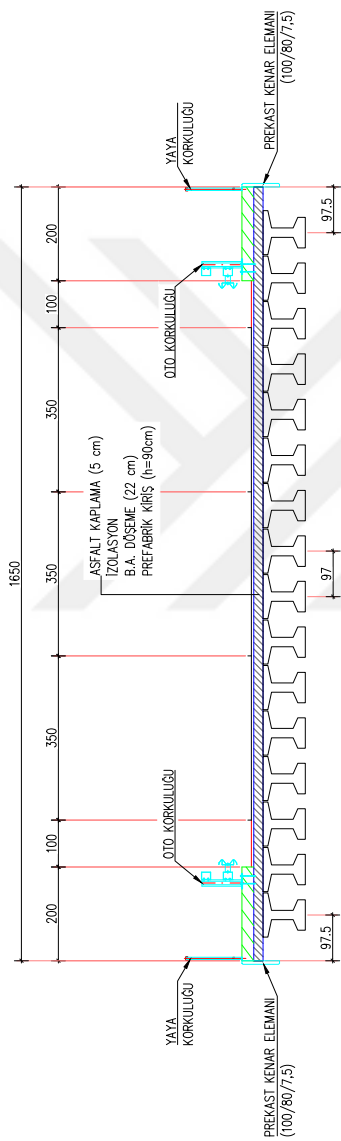


KUFİAMA (DEBONDING) ŞEAMSİ
 1) 4, 6, 12, 16 ve 20 YOLU HALATLAR KİRİŞİN HER IKİ UCUNDAKI MESNET EKİSENİNDEN 600^{sr} METRE MESAFESİYE KADAR KUF İÇİ ALINARAK KUFİAMA YAPLAÇAKTR.
 2) 8, 10 ve 18 YOLU HALATLAR KİRİŞİN HER IKİ UCUNDAKI MESNET EKİSENİNDEN 250^{sr} METRE MESAFESİYE KADAR KUF İÇİ ALINARAK KUFİAMA YAPLAÇAKTR.



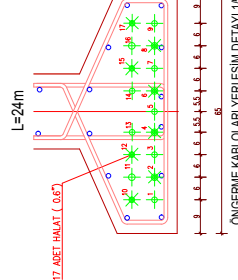
KUFİAMA (DEBONDING) ŞEAMSİ
 1) 4, 6, 12, 16 ve 20 YOLU HALATLAR KİRİŞİN HER IKİ UCUNDAKI MESNET EKİSENİNDEN 600^{sr} METRE MESAFESİYE KADAR KUF İÇİ ALINARAK KUFİAMA YAPLAÇAKTR.
 2) 8, 10 ve 18 YOLU HALATLAR KİRİŞİN HER IKİ UCUNDAKI MESNET EKİSENİNDEN 250^{sr} METRE MESAFESİYE KADAR KUF İÇİ ALINARAK KUFİAMA YAPLAÇAKTR.

TİP2 KİRİŞİ-C ENKESİTİ



TİP2 KİRİŞİ-C ÜSTYAPI ENKESİTİ METRAJ TABLOSU

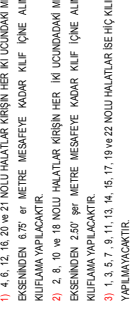
ONGERÜMLÜ KİRİŞ BOYU (m)	KABLO SAYISI (adet)	YUMUSAK ÜST DONATI	KABLO BOYU (m)	KABLO AGIRLIĞI (ton)	BETONARME DONATISI BOYU (m)	BETONARME AGIRLIĞI (ton)	BETON MIKTARI (m³)	BETON AGIRLIĞI (ton)	TOPLAM AGIRLIK (ton)
24	17	8Φ14	6Φ12	6528	8.27	5737.6	6.15	145.19	362.98
25	19	8Φ14	6Φ12	7600	9.62	5961.6	6.39	151.24	378.10
26	21	8Φ14	6Φ12	8736	11.06	6185.6	6.63	157.29	393.23
27	22	8Φ14	6Φ14	9504	12.03	6428.8	7.77	163.34	408.35
									428.15



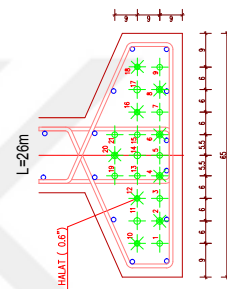
ONGERME KABLOLARI YERLEŞİM DETAYI 1/5

KUF LİANA (DEBONDING) SEVİSİ

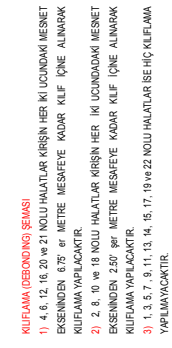
- 4, 6, 12 ve 15 NOLU HALATLAR KİRİŞİN HER İKİ UÇUNDAKI MESNET EKİSENİNDEN 6.07'ER METRE MESAFLİYE KADAR KUF İÇİ ALINARAK KUF LİANA YAPILACAKTR.
- 2, 8, 10 ve 17 NOLU HALATLAR KİRİŞİN HER İKİ UÇUNDAKI MESNET EKİSENİNDEN 2.50'ER METRE MESAFLİYE KADAR KUF İÇİ ALINARAK KUF LİANA YAPILACAKTR.
- 1, 3, 5, 7, 9, 11, 13, 14, ve 16 NOLU HALATLAR İSE HÇ KUF LİANA YAPILMAYACAKTR.



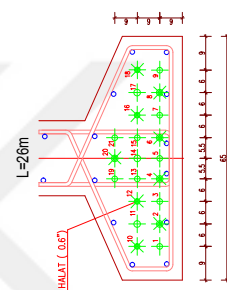
ONGERME KABLOLARYERLEŞİM DETAYI 1/5



- KUF LİANA (DEBONDING) SEVİSİ**
- 4, 6, 12 ve 16 NOLU HALATLAR KİRİŞİN HER İKİ UÇUNDAKI MESNET EKİSENİNDEN 6.25'ER METRE MESAFLİYE KADAR KUF İÇİ ALINARAK KUF LİANA YAPILACAKTR.
 - 2, 8, 10 ve 18 NOLU HALATLAR KİRİŞİN HER İKİ UÇUNDAKI MESNET EKİSENİNDEN 2.50'ER METRE MESAFLİYE KADAR KUF İÇİ ALINARAK KUF LİANA YAPILACAKTR.
 - 1, 3, 5, 7, 9, 11, 13, 14, 15, 17, 19 ve 21 NOLU HALATLAR İSE HÇ KUF LİANA YAPILMAYACAKTR.

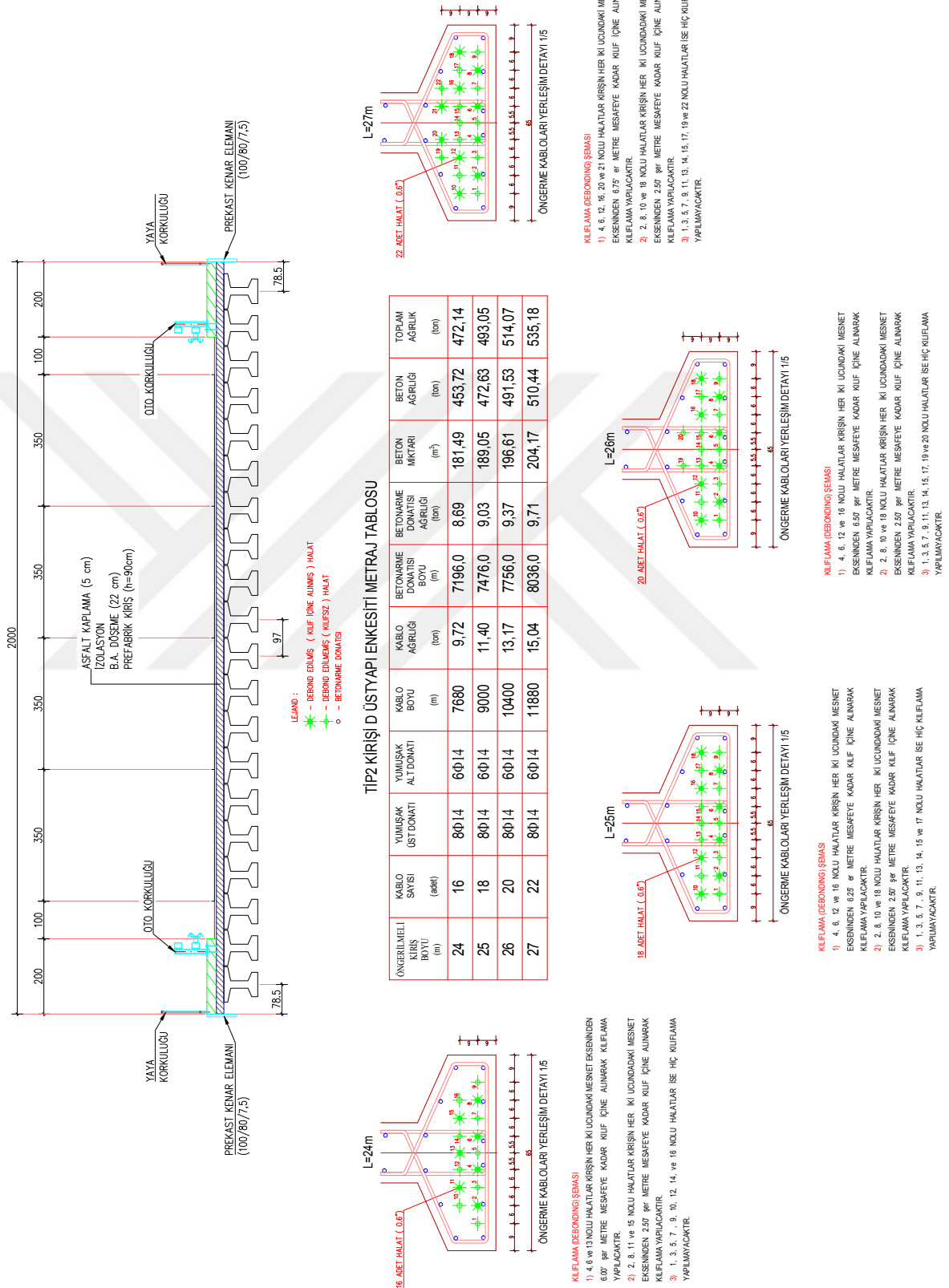


ONGERME KABLOLARYERLEŞİM DETAYI 1/5

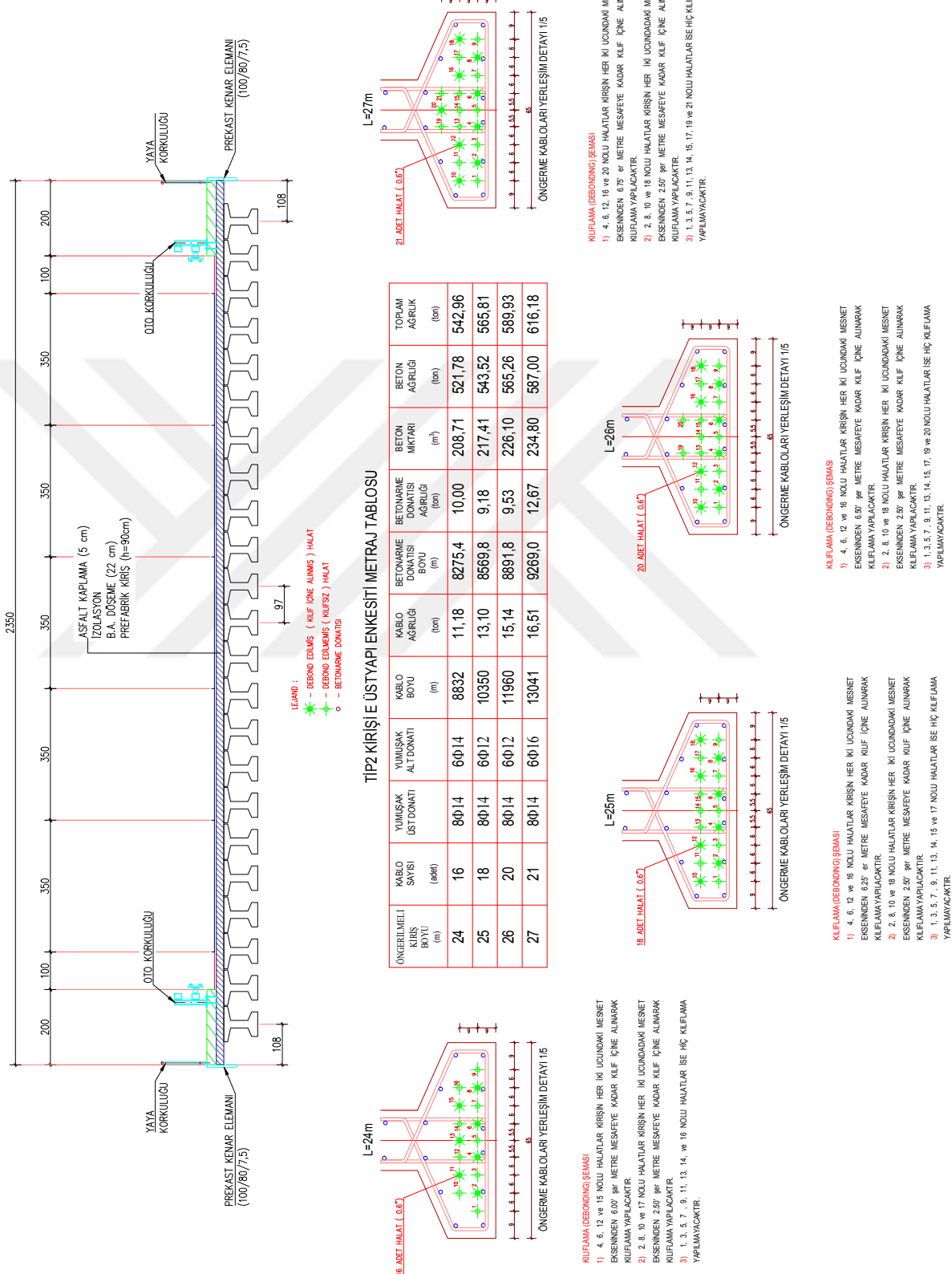


- KUF LİANA (DEBONDING) SEVİSİ**
- 4, 6, 12, 16 ve 20 NOLU HALATLAR KİRİŞİN HER İKİ UÇUNDAKI MESNET EKİSENİNDEN 6.75'ER METRE MESAFLİYE KADAR KUF İÇİ ALINARAK KUF LİANA YAPILACAKTR.
 - 2, 8, 10 ve 18 NOLU HALATLAR KİRİŞİN HER İKİ UÇUNDAKI MESNET EKİSENİNDEN 2.50'ER METRE MESAFLİYE KADAR KUF İÇİ ALINARAK KUF LİANA YAPILACAKTR.
 - 3, 5, 7, 9, 11, 13, 14, 15, 17, 19 ve 22 NOLU HALATLAR İSE HÇ KUF LİANA YAPILMAYACAKTR.

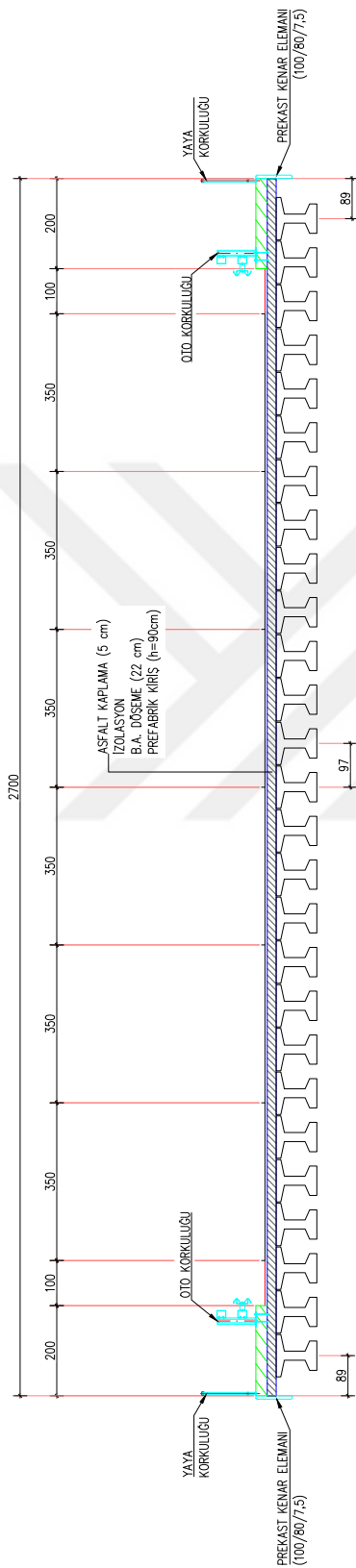
TİP2 KİRİŞİ-D ENKESETİ



TİP2 KİRİŞİ-E ENKİSESİ

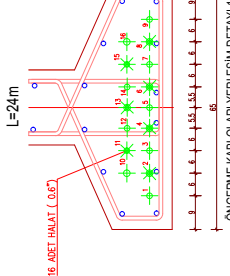


TİP2 KİRİŞİ-F ENKİESİTİ



TİP2 KİRİŞİ-F ÜSTYAPI ENKİESİTİ METRAJ TABLOSU

ONGERÜMLÜ KİRİS BOYU (m)	KABLO SAYISI (adet)	YUMUSAK ÜST DONATI	KABLO BOYU (m)	KABLO AĞIRLIĞI (ton)	BETONARME DONATISI BOYU (m)	BETONARME AĞIRLIĞI (ton)	BETON MİKTARI (m³)	BETON AĞIRLIĞI (ton)	TOPLAM AĞIRLIK (ton)
24	16	8Φ14	6Φ14	10368	13,13	9714,6	11,74	245,01	612,52
25	18	8Φ14	6Φ12	12150	15,38	10060,2	10,78	255,22	638,05
26	20	8Φ14	6Φ12	14040	17,78	10438,2	11,18	265,43	663,57
27	21	8Φ14	6Φ14	15309	19,38	10848,6	13,11	275,64	689,09
									721,58



KİFLAMA (DEBONDING) SEMASI
 1) 4, 6 ve 16 NOLU HALATLAR KİRİŞ İÇİN UÇUNDAKI MESNET ESENİNDEN 6,00' şE METRE MESAFETE KADAR KİLF İÇİ ALINARAK YAPILACAKTR.
 2) 2, 8, 11 ve 15 NOLU HALATLAR KİRİŞ İÇİN UÇUNDAKI MESNET ESENİNDEN 2,57' şE METRE MESAFETE KADAR KİLF İÇİ ALINARAK KİFLAMA YAPILACAKTR.
 3) 1, 5, 7, 9, 10, 12, 14, ve 16 NOLU HALATLAR İSE HİC KİFLAMA YAPILMAYACAKTR.

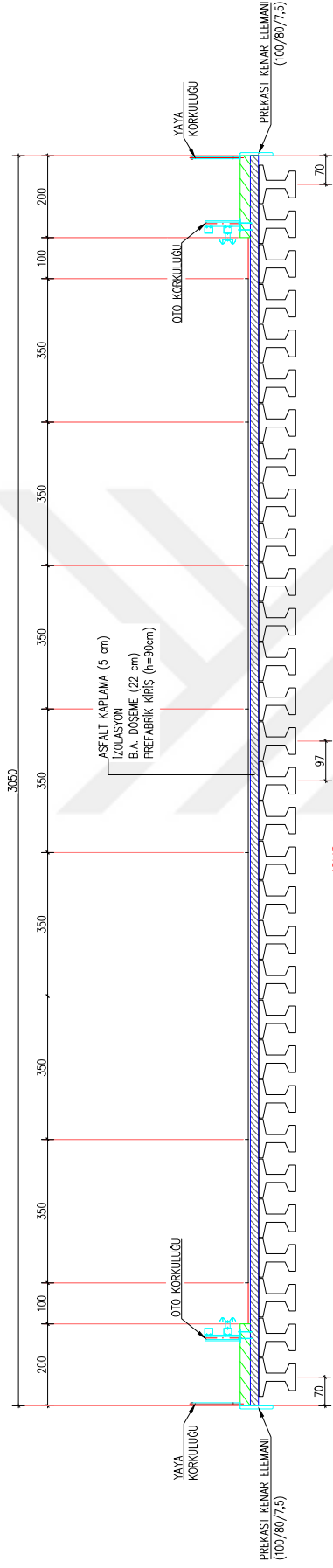
KİFLAMA (DEBONDING) SEMASI
 1) 4, 6, 12 ve 20 NOLU HALATLAR KİRİŞ İÇİN UÇUNDAKI MESNET ESENİNDEN 6,75' şE METRE MESAFETE KADAR KİLF İÇİ ALINARAK KİFLAMA YAPILACAKTR.
 2) 2, 8, 10 ve 18 NOLU HALATLAR KİRİŞ İÇİN UÇUNDAKI MESNET ESENİNDEN 2,57' şE METRE MESAFETE KADAR KİLF İÇİ ALINARAK KİFLAMA YAPILACAKTR.
 3) 1, 3, 5, 7, 11, 13, 14, 15, 17, 19 ve 21 NOLU HALATLAR İSE HİC KİFLAMA YAPILMAYACAKTR.

KİFLAMA (DEBONDING) SEMASI

KİFLAMA (DEBONDING) SEMASI
 1) 4, 6, 12 ve 20 NOLU HALATLAR KİRİŞ İÇİN UÇUNDAKI MESNET ESENİNDEN 6,75' şE METRE MESAFETE KADAR KİLF İÇİ ALINARAK KİFLAMA YAPILACAKTR.
 2) 2, 8, 10 ve 18 NOLU HALATLAR KİRİŞ İÇİN UÇUNDAKI MESNET ESENİNDEN 2,57' şE METRE MESAFETE KADAR KİLF İÇİ ALINARAK KİFLAMA YAPILACAKTR.
 3) 1, 3, 5, 7, 11, 13, 14, 15, 17, 19 ve 21 NOLU HALATLAR İSE HİC KİFLAMA YAPILMAYACAKTR.

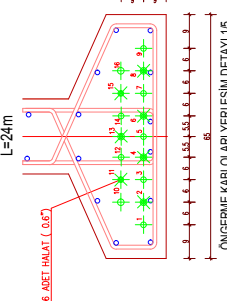
KİFLAMA (DEBONDING) SEMASI
 1) 4, 6, 12 ve 16 NOLU HALATLAR KİRİŞ İÇİN UÇUNDAKI MESNET ESENİNDEN 6,75' şE METRE MESAFETE KADAR KİLF İÇİ ALINARAK KİFLAMA YAPILACAKTR.
 2) 2, 8, 10 ve 18 NOLU HALATLAR KİRİŞ İÇİN UÇUNDAKI MESNET ESENİNDEN 2,57' şE METRE MESAFETE KADAR KİLF İÇİ ALINARAK KİFLAMA YAPILACAKTR.
 3) 1, 3, 5, 7, 9, 11, 13, 14, 15, 17, 19 ve 20 NOLU HALATLAR İSE HİC KİFLAMA YAPILMAYACAKTR.

TİP2 KİRİŞİ-G ENKESİTİ

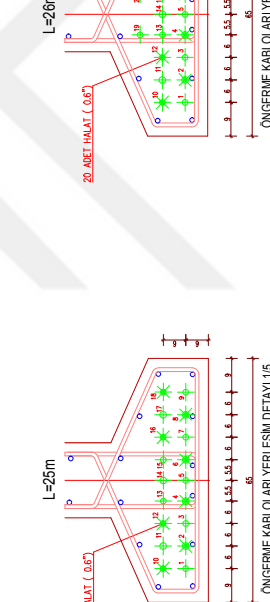


TİP2 KİRİŞİ-G ÜSTYAPI ENKESİTİ METRAJ TABLOSU

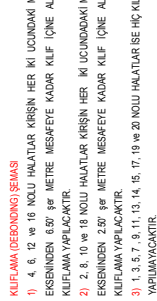
ONGERÜMLÜ KİRİŞ BOYU (m)	KABLO SAYISI (adet)	YUMUSAK ÜST DONATI	KABLO BOYU (m)	KABLO AĞIRLIĞI (ton)	BETONARME DONATISI AĞIRLIĞI (ton)	BETON MIKTARI (m³)	BETON AĞIRLIĞI (ton)
24	16	8Φ14	6Φ12	11904	15,07	11116,6	11,91
25	18	8Φ14	6Φ12	13950	17,66	11550,6	12,38
26	20	8Φ14	6Φ12	16120	20,41	11984,6	12,84
27	21	8Φ14	6Φ14	17577	22,26	12455,8	15,05



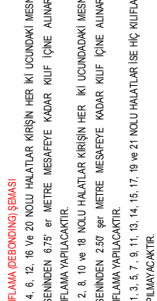
KUF LAMA (DEBONDING) ŞEVIŞİ
 1) 4, 6, 12 ve 16 NOBU HALATLAR KİRİŞİN HER Kİ UÇUNDAKI MESNET EKSİNNEN 6,00' SR. METRE MESAFETE KADAR KUF İÇNE ALINARAK KUF LAMA YAPILACAKTR.
 2) 8, 11 ve 15 NOBU HALATLAR KİRİŞİN HER Kİ UÇUNDAKI MESNET EKSİNNEN 2,50' SR. METRE MESAFETE KADAR KUF İÇNE ALINARAK KUF LAMA YAPILACAKTR.
 3) 1, 3, 5, 7, 9, 10, 12, 14, ve 16 NOBU HALATLAR İSE HİC KUF LAMA YAPILMAYACAKTR.



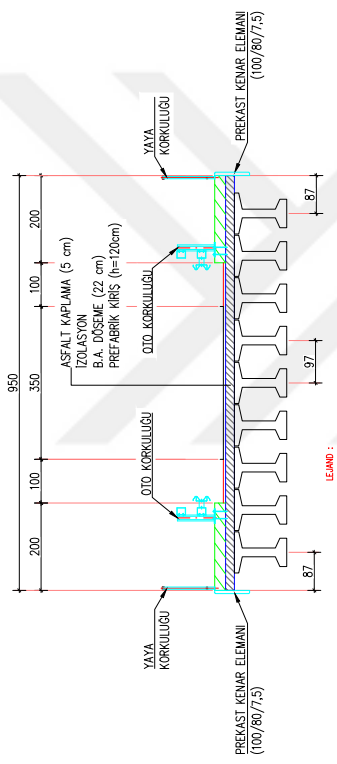
KUF LAMA (DEBONDING) ŞEVIŞİ
 1) 4, 6, 12 ve 16 NOBU HALATLAR KİRİŞİN HER Kİ UÇUNDAKI MESNET EKSİNNEN 6,00' SR. METRE MESAFETE KADAR KUF İÇNE ALINARAK KUF LAMA YAPILACAKTR.
 2) 8, 10 ve 18 NOBU HALATLAR KİRİŞİN HER Kİ UÇUNDAKI MESNET EKSİNNEN 2,50' SR. METRE MESAFETE KADAR KUF İÇNE ALINARAK KUF LAMA YAPILACAKTR.
 3) 1, 3, 5, 7, 9, 11, 13, 14, 15 ve 17 NOBU HALATLAR İSE HİC KUF LAMA YAPILMAYACAKTR.



KUF LAMA (DEBONDING) ŞEVIŞİ
 1) 4, 6, 12, 16 Ve 20 NOBU HALATLAR KİRİŞİN HER Kİ UÇUNDAKI MESNET EKSİNNEN 6,75' SR. METRE MESAFETE KADAR KUF İÇNE ALINARAK KUF LAMA YAPILACAKTR.
 2) 8, 10 ve 18 NOBU HALATLAR KİRİŞİN HER Kİ UÇUNDAKI MESNET EKSİNNEN 2,50' SR. METRE MESAFETE KADAR KUF İÇNE ALINARAK KUF LAMA YAPILACAKTR.
 3) 1, 3, 5, 7, 9, 11, 13, 14, 15, 17, 19 ve 21 NOBU HALATLARI İSE HİC KUF LAMA YAPILMAYACAKTR.

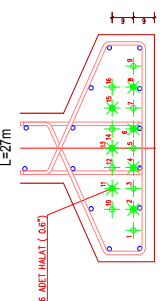


TİP3 KİRİŞİ-A ENKİESİTİ



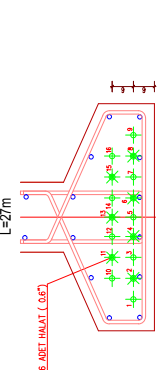
TİP3 KİRİŞİ-A ÜSTYAPI ENKİESİTİ METRaj TABLOSU

ONGERİMLİ KIRS BOYU (m)	KABLO SAYISI (adet)	YÜZÜŞÜK ÜST DONATI (m)	KABLO BOYU (m)	KABLO Ağırlığı (ton)	BETON DONATISI BOYU (m)	BETONNE DONATISI AĞIRLIĞI (ton)	BETON MİKTARI (m³)	BETON AĞIRLIĞI (ton)	TOPLAM AĞIRLIĞI (ton)
27	16	8Φ16	6Φ16	3888	4,92	3641,4	5,75	106,46	266,15
28	18	8Φ16	6Φ14	4536	5,74	3756,6	5,33	110,40	276,00
29	19	8Φ16	6Φ16	4959	6,28	3893,4	6,14	114,34	285,86
30	21	8Φ16	6Φ14	5670	7,18	4008,6	5,69	118,29	295,72
31	23	8Φ16	6Φ14	6417	8,12	4134,6	5,87	122,23	305,57
32	24	8Φ18	6Φ16	6912	8,75	4293,0	7,81	126,17	315,43
33	-	-	-	-	-	-	-	-	-

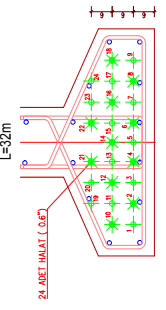


KUF İFLAMI (DEBOND SEMASı)
 1) 4, 6 ve 13 NOBU HALATLAR KRİŞİN HER KU UÇUNDAKI MESNET
 6,75 er METRE MESAFETE KODAR KUF İÇİ ALNARAK
 YAPILACAKTR.
 2) 8, 11 ve 15 NOBU HALATLAR KRİŞİN HER KU UÇUNDAKI MESNET
 ESENİNEN 2,50'ye METRE MESAFETE KODAR KUF İÇİ ALNARAK
 KUF İFLAMI YAPILACAKTR.
 3) 1, 3, 5, 7, 9, 10, 12, 14 ve 16 NOBU HALATLAR SEE İHC KUF İFLAMI
 YAPILACAKTR.

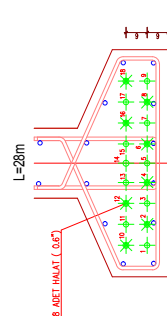
ONGERİMLİ KIRS BOYU (m)	KABLO SAYISI (adet)	YÜZÜŞÜK ÜST DONATI (m)	KABLO BOYU (m)	KABLO Ağırlığı (ton)	BETON DONATISI BOYU (m)	BETONNE DONATISI AĞIRLIĞI (ton)	BETON MİKTARI (m³)	BETON AĞIRLIĞI (ton)	TOPLAM AĞIRLIĞI (ton)
27	16	8Φ16	6Φ16	3888	4,92	3641,4	5,75	106,46	266,15
28	18	8Φ16	6Φ14	4536	5,74	3756,6	5,33	110,40	276,00
29	19	8Φ16	6Φ16	4959	6,28	3893,4	6,14	114,34	285,86
30	21	8Φ16	6Φ14	5670	7,18	4008,6	5,69	118,29	295,72
31	23	8Φ16	6Φ14	6417	8,12	4134,6	5,87	122,23	305,57
32	24	8Φ18	6Φ16	6912	8,75	4293,0	7,81	126,17	315,43
33	-	-	-	-	-	-	-	-	-



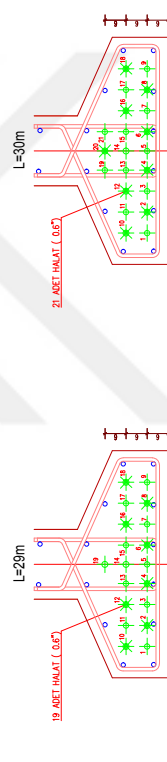
KUF İFLAMI (DEBOND SEMASı)
 1) 4, 6, 12 ve 16 NOBU HALATLAR KRİŞİN HER KU UÇUNDAKI MESNET
 ESENİNEN 7,00'ye METRE MESAFETE KODAR KUF İÇİ ALNARAK
 KUF İFLAMI YAPILACAKTR.
 2) 8, 10 ve 18 NOBU HALATLAR KRİŞİN HER KU UÇUNDAKI MESNET
 ESENİNEN 2,50'ye METRE MESAFETE KODAR KUF İÇİ ALNARAK
 KUF İFLAMI YAPILACAKTR.
 3) 1, 3, 5, 7, 9, 11, 13, 14, 15 ve 17 NOBU HALATLAR SEE İHC KUF İFLAMI
 YAPILACAKTR.



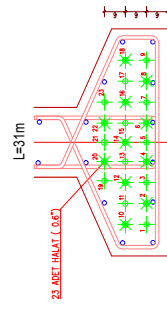
KUF İFLAMI (DEBOND SEMASı)
 1) 4, 6, 12, 16, 21 ve 22 NOBU HALATLAR KRİŞİN HER KU UÇUNDAKI MESNET
 ESENİNEN 3,00'ye METRE MESAFETE KODAR KUF İÇİ ALNARAK
 KUF İFLAMI YAPILACAKTR.
 2) 8, 10 ve 18 NOBU HALATLAR KRİŞİN HER KU UÇUNDAKI MESNET
 ESENİNEN 2,50'ye METRE MESAFETE KODAR KUF İÇİ ALNARAK
 KUF İFLAMI YAPILACAKTR.
 3) 1, 3, 5, 7, 9, 11, 13, 14, 15, 17, 19 ve 21 NOBU HALATLAR SEE İHC KUF İFLAMI
 YAPILACAKTR.



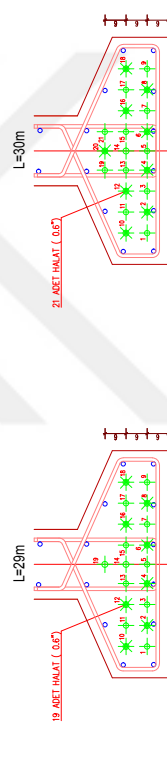
KUF İFLAMI (DEBOND SEMASı)
 1) 4, 6, 12, 16 ve 20 NOBU HALATLAR KRİŞİN HER KU UÇUNDAKI MESNET
 ESENİNEN 7,00'ye METRE MESAFETE KODAR KUF İÇİ ALNARAK
 KUF İFLAMI YAPILACAKTR.
 2) 8, 10 ve 18 NOBU HALATLAR KRİŞİN HER KU UÇUNDAKI MESNET
 ESENİNEN 2,50'ye METRE MESAFETE KODAR KUF İÇİ ALNARAK
 KUF İFLAMI YAPILACAKTR.
 3) 1, 3, 5, 7, 9, 11, 13, 14, 15, 17 ve 19 NOBU HALATLAR SEE İHC KUF İFLAMI
 YAPILACAKTR.



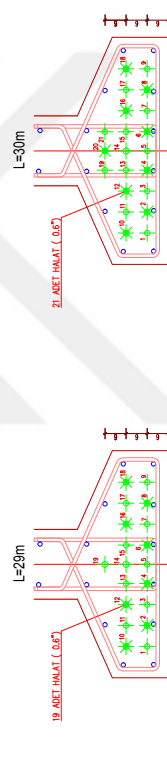
KUF İFLAMI (DEBOND SEMASı)
 1) 4, 6, 12, 16, 21 ve 22 NOBU HALATLAR KRİŞİN HER KU UÇUNDAKI MESNET
 ESENİNEN 3,00'ye METRE MESAFETE KODAR KUF İÇİ ALNARAK
 KUF İFLAMI YAPILACAKTR.
 2) 8, 10 ve 18 NOBU HALATLAR KRİŞİN HER KU UÇUNDAKI MESNET
 ESENİNEN 2,50'ye METRE MESAFETE KODAR KUF İÇİ ALNARAK
 KUF İFLAMI YAPILACAKTR.
 3) 1, 3, 5, 7, 9, 11, 13, 14, 15, 17, 19 ve 21 NOBU HALATLAR SEE İHC KUF İFLAMI
 YAPILACAKTR.



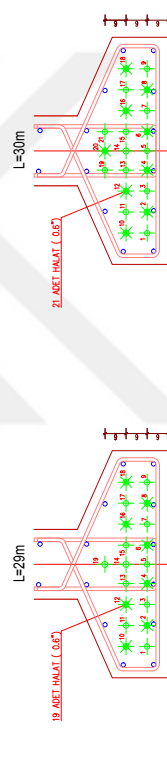
KUF İFLAMI (DEBOND SEMASı)
 1) 4, 6, 12, 16, 21 ve 22 NOBU HALATLAR KRİŞİN HER KU UÇUNDAKI MESNET
 ESENİNEN 3,00'ye METRE MESAFETE KODAR KUF İÇİ ALNARAK
 KUF İFLAMI YAPILACAKTR.
 2) 8, 10 ve 18 NOBU HALATLAR KRİŞİN HER KU UÇUNDAKI MESNET
 ESENİNEN 2,50'ye METRE MESAFETE KODAR KUF İÇİ ALNARAK
 KUF İFLAMI YAPILACAKTR.
 3) 1, 3, 5, 7, 9, 11, 13, 14, 15, 17, 19 ve 21 NOBU HALATLAR SEE İHC KUF İFLAMI
 YAPILACAKTR.



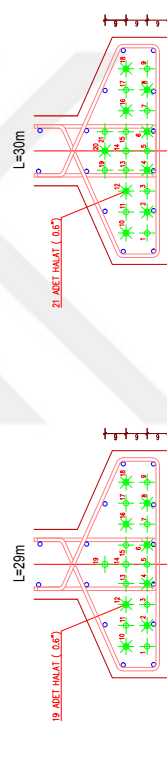
KUF İFLAMI (DEBOND SEMASı)
 1) 4, 6, 12, 16, 21 ve 22 NOBU HALATLAR KRİŞİN HER KU UÇUNDAKI MESNET
 ESENİNEN 3,00'ye METRE MESAFETE KODAR KUF İÇİ ALNARAK
 KUF İFLAMI YAPILACAKTR.
 2) 8, 10 ve 18 NOBU HALATLAR KRİŞİN HER KU UÇUNDAKI MESNET
 ESENİNEN 2,50'ye METRE MESAFETE KODAR KUF İÇİ ALNARAK
 KUF İFLAMI YAPILACAKTR.
 3) 1, 3, 5, 7, 9, 11, 13, 14, 15, 17, 19 ve 21 NOBU HALATLAR SEE İHC KUF İFLAMI
 YAPILACAKTR.



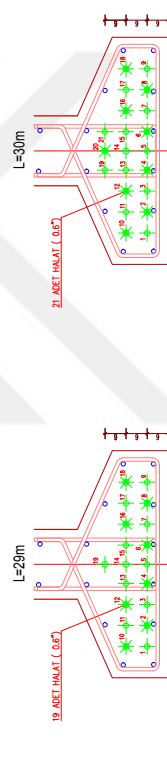
KUF İFLAMI (DEBOND SEMASı)
 1) 4, 6, 12, 16, 21 ve 22 NOBU HALATLAR KRİŞİN HER KU UÇUNDAKI MESNET
 ESENİNEN 3,00'ye METRE MESAFETE KODAR KUF İÇİ ALNARAK
 KUF İFLAMI YAPILACAKTR.
 2) 8, 10 ve 18 NOBU HALATLAR KRİŞİN HER KU UÇUNDAKI MESNET
 ESENİNEN 2,50'ye METRE MESAFETE KODAR KUF İÇİ ALNARAK
 KUF İFLAMI YAPILACAKTR.
 3) 1, 3, 5, 7, 9, 11, 13, 14, 15, 17, 19 ve 21 NOBU HALATLAR SEE İHC KUF İFLAMI
 YAPILACAKTR.



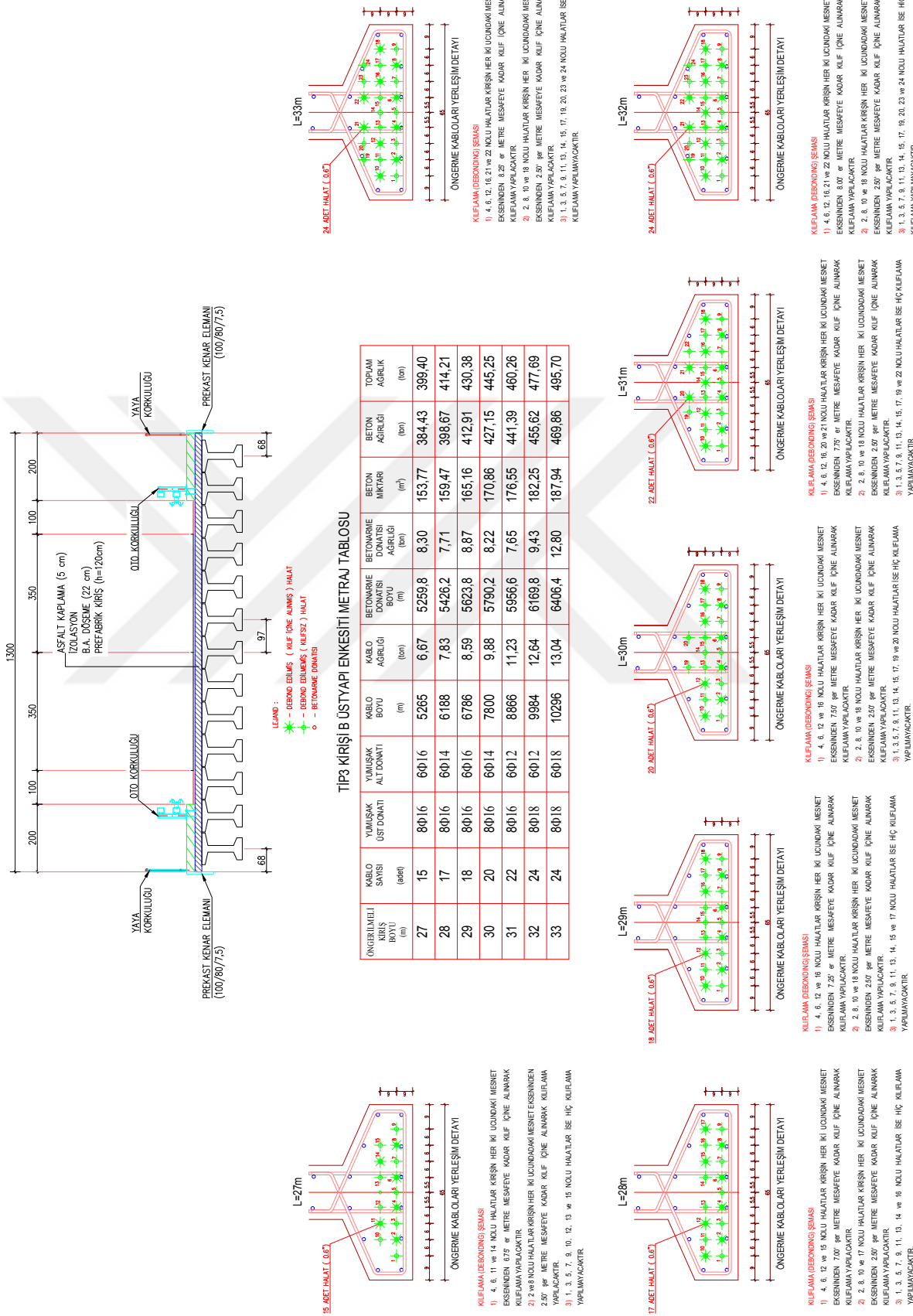
KUF İFLAMI (DEBOND SEMASı)
 1) 4, 6, 12, 16, 21 ve 22 NOBU HALATLAR KRİŞİN HER KU UÇUNDAKI MESNET
 ESENİNEN 3,00'ye METRE MESAFETE KODAR KUF İÇİ ALNARAK
 KUF İFLAMI YAPILACAKTR.
 2) 8, 10 ve 18 NOBU HALATLAR KRİŞİN HER KU UÇUNDAKI MESNET
 ESENİNEN 2,50'ye METRE MESAFETE KODAR KUF İÇİ ALNARAK
 KUF İFLAMI YAPILACAKTR.
 3) 1, 3, 5, 7, 9, 11, 13, 14, 15, 17, 19 ve 21 NOBU HALATLAR SEE İHC KUF İFLAMI
 YAPILACAKTR.



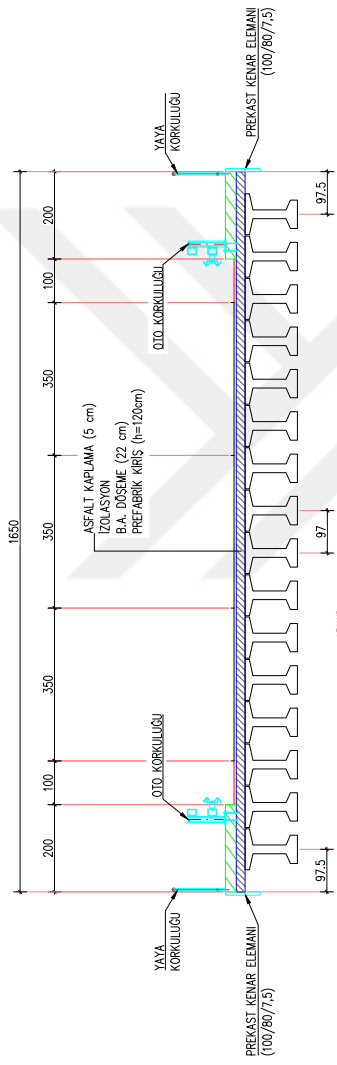
KUF İFLAMI (DEBOND SEMASı)
 1) 4, 6, 12, 16, 21 ve 22 NOBU HALATLAR KRİŞİN HER KU UÇUNDAKI MESNET
 ESENİNEN 3,00'ye METRE MESAFETE KODAR KUF İÇİ ALNARAK
 KUF İFLAMI YAPILACAKTR.
 2) 8, 10 ve 18 NOBU HALATLAR KRİŞİN HER KU UÇUNDAKI MESNET
 ESENİNEN 2,50'ye METRE MESAFETE KODAR KUF İÇİ ALNARAK
 KUF İFLAMI YAPILACAKTR.
 3) 1, 3, 5, 7, 9, 11, 13, 14, 15, 17, 19 ve 21 NOBU HALATLAR SEE İHC KUF İFLAMI
 YAPILACAKTR.



TİP3 KİRİŞİ-B ENKESİTİ

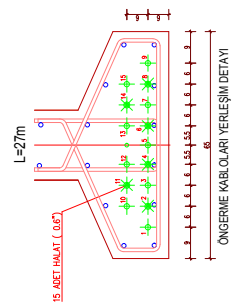


TİP3 KİRİŞİ-C ENKESİTİ



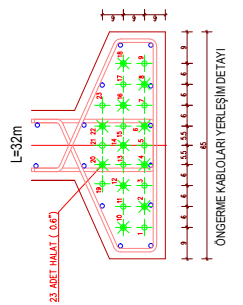
TİP3 KİRİŞİ C ÜSTYAPı ENKESİTİ METRAJ TABLOSU

KABLO SAYISI KİRLİ KIRIS BÖYÜ (m)	YÜMÜŞAK ÜST DONATI (adet)	KABLO BOYU (m)	KABLO AĞIRLIĞI (ton)	BETONİK DONATISI BOYU (m)	BETONİK AĞIRLIĞI (ton)	BETON MİKTARI (m³)	TOPAM AĞIRLIĞI (ton)
27	15	80 0 6	6 0 1 6	64 8 0	8,20	6473,6	10,22
28	16	80 0 6	6 0 1 6	71 6 8	9,08	6597,6	10,57
29	18	80 0 6	6 0 1 4	83 5 2	10,57	6902,4	9,80
30	19	80 0 6	6 0 1 6	91 2 0	11,55	7145,6	11,28
31	21	80 0 6	6 0 1 4	104 1 6	13,19	7350,4	10,44
32	23	80 0 8	6 0 1 4	117 7 6	14,91	7612,8	12,65
33	24	80 0 8	6 0 1 6	126 7 2	16,04	7856,0	14,29

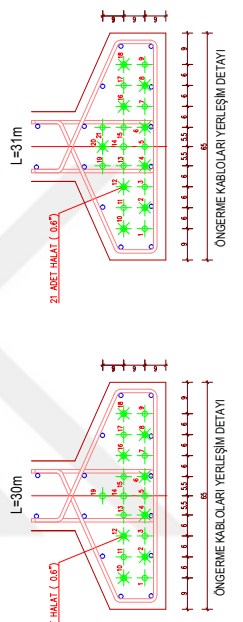


KÜFLAMA (DEBONDING) SEMAS
 1) 4, 6, 11 ve 14 NOLU HALATLAR KIRŞIN HER Kİ UÇUNDAKI MESNET EKSİNDEN 7,5' er METRE MESAFETE KODAR KUF İÇİ ALNARAK KÜFLAMA YAPILACAKTR.
 2) 8, 10 ve 18 NOLU HALATLAR KIRŞIN HER Kİ UÇUNDAKI MESNET EKSİNDEN 2,50' er METRE MESAFETE KODAR KUF İÇİ ALNARAK KÜFLAMA YAPILACAKTR.
 3) 1, 3, 5, 7, 9, 10, 12, 13 ve 15 NOLU HALATLAR İSE HİC KÜFLAMA YAPILACAKTR.

KÜFLAMA (DEBONDING) SEMAS
 1) 4, 6, 12, 16, 20 ve 22 NOLU HALATLAR KIRŞIN HER Kİ UÇUNDAKI MESNET EKSİNDEN 8,07' er METRE MESAFETE KODAR KUF İÇİ ALNARAK KÜFLAMA YAPILACAKTR.
 2) 8, 10 ve 18 NOLU HALATLAR KIRŞIN HER Kİ UÇUNDAKI MESNET EKSİNDEN 2,80' er METRE MESAFETE KODAR KUF İÇİ ALNARAK KÜFLAMA YAPILACAKTR.
 3) 1, 3, 5, 7, 9, 11, 13, 14, 15, 17, 19 NOLU HALATLAR İSE HİC KÜFLAMA YAPILACAKTR.

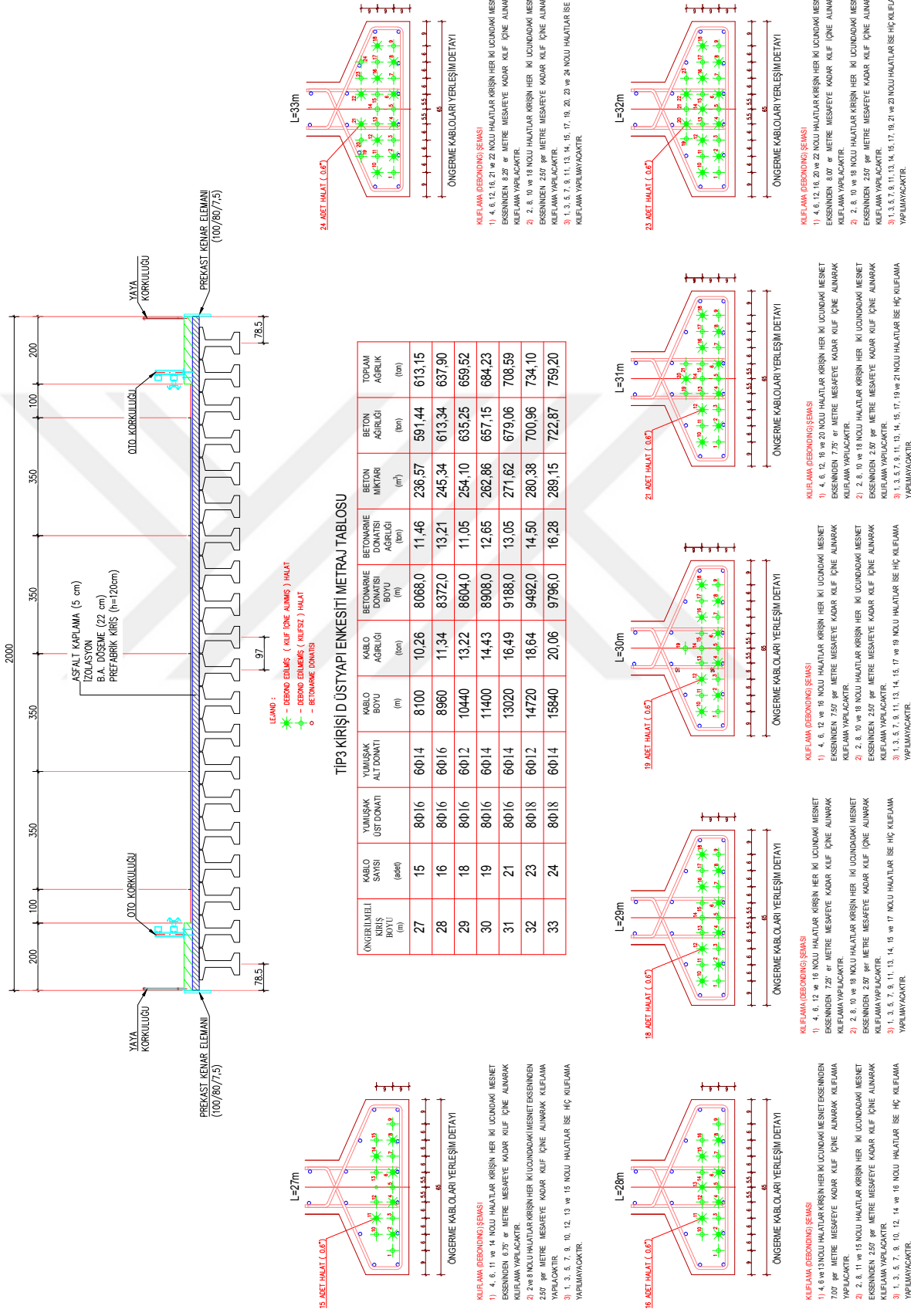


KÜFLAMA (DEBONDING) SEMAS
 1) 4, 6, 12, 16, 20 ve 22 NOLU HALATLAR KIRŞIN HER Kİ UÇUNDAKI MESNET EKSİNDEN 8,25' er METRE MESAFETE KODAR KUF İÇİ ALNARAK KÜFLAMA YAPILACAKTR.
 2) 8, 10 ve 18 NOLU HALATLAR KIRŞIN HER Kİ UÇUNDAKI MESNET EKSİNDEN 2,50' er METRE MESAFETE KODAR KUF İÇİ ALNARAK KÜFLAMA YAPILACAKTR.
 3) 1, 3, 5, 7, 9, 11, 13, 14, 15, 17, 19 NOLU HALATLAR İSE HİC KÜFLAMA YAPILACAKTR.

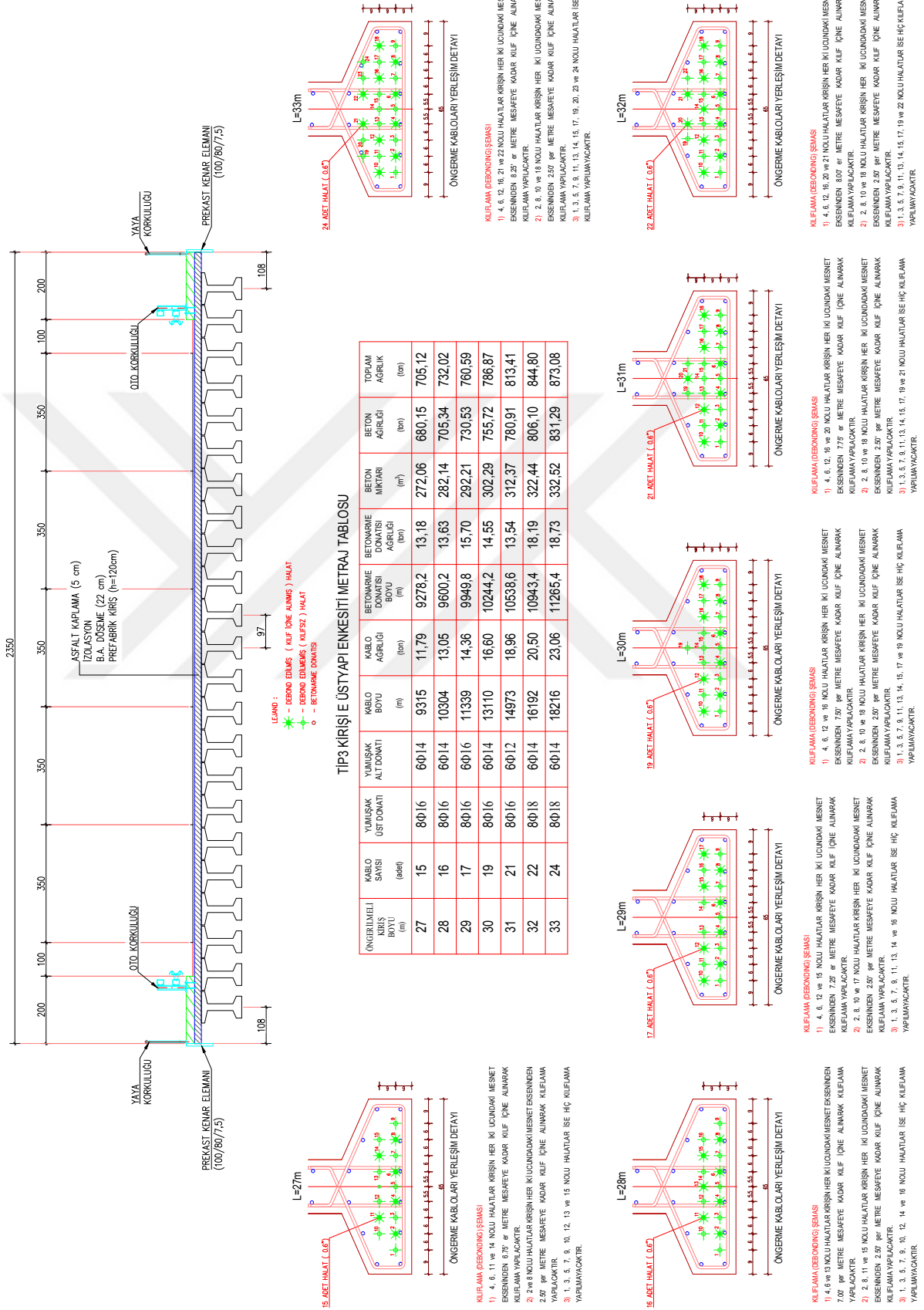


KÜFLAMA (DEBONDING) SEMAS
 1) 4, 6, 12, 16, 20 ve 22 NOLU HALATLAR KIRŞIN HER Kİ UÇUNDAKI MESNET EKSİNDEN 8,50' er METRE MESAFETE KODAR KUF İÇİ ALNARAK KÜFLAMA YAPILACAKTR.
 2) 8, 10 ve 18 NOLU HALATLAR KIRŞIN HER Kİ UÇUNDAKI MESNET EKSİNDEN 2,80' er METRE MESAFETE KODAR KUF İÇİ ALNARAK KÜFLAMA YAPILACAKTR.
 3) 1, 3, 5, 7, 9, 11, 13, 14, 15, 17, 19 NOLU HALATLAR İSE HİC KÜFLAMA YAPILACAKTR.

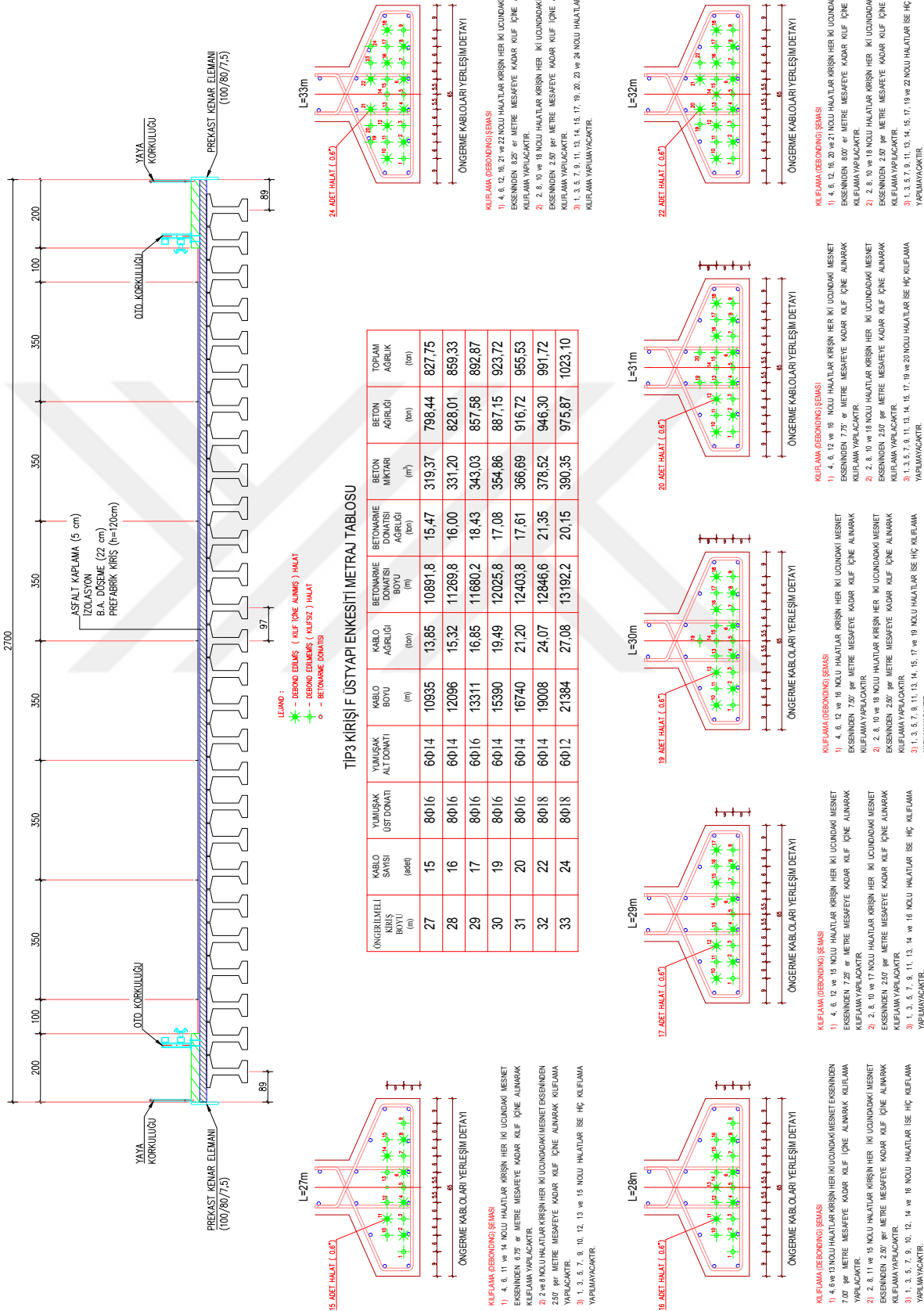
TİP3 KİRİŞİ-D ENKESİTİ



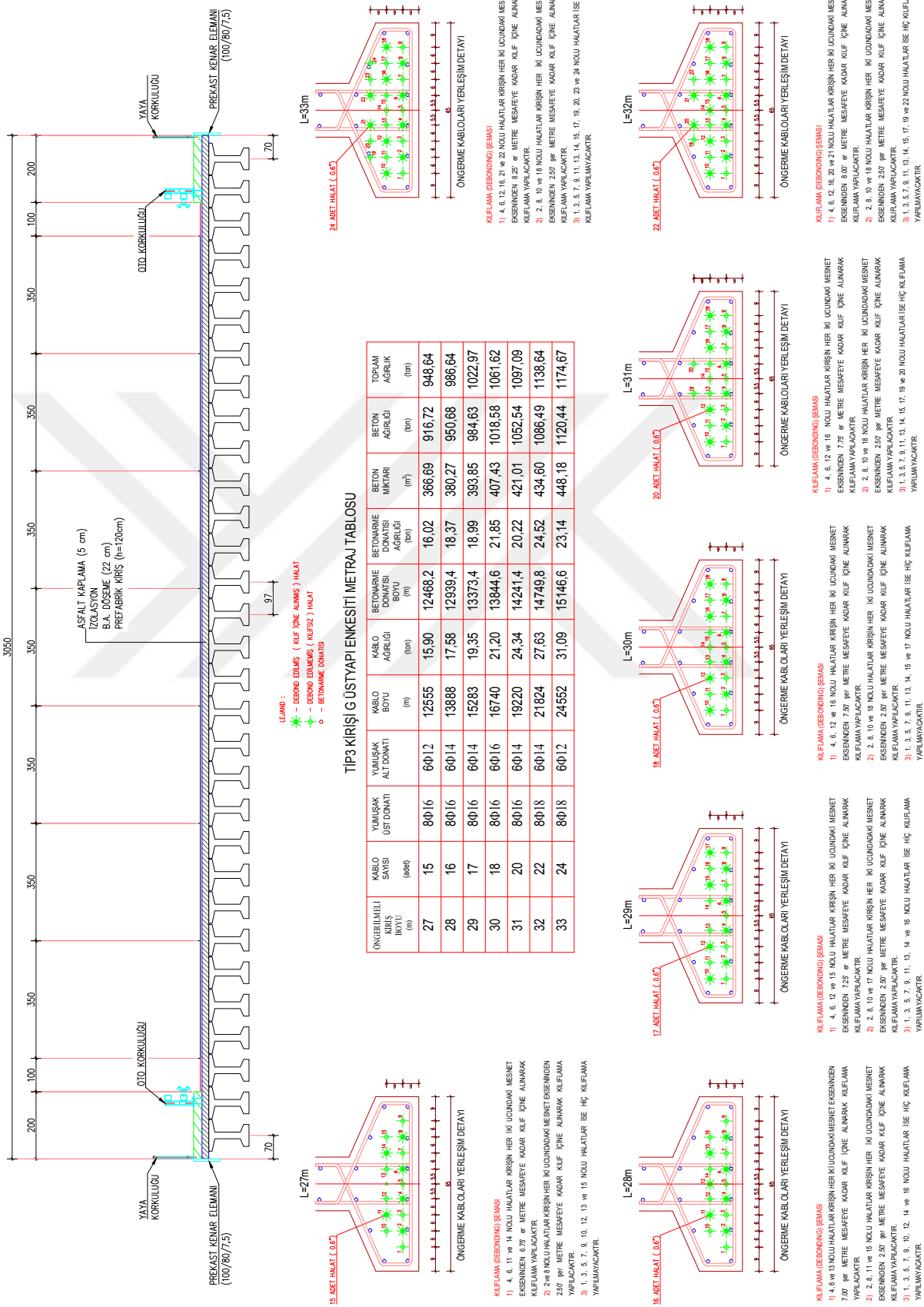
TİP3 KİRİŞİ-E ENKESETİ



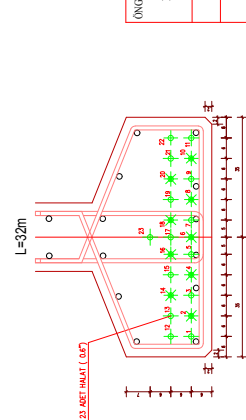
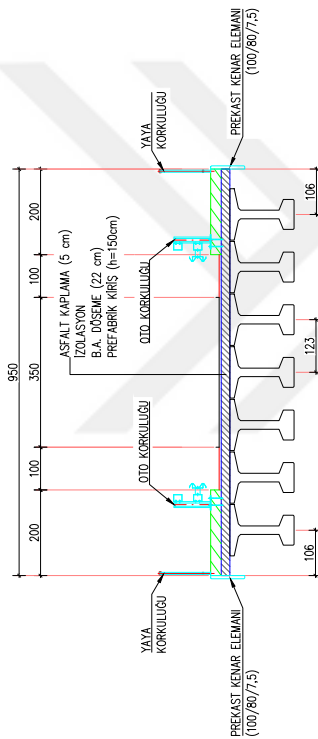
TİP3 KİRİŞİ-F ENKESİTİ



TİP3 KİRİŞİ-GENKESİTİ



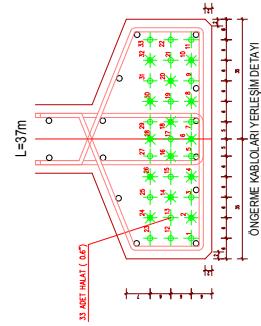
TİP4 KİRİŞİ-A ENKESTİ



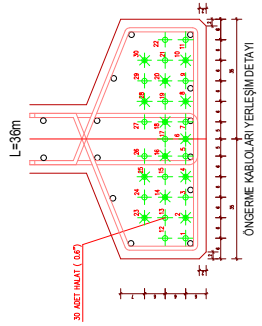
TİP4 KİRİŞİ ÜSTYAPI ENKESTİ METRAJ TABLOSU

ONGRİMLİ KIRS BOYU (m)	KABLO SAYISI (adet)	YUMURAK ÜST DONATI	KABLO AĞIRLIĞI (ton)	BETONARME DONATISI BOYU (m)	BETON AĞIRLIĞI (ton)	TOPLAM AĞIRLIK (ton)
32	23	8Φ20	6Φ16	5152	6,52	3350,2
33	24	8Φ20	6Φ18	5544	7,02	3460,8
34	26	8Φ20	6Φ18	6188	7,83	3558,8
35	28	8Φ20	6Φ18	6860	8,69	3770,2
36	30	8Φ20	6Φ18	7560	9,57	3868,2
37	33	8Φ22	6Φ14	8547	10,82	3969,9

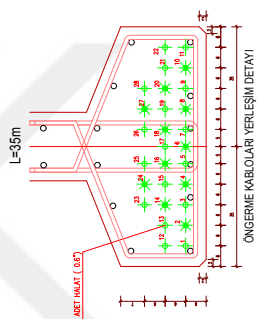
KUFİLANA DEĞONDING SEMASI
 1) 4, 6, 8, 16 ve 18 NOLU HALATLAR KIRSIN HER İKİ UÇUNDAKI MESNET EKSENİNDEN 80/0 ar METRE MESAFETE KADAR KUF İÇİNE ALINARK KUFİLANA YAPILACAKTR.
 2) 10, 14 ve 20 NOLU HALATLAR KIRSIN HER İKİ UÇUNDAKI MESNET EKSENİNDEN 250 ar METRE MESAFETE KADAR KUF İÇİNE ALINARK KUFİLANA YAPILACAKTR.
 3) 1, 5, 7, 9, 11, 12, 13, 15, 17, 19, 21, 22 ve 23 NOLU HALATLAR SEE HC KUFİLANA YAPILACAKTR.



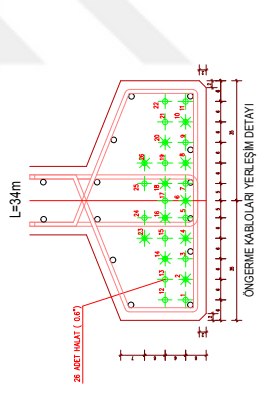
KUFİLANA DEĞONDING SEMASI
 1) 4, 6, 8, 16, 18, 26, 28 ve 30 NOLU HALATLAR KIRSIN HER İKİ UÇUNDAKI MESNET EKSENİNDEN 80/0 ar METRE MESAFETE KADAR KUF İÇİNE ALINARK KUFİLANA YAPILACAKTR.
 2) 10, 14 ve 20 NOLU HALATLAR KIRSIN HER İKİ UÇUNDAKI MESNET EKSENİNDEN 250 ar METRE MESAFETE KADAR KUF İÇİNE ALINARK KUFİLANA YAPILACAKTR.
 3) 1, 3, 5, 7, 9, 11, 12, 13, 15, 17, 19, 21, 22, 23, 25, 27 ve 29 NOLU HALATLAR SEE HC KUFİLANA YAPILACAKTR.



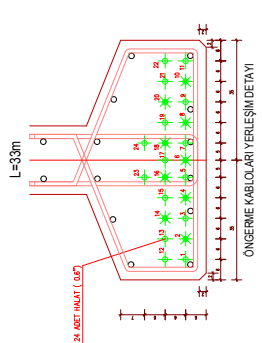
KUFİLANA DEĞONDING SEMASI
 1) 4, 6, 8, 16, 18, 26, 28 ve 30 NOLU HALATLAR KIRSIN HER İKİ UÇUNDAKI MESNET EKSENİNDEN 80/0 ar METRE MESAFETE KADAR KUF İÇİNE ALINARK KUFİLANA YAPILACAKTR.
 2) 10, 14 ve 20 NOLU HALATLAR KIRSIN HER İKİ UÇUNDAKI MESNET EKSENİNDEN 250 ar METRE MESAFETE KADAR KUF İÇİNE ALINARK KUFİLANA YAPILACAKTR.
 3) 1, 3, 5, 7, 9, 11, 12, 13, 15, 17, 19, 21, 22, 23, 25, 27 ve 29 NOLU HALATLAR SEE HC KUFİLANA YAPILACAKTR.



KUFİLANA DEĞONDING SEMASI
 1) 4, 6, 8, 16, 18, 26, 28 ve 30 NOLU HALATLAR KIRSIN HER İKİ UÇUNDAKI MESNET EKSENİNDEN 80/0 ar METRE MESAFETE KADAR KUF İÇİNE ALINARK KUFİLANA YAPILACAKTR.
 2) 10, 14 ve 20 NOLU HALATLAR KIRSIN HER İKİ UÇUNDAKI MESNET EKSENİNDEN 250 ar METRE MESAFETE KADAR KUF İÇİNE ALINARK KUFİLANA YAPILACAKTR.
 3) 1, 3, 5, 7, 9, 11, 12, 13, 15, 17, 19, 21, 22, 23, 25, 27 ve 29 NOLU HALATLAR SEE HC KUFİLANA YAPILACAKTR.

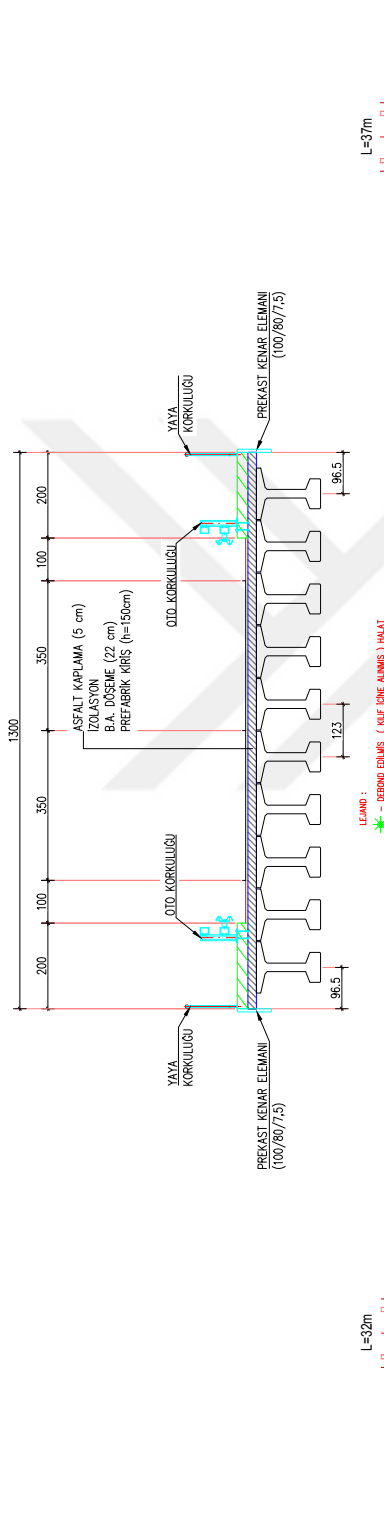


KUFİLANA DEĞONDING SEMASI
 1) 4, 6, 8, 16, 18, 26, 28 ve 30 NOLU HALATLAR KIRSIN HER İKİ UÇUNDAKI MESNET EKSENİNDEN 80/0 ar METRE MESAFETE KADAR KUF İÇİNE ALINARK KUFİLANA YAPILACAKTR.
 2) 10, 14 ve 20 NOLU HALATLAR KIRSIN HER İKİ UÇUNDAKI MESNET EKSENİNDEN 250 ar METRE MESAFETE KADAR KUF İÇİNE ALINARK KUFİLANA YAPILACAKTR.
 3) 1, 3, 5, 7, 9, 11, 12, 13, 15, 17, 19, 21, 22, 23, 25, 27 ve 29 NOLU HALATLAR SEE HC KUFİLANA YAPILACAKTR.



KUFİLANA DEĞONDING SEMASI
 1) 4, 6, 8, 16, 18, 26, 28 ve 30 NOLU HALATLAR KIRSIN HER İKİ UÇUNDAKI MESNET EKSENİNDEN 80/0 ar METRE MESAFETE KADAR KUF İÇİNE ALINARK KUFİLANA YAPILACAKTR.
 2) 10, 14 ve 20 NOLU HALATLAR KIRSIN HER İKİ UÇUNDAKI MESNET EKSENİNDEN 250 ar METRE MESAFETE KADAR KUF İÇİNE ALINARK KUFİLANA YAPILACAKTR.
 3) 1, 3, 5, 7, 9, 11, 12, 13, 15, 17, 19, 21, 22, 23, 25, 27 ve 29 NOLU HALATLAR SEE HC KUFİLANA YAPILACAKTR.

TİP4 KİRİŞİ-B ENKESİTİ



TİP4 KİRİŞİ B ÜSTYAPI ENKESİTİ METRAJ TABLOSU

KELAMAH DENGDONG SEMASI

1). 4. 6. 8. & 17 NOV HALATLAR KRISIN HER KI UCLUNDARI MESHT
KESMET KILF ÇINE ALNARAK
KESMEKENDİNN 8/07 08 METRE MEFSEYE KADAR KILF ÇINE ALNARAK
KELAMAH YAPLAÇACIK

2). 2. 10. 14 NOV HALATLAR KRISIN HER KI UCLUNDADAKI MESHT
KESMET KILF ÇINE ALNARAK
KESMEKENDİNN 2/07 08 METRE MEFSEYE KADAR KILF ÇINE ALNARAK
KELAMAH YAPLAÇACIK

3). 3. 5. 7. 9. 11. 12. 13. 15. 18. 20 NOV HALATLAR SE HÜ KELAMA
KESMET KILF ÇINE ALNARAK
KESMEKENDİNN 3/07 08 METRE MEFSEYE KADAR KILF ÇINE ALNARAK
KELAMAH YAPLAÇACIK

1. 6. 8. 16. 18. 25 ve 30 NOLU HALATLAR KÖRSİN HİBİ UÇUDUNA MESNET
1. 4. 6. 8. 16. 18. 25 ve 30 NOLU HALATLAR KÖRSİN HİBİ UÇUDUNA MESNET
KULİFLAMA YAPILACAK TR.
2. 1. 10. 20. 22 ve 30 NOLU HALATLAR KÖRSİN HİBİ UÇUDUNA MESNET
KULİFLAMA YAPILACAK TR.
3. 1. 3. 5. 7. 9. 11. 13. 15. 17. 19. 21. 22. 24. 26. 27. 28 ve 30 NOLU HALATLAR
SE İHİ KULİFLAMA YAPILACAK TR.

KUFİLA İNŞAAT GİNGERS
11. 4. 6. 8. 18. 20. 24. 26. 28 NOLU HALATLAR KİRSİN HER İKİ UCLUNDAKI
METRELERDE ESENİNEN 9. 10. 11. METREDE EŞEFTİYE KADAR KUFİ İQNE AL ARAK
KUFİLA YAPACAKTIR.
12. 2. 10. 14. 16. 20. 24. 26 NOLU HALATLARI KİRSİN HER İKİ UCLUNDAKI MESKİ
ESENİNEN 1. 2. 3. 4. 5. 6. 7. 8. 9. 10. METRE. MESKEYE KADAR KUFİ İQNE AL ARAK
KUFİLA İNŞAAT GİNGERS
13. 1. 3. 5. 7. 7. 11. 13. 15. 17. 19. 21. 22. 23. 25. 27. 28 NOLU HALATLARI SE
KUFİLA İNŞAAT GİNGERS MAYOÇU
14. 3. 5. 7. 9. 11. 13. 15. 17. 19. 21. 22. 23. 25. 27. 28 NOLU HALATLARI SE
KUFİLA İNŞAAT GİNGERS

KILF (ANKARA DEĞİŞİM YERİ)
11. 4. 6. 12. 18. 23 ve 27 NOVUMLAR KARSISI İN HER İKİ UCLUNDAKI NEŞETE
EKSİNDEN 875 ₺ METRE MESAFEYE KADAR KILF İÇİN ALINARAK
KILI-KAMA YAPACAKTIR.
12. 2. 10. 14 ve 20 NOZU HALALTAR KARSISI İN HER İKİ UCLUNDAKI NEŞETE
EKSİNDEN 150 ₺ ₺ METRE MESAFEYE KADAR KILF İÇİN ALINARAK
KILI-KAMA YAPACAKTIR.

KILIFLAMA ÇEBOĞUN 3 SEANS

1) 4. 6. 8. 10. 12. 14. 16. 18. 20. NOLU HALATLAR KRİSN HİK UÇINDÖK MESNE
EKSİNİNNEN 8.57 99 METRE NESAYE KARF KLF İÇNE ALNARARAK
KILIFLAMA YAPACAKTIR.

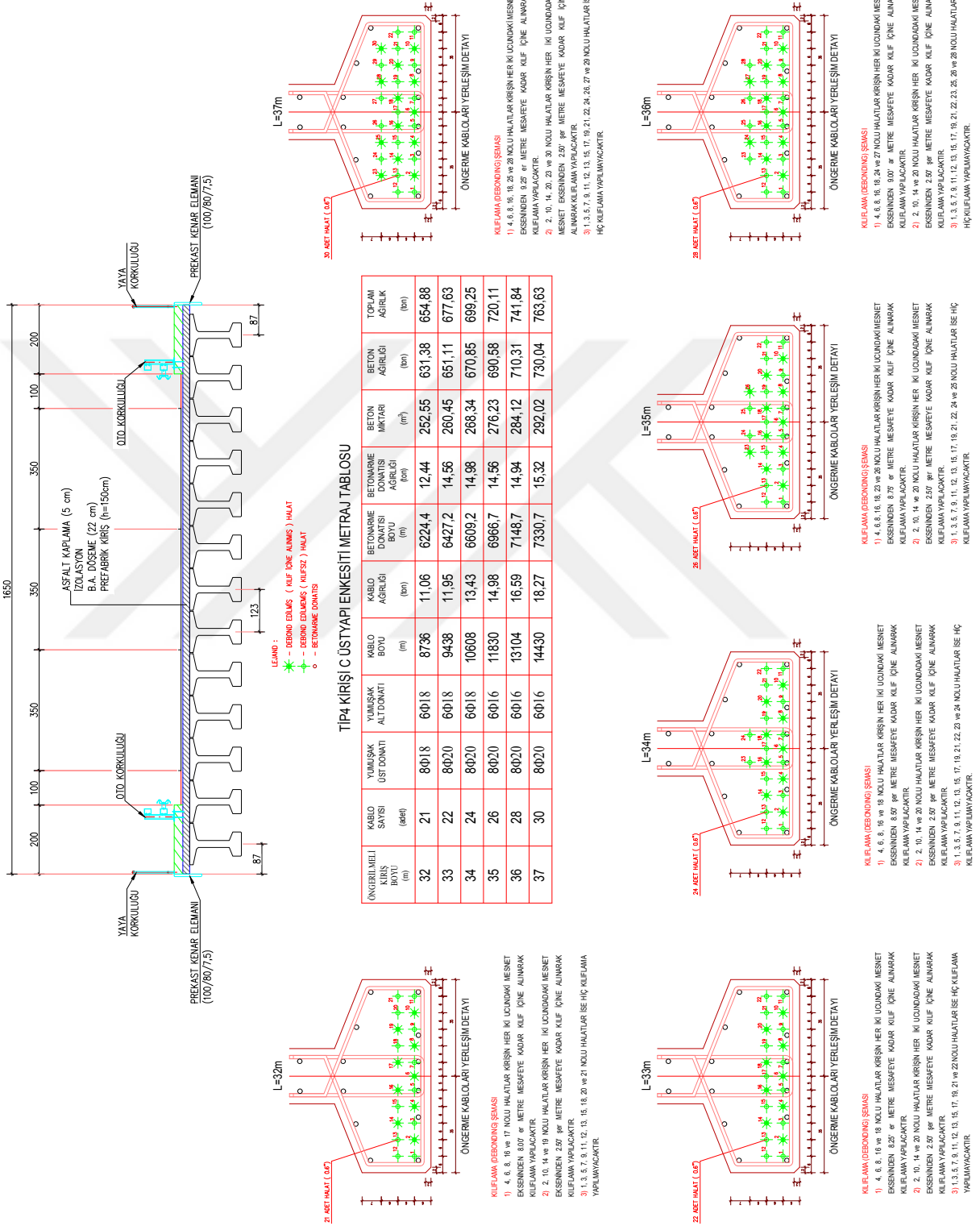
2) 2.10. 14. 20. NOLU HALATLAR KRİSN HİK UÇINDÖK MESNE
EKSİNİNNEN 8.57 99 METRE NESAYE KARF KLF İÇNE ALNARARAK
KILIFLAMA YAPACAKTIR.

3) 1.3. 5. 7. 9.11. 12. 13. 15. 17. 19. 21.22. 23 NOLU HALATLAR İŞE Hİ
KILIFLAMA YAPACAKTIR.

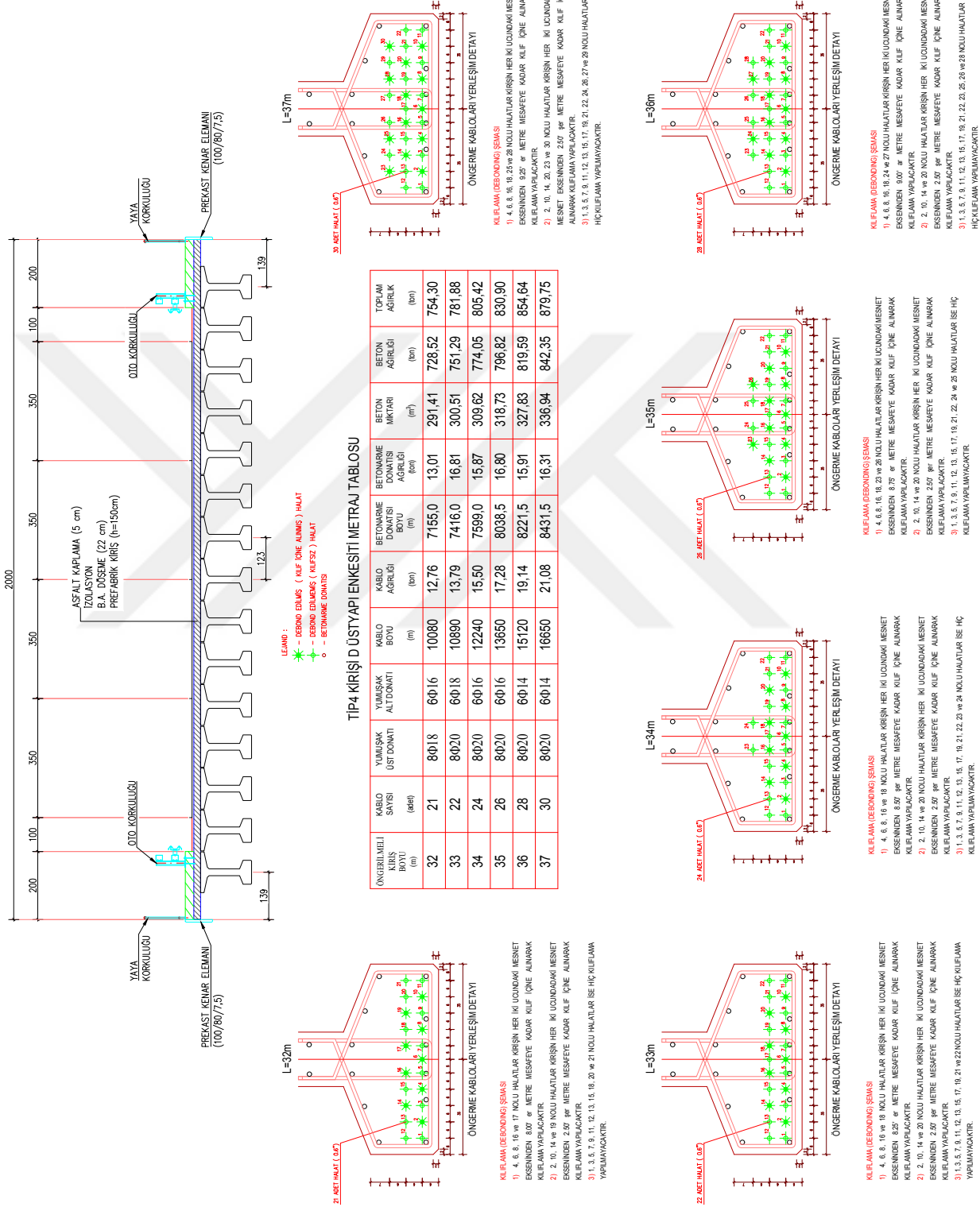
KÜLFİYAWA (DEBONDING ŞEMASI)

- 1) 4. 6. 8. 16 ve 18 NOLU HALATLAR KIRSİN HER Kİ UÇUNDAKİ MEŞEYİ KEDİ KILFİ İLE ALMAK İSTİYOR.
- 2) 10. 14 ve 20 NOLU HALATLAR KIRSİN HER Kİ UÇUNDAKİ MEŞEYİ KEDİ KILFİ İLE ALMAK İSTİYOR.
- 3) 50 ve 90 NOLU HALATLAR KEDİ KILFİ İLE ALMAK İSTİYOR.
- 4) 3. 5. 7. 9. 11. 12. 13. 15. 17. 19. 21. 22 ve 23 NOLU HALATLARI İS İLE KEDİ KILFİ İLE ALMAK İSTİYOR.

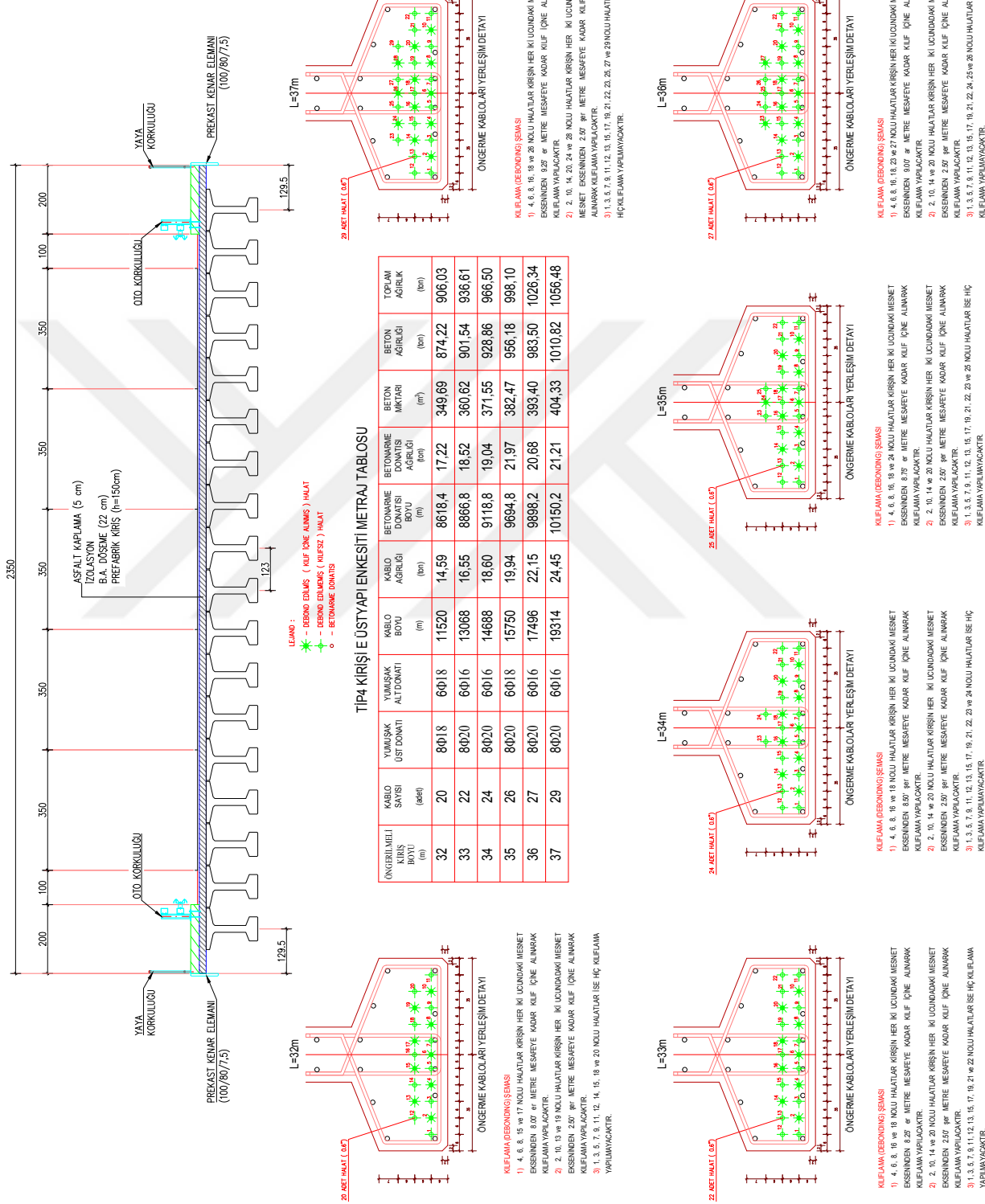
TİP4 KİRİŞİ-C ENKESİTİ



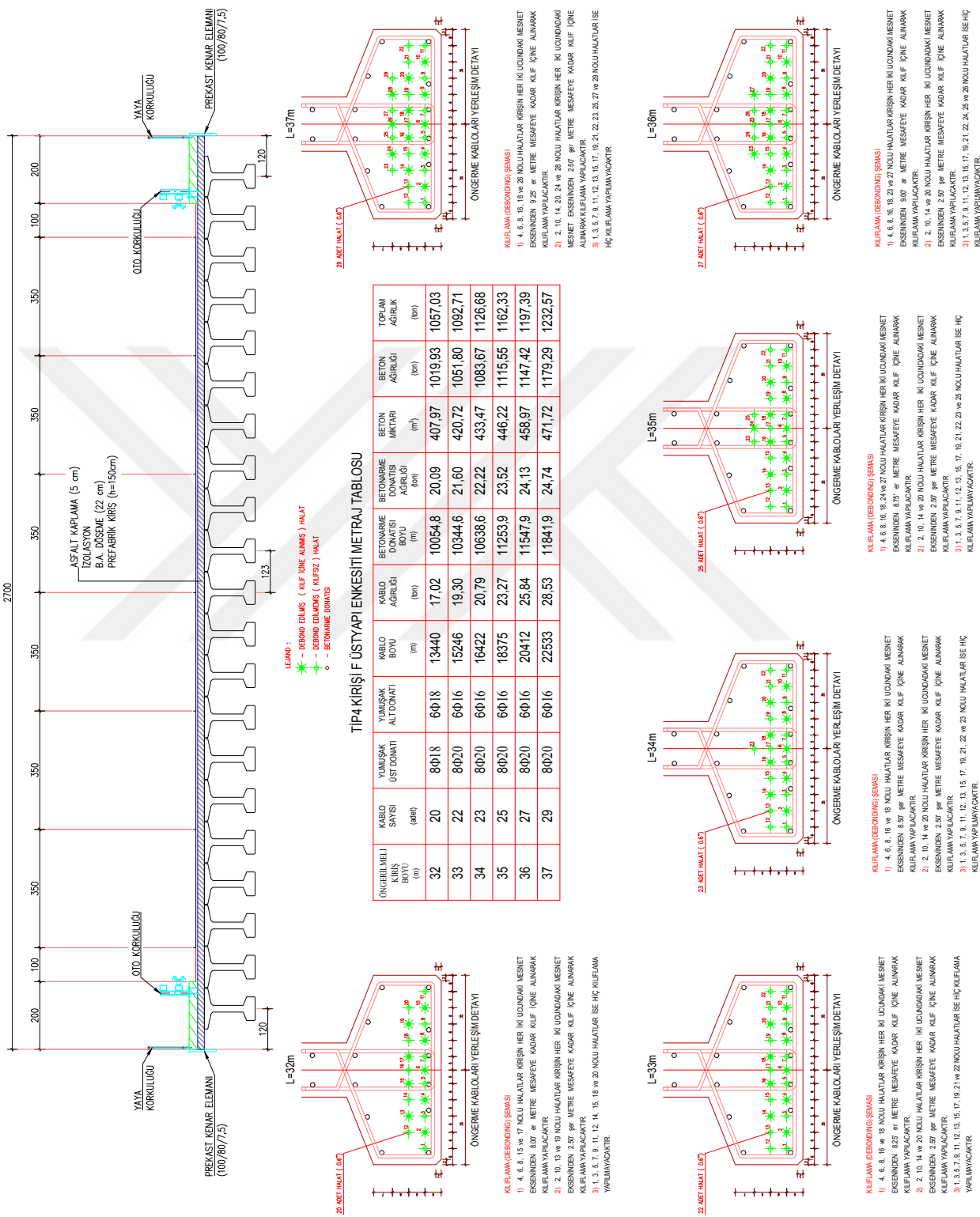
TİP4 KİRİŞİ-D ENKESİTİ



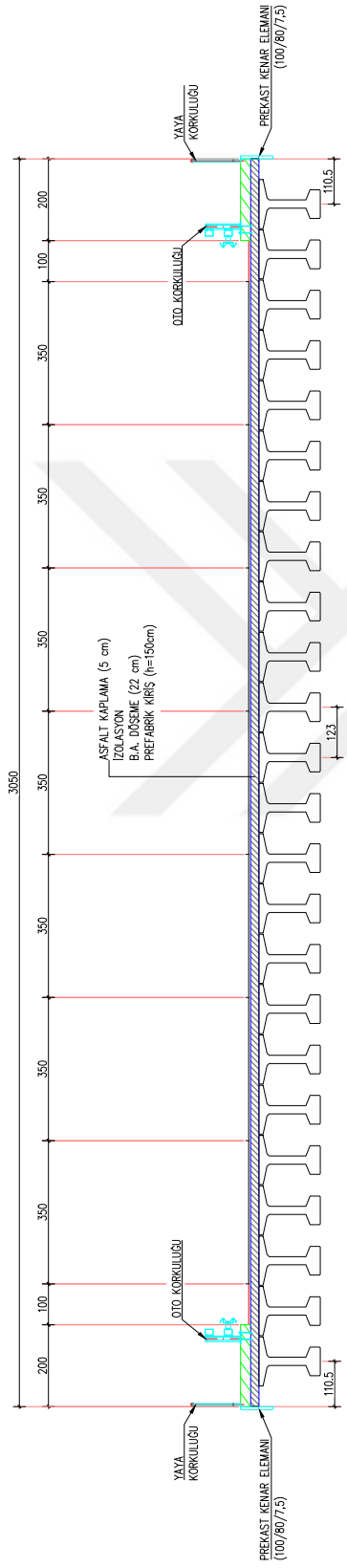
TİP4 KİRİŞİ-E ENKESİTİ



TİP4 KİRİŞİ-F ENKESİTİ



TİP4 KİRİŞİ-G ENKİESİTİ

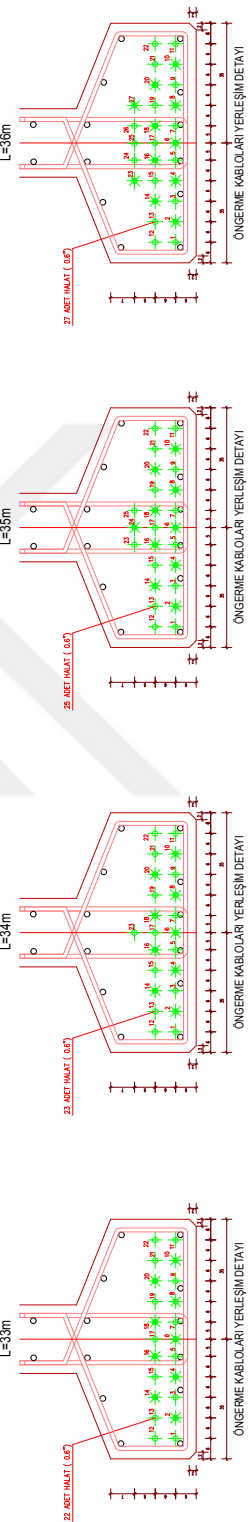


LEİND :
* - KERİD ÜMRİNS (KUF İÖNE ALMIS) HALAT
+ - KERİD ÜMRİNS (KUF SZ) HALAT
O - ETNAME DONATIS

TİP4 KİRİŞİ G ÜSTYAPI ENKİESİTİ METRAJ TABLOSU

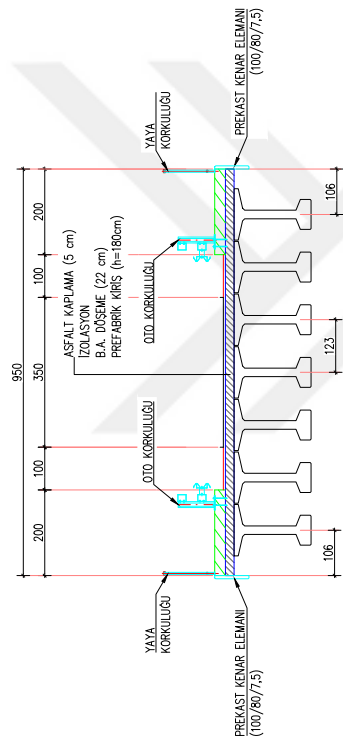
| ONGRUM MELİ KİRS
SAYISI
(adet) | KABLO
YUMURSAK
ÜST DONATISI
BOYU
(m) | KABLO
YUMURSAK
ALT DONATISI
BOYU
(m) | KABLO
AĞRLIGI
(ton) | BETONARME
DONATISI
BOYU
(m) | BETON
AĞRLIGI
(ton) | BETON
MİKATI
(m³) | BETON
AĞRLIGI
(ton) |
|--------------------------------------|--|--|---------------------------|--------------------------------------|---------------------------|-------------------------|---------------------------|
| 32 | 20 | 8Φ18 | 6Φ18 | 15360 | 19,45 | 11491,2 | 22,96 |
| 33 | 22 | 8Φ20 | 6Φ16 | 17424 | 22,06 | 11822,4 | 24,69 |
| 34 | 23 | 8Φ20 | 6Φ18 | 18768 | 23,76 | 12201,6 | 27,65 |
| 35 | 25 | 8Φ20 | 6Φ16 | 21000 | 26,59 | 12861,6 | 26,88 |
| 36 | 27 | 8Φ20 | 6Φ14 | 23328 | 29,54 | 13154,4 | 25,46 |
| 37 | 28 | 8Φ20 | 6Φ18 | 24664 | 31,48 | 13598,4 | 30,82 |

KİFLAMA (DEBONDING) SEMASI
1) 4, 6, 8, 15 ve 17 NOLU HALATLAR KRİSN HER Kİ UÇUNDAKI MESNET
EĞSENİNDEN 1,07 m METRE MESAFETE KODAR KUF İÖNE ALNARAK
KİFLAMA YAPACAKTR.
2) 10, 14 ve 19 NOLU HALATLAR KRİSN HER Kİ UÇUNDAKI MESNET
EĞSENİNDEN 2,50 m METRE MESAFETE KODAR KUF İÖNE ALNARAK
KİFLAMA YAPACAKTR.
3) 1, 3, 5, 7, 9, 11, 12, 13, 15, 17, 19, 21 ve 22 NOLU HALATLAR İSE HÇ
YAPILMA YOKACAKTR.



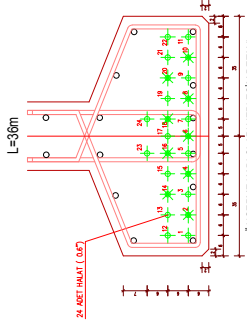
KİFLAMA (DEBONDING) SEMASI
1) 4, 6, 8, 16 ve 24 NOLU HALATLAR KRİSN HER Kİ UÇUNDAKI MESNET
EĞSENİNDEN 1,57 m METRE MESAFETE KODAR KUF İÖNE ALNARAK
KİFLAMA YAPACAKTR.
2) 10, 14 ve 20 NOLU HALATLAR KRİSN HER Kİ UÇUNDAKI MESNET
EĞSENİNDEN 2,50 m METRE MESAFETE KODAR KUF İÖNE ALNARAK
KİFLAMA YAPACAKTR.
3) 1, 3, 5, 7, 9, 11, 12, 13, 15, 17, 19, 21, 22, 23 ve 26 NOLU HALATLAR İSE HÇ
YAPILMA YOKACAKTR.
KİFLAMA YAPILACAKTR.
KİFLAMA YAPILMAYACAKTR.

TİP5 KİRİŞİ-A ENKESİTİ

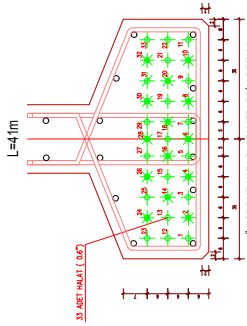


TİP5 KİRİŞİ ÜSTYAPI ENKESİTİ METRAJ TABLOSU

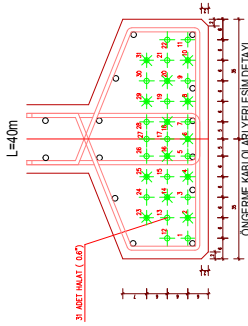
| ONGRUR MELİ KİRS
BOYU
(m) | KABLO
SAYISI
(adet) | YUMUSAK
ÜST DONATI
(m) | YUMUSAK
ALT DONATI
(m) | KABLO
AĞIRLIĞI
(ton) | BETONARME
DONATISI
BOYU
(m) | BETON
DONATISI
AĞIRLIĞI
(ton) | TOPLAM
AGIRLIK
(ton) |
|---------------------------------|---------------------------|------------------------------|------------------------------|----------------------------|--------------------------------------|--|----------------------------|
| 36 | 24 | 8Φ20 | 6Φ18 | 6048 | 7,66 | 3868,2 | 8.77 |
| 37 | 25 | 8Φ20 | 6Φ20 | 6475 | 8,20 | 3978,8 | 9.81 |
| 38 | 27 | 8Φ20 | 6Φ20 | 7182 | 9,09 | 4076,8 | 10,05 |
| 39 | 29 | 8Φ20 | 6Φ18 | 7917 | 10,02 | 4187,4 | 10,74 |
| 40 | 31 | 8Φ22 | 6Φ18 | 8680 | 10,99 | 4285,4 | 10,99 |
| 41 | 33 | 8Φ22 | 6Φ18 | 9471 | 11,99 | 4383,4 | 11,25 |



KUF LAMA (DEBONDING) SEANSI
 1) 4, 6, 8, 16 ve 18 NOZU HALATLAR KRİSN HER Kİ UÇUNDAKI MESNET ESENİNDEN 9,07 m METRE MESAFETE KADAR KUF FÖNE ALNARAK KUF LAMA YAPILACAKTR.
 2) 2, 10, 14 ve 20 NOZU HALATLAR KRİSN HER Kİ UÇUNDAKI MESNET ESENİNDEN 2,50 m METRE MESAFETE KADAR KUF FÖNE ALNARAK KUF LAMA YAPILACAKTR.
 3) 1, 3, 5, 7, 9, 11, 12, 13, 15, 17, 19, 21, 22, 23 ve 24 NOZU HALATLAR İSE HÇ KUF LAMA YAPILACAKTR.



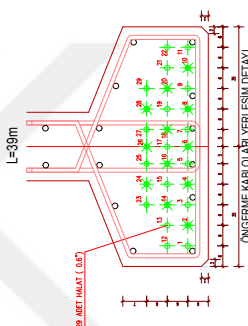
KUF LAMA (DEBONDING) SEANSI
 1) 4, 6, 8, 16, 28 ve 31 NOZU HALATLAR KRİSN HER Kİ UÇUNDAKI MESNET ESENİNDEN 10,26 m METRE MESAFETE KADAR KUF FÖNE ALNARAK KUF LAMA YAPILACAKTR.
 2) 2, 10, 14, 20 ve 32 NOZU HALATLAR KRİSN HER Kİ UÇUNDAKI MESNET ESENİNDEN 2,50 m METRE MESAFETE KADAR KUF FÖNE ALNARAK KUF LAMA YAPILACAKTR.
 3) 1, 3, 5, 7, 9, 11, 12, 13, 15, 17, 19, 21, 22, 23 ve 31 NOZU HALATLAR İSE HÇ KUF LAMA YAPILACAKTR.



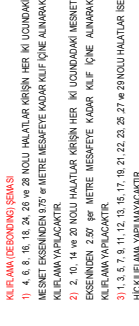
KUF LAMA (DEBONDING) SEANSI
 1) 4, 6, 8, 16, 28 ve 31 NOZU HALATLAR KRİSN HER Kİ UÇUNDAKI MESNET ESENİNDEN 10,26 m METRE MESAFETE KADAR KUF FÖNE ALNARAK KUF LAMA YAPILACAKTR.
 2) 2, 10, 14, 20 ve 32 NOZU HALATLAR KRİSN HER Kİ UÇUNDAKI MESNET ESENİNDEN 2,50 m METRE MESAFETE KADAR KUF FÖNE ALNARAK KUF LAMA YAPILACAKTR.



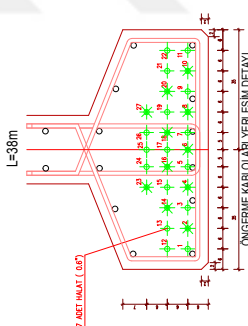
KUF LAMA (DEBONDING) SEANSI
 1) 4, 6, 8, 16, 26 ve 29 NOZU HALATLAR KRİSN HER Kİ UÇUNDAKI MESNET ESENİNDEN 10,00 m METRE MESAFETE KADAR KUF FÖNE ALNARAK KUF LAMA YAPILACAKTR.
 2) 2, 10, 14, 20 ve 31 NOZU HALATLAR KRİSN HER Kİ UÇUNDAKI MESNET ESENİNDEN 2,50 m METRE MESAFETE KADAR KUF FÖNE ALNARAK KUF LAMA YAPILACAKTR.



KUF LAMA (DEBONDING) SEANSI
 1) 4, 6, 8, 16, 26 ve 29 NOZU HALATLAR KRİSN HER Kİ UÇUNDAKI MESNET ESENİNDEN 10,00 m METRE MESAFETE KADAR KUF FÖNE ALNARAK KUF LAMA YAPILACAKTR.



KUF LAMA (DEBONDING) SEANSI
 1) 4, 6, 8, 16, 24 ve 26 NOZU HALATLAR KRİSN HER Kİ UÇUNDAKI MESNET ESENİNDEN 10,00 m METRE MESAFETE KADAR KUF FÖNE ALNARAK KUF LAMA YAPILACAKTR.

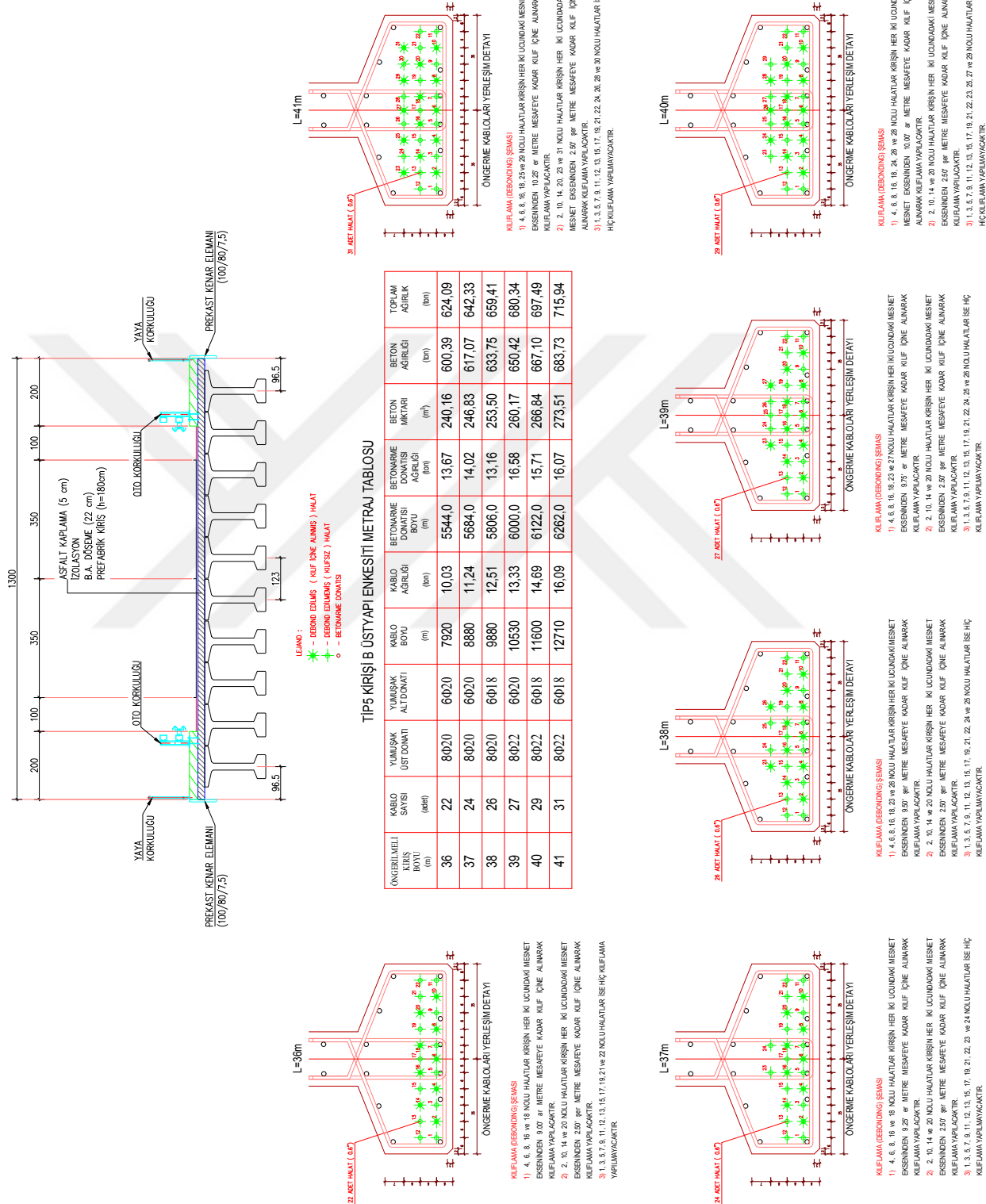


KUF LAMA (DEBONDING) SEANSI
 1) 4, 6, 8, 16, 23 ve 27 NOZU HALATLAR KRİSN HER Kİ UÇUNDAKI MESNET ESENİNDEN 10,00 m METRE MESAFETE KADAR KUF FÖNE ALNARAK KUF LAMA YAPILACAKTR.

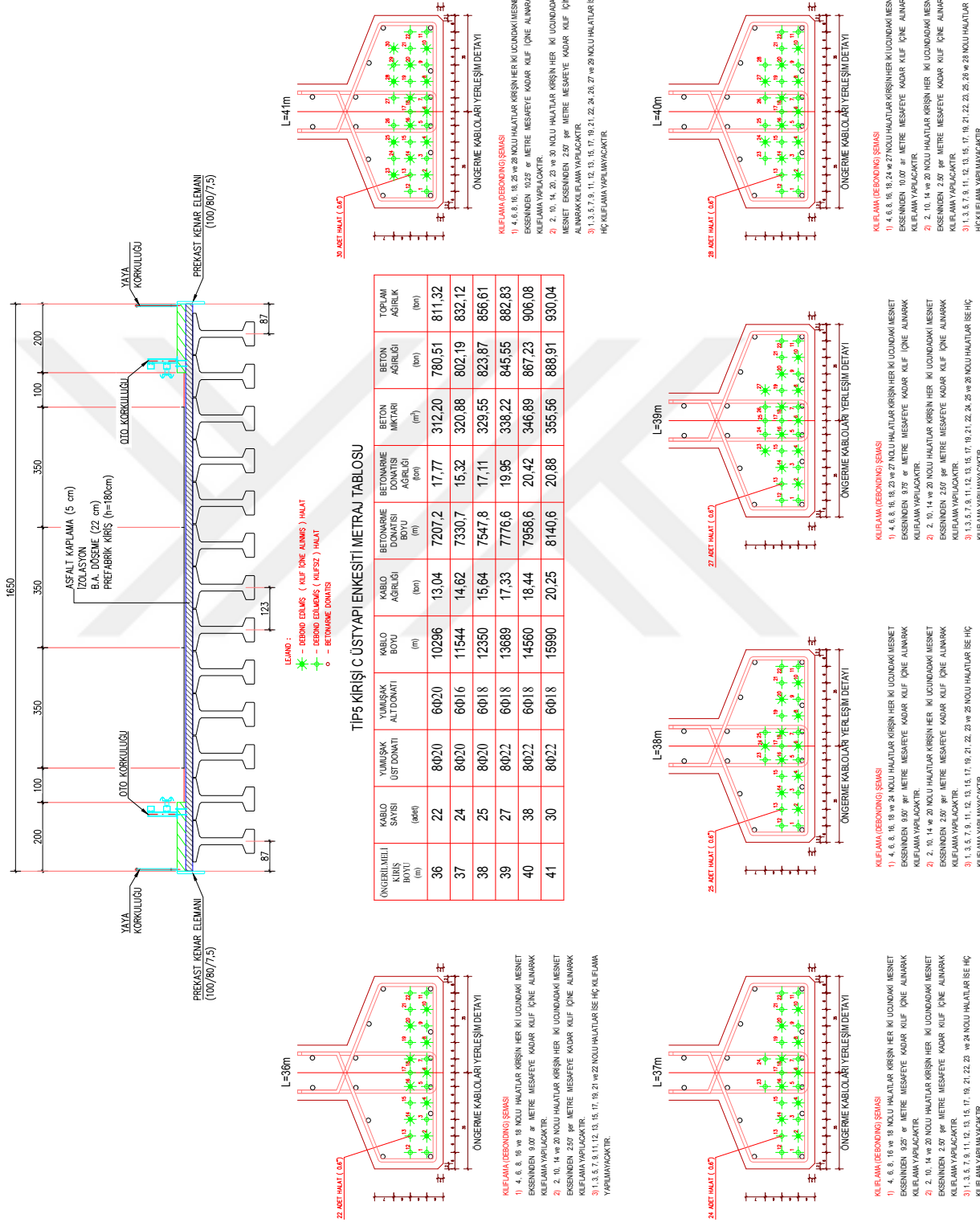


KUF LAMA (DEBONDING) SEANSI
 1) 4, 6, 8, 16, 23 ve 27 NOZU HALATLAR KRİSN HER Kİ UÇUNDAKI MESNET ESENİNDEN 10,00 m METRE MESAFETE KADAR KUF FÖNE ALNARAK KUF LAMA YAPILACAKTR.

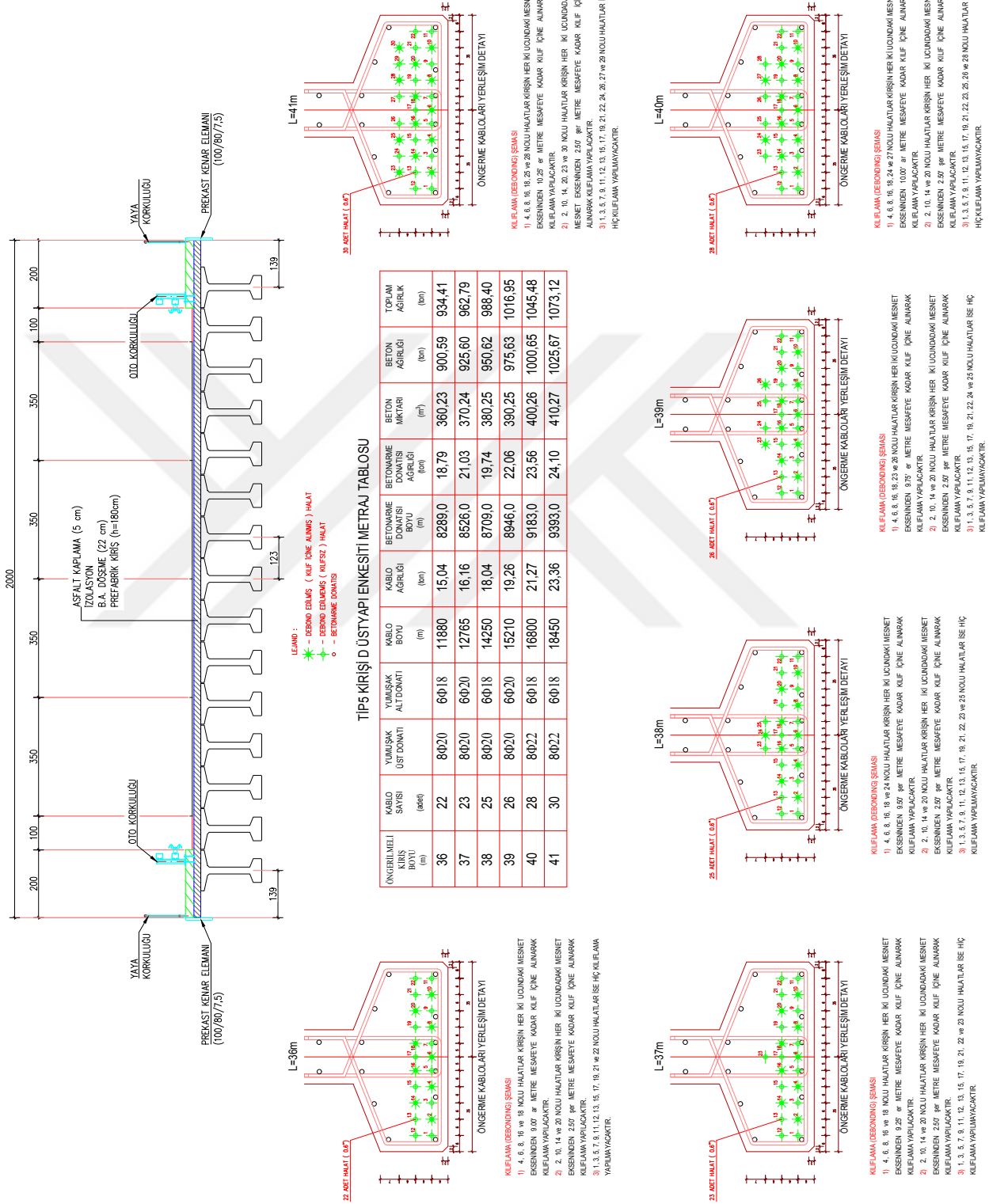
TİP5 KİRİŞİ-B ENKESİTİ



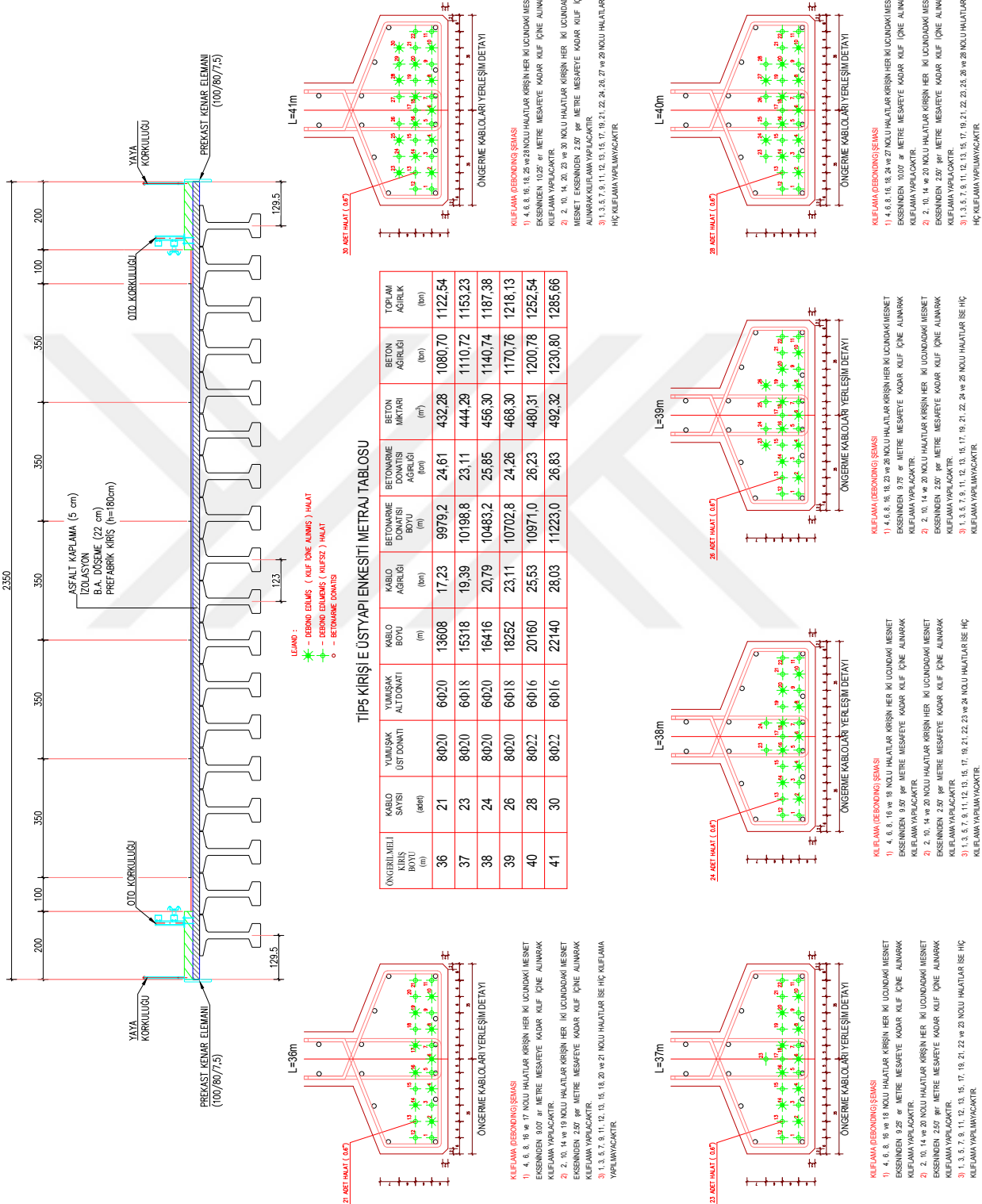
TİP5 KİRİŞİ-C ENKESİTİ



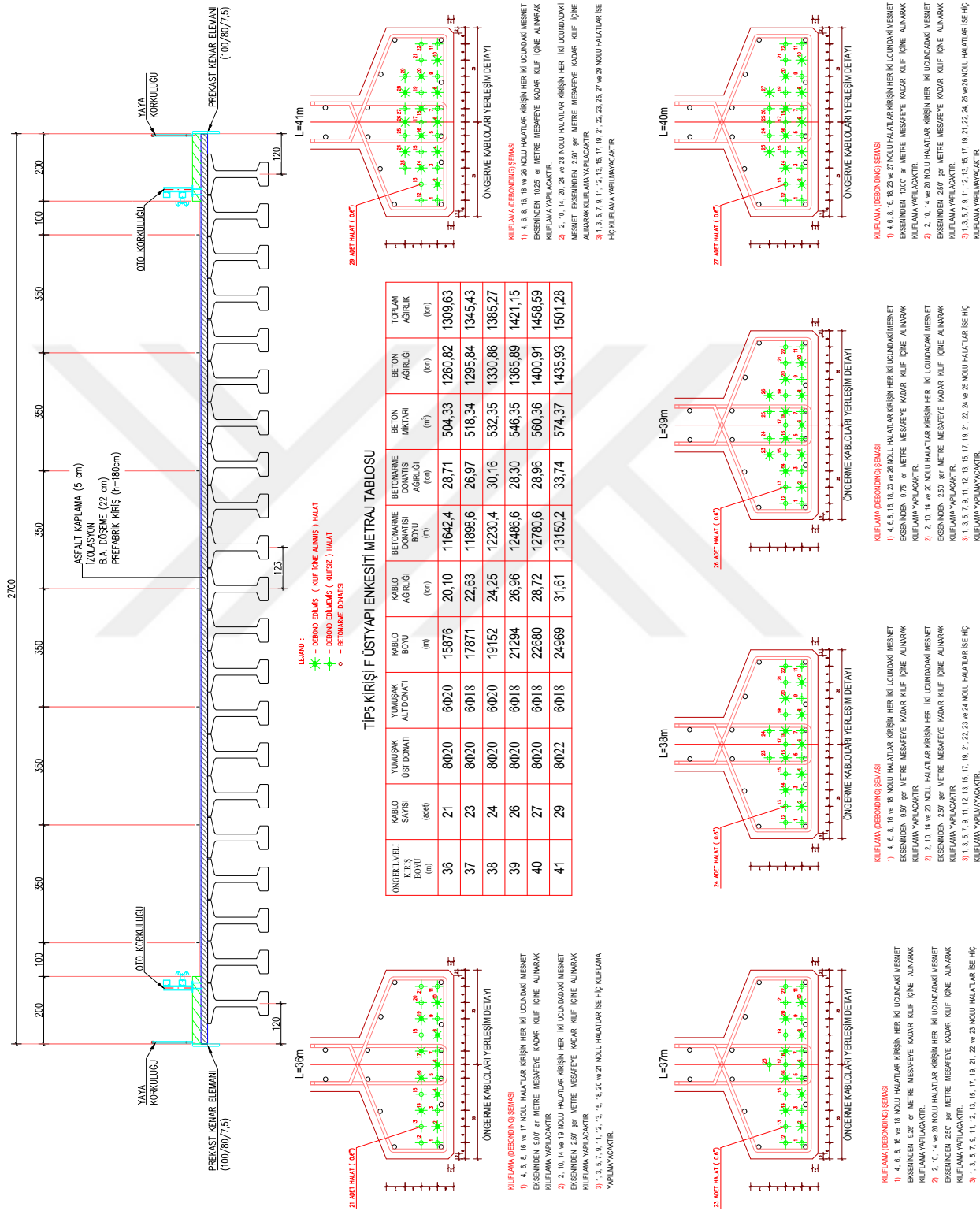
TİP5 KİRİŞİ-D ENKESİTİ



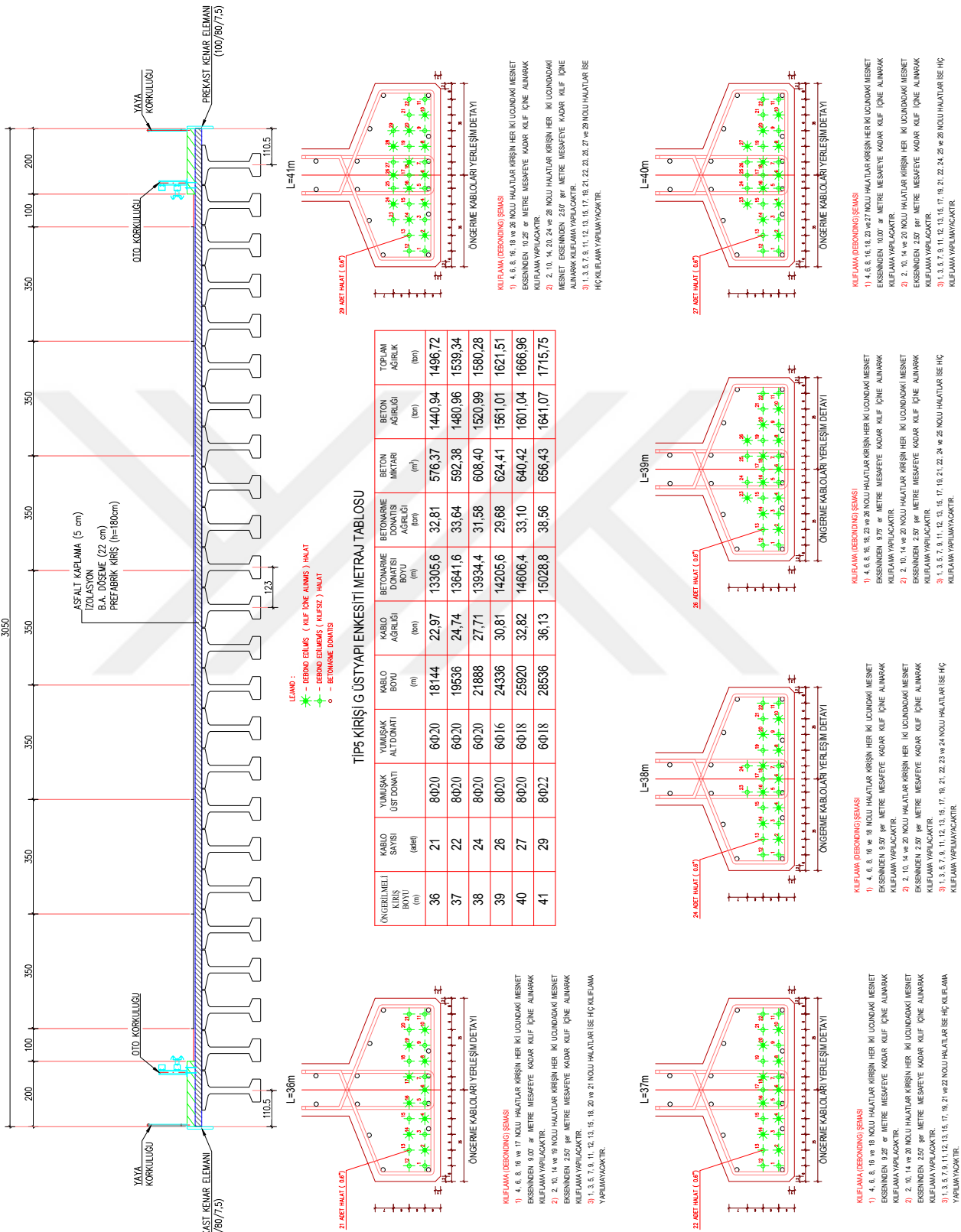
TİP5 KİRİŞİ-E ENKİSİTİ



TİP5 KİRİŞİ-F ENKESİTİ



TİP5 KİRİŞİ-G ENKİSETİ



ÖZGEÇMİŞ

Bilal KUNT, 1991 yılında Karabük'te doğdu. İlk ve orta öğrenimini Kayabaşı İlköğretim Okulu ve 75.Yıl Anadolu Lisesi'nde 1998-2009 yılları arasında Karabük' te tamamladı. 2010 yılında Karadeniz Teknik Üniversitesi, Mühendislik Fakültesi, İnşaat Mühendisliği Bölümü'nde "Lisans" eğitimi almaya hak kazandı. Lisans eğitimini 2015 yılında tamamladı ve aynı yıl Karadeniz Teknik Üniversitesi, Fen Bilimleri Enstitüsü, İnşaat Mühendisliği Anabilim Dalı'nda "Yüksek Lisans" eğitimine başladı. 2016 yılında özel sektörde proje mühendisi olarak çalışma hayatına başladı. Bilal KUNT, iyi derecede İngilizce bilmekte ve halen anılan görevine devam etmektedir.